



Das 3E-Mehrfamilienhaus – Eigenerzeugung, Eigenverbrauch, Elektromobilität

Schlussbericht

Laufzeit: 01. Januar 2014 – 31. Mai 2017

Forschungsvorhaben: 16EM2082-1

16EM2082-2

Heidelberg und Hamburg, November 2017

Mitwirkende

LichtBlick

Antonia Costantini

Carlotta Richter

Christian Appel

Fabian Vehreschild

Julian Buschenhenke

Johannes Kehl

Jona Welle

Jörn Voss

Hans Sengen

Henrik Waninger

Linus Meng

Markus Weichel

Martin Rummenie

Tim Scherer

Vivien Wacker

ifeu

Dr. Amany von Oehsen

Dr. Lars-Arvid Brischke

Hinrich Helms

Julius Jöhrens

Jan Kräck

Benedikt Fischer

Johannes Fehr

Franziska Lehmann

Inhalt

1	Kurzfassung	1
2	Einführung	4
2.1	Zielstellung des Projektes	4
2.2	Einordnung des 3E-Projekts in den förderpolitischen Rahmen	5
3	Voraussetzungen und Struktur des Projekts.....	6
3.1	Stand zu Projektbeginn in Deutschland	6
3.1.1	Erneuerbare Energien (mit dezentralem Schwerpunkt)	6
3.1.2	E-Fahrzeuge und Carsharing.....	7
3.1.3	„Ladestrategie“ (= nicht optimiert) bzw. Optimierungsprozesse	8
3.1.4	Emissionen der Stromerzeugung und des Verkehrs	8
3.2	Inhaltliche und zeitliche Planung.....	10
3.2.1	Struktur des Projekts.....	10
3.2.2	Zeitlicher Ablauf	10
3.2.3	Kooperationen.....	12
4	Technisches Gesamtsystem.....	13
4.1	Technische Anforderungen an das Gesamtkonzept.....	13
4.1.1	Anforderungsanalyse Gesamtkonzept Steuerung/Regelung/Komponenten	13
4.1.2	Umsetzungskonzept	13
4.2	Technische Umsetzung.....	15
4.2.1	Durchführung und Betrieb der Feldtestobjekte	16
4.2.2	Aufbau und Betrieb einer Carsharing-Flotte mit Buchungssystem.....	19
4.2.3	Aufbau und Betrieb SchwarmDirigent®	24
4.3	Prognose und Optimierung	28
4.3.1	Beschreibung der Prognosen	29
4.3.1.1	Day-Ahead Strompreisprognose	29
4.3.1.2	Wärmebedarfsprognose	29
4.3.1.3	E-Fahrzeug-Beladungsprognose.....	30
4.3.1.4	Strombedarfsprognose	32
4.3.1.5	Solarertragsprognose	33
4.3.1.6	Anpassungslastgang $P_{\text{stör}}$	33

4.3.2	Prognosegüte.....	34
4.3.2.1	Solarertrag.....	34
4.3.2.2	Strombedarf.....	35
4.3.2.3	Wärmebedarf.....	35
4.3.3	Optimierung.....	38
4.3.4	Dezentrales Regelungssystem.....	41
4.3.5	Zwischenfazit Prognose und Optimierung.....	47
5	Bewertung der Feldtestperformance.....	48
5.1	Technische Bewertung.....	48
5.1.1	Erkenntnisse zur technischen Machbarkeit.....	48
5.1.2	Performance des Gesamtsystems.....	53
5.1.3	Auffälligkeiten und Optimierungsmöglichkeiten.....	58
5.2	Wirtschaftliche Bewertung.....	59
5.2.1	Voranalyse.....	60
5.2.2	Szenarien und Energiedatenauswertung.....	61
5.2.3	Kosten.....	65
5.2.4	Erlöspotenzial.....	67
5.2.5	Bewertung der Wirtschaftlichkeit.....	69
5.3	Aufbereitung und Auswertung der Feldtestdaten für die Umweltbewertung.....	77
5.3.1	Mobilitätsdaten.....	77
5.3.1.1	Die E-Fahrzeug-Nutzung im Feldtest.....	78
5.3.1.2	Energieverbrauch der E-Fahrzeug-Flotte.....	81
5.3.1.3	Auswirkung der Preisreduktion auf das Nutzungsverhalten.....	82
5.3.2	Wärme- und Stromdaten.....	83
5.3.2.1	Zusammenspiel der BHKW und PV-Erzeugung.....	83
5.3.2.2	Stromverbräuche in den Gebäuden.....	85
5.3.2.3	Nutzungsgrad BHKW.....	86
5.3.2.4	Nutzungsgrade des stationären Batteriespeichers.....	87
5.3.3	Auswertung der Nutzerbefragung.....	87
5.3.3.1	Befragungsergebnisse zum Gebäude und zum Haushaltsstromverbrauch.....	89
5.3.3.2	Modellierter Stromverbrauch nach der Haushaltsbefragung im Vergleich.....	93
5.3.3.3	Befragungsergebnisse zur Mobilität.....	94

5.3.4	Weitere Erkenntnisse zur Nutzerzufriedenheit	98
5.3.4.1	ZuhauseStrom	98
5.3.4.2	Carsharing	98
5.3.5	Auswertung der Emissionsmessungen.....	99
5.3.5.1	Emissionsmessungen am BHKW im VHD	99
5.3.5.2	Emissionsmessungen am BHKW in der MTS	104
5.4	Ökobilanz des Feldtests	108
5.4.1	Ökobilanzierung	108
5.4.1.1	Grundsätzliches zur Ökobilanzierung.....	108
5.4.1.2	Beschreibung der betrachteten Versorgungsvarianten für die Feldtestobjekte zur Bereitstellung von Strom, Wärme und Mobilität.....	110
5.4.1.3	Zeitlich hochaufgelöste Modellierung des Strommixes für die Ökobilanzen mit einem Kraftwerkseinsatzoptimierungsmodell	111
5.4.2	Ökobilanz des VHD.....	114
5.4.2.1	Eingangsdaten für die Ökobilanzen der Versorgungsvarianten im VHD	114
5.4.2.2	Ergebnisse für den VHD.....	115
5.4.3	Ökobilanz der MTS	117
5.4.3.1	Beschreibung der Eingangsdaten für die Ökobilanzen der Versorgungsvarianten in der MTS	117
5.4.3.2	Ergebnisse für die MTS.....	119
5.4.4	Fazit der Ökobilanzen des Feldtests.....	120
6	Übertragbarkeit der Feldtestergebnisse.....	122
6.1	Relevanz des 3-E MFH-Systems für den Gebäudebestand und den Neubau	122
6.2	Möglichkeit der Übertragbarkeit des Systems auf EFH	129
6.2.1	Beschreibung der Analyse-Methodik	129
6.2.1.1	Modellierung der Nachfrageprofile mit dem Modell EMOD.....	129
6.2.1.2	Modellierung der Fahrprofile.....	130
6.2.1.3	Modellkopplung von EMOD und SchwarmDirigent®	133
6.2.2	Auswertung und Umweltbewertung der Simulationsergebnisse	133
6.2.3	Umweltbewertung	134
6.2.4	Wirtschaftlichkeit des 3E-Systems im EFH.....	137
6.2.4.1	3E-System im EFH.....	137
6.2.4.2	Alternatives 3E-System im EFH	140

7 Zusammenfassung und Ausblick	143
7.1 Fazit zur Performance des Feldtestes	143
7.1.1 Künftige Nutzungskonzepte für E-Fahrzeuge.....	143
7.1.2 Empfehlungen zur Auslegung/Auswahl der Komponenten	144
7.2 Realisierbarkeit des 3E-Konzepts im Energiesystem der Zukunft - Marktanalyse	145
7.3 Bewertung des möglichen Beitrags zur Erreichung der Ziele des Energiekonzeptes	147
7.4 Handlungsempfehlungen für Energiepolitik und Elektromobilität	149
8 Anwendungspotentiale und Nutzbarkeit der Ergebnisse.....	152
9 Ergebnisse des Verbundprojektes.....	153
10 Quellenverzeichnis	154
11 Abkürzungsverzeichnis.....	156
12 Abbildungsverzeichnis.....	158
13 Tabellenverzeichnis.....	162

1 Kurzfassung

Das 3E-Mehrfamilienhaus ist ein durch das Programm „Erneuerbar Mobil“ des Bundesministeriums für Umwelt, Naturschutz, Bau und Reaktorsicherheit (BMUB) gefördertes Verbundprojekt zur Kopplung von Elektromobilität an erneuerbare Energien und Netzintegration. Verbundpartner sind das ifeu - Institut für Energie- und Umweltforschung Heidelberg GmbH (kurz: ifeu) und die LichtBlick SE aus Hamburg. Projektlaufzeit war vom 1.1.2014 bis zum 31.5.2017.

3E steht für Eigenerzeugung, Eigenverbrauch und Elektromobilität. Ziel des Forschungsvorhabens war es, ein Energiesystem bestehend aus Photovoltaik, stationärem Batteriespeicher, Elektrofahrzeug, Blockheizkraftwerk und Eigenverbrauch in Mehrfamilienhäusern wirtschaftlich zu optimieren und im Rahmen eines Feldtestes in zwei Objekten zu testen. Gleichzeitig sollte in der ökologischen Untersuchung der Vorteil eines solchen intelligenten Systems gegenüber anderer Szenarien bewertet werden. Bei der Umsetzung musste das System unterschiedliche Kriterien erfüllen. So mussten nicht nur technische und energiewirtschaftliche Standards erreicht werden, sondern auch das Mobilitätsbedürfnis der Fahrzeugnutzer berücksichtigt werden. Als Besonderheit wurde hier die Sektorenkopplung über die Schnittstelle des Carsharing-Buchungssystems zu der Energiewirtschaftssoftware SchwarmDirigent®, die Strom- und Wärmeflüsse steuert, realisiert.

Das technische Gesamtsystem war in ein langsames, zentrales Steuersystem und in ein schnelles dezentrales Regelungssystem unterteilt. Neben Messdaten für die unterschiedlichen Verbraucher und Erzeuger wurden über dieses System auch Prognose- und Buchungsdaten sowie Betriebspläne für die Erzeuger übermittelt. Somit wurde die Beladung der E-Fahrzeuge nach wirtschaftlichen Gesichtspunkten optimiert.

Diese intelligente, optimierte Beladung wurde so realisiert, indem die E-Fahrzeuge bei der Ankunft nur bis zu 60 % SOC beladen wurden, damit weiterhin eine spontane Nutzung gewährleistet war. Da über das Buchungssystem der Zeitpunkt der nachfolgenden Fahrzeugnutzung bekannt war, wurde dieser Zeitraum genutzt, um die Ladung mit möglichst viel dezentral-erzeugtem PV- oder KWK-Strom durchzuführen. Diese potentiellen Erträge waren durch die jeweiligen Prognoseverfahren bekannt, so dass z.B. die Betriebspläne für die BHKW dementsprechende angepasst werden konnte – das Gesamtsystem also optimiert wurde.

Die eingesetzten Hardware-Komponenten sind auch in diesem Anwendungsfall massenmarktkompatibel. Technisch und wirtschaftlich stellte sich das eingesetzte Messsystem als aufwendig heraus. Künftige Smartmeter mit geeigneter Messauflösung und Regelfähigkeit könnten jedoch eine kostengünstigere Alternative darstellen.

Die Verwendung der E-Fahrzeuge in einem Carsharing-Modell funktionierte sowohl in einer geschlossenen als auch in einer offenen Nutzergruppe, die angewendete Buchungssoftware bzw. App war komfortabel. Es zeigte sich jedoch, dass im Rahmen des Feldtests keine Autos mit Verbrennungsmotoren abgeschafft wurden, hierzu wäre eine längere Projektlaufzeit erforderlich gewesen. Die Nutzerbefragungen zeigten eine hohe Akzeptanz für die E-Fahrzeuge. Sie zeigten aber auch, dass für die dauerhafte Verdrängung von eigenen KFZ mit Verbrennungsmotoren wahrscheinlich sowohl die Anschaffungskosten als auch die bisher

von den Herstellern zur Verfügung gestellten Reichweite große Hindernisse darstellen, obwohl die gemessenen Fahrtstrecken zu über 95% ohne Zwischenladung ausgeführt wurden.

Die Umweltbilanzen beider Feldtestobjekte zeigen nichtdestotrotz eine positive Klimabilanz des 3E-Systems im Vergleich mit einer „konventionellen“ Versorgungsvariante für die Mobilitäts-, Wärme- und Stromnachfrage. Eine positive Klimabilanz wird im ersten Feldtestobjekt vor allem durch die PV-Anlage erreicht, im zweiten Feldtestobjekt werden noch deutlich höhere Treibhausgaseinsparungen dadurch erzielt, dass Biomethan aus Reststoffen anstelle von Erdgas im BHKW genutzt wird. Bei der Versauerungswirkung, welche eine Absenkung des pH-Wertes in Gewässern und Böden bedeutet, ergeben sich deutlich positive Effekte gegenüber der konventionellen Variante, wenn Erdgas im BHKW eingesetzt wird. Bei Einsatz von Biomethan als BHKW-Brennstoff ist der Vorteil geringer. Etwaige negative Wirkungen auf Umwelt- und Ressourcen in anderen Bereichen müssen also beim Einsatz von Biomethan berücksichtigt werden. Dies gilt insbesondere beim Einsatz von Biomethan aus Anbaubiomasse. Hier würde die Umweltbilanz deutlich weniger positiv ausfallen, zusätzlich könnten (indirekte) Landnutzungsänderungen und Konkurrenz zur Nahrungsmittelproduktion zu weiteren negativen Nebenwirkungen führen.

Die Auswertungen des Feldtests zeigen, dass die Optimierungsprozesse, die gleichzeitig Marktpreise und einen hohen Autarkiegrad berücksichtigen müssen, funktionieren. Die Amortisationszeiten sind nach rein wirtschaftlichen Kriterien zurzeit jedoch noch sehr hoch. Hierbei ist unbedingt zu berücksichtigen, dass mit dem intelligenten System ein Autarkiegrad von durchschnittlich 74 % erreicht wurde.

Die Wirtschaftlichkeit der beiden Feldtestobjekte war unter den aktuellen Rahmenbedingungen, vor allem wegen der hohen Investitionskosten, nicht gegeben. Man kann jedoch davon ausgehen, dass diese insbesondere für PV-Module und Batterien weiter sinken, und dann bessere Ergebnisse erzielt werden. Dies gilt auch vor dem Hintergrund, dass man bei Neubauten die Anschaffungskosten für die PV-Anlage und einer Batterie immer mehr als „Sowieso-Kosten“ betrachten kann und nur die Mehrkosten für die Mess-, Steuer- und Regeltechnik den 3E-Investitionskosten zuordnet.

Die Simulationen zeigen, dass eine direkte Übertragung des Systems auf Einfamilienhäuser unter den aktuellen Rahmenbedingungen aus wirtschaftlicher Perspektive nicht sinnvoll ist. Hier ist ersatzweise die Verwendung einer Wärmepumpe zur Wärmeversorgung näher am Stand der Technik als der Einsatz von Brennstoffzellen oder Sterling-Motoren. Demgegenüber ist ein PV-Batterie-System als singulärer Stromerzeuger sinnvoll, die Wärmerzeugung erfolgt dann rein strombasiert.

Das Energiesystem der Zukunft wird durch zunehmende Anforderungen an die Regelbarkeit einzelner Verbraucher auf dezentraler Ebene geprägt sein. Hier bieten Konzepte wie das 3-Systeme Lösungsansätze, die sich adaptiert für Einfamilien- und Mehrfamilienhäuser bis hin zu Quartierslösungen übertragen lassen.

Die Wirkung des Konzepts auf eine stärkere Marktdurchdringung für E-Fahrzeuge ist wahrscheinlich gering, hier sollten von politischer Seiten wirkungsvollere Instrumente wie z.B. Kaufprämien oder strengere CO₂-Flottenzielwerte eingesetzt werden.

Für die weitere Verbreitung von dezentralen Energiekonzepten zur Erfüllung der klimapolitischen Ziele, sollten einerseits bessere Anreize für die Mini-KWK-Anlagen gemacht werden und andererseits regulatorische Hemmnisse abgebaut werden, die zurzeit noch die Sekundärnutzung von Batterien erschweren. Als positives Signal sei hier aber auch das Mieterstromgesetz über die EEG-Novelle 2017 genannt, das ein Schritt in die richtige Richtung ist, um dezentrale Konzept zu fördern.

Insgesamt wurden in den Feldtests des 3E-Projektes umfangreiche Erkenntnisse gewonnen, wie eine intelligente, energiewirtschaftlich optimierte Beladung von E-Fahrzeugen mit dezentral erzeugtem Strom umgesetzt werden kann. Zudem wurden wertvolle Erfahrungen mit den dazu notwendigen Mess-, Prognose- und Buchungssystemen gesammelt. Damit hat das 3E-Projekt praxistaugliche Lösungen zur Integration dezentraler Stromerzeuger und –verbraucher erprobt, die wichtige Bausteine für ein Energiesystem mit zunehmender Sektorenkopplung (Strom / Wärme / Mobilität) sind.

2 Einführung

2.1 Zielstellung des Projektes

E-Fahrzeuge fahren nur dann CO₂-frei, wenn sie mit erneuerbarer Energie beladen werden. Mit der Energiewende wächst die Zahl der E-Fahrzeuge. Auch die Eigenstromerzeugung in Gebäuden nimmt zu. Künftig können Eigenerzeugung und E-Mobilität sinnvoll kombiniert werden. Das System E-Fahrzeug, Ladeinfrastruktur und Stromnetz wird um lokale Kraftwerke ergänzt. So ein System muss einerseits – neben der Optimierung von Eigenerzeugung, Eigenverbrauch und Einspeisung – auch Mobilitätsbedürfnisse berücksichtigen. Andererseits entsteht durch eine intelligente Beladung die Möglichkeit, die Fahrzeugbatterie als zusätzlichen steuerbaren Verbraucher in das System einzubinden.

Bisher konzentrieren sich Forschung und Entwicklung zur Optimierung solcher Systeme auf Firmenstellplätze oder Einfamilienhäuser (EFH). Im Projekt 3E-Mehrfamilienhaus (MFH) wird dieses komplexe Zukunftssystem erstmals im MFH mit einer größeren Zahl von Wohnparteien erprobt. Im Projekt werden die kombinierte Strom- und Wärmeerzeugung von ZuhauseKraftwerken (Mini-Blockheizkraftwerke, im Folgenden BHKW genannt) sowie PV-Anlagen eingesetzt. Weiterhin wird neben dem Batteriespeicher im E-Fahrzeug ein stationärer Batteriespeicher installiert. Dieses Gesamtsystem wird von LichtBlick in die Energiehandelsmärkte eingebunden (SchwarmStrom) – zur Vermarktung überschüssigen Stroms aus den Erzeugungsanlagen und zum intelligentem Bezug des aus dem Netz benötigten Stromes. Das Projekt liefert Antworten auf ökologische und energiewirtschaftliche Fragen, die aus der Sicht von Mietern, Anlagenbesitzern und Poolbetreiber untersucht werden. Auch die bisher unbekanntenen Anforderungen an die Ladung der Fahrzeugbatterie im Rahmen des Quartiers-Carsharings und die gezielte Steuerung stationärer Batteriespeicher werden untersucht.

Der Projektpartner ifeu erstellt eine Ökobilanz des Systems. Weiterhin wird die Relevanz dieser Lösung für den aktuellen und erwarteten Gebäudebestand untersucht. Zudem wird gefragt, ob das System auf EFH übertragen werden kann und welche energiewirtschaftliche Rolle es im künftigen Energiesystem spielen könnte.

Grundsätzlich lässt sich diese komplexe Aufgabenstellung anhand von drei Kernfragen definieren:

- Wie ist die intelligente Beladung von E-Fahrzeugen im Rahmen eines Carsharing-Modells mit dezentral erzeugtem Strom technisch machbar?
- Wie hoch ist das wirtschaftliche Potential des optimierten Systems im Massenmarkt im Vergleich zu einer Beladung aus dem Netz?
- Wie hoch ist das ökologische Potential des optimierten Systems im Vergleich zu einer Beladung aus dem Netz?

2.2 Einordnung des 3E-Projekts in den förderpolitischen Rahmen

Laut dem nationalen Entwicklungsplan Elektromobilität der Bundesregierung sollen bis 2020 1 Mio. E-Fahrzeuge auf deutschen Straßen fahren. Deutschland soll des Weiteren zum Leitmarkt für Elektromobilität (E-Mobilität) entwickelt werden, um langfristig eine Führungsrolle der deutschen Automobilhersteller in diesem Bereich sicherzustellen. Die Anschaffungskosten für die Fahrzeuge stellen eine zentrale Herausforderung für diese Zielerreichung dar. Mit einer optimierten Steuerung und einer gezielten Einbindung der Fahrzeuge in die Energieoptimierung von Gebäuden können die derzeit hohen Anschaffungskosten für die Fahrzeuge schneller amortisiert werden.

Im Rahmen des Konjunkturpakets II hat das Bundesministerium für Umwelt, Naturschutz, Bau und Reaktorsicherheit (BMUB) bereits Innovationsprojekte von über 70 Partnern mit gut 100 Millionen Euro unterstützt. Mit dem Förderprogramm Elektromobilität, für die vorerst bis zum Jahr 2015 etwa 140 Mio. Euro zur Verfügung stehen, nutzt das BMUB die in den Forschungsprojekten gewonnenen Erkenntnisse und greift neueste Forschungsergebnisse in den Bereichen Batterie-, Fahrzeug- sowie Lade- und Netztechnologien auf.

Dieses Verbundprojekt wurde durch das Programm „Erneuerbar Mobil“ des Bundesministeriums für Umwelt, Naturschutz, Bau und Reaktorsicherheit (BMUB) gefördert und ist thematisch in die Kopplung von Elektromobilität an erneuerbare Energien und Netzintegration.

3 Voraussetzungen und Struktur des Projekts

3.1 Stand zu Projektbeginn in Deutschland

3.1.1 Erneuerbare Energien (mit dezentralem Schwerpunkt)

Erneuerbare Energien haben in den letzten 15 Jahren ihren Anteil am Brutto Endenergieverbrauch von etwa 4 % auf über 14 % gesteigert. Den größten Anteil daran haben Windenergie, Photovoltaik und Biomasse. Während die Installationszahlen von PV-Anlagen in den letzten Jahren wieder deutlich zurückgegangen sind (Quaschnig, 2017), steigen die Installationszahlen im Bereich der Windenergie sowohl im On- als auch im Offshore-Bereich 2014 deutlich an.

Ein Großteil dieser positiven Entwicklung des Erneuerbaren Energien-Anteils am Endenergieverbrauch Deutschlands ist dabei jedoch auf die Steigerung des Erneuerbaren Energien-Anteils im Stromsektor zurückzuführen.

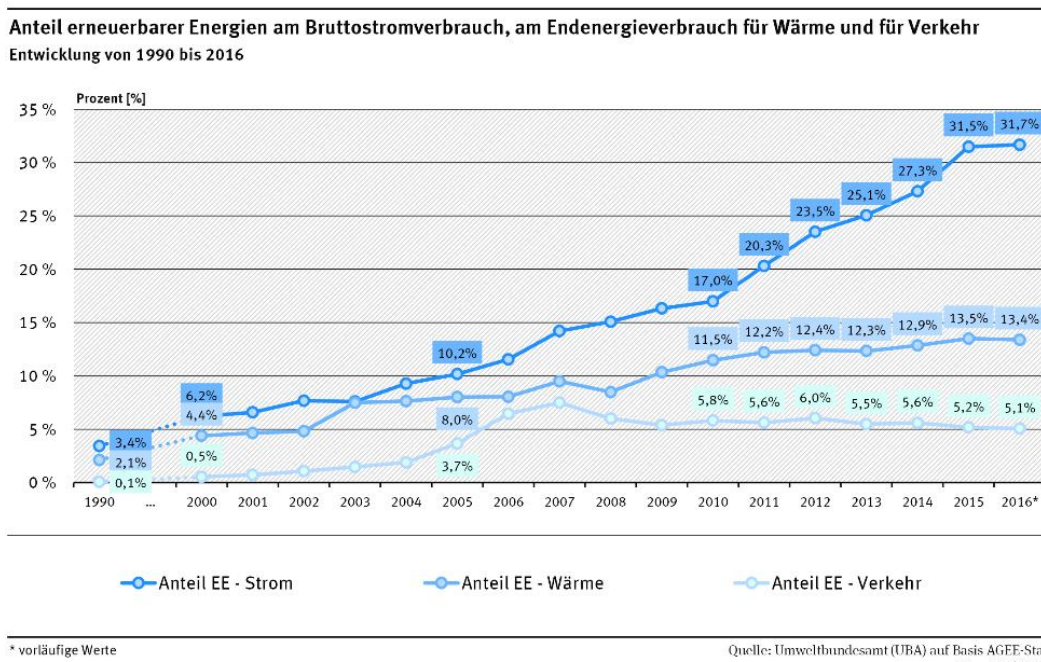


Abbildung 1: Umweltbundesamt, 2017

Die Abbildung 1 zeigt deutlich, dass der Anteil der Erneuerbaren Energien bei Verkehr und Wärme in den letzten Jahren kaum gewachsen, beziehungsweise sogar leicht gesunken ist. Aufgrund dessen ist es dringend notwendig, die Energiewende auch auf die Sektoren Wärme und Verkehr auszuweiten. Dezentrale KWK-Anlagen in Kombination mit Ladesäulen und einem Energiemanagementsystem bilden dafür optimale Voraussetzungen. Neben dem Wärmeverbrauch vor Ort und der effizienten Bereitstellung von klimafreundlichem Strom, bietet die Kombination mit Ökogas die Möglichkeit den Anteil Erneuerbarer Energien in den beiden Sektoren zu erhöhen.

Zusätzlich können PV-Anlagen, welche im direktem Zusammenhang zum Verbraucher installiert sind, den EE-Anteil im Strom und Verkehrsbereich deutlich anheben, ohne dabei die Netze zu belasten.

3.1.2 E-Fahrzeuge und Carsharing

Laut der Bundesregierung soll Deutschland im Jahr 2020 Leitanbieter und Leitmarkt im Bereich Elektromobilität sein. Deshalb ist nach wie vor das Ziel bis 2020 eine Millionen E-Fahrzeuge auf deutschen Straßen zu haben. Davon ist es aktuell noch sehr weit entfernt.

Trotz einer Vervierfachung der Zulassungen von 2010 bis 2015 ist ein Erreichen dieses Zieles bei etwa 12.000 reinen E-Fahrzeugen im Jahr 2015 und etwa nochmal so vielen Plug-in-Hybriden kaum vorstellbar. Alle weiteren Hybridfahrzeuge sind 2015 etwa doppelt so beliebt [Quelle: Statista]. Der Marktanteil von E-Fahrzeugen bleibt damit sehr begrenzt.

Trotz dieser Entwicklung hat die Regierung ihr 1-Millionen-Ziel noch nicht korrigiert und hat einige Maßnahmen ergriffen, um die Zulassungen von E-Fahrzeugen in den nächsten Jahren deutlich zu steigern. In Abbildung 2 ist dargestellt, welche Maßnahmen in den nächsten Jahren ergriffen werden müssen, um die Zahl der Elektroautos in den nächsten Jahren drastisch zu steigern. Die größten Probleme von rein

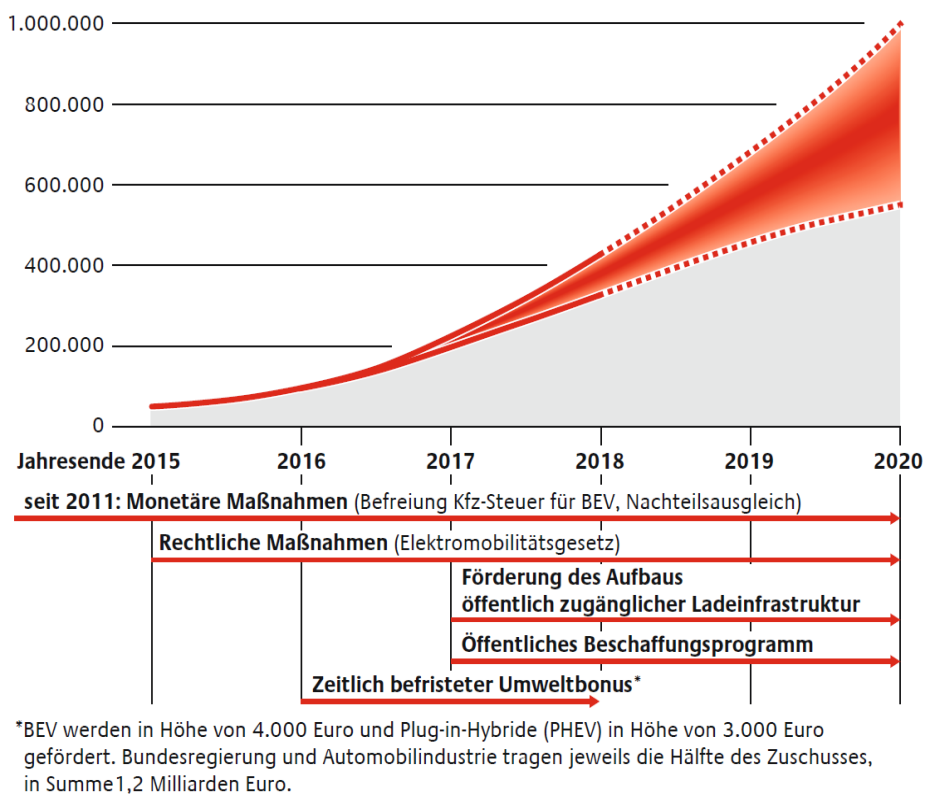


Abbildung 2: (NPE, Nationale Plattform Elektromobilität, 2017)

elektrisch betriebenen Fahrzeugen sind jedoch nach wie vor die Alltagstauglichkeit und der Verkaufspreis. Trotz des Fortschritts der vergangenen Jahre liegt die Reichweite deutlich unterhalb und der Preis deutlich oberhalb von vergleichbaren konventionell angetriebenen Fahrzeugen.

Attraktiv sind E-Fahrzeuge derzeit nur im innerstädtischen Raum. Hier bieten sie die Möglichkeit, effizient und mit Ökostrom emissionsfrei zum Ziel zu kommen. Auch kann sich die Wirtschaftlichkeit des Fahrzeuges verbessern, wenn der benötigte Ladestrom zu günstigen Konditionen bezogen werden kann. Zusammen mit Nutzungskonzepten wie öffentlichem und privatem Carsharing bieten sich günstigere Bedingungen für das E-Fahrzeug. Laut dem Umweltbundesamt, soll Carsharing neben ÖPNV, Rad- und Fußverkehr als weitere umweltfreundliche Verkehrsform etabliert werden. Diese drei zentralen Ziele korrelieren stark mit den Projektzielen des „3E-Mehrfamilienhauses“.

Dabei ist die Entwicklung eines Quartier-Carsharing-Konzeptes von zentraler Bedeutung. Neben den stationsunabhängigen Angeboten wie Car2go oder DriveNow bietet die Form der stationsbasierten Carsharing-Angebote verlässliche Alternativen zum privaten Kfz. In diesem Bereich hat sich die Anzahl der Fahrberechtigten bis 2014 auf über 300.000 erhöht. Erstmals gab es 2014 aber mehr Fahrberechtigte stationsunabhängiger Fahrzeuge von 420.000 (Bundesverband CarSharing, 2017).

3.1.3 „Ladestrategie“ (= nicht optimiert) bzw. Optimierungsprozesse

Bei der Ladung von E-Fahrzeugen findet derzeit in der Regel keine Optimierung oder strategische Beladung statt. E-Fahrzeuge werden mit der Ladesäule verbunden und laden mit der maximalen, vom Batteriemanagementsystem vorgegebenen, Leistung bis der Batteriespeicher voll ist oder der Ladevorgang durch das Trennen der Kabelverbindung unterbrochen wird.

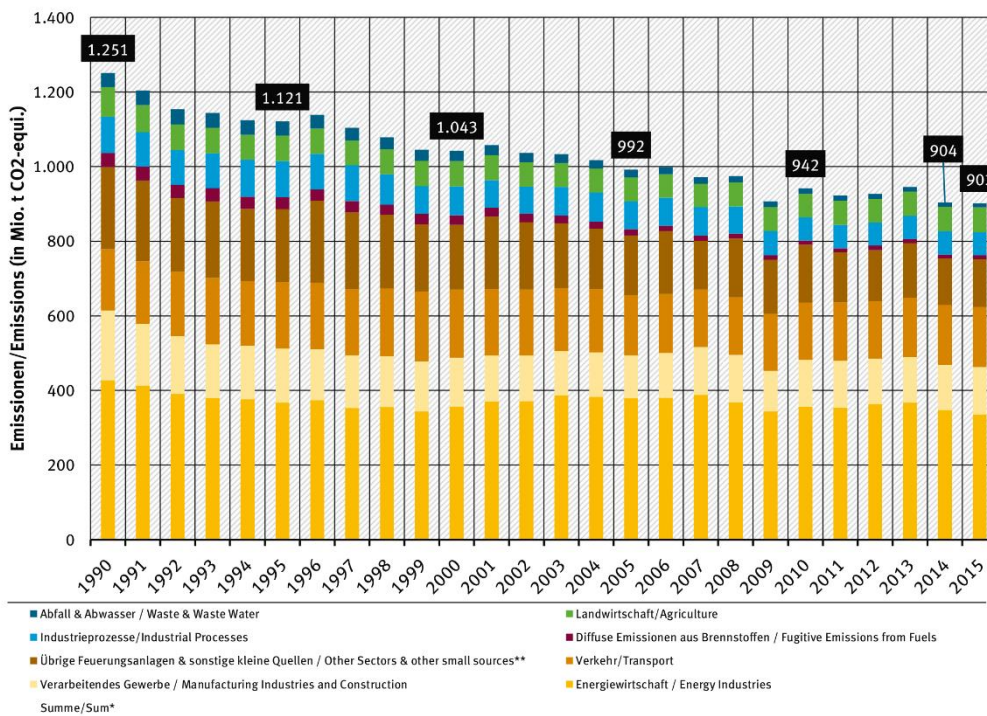
Bei hoher Durchdringung von E-Fahrzeugen ist eine Begrenzung der Ladeleistung innerhalb von Verteilernetzen zur Stabilisierung von Strom und Spannung durchaus sinnvoll (Fraunhofer IWES, 2010). Eine wirtschaftliche Optimierung der Beladung kann zudem die ökonomische Attraktivität von E-Fahrzeugen erhöhen. Beide Szenarien basieren auf einer „intelligenten“ Ladestrategie. Eine Voraussetzung derartiger Ladestrategien ist jedoch häufig die Kenntnis über Ladezustand und Abfahrtszeitpunkt des E-Fahrzeuges.

Im 3E-Projekt wird eine Ladestrategie entwickelt, welche darauf abzielt, zum einen eine wirtschaftliche Optimierung der Fahrzeugladung zu schaffen und zum anderen die Flexibilität des Nutzers und damit ungeplant durchgeführte Fahrten berücksichtigt.

3.1.4 Emissionen der Stromerzeugung und des Verkehrs

Deutschland hat sich verpflichtet seine Treibhausgasemissionen bis ins Jahr 2020 um 40 % gegenüber 1990 zu reduzieren. Von diesem Ziel ist man derzeit allerdings noch weit entfernt. Wie in Abbildung 3 ersichtlich ist, wurden zwar deutliche Emissionsminderungen erreicht, in den letzten Jahren bleiben die Werte der ausgestoßenen Treibhausgase allerdings weitgehend konstant und steigen teilweise sogar.

Jährliche Treibhausgas-Emissionen in Deutschland / Annual greenhouse gas emissions in
nach Kategorie / by category



*Ohne LULUCF
* Without LULUCF
** CRF 1.A.4 & 1.A.5

Quelle/Source: Umweltbundesamt: Nationales Treibhausgasinventar 2017, Endstand 04/2017

Abbildung 3: (Umweltbundesamt, 2017)

Der Verkehrssektor trägt mit etwa 18 % zu derartigen Emissionen bei und hat damit nach der Energiewirtschaft den zweitgrößten Anteil in Deutschland (Umweltbundesamt, 2017). Dabei werden die Emissionen im Verkehrssektor vom Straßenverkehr dominiert. Im Bereich des Güterverkehrs macht dieses Transportmittel etwa 70 % aus. Im Personenverkehr spielt der Anteil des motorisierten Individualverkehrs einen noch größeren Anteil von fast 80 % aus. Hinzu kommen die hohen spezifischen Emissionen dieser Transportmittel. Das führt dazu, dass etwa 95 % der verkehrsbedingten Emissionen direkt vom Straßenverkehr abhängen (Richter, 2012). Entsprechend groß ist das Potential der Emissionsminderung durch die Substitution der Antriebe und der Verlagerung der Transportkapazitäten in Richtung umweltfreundlicher Verkehrsmittel.

3.2 Inhaltliche und zeitliche Planung

3.2.1 Struktur des Projekts

Das Projekt war in insgesamt sechzig Arbeitspakete aufgeteilt, wovon das ifeu vorrangig die ökologischen und energiepolitischen Themen bearbeitet hat, während die Schwerpunkte von LichtBlick auf den technischen und energiewirtschaftlichen Teilen lagen.

3.2.2 Zeitlicher Ablauf

Das Projekt lief vom 1.1.2014 und endete zum 31.5.2017. Ursprünglich war das Projektende zum 31.12.2016 vorgesehen, es wurde jedoch eine Verlängerung um fünf Monate erforderlich. Hintergrund ist, dass das finale 3E-Systems, in dem alle Prognose- und Optimierungsalgorithmen vollständig in den SchwarmDirigent® integriert waren, über eine Heizperiode getestet und ausgewertet werden sollte.

Das Projekt war zeitlich unterteilt in die Konzept- und Entwicklungsphase zu Projektbeginn. Darauf folgte die Feldtestphase. Die beiden Feldtestobjekte wurden zeitlich versetzt umgesetzt, wodurch sichergestellt werden konnte, dass Erfahrungen und Weiterentwicklungen aus dem ersten Objekt in die Technik und Prozesse des zweiten Objekts einfließen konnten. Aufgrund dieser Vorgehensweise konnte auf die Umsetzung eines ursprünglich geplanten dritten Objekts verzichtet werden. Der umgesetzte Projektablauf ist im Meilensteinplan dargestellt.



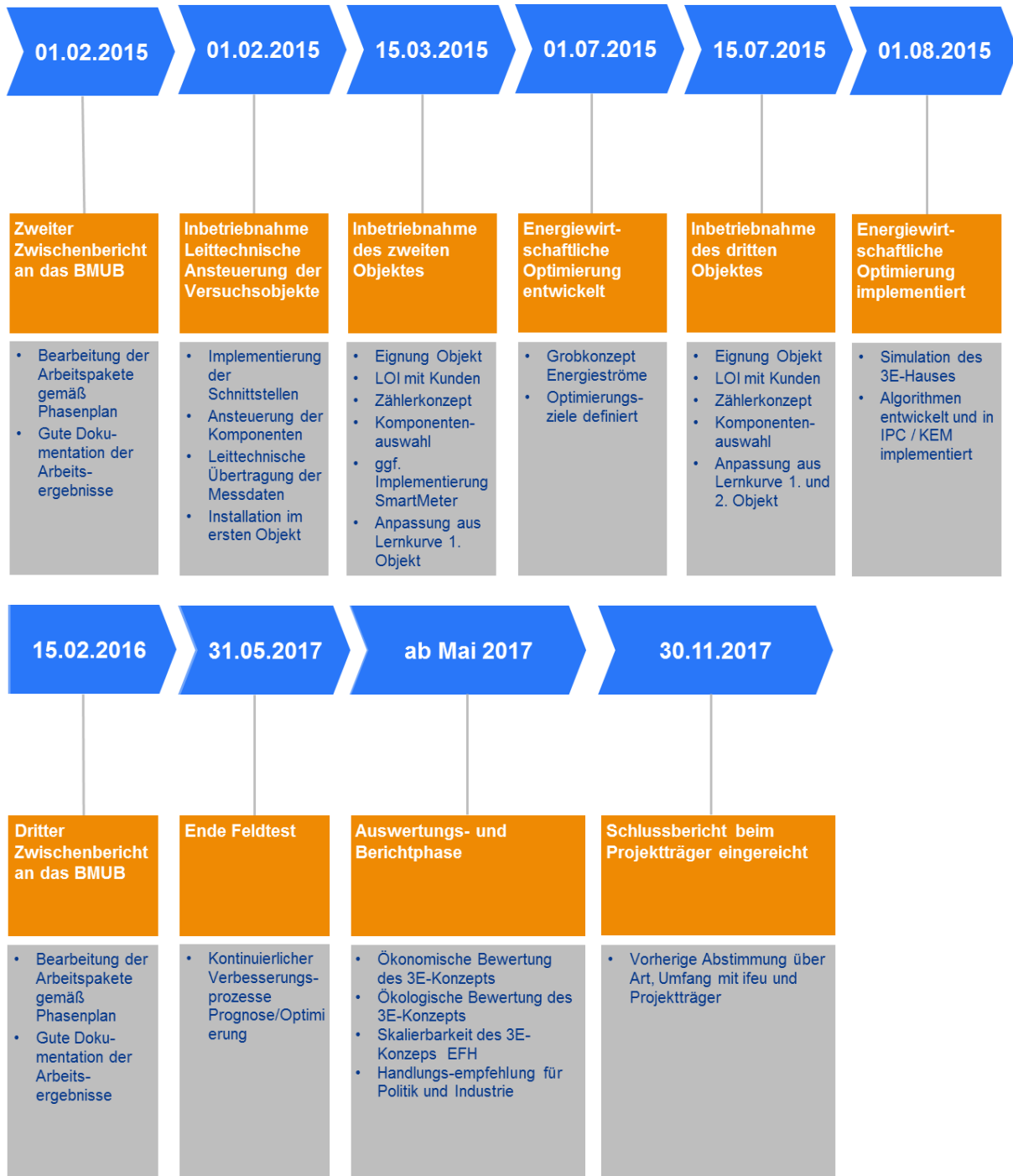


Abbildung 4: Meilensteinplan des 3E-Projekts

3.2.3 Kooperationen

Im Rahmen des Projektes wurden folgende Kooperationen abgeschlossen:

- Die Schnittstelle zwischen dem Carsharings-Buchungssystem und dem SchwarmDirigent® musste von LichtBlick und Ametras rentconcept GmbH entwickelt werden. Hier gelang erstmalig die Anbindung eines Carsharing-Modells an die Energiemärkte.
- Die weitere Kundenbetreuung des Carsharings erfolgte durch die fuhrwerk plus GmbH. Die E-Fahrzeuge wurden über die Alphabet Fuhrparkmanagement GmbH zur Verfügung gestellt.
- Die Ladesäulen wurden von der Firma Mennekes erworben. Hier mussten noch die projekterforderliche Datenkommunikation entwickelt werden.
- Mit Stromnetz Hamburg wurde ein Mess- und Abrechnungssystem abgestimmt, welches auf einer leicht implementierbaren Kaskadenmessung beruht.
- Die Gebers Energietechnik GmbH hat zuverlässig alle erforderlichen Montagen und Inbetriebnahmen durchgeführt.

Die Projektpartner bedankten sich bei den Kooperationspartnern für die offene und konstruktive Zusammenarbeit, sie haben erheblichen Anteil an der erfolgreichen Durchführung des Projekts.

Ein besonderer Dank gilt den Bewohnern der beiden Feldtestobjekte und den Nutzern des Carsharings Systems. Ohne deren Engagement, Geduld und Kooperation wäre die Durchführung des Projektes in dieser Form nicht möglich gewesen.

4 Technisches Gesamtsystem

4.1 Technische Anforderungen an das Gesamtkonzept

4.1.1 Anforderungsanalyse Gesamtkonzept Steuerung/Regelung/Komponenten

Bei der Umsetzung des Gesamtsystems im energieautarken MFH sind zunächst einmal die Anforderungen an die Ziele des Forschungsprojektes zu beachten. Das primäre Ziele im Projekt ist im Projektantrag so beschrieben „(..) *ein Energiesystem (..) wirtschaftlich zu optimieren und im Rahmen eines Feldtestes (..) zu testen.*“. Die einzusetzenden technischen Komponenten müssen daher dem aktuellen Stand der Technik entsprechen sowie als Massenware am Markt verfügbar sein, um eine repräsentative Optimierung der Wirtschaftlichkeit zu realisieren. Eine projektspezifische Entwicklung bestimmter Komponenten würde diese Repräsentativität verfälschen. Mit der Verwendung von marktverfügbaren Geräten brauchen darüber hinaus keine weiteren besonderen Anforderungen z.B. an die Überwachung netzparalleler Anlagen beachtet werden, die nicht ohnehin bei der Projektierung nach dem guten Stand der Technik eingehalten werden müssen.

Insgesamt ergeben sich für die Umsetzung folgende wesentliche Anforderungen, die bei der Erstellung eines Gesamtkonzeptes Beachtung finden müssen:

- Diskriminierungsfreie Energieversorgung aller Mieter im MFH (= freie Wahl des Stromversorgers)
- Uneingeschränkte Erfüllung der Wärmebedürfnisse der Mieter im MFH
- Erfüllung der Mobilitätsbedürfnisse der Fahrzeugnutzer
- Massenmarktkompatible Hardware
- Fähigkeit zur Fremdregelung des stationären und mobilen Batteriespeichers zur wirtschaftlichen Optimierung des Gesamtsystems
- Komponentenunabhängiger Betrieb des Gesamtsystems: Die Funktionsfähigkeit des Gesamtsystems darf nicht von der Funktion einzelner Komponenten abhängen. Jede Komponente muss im Standardfall auch isoliert betriebsfähig sein (z.B. bei Softwarefehlern oder bei Netzwerkausfall)
- Möglichst uneingeschränkte Elektrizitätsversorgung der Mieter während der Umbauphase

4.1.2 Umsetzungskonzept

Das Umsetzungskonzept des technischen Gesamtsystems aus doppelter Eigenerzeugung, stationärem und mobilem Speicher sowie häuslichem Eigenverbrauch wurde auf Basis der bereits bei LichtBlick etablierten Software-Systeme und unter Beachtung der erarbeiteten Anforderungsanalyse erstellt. Es stützt im wesentlichen auf folgenden Pfeilern:

- **AC-gekoppelte Installation aller Verbraucher und Erzeuger sowie Speicher**

Durch die AC-Kopplung lassen sich alle technischen Komponenten autark betreiben und können durch eine übergeordnete eigenentwickelte Leittechnik in ein Gesamtsystem integriert werden. Das Gesamtsystem kann ohne Anpassungsbedarf durch die Hersteller umgesetzt werden und Einzelkomponenten können ohne die Funktionseinschränkung des Gesamtsystems ausgetauscht werden.
- **Komponentenunabhängige Messung aller Energieströme**

Durch die komponentenunabhängige Messung aller Energieströme kann einerseits die Herstellerunabhängigkeit garantiert werden und andererseits besteht eine einheitliche Datenbasis für die Optimierung und Regelung der steuerbaren Komponenten. Auch bei Austausch einer technischen Komponente ändert sich an dem Messdatenpunkt nichts. Zudem kann der Messpunkt perspektivisch durch ein Smart Meter ersetzt werden, der zum Zeitpunkt des Projekts jedoch noch nicht zur Verfügung stand. So wurde im Umsetzungskonzept eine getrennte Messung von regelungs- und abrechnungstechnisch relevanten Messpunkten vorgesehen.
- **Trennung des IT-Systems in dezentrales und zentrales Systems**

Durch die Aufteilung des IT-Systems in ein dezentrales und ein zentrales System kann die bestehende Struktur der BHKW-Optimierung von LichtBlick weiterverwendet werden. Eine zentrale Optimierung wird überall dort vorgenommen, wo Prognosedaten für die Einsatzoptimierung notwendig sind und gleichzeitig Leistungsänderungen im groben zeitlichem Raster stattfinden. Die zentrale Optimierung kann so Fahrpläne mit Ein- und Auszeiten definieren oder Leistungsgrenzen für Ladung/Entladung vorgeben. Eine dezentrale Optimierung wird überall dort vorgenommen, wo sich Leistungsvorgaben sehr schnell ändern. So kann das BHKW in Abhängigkeit der Wärme- und Strombedarfsprognosen sowie der Wetterprognose sehr einfach zentral gesteuert werden, während Batteriespeicher und steuerbare Verbraucher durch eine dezentrale Steuerung Prognoseungenauigkeiten ausgleichen können. Zudem kann die dezentrale Steuerungslogik grundsätzlich auch völlig unabhängig von der zentralen Logik arbeiten. Netzwerk- und Internetausfälle beeinflussen somit nicht die Regelung, deren Eingangs- und Ausgangsgrößen ausschließlich auf Live-Messungen im Haus basieren.

Das Gesamtsystem kann somit wie in Abbildung 5 dargestellt skizziert werden.

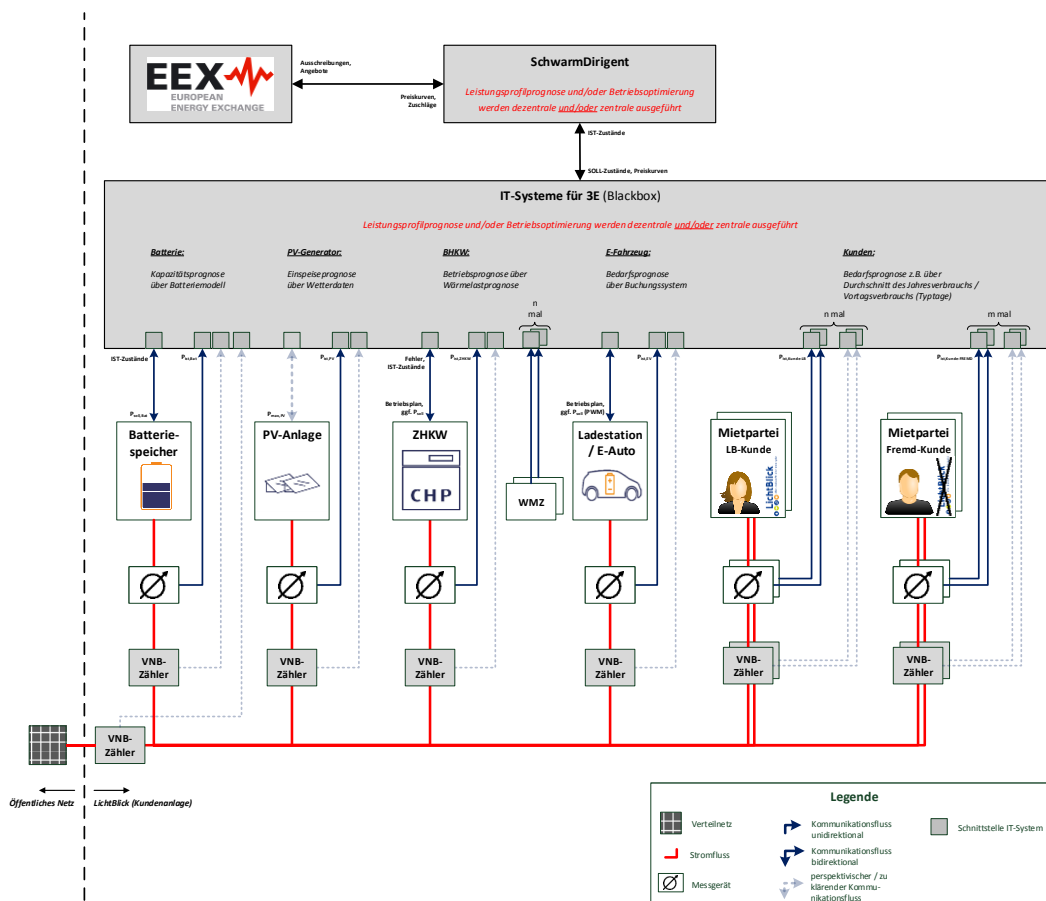


Abbildung 5: Schematische Darstellung des technischen Gesamtkonzepts

4.2 Technische Umsetzung

Die technische Umsetzung des Gesamtkonzepts im MFH gliedert sich im Wesentlichen auf drei Kerngebiete, die isoliert betrachtet und projektiert werden können und dann durch die projektspezifischen Softwarelösungen zu einem optimierten Gesamtsystem verknüpft werden. Diese drei Kerngebiete sind:

- Technische Komponenten sowie deren Installation im MFH
- Carsharing-Services inklusiver der entsprechenden Anpassungen im E-Fahrzeug
- SchwarmDirigent® inklusiver der notwendigen Systemarchitektur

Die technischen Komponenten sind gemäß dem Gesamtkonzept ohne Fremdregelung voll funktionsfähig. Die Carsharing-Services ermöglichen eine Nutzung der E-Fahrzeuge auch ohne Eigenverbrauchsoptimierung an häuslicher Ladestation und die Systemarchitektur des SchwarmDirigent® wird ohnehin hardwareagnostisch aufgebaut. Aus diesem Grund werden im Folgenden die drei Kerngebiete der technischen Umsetzung getrennt beschrieben.

4.2.1 Durchführung und Betrieb der Feldtestobjekte

Für die erfolgreiche Durchführung und den Betrieb der Feldtestobjekte ist eine hohe Nutzerakzeptanz sehr wichtig. Da die Bewohner der MFH Menschen aus allen sozialen Schichten sowie mit unterschiedlicher Affinität zu nachhaltigen und innovativen Energieversorgungssystemen sind, war im Forschungsprojekt eine möglichst geringe Beeinträchtigung während der Umbauphase sowie ein einfacher Zugang zu dem Mieterstrom- und Mobilitätsangebot von hoher Bedeutung. Ein Ausfall der Strom- und Wärmeversorgung ist nur schwer zu vermitteln. Die für die Optimierung und Regelung notwendige Messtechnik wurde daher als indirekte Wandler Messung mit Klappstromwandlern installiert, siehe Abbildung 6. Der Vorteil dieser Messtechnik liegt vor allem darin, dass die bereits bestehenden Ableitungen im Verteilerkasten zu den Wohnungen nicht geschnitten und damit unterbrochen werden müssen. Alle Verbraucher und Erzeuger werden einzeln gemessen, so dass die Software anforderungsbezogen Summen bilden und Sollwerte zur Steuerung der mobilen und stationären Batteriespeicher berechnen kann. So kann sichergestellt werden, dass drittversorgte Bewohner keine Energie aus dem stationären Batteriespeicher beziehen und das gesamte Haus dennoch ohne zweite Sammelschiene auskommen kann. Mit Hinblick auf einen späteren Massenmarkt können die Messpunkte zu einem späteren Zeitpunkt durch Smart Meter ersetzt werden ohne die Systemstruktur anpassen zu müssen.



Abbildung 6: Unterverteilung mit Klappstromwandler und Prüfklemmen für die Messtechnik der dezentralen Optimierung (links) sowie die unabhängige Messung des gesamten Verbrauchs für die Eigenregelung des stationären Batteriespeichers (rechts, oben) und das BHKW im Vogelhüttendeich (rechts, unten).

Im Weiteren wurde für den Vogelhüttendeich (VHD) eine besondere Messtechnik für den stationären Batteriespeicher aufgebaut, da die Bewohner als Einkaufsgemeinschaft auftraten, also keine Versorgung durch dritte Anbieter sichergestellt werden musste. Außerdem war die PV-Anlage zur Eigenverbrauchsoptimierung der Einkaufsgemeinschaft bereits installiert. Aus diesem Grund wurden mobiler und stationärer Batteriespeicher zwischen Hausanschluss und Unterverteilung der Bewohner installiert und die Energieflüsse auf der Bilanzgrenze gemessen: Der PV-Überschuss wurde den Bewohnern mit dem gültigen EEG-Tarif vergütet und zwischengespeichert. Der Reststrombezug für die Einkaufsgemeinschaft ergab sich somit schon ohne Optimierung aus Netzbezug und Speicherstrom. Diese Regelungsvariante diente für die Installation somit auch als Fallback-Version, falls die übergeordnete Regelung ausfiel. Siehe Abbildung 7.

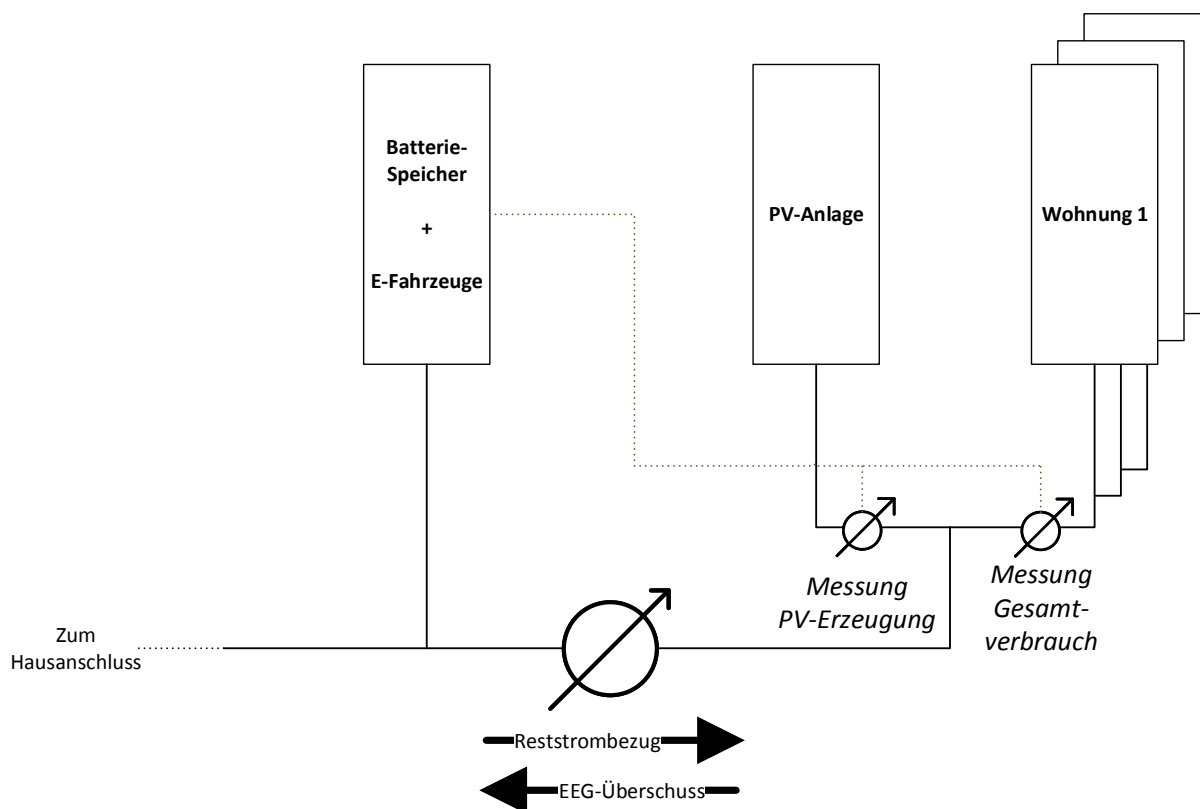


Abbildung 7: Bilanzierung von Überschuss- und Reststrom im VHD.

In der Marienthaler Straße (MTS) wurde eine andere Variante des Zählerkonzeptes gewählt, die auch eine diskriminierungsfreie Stromversorgung durch dritte Anbieter garantiert. Um die doppelte Eigenerzeugung bilanzieren zu können, bedarf es einer komplexen Messstelle aus mehreren Zählern deren Werte miteinander verrechnet werden. Hierfür wurde eine Kaskadenschaltung nach VBEW MK B4 umgesetzt und auf dieser Basis mit dem örtlichen Netzbetreiber eine Verrechnungsvorschrift für einen virtuellen Zählpunkt bestimmt. Die Zählerdaten wurden per Mobilfunk an den SchwarmDirigent® auf Basis des Messkonzeptes

aus dem INEES-Projekt¹ übermittelt. Die technische Umsetzung der Messkaskade ist in Abbildung 8 dargestellt.

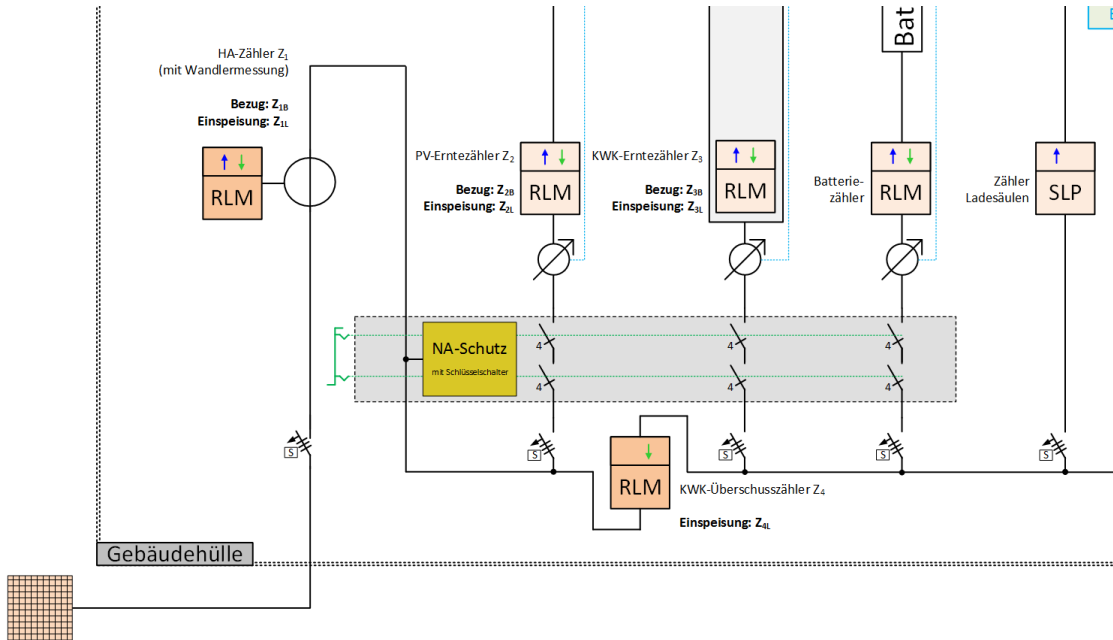


Abbildung 8: Zählerkonzept in der MTS mit KWK-Überschuss- und Hausanschlusszähler (Kaskadenmessung).

Als Ladeinfrastruktur wurden im Projekt Ladestationen vom Typ Amtron von Mennekes gewählt. Die Ladestationen ermöglichen eine Freischaltung für den Ladevorgang durch einen RFID-Chip. Da die Kennung des RFID-Chips per Netzwerk ausgelesen werden kann, kann eine eindeutige Zuordnung zwischen Ladechip und Fahrzeug realisiert werden. Dies ermöglicht, dass die im Projekt entwickelte dezentrale Steuerung bezogen auf den Fahrzeugtyp eine Ladezustandsberechnung durchführen kann, da hierfür die fahrzeugspezifische Batteriekapazität notwendig ist. Der Ladezustand lässt sich nicht während des Ladevorgangs kontinuierlich aus den Fahrzeugen auslesen, sondern kann nur einmalig zu Beginn der Ladung ausgelesen werden.

Für die Beeinflussung der Ladeleistung der E-Fahrzeuge wurde im Projekt ein eigenes Regelungskonzept entwickelt, welches in Kapitel 4.3.4 beschrieben wird.

¹ <http://www.erneuerbar-mobil.de/projekte/inees>

4.2.2 Aufbau und Betrieb einer Carsharing-Flotte mit Buchungssystem

Im Projekt wurde eine Carsharing-Flotte bestehend aus E-Fahrzeugen aufgebaut, die neben den Batteriespeichern als steuerbare Speicher in das energetische Gesamtsystem integriert werden. Zu Projektbeginn besaß kein Bewohner der Feldtestobjekte E-Fahrzeug, zudem hatten nur wenige Bewohner Erfahrung mit Carsharing-Modellen wie bspw. Car2Go in Hamburg. Hieraus ergaben sich die folgenden Projektziele:

- Gemeinschaftliche Nutzung von E-Fahrzeugen durch die Bewohner der MFH.
- Möglichst vollständige Substitution der privaten Verbrennungsfahrzeuge
- Entwicklung eines privaten, praxisnahen Nutzungskonzeptes.
- Steuerung und Optimierung von Ladevorgängen.

Die Herausforderung im Projekt bestand darin, nicht nur eine Carsharing-Flotte mit zugehörigem Buchungssystem aufzubauen, sondern diese eben mit E-Fahrzeugen zu betreiben für die eine zugehörige Ladeinfrastruktur geschaffen werden musste. Im Einzelnen gliederten sich die Herausforderungen auf die Bestandteile der Ladestationen, der E-Fahrzeuge und des Buchungssystems.

Ladestationen

Für die Auswahl einer geeigneten Ladestation wurde eine Marktanalyse zu verfügbarer Technik und Produkten durchgeführt. Dazu gab es Gespräche mit verschiedenen Herstellern in denen der teils sehr unterschiedliche Stand der Technik deutlich wurde. Aus den Gesprächen wurde deutlich, dass zum damaligen Projektzeitpunkt eine Ladesteuerung bei gängigen Marktprodukten nur über die Ladestation möglich war. D.h. die Ladestation gibt eine maximal mögliche Ladeleistung vor, die dann vom E-Fahrzeug angenommen wird. Die Ladung erfolgt dabei üblicherweise über AC (Wechselstrom) mit Ladeleistungen bis maximal 22 kW. Für die Auswahl eines Herstellers, bzw. eines Ladestationsmodells wurden die folgenden Kriterien formuliert:

Anforderungen an die Ladestation

- Möglichkeit zur Steuerung von Ladevorgängen (Zeitpunkt, Ladeleistung).
 - Identifikation von Fahrzeugen an der Ladestation.
 - Zugangsbeschränkung bspw. über RFID-Karten.
 - Möglichst marktnahes Produkt mit marktnahen Produktkosten, keine Forschungslösung
 - Möglichst hohe Ladeleistungen



Im Projekt wurde schlussendlich die AMTRON Premium Ladestation der Firma Mennekes eingesetzt. Neben den notwendigen technischen Eigenschaften (22 kW Ladeleistung, RFID Identifikation, Typ 2 Stecker) bot diese Ladestation auch die Möglichkeit der leittechnischen Anbindung an die LichtBlick-Systeme. Im Rahmen des Projektes erklärte sich die Firma Mennekes dazu bereit, die Spezifikation der Kommunikationsschnittstelle (Mennekes Home Charger Protokoll) mit LichtBlick zu teilen.

E-Fahrzeug

Ähnlich zur Auswahl der Ladestation wurde auch für die E-Fahrzeuge zunächst eine Marktrecherche zu verfügbaren Fahrzeugmodellen durchgeführt. Die Recherche ergab teils signifikante Unterschiede zur Ladetechnik, Reichweite oder Preisgestaltung. Für die Auswahl der E-Fahrzeuge wurden ebenfalls Anforderungskriterien definiert:

Anforderungen an die E-Fahrzeuge

- Möglichkeit zur Steuerung von Ladevorgängen (Zeitpunkt, Ladeleistung).
- Optimierungspotenzial durch möglichst hohe Ladeleistung und Batteriekapazität.
- Kompatibilität zum Buchungssystem.
- Benutzerfreundlichkeit (u.a. Reichweite, Laderaum, Komfort).

In die engere Auswahl kamen die Fahrzeugmodelle Smart ED, BMW i3, Volkswagen e-up! und Renault Zoe. Im Projekt wurden schlussendlich drei BMW i3 und ein Smart ED ausgewählt. Beide Fahrzeuge verfügen mit 18,7 kWh, bzw. 16 kWh auch im Alltagsbetrieb über eine Reichweite über 100 km. Mit dem Smart ED konnte zudem eine hohe Ladeleistung von 22 kW erprobt werden, der BMW i3 kommt hier nur auf rund 7 kW.

Buchungssystem

Die größte Herausforderung beim Aufbau einer Carsharing-Flotte lag im Projekt in der Bereitstellung eines geeigneten Buchungssystems. Das Buchungssystem hat eine direkte Auswirkung auf die Auslastung der Fahrzeuge, da es die Buchung und den Zugang zu den Fahrzeugen regelt und somit möglichst nutzerfreundlich sein soll. Für die energiewirtschaftlich optimierte Ladung der Fahrzeuge muss im Projekt darüber hinaus ein Datenaustausch zwischen Buchungssystem und den LichtBlick-Systemen möglich sein. Da zu Projektbeginn nicht klar war welche dieser Anforderungen ein modernes Buchungssystem erfüllen kann, wurden mögliche Ausbaustufen definiert.

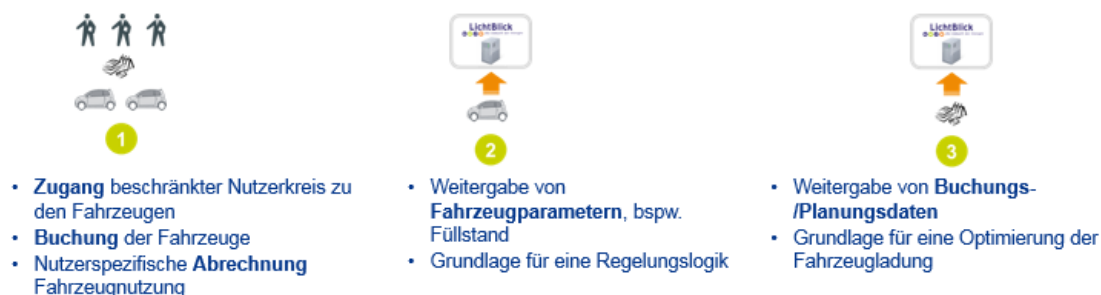


Abbildung 9: Ausbaustufen des Buchungssystems im Forschungsprojekt

In jedem Fall muss das Buchungssystem den Fahrzeugzugang für einen beschränkten Nutzerkreis ermöglichen. Zudem sollten Fahrzeuge im Voraus buchbar sein, sowie im Nachgang eine Abrechnung der Nutzung erfolgen (Ausbaustufe 1). In einem weiteren Schritt sollten vom Buchungssystem wichtige Daten für die Ladesteuerung bereitgestellt werden. Da eine direkte Kommunikation zwischen Ladestation und Fahrzeug zum Projektzeitpunkt mit marktüblichen Produkten nicht möglich war, sollte das Buchungssystem bspw. in der Lage sein, den Füllstand des Fahrzeuges auszulesen um diesen an die LichtBlick-Systeme zu senden (Ausbaustufe 2). In der letzten Ausbaustufe liefert das Buchungssystem wichtige Informationen für die zukünftige Optimierung der Ladevorgänge. So sollten wichtige Buchungsdaten wie Zeitpunkt oder geplante Fahrdistanz für die Zukunft übermittelt werden können (Ausbaustufe 3).

Wie bereits bei der Auswahl der Ladestation und den E-Fahrzeugen erfolgte auch für das Buchungssystem eine detaillierte Marktrecherche. Dabei wurde die Vielzahl der am Markt vorhandenen Technologien deutlich. Diese unterschieden sich technisch jedoch stark und reichen von einer recht einfachen, zentralen Schlüsselverwaltung hin zu einer technisch anspruchsvollen, IT-basierten Flottenmanagementlösung mit notwendiger Technologie in den Fahrzeugen. Für den Projekterfolg war es notwendig auf eine IT-basierte Lösung zu setzen, auch wenn klar war, dass diese in der Umsetzung mit deutlich höherem Aufwand verbunden ist. Zur Auswahl kam die Flottenmanagementlösung der Firma Ametras. Diese bietet den Nutzern eine App/Webapplikation über welche bspw. Buchung durchgeführt werden können. Der Zugang zu den Fahrzeugen ist per RFID-Chip möglich. Eine zugehörige Flottenmanagementsoftware erlaubt es bspw. verschiedene Tarifmodelle umzusetzen oder Fahrzeugdaten wie Ladezustand und weitere Buchungsdaten zu erfassen. Im Folgenden wird auf die konkrete Umsetzung für die Aspekte Smartphone-Applikation, Technik im Fahrzeug, Flottenmanagementsoftware eingegangen.

Die Smartphone-Applikation (bzw. Web-Applikation) ermöglicht den Nutzern die komfortable Buchung von Fahrzeugen. Entsprechend dem angegebenen Buchungswunsch wird die Verfügbarkeit der Fahrzeuge geprüft. Anschließend erfolgt die Auswahl eines Fahrzeugtyps und dessen Reservierung. Über die Applikation wird dem Nutzer die Ausleihe und Rückgabe des Fahrzeuges ermöglicht. Da nicht alle Nutzer ein Smartphone besaßen, ist dies ebenfalls per RFID-Chip möglich. Im Nutzerprofil lassen sich die zukünftigen und vergangenen Buchungen anzeigen und verwalten.

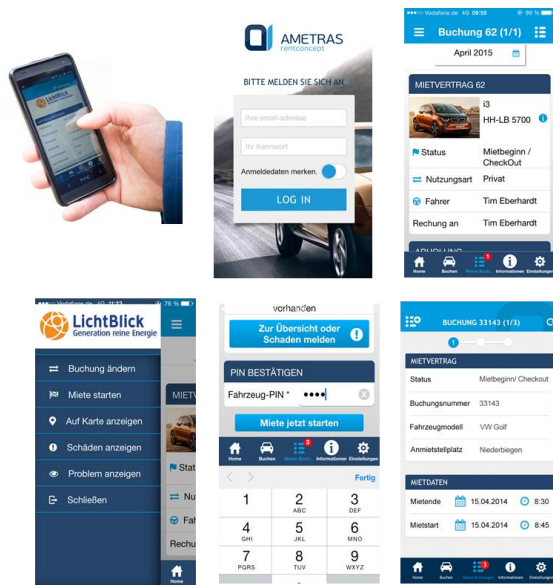


Abbildung 10: Eindrücke der Smartphone-Applikation für die Buchung der Fahrzeuge

Für die Funktionalität des Buchungssystems musste in den Fahrzeugen Technik verbaut werden. Für das Öffnen und Schließen der Fahrzeuge wurde neben der Smartphone-App ein RFID-Reader in der Frontscheibe eingesetzt. Mit einer RFID-Karte konnte der Nutzer bei Mietstart und Mietende sich identifizieren und so das Fahrzeug öffnen, bzw. schließen. Für die Kommunikation des Fahrzeuges mit dem Flottenmanagementsystem wurde eine Steuerbox durch die Firma Ametras im Fahrzeug installiert. Die Steuerbox ist in das CAN-BUS-System des Fahrzeuges integriert und kann Daten wie den Batteriefüllstand abfragen, oder Befehle wie das Schließen des Fahrzeuges vorgeben. Darüber hinaus ist die Steuerbox mit dem RFID-Reader und einem Key-Holder verbunden, welcher an dem der Fahrzeugschlüssel verwahrt werden konnte. Die Kommunikation der Steuerbox zur Flottenmanagementsoftware erfolgte per Mobilfunk. Vor dem Einbau wurde an den jeweiligen Feldtestobjekten der Mobilfunkempfang getestet und sichergestellt. Da die im Projekt entwickelte Lösung auf einen guten Mobilfunkempfang angewiesen ist, lässt sich diese beispielsweise in Tiefgaragen nicht ohne weiteres umsetzen.

Zentraler Bestandteil des gesamten Nutzungskonzeptes war die von Ametras bereitgestellte Flottenmanagementsoftware. Diese wurde im Rahmen des Forschungsprojektes erstmals für eine private Carsharing-Anwendung mit nur wenigen Nutzern und E-Fahrzeugen eingesetzt. Zentrale Aufgabe der Flottenmanagementsoftware ist die Verwaltung und Durchführung von Fahrzeugausleihen. Für die Betreuung der Kunden bietet die Software einen Webzugang, über welchen zentrale Einstellungen am System vorgenommen werden können, sowie jederzeit der Zustand des Gesamtsystems einsehbar ist. In der Software werden getätigte und geplante Buchungen hinterlegt, zudem erfolgt die Abrechnung der Fahrten und Verwaltung der Nutzer. Die Software bietet sowohl dem Nutzer (Webapplikation), als auch dem Anbieter des Carsharings einen Zugang. LichtBlick-Mitarbeiter wurden für diesen Zugang in der Bedienung der Software durch Ametras geschult, so dass diese verschiedenen Geschäftsprozesse durchführen konnten. Als Beispiel ist das Anlegen eines neuen Nutzers, Gestaltung des Tariffsystems oder Ein-/Austragen von Fahrtbuchungen

zu nennen. Zudem konnten mit der Unterstützung der Software den Nutzern bei Fragen Hilfestellungen angeboten werden.

Im Rahmen des Forschungsprojektes konnte erstmals ein Datenaustausch zwischen der Ametras Flottenmanagementsoftware und dem Energiemanagementsystem von LichtBlick etabliert werden. Die Daten ließen sich so bei der Planung und Steuerung der Ladevorgänge berücksichtigen. Für den Datenaustausch wurde zwischen den Ametras- und LichtBlick-Systemen eine Server-to-Server Kommunikationsschnittstelle basierend auf REST spezifiziert und entwickelt. Über diese Schnittstelle war der vollautomatische Datenaustausch möglich.

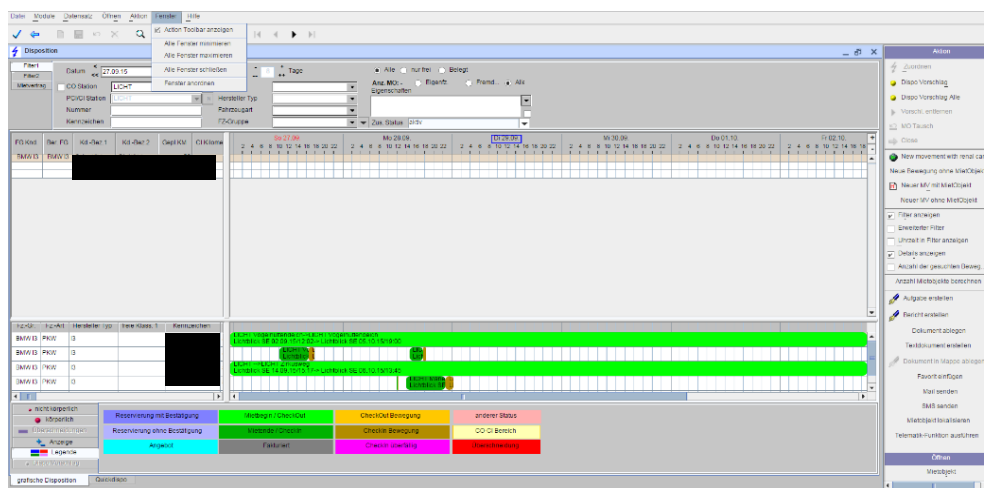


Abbildung 11: Ansicht der Ametras Flottenmanagementsoftware

Zum Aufbau und Betrieb einer funktionierenden Carsharing-Flotte zählt auch die Ausgestaltung eines Tarifsystems. In mehreren Workshops wurden verschiedene Modelle entworfen und diskutiert. Bereits heute gibt es in der Praxis verschiedenste Formen der Tarifierung wie beispielsweise zeitbasierte Modelle, Fahr-distanz abhängige Modelle oder Kombinationen daraus. Klar war, dass im Projekt ein finanziell attraktives, möglichst einfaches Tarifsystem Anwendung finden sollte, so dass eine möglichst hohe Auslastung der Fahrzeugflotte und möglichst vollständige Substituierung der privaten Fahrzeuge erreicht wird. Die Konditionen waren dabei deutlich attraktiver im Vergleich zu öffentlichen Carsharing-Angeboten in Hamburg wie beispielsweise Car2Go. In folgender Abbildung ist ein Bestandteil des umgesetzten Tarifsystems dargestellt.

Zeitbasierte Tarife,
Kilometer inklusive

Tarife

Leistung/ Tarif	Preis	Anmerkung
Minutenpreis spontane Miete	0,05 € je Min.	Kosten je Minute für die tatsächliche Mietdauer
Minutenpreis geplante Miete	0,04 € je Min	Kosten je Minute für die tatsächliche Mietdauer bei Buchung bis 12 h vor Mietstart
Verspäteter Mietstart	0,04 € je Min.	Kosten je Minute für den Zeitraum zwischen tatsächlichem Mietstart und geplantem Mietstart (Kulanz 15 Minuten)
Vorzeitiges Mietende	0,04 € je Min.	Kosten je Minute für den Zeitraum zwischen tatsächlichem Mietende und geplantem Mietende (Kulanz 15 Minuten)
Verspätetes Mietende	0,50 € je Min.	zusätzlich zur Miete je Minute Verspätung (max. 30 Euro / Kulanz 30 Minuten)
Tagestarif je 24 h	40 Euro	Bis maximal 48 h
Gebühr: Stornierung ab 6 h vor Mietstart	0,04 € je Min.	je Minute für geplanten Mietzeitraum / max. für 120 Minuten
Gebühr: nicht Antreten einer Buchung	6 €	

Abbildung 12: Tarifierung für die Nutzung der Fahrzeuge im Projekt

Basis für die Berechnung der Kosten ist ein zeitabhängiger Tarif. Für die Optimierung der Ladevorgänge für die E-Fahrzeuge ist es von großer Bedeutung, eine möglichst exakte Kenntnis über zukünftige Fahrten zu erhalten. Daher wurden die Nutzer über verschiedene vergünstigte Tarifbestandteile dazu angereizt, ihre Fahrten möglichst exakt und im Voraus zu planen. Bei abweichendem Verhalten, was eine Beeinträchtigung der geplanten Fahrten anderer Nutzer hervorruft, erhöhen sich im Gegenzug der Tarif (u.a. verspäteter Mietstart/Mietende). Die Wirksamkeit des Tarifsystems und Erfahrungen damit werden in Kapitel 5.3.4.2 beschrieben.

4.2.3 Aufbau und Betrieb SchwarmDirigent®

Der SchwarmDirigent® ist die von LichtBlick entwickelte Software, die im speziellen Lösungen zur Integration kleinerer dezentraler Erzeugungs-, Verbrauchs- und Speicher-Einheiten in die Energiemärkte bietet. Für das 3E-Projekt konnten viele bereits bestehende Funktionalitäten des SchwarmDirigent® verwendet werden. Es waren jedoch auch viele projektspezifische Anpassungen und Erweiterungen erforderlich.

Zentrale und dezentrale Systembestandteile

Neben den zentralen Systembestandteilen des SchwarmDirigent® sind viele 3E-Funktionalitäten auf die dezentralen Systemkomponenten verlagert worden, die lokal in den 3E-Feldtestobjekten verbaut worden sind. Die wesentlichen Gründe sind:

- Geordneter Betrieb bei Kommunikationsausfällen – Sofern es zu Kommunikationsverzögerungen oder -ausfällen zwischen dem SchwarmDirigent® und einem oder mehreren der 3E-Feldtestobjekte kommt, kann die lokale Messwerterfassung und Steuerung davon unbeeindruckt fortgesetzt werden. Kommunikationsausfälle führen dazu, dass u.a. neu getätigte Buchungen der E-Fahrzeuge vorübergehend nicht übermittelt werden können. Daher wird das lokale System bei längeren

Kommunikationsausfällen in einen sicheren Betriebsmodus versetzt, der die Mobilität der E-Fahrzeug-Nutzer gewährleistet (maximale Beladung der E-Fahrzeuge).

- Reaktionszeit der Regelung – Die Steuerung der lokalen Komponenten, d.h. der E-Fahrzeug-Ladestationen und insbesondere des stationären Batteriespeichers, soll möglichst zeitnah auf die aktuelle Leistungsunterdeckung bzw. den aktuellen Leistungsüberschuss (kW-Wert) reagieren. Durch eine lokale Regelung werden Latenzen durch die Kommunikationswege (3E-Feldtestobjekt – Rechenzentrum, hin und zurück) sowie durch Vermeidung zusätzlicher Verarbeitungsschritte im SchwarmDirigent® deutlich reduziert.

Das lokale IT-System wird im Forschungsprojekt durch Zusammenschluss eines IPCs mit einem Kiwigrad Energy Manager realisiert. Diese kombinierte Lösung eignet sich nicht für den Massenmarkt. Im Forschungsprojekt bietet sie jedoch Vorteile, die aus der folgenden Beschreibung der einzelnen Systembestandteile deutlich werden. Die Prognose- und Optimierungsalgorithmen sowie Verwaltungsaufgaben sind hingegen sinnvollerweise zentral – d.h. auf der IT-Infrastruktur im LichtBlick-Rechenzentrum – zu implementieren.

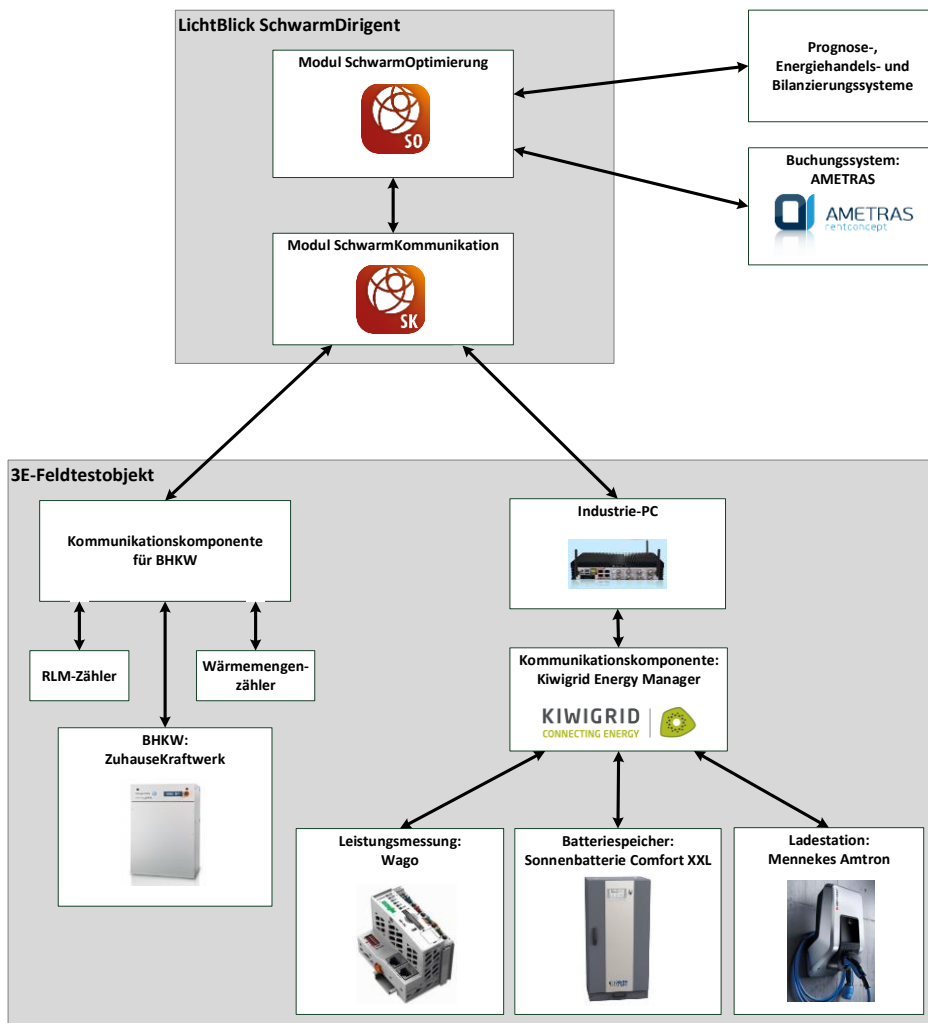


Abbildung 13: Systemübersicht zentral Steuerung und dezentralen Regelung

Beschreibung der einzelnen Systembestandteile

- **Prognose-, Energiehandels- und Bilanzierungssysteme** – Die Prognosesysteme liefern im 3E-Projekt Prognosen für die Optimierung. Die PV-Stromerzeugungsprognosen und die Strompreisprognosen werden von externen Dienstleistern eingekauft. Durch die Energiehandels- und Bilanzierungssysteme werden gängige Marktprozesse abgebildet. Überschüsse und Unterdeckungen der 3E-Feldtestobjekte gehen in die Vermarktung bzw. Beschaffung ein.
- **Buchungssystem Ametras** – Aus dem Buchungssystem der Firma Ametras werden zum einen die Fahrzeugbuchungen und zum anderen aktuelle Informationen zum Fahrzeugstatus (Ankunftszeit und Ladezustand der Fahrzeugbatterie) abgerufen. Die Fahrzeugbuchungen gehen in die Optimierung ein. Die Informationen zum Fahrzeugstatus werden an die dezentrale Steuerung des zugehörigen 3E-Feldtestobjektes übertragen und dort bei der Ladesteuerung berücksichtigt.
- **SchwarmOptimierung** – In der SchwarmOptimierung findet täglich rollierend für die nächsten drei Tage die Optimierung der BHKW statt. Für das 3E-Projekt wurde die BHKW-Optimierung so angepasst, dass diese die speziellen Rahmenbedingungen – insbesondere den prognostizierten Verbrauch der teilnehmenden Hausbewohner sowie die geplante Beladung der E-Fahrzeuge – berücksichtigt. Hierbei wird berücksichtigt, ob es vorteilhafter ist, (a) möglichst viel vom lokal erzeugten Strom selbst zu verbrauchen oder (b) ihn zu bestimmten Zeiten an den Strommärkten zu verkaufen und zu anderen Zeiten Strom günstig von den Märkten zu beziehen, um damit die Bewohner zu versorgen und die Batteriespeicher aufzuladen. Unter den aktuellen Gegebenheiten ist es jedoch so gut wie immer von Vorteil, den Eigenverbrauch zu maximieren. Neben der BHKW-Optimierung findet auch die Berechnung einer viertelstündlichen Vorgabe für die dezentrale Steuerung statt. Diese Vorgabe wird durch das Preissignal an der Strombörse beeinflusst. Durch diese Vorgabe kann die lokale Steuerung dazu veranlasst werden, zu bestimmten Zeiten für eine Netzeinspeisung oder für einen Netzbezug zu sorgen. Dies ist aufgrund der Marktsituation (niedrige Strompreise) im Projekt nicht aufgetreten.
- **SchwarmKommunikation** – Die SchwarmKommunikation ist für den Datenaustausch zwischen SchwarmDirigent® und den 3E-Feldtestobjekten zuständig. Dies beinhaltet auf dem Weg vom SchwarmDirigent® Richtung 3E-Feldtestobjekt in erster Linie die Übertragung von Betriebsplänen. Auf dem Weg 3E-Feldtestobjekt Richtung SchwarmDirigent® werden zahlreiche Messdaten und Ereignisse übertragen. Die SchwarmKommunikation zu den 3E-Feldtestobjekten findet auf zwei Kanälen statt. Mit der Kommunikationskomponente des BHKW werden Daten über Mobilfunk ausgetauscht, während die eigens für das 3E-Forschungsprojekt eingesetzten IPCs über DSL-Verbindungen angesprochen werden. Auf beiden Kanälen wird über gesicherte Verbindungen kommuniziert.
- **Kommunikationskomponente für BHKW** – Über diese Komponente werden Betriebspläne an das BHKW übertragen sowie Daten vom BHKW, vom Wärmemengenzähler und vom RLM-Zähler des BHKW ausgelesen.

- **BHKW (ZuhauseKraftwerk)** – Das BHKW nimmt viertelstündliche Betriebspläne entgegen und fährt diese ab.
- **IPC** – Der IPC trägt im 3E-Projekt wesentliche Funktionen. Sämtliche Messdaten der WAGO-Leistungsmessung, der Ladestationen und des Batteriespeichers werden durch ihn via Kiwigrig Energy Manager abgerufen und bis zur Übertragung in den SchwarmDirigent® zwischengespeichert. Der IPC ist das Herzstück der dezentralen Regelung. Über einen Zustandsautomaten werden einstellungs- und situationsbedingt verschiedene Betriebsprofile angenommen. Im Profil „3E-Regelung“ verhält er sich so, dass in kurzen Abständen die Leistungsmesswerte sämtlicher Messpunkte (je Feldtestobjekt ca. 20) abgerufen werden und in Abhängigkeit von der aktuellen Situation Steuergrößen der Ladestationen und des Batteriespeichers gesetzt werden.
- **Kommunikationskomponente (Kiwigrig Energy Manager)** – Der Kiwigrig Energy Manager wurde im 3E-Projekt in erster Linie für die kommunikative Anbindung der WAGO -Leistungsmessung, der Ladestationen und des Batteriespeichers genutzt. Die Messdaten wurden in kurzen Abständen ausgelesen und standen so für den Abruf durch den IPC bereit. Hierdurch mussten auf dem IPC nicht die jeweiligen Schnittstellen der einzelnen Komponenten, sondern nur die Schnittstelle zum Kiwigrig Energy Manager umgesetzt werden. Prinzipiell ließe sich der Kiwigrig Energy Manager auch als Steuerkomponente einsetzen, was im Forschungsprojekt nicht mehr umgesetzt wurde, für eine massenmarktfähige Lösung aber eine Option sein könnte.
- **Leistungsmessung (WAGO)** – Beim WAGO-Feldbuscontroller laufen die Leistungsmesswerte der ca. 20 Messpunkte zusammen und stehen zum Abruf bereit.
- **Batteriespeicher (Sonnenbatterie Comfort XXL)** – Der Batteriespeicher nimmt Sollwertvorgaben entgegen und setzt diese in Ladung bzw. Entladung der Batteriezellen um.
- **Ladestation (Mennekes Amtron)** – Die Ladestation nimmt Sollwertvorgaben für die Beladung der E-Fahrzeuge entgegen und beeinflusst die Ladeleistung entsprechend.

4.3 Prognose und Optimierung

Das technische Gesamtsystem im 3E-Projekt funktioniert bereits auf der Grundlage der Regelungen der Einzelkomponenten. In diesem Projekt soll das Zusammenwirken der Einzelkomponenten aus Gründen der Kosten- und Energieeffizienz weiter optimiert werden. Kosten lassen sich bei der herrschenden Energiemarktsituation senken, in dem der Verbrauch (E-Fahrzeuge und Haushalte) durch den vor Ort produzierten Strom des BHKW oder der PV-Anlage maximiert wird. Durch die lokale Erzeugung und Nutzung von Strom und Wärme entfallen Verluste bei Energiespeicherung und -transport, wodurch das Gesamtsystem energieeffizienter wird. Daher wird in diesem Projekt eine Optimierung der Energieflüsse in einem Gesamtsystem aus mehreren Komponenten implementiert. Die technischen Komponenten PV-Anlage als nicht-steuerbarer Erzeuger, das BHKW als steuerbarer Erzeuger, die Ladestationen für die E-Fahrzeuge als steuerbare Verbraucher und die Haushalte und als nicht-steuerbare Strom- und Wärmeverbraucher werden dabei berücksichtigt. Der Mehrwert sowohl kosten- als auch energieseitig soll dabei in erster Linie lokal entstehen. Es gibt einen Unterschied zwischen einer zentralen Optimierung und einer dezentralen Regelung. Die in diesem Abschnitt erläuterte zentrale Optimierung fokussiert sich auf die Optimierung des BHKW-Fahrplanes unter Berücksichtigung der nicht-steuerbaren Erzeuger (Photovoltaik-Anlage) und nicht-steuerbaren Verbraucher (Haushalte und Ladestationen). In

Tabelle 1 sind diese Erzeuger und Verbraucher dargestellt.

Tabelle 1: Übersicht zu steuerbaren und nicht-steuerbaren Erzeugern und Verbrauchern im 3E-Projekt

	Erzeuger	Verbraucher
steuerbar*	BHKW (Strom und Wärme in gegenseitiger Abhängigkeit)	-
nicht-steuerbar*	PV-Anlage	Haushalte (Strom und Wärme), Ladestationen für die E-Fahrzeuge
Speicher	Wärmespeicher, stationärer Batteriespeicher	

* die Steuerbarkeit bzw. Nicht-Steuerbarkeit bezieht sich hier auf das vorliegende Projekt und auf die Möglichkeit der zentralen Steuervorgabe durch den SchwarmDirigent®

Im 3E-Projekt liegt der Fokus auf der Optimierung des Objektes (Gesamt Betrachtung des jeweiligen 3E-Hauses). Die Energie-Komponenten werden einzeln prognostiziert, gemessen und als Ganzes nach einer Zielgröße optimiert. Diese Zielgröße ist im Feldtestzeitraum die Eigenverbrauchsmaximierung (minimale Leistung am Hausanschluss) gewesen unter Berücksichtigung etwaiger Strompreisextremwerte am Day-Ahead Spotmarkt (wirtschaftliche Optimum für Erzeuger und Verbraucher). Die Optimierung der steuerbaren Energie-Komponente BHKW erfolgt zentral. Die Optimierung bzw. Regelung der Energie-Komponenten stationärer Batteriespeicher und E-Fahrzeug erfolgt dezentral (s. Dezentrales Regelungssystem). Die

zentrale Optimierung wird überall dort vorgenommen, wo Prognosedaten für die Einsatzoptimierung notwendig sind und gleichzeitig Leistungsänderungen im groben zeitlichem Raster (15 Minuten) vorgenommen werden. Die zentrale Optimierung erstellt Leistungsvorgaben für das BHKW in Abhängigkeit der Wärmebedarfsprognose sowie der häuslichen Strombedarfsprognose, der Strompreisprognose, der Wetterprognose (PV-Stromerzeugung) und dem Mobilitätsbedarf (Buchungen der E-Fahrzeuge). Für die E-Fahrzeuge und dem stationären Batteriespeicher erstellt die zentrale Optimierung Ladepläne aufgrund von Strompreisprognosen.

Eine dezentrale Optimierung wird überall dort vorgenommen, wo die Einsatzoptimierung sehr schnelle Änderungen der Leistungsvorgabe vorsieht, basierend auf Echtzeitmessungen im Haus. Die Abweichungen zwischen tatsächlicher Stromerzeugung und Stromverbrauch werden durch den Batteriespeicher und einer Variation der E-Fahrzeug-Ladeleistungen beeinflusst. Die dezentrale Steuerungslogik fungiert als Regelung und arbeitet grundsätzlich völlig unabhängig von der zentralen Optimierung, die als Steuerung fungiert. Netzwerk- und Internetausfälle beeinflussen die Regelung nicht, da deren Eingangs- und Ausgangsgrößen ausschließlich auf Echtzeitmessungen im Haus basieren. Eine Optimierung trifft Aussagen über die Zukunft. Daher sind Prognosen über die zu erwartenden Stromverbräuche, Wärmeverbräuche und Solarerträge sowie Mobilitätsbedarfe unerlässlich. Im Folgenden sind die Prognosen für die Optimierung und die Regelung skizziert. Die Optimierung ist im Anschluss erläutert.

4.3.1 Beschreibung der Prognosen

Der stationäre Batteriespeicher wird vereinfachend nicht prognostiziert.

4.3.1.1 Day-Ahead Strompreisprognose

Die Erstellung von Strompreisprognosen ist sehr komplex. Es gibt Unternehmen, die sich auf die Erstellung dieser spezialisiert haben. Aus diesem Grund wurden zwei Strompreisprognosen eingekauft. Eine Auswertung hat gezeigt, dass die Optimierung die besten Ergebnisse erzielt, wenn der Mittelwert dieser beiden Strompreisprognosen verwendet wird. Es wird jeweils eine Prognose über den Day-Ahead Preis für die nächsten drei Tage erstellt, da dies dem Optimierungshorizont entspricht.

4.3.1.2 Wärmebedarfsprognose

Die Wärmebedarfsprognose ist eine wichtige Eingangsgröße für die Optimierung. Seit 2008 beschäftigt sich LichtBlick im Rahmen seines aus ZuhauseKraftwerken bestehenden Virtuellen Kraftwerks mit Wärmebedarfsprognosen. Für das 3E-Projekt konnten die gesammelten Erfahrungen aus dem bestehenden Geschäftsmodellen von LichtBlick angewendet werden. Der prognostizierte Wärmebedarf entscheidet maßgeblich, unter Berücksichtigung des Wärmespeichers und anderer technischer Parameter, über die Betriebsdauer des BHKW. Ein gewichtiger Inputparameter für den Algorithmus sind die Verbrauchsdaten der zeitnahen Vergangenheit. Des Weiteren sind meteorologische Parameter wie z.B. die Außentemperatur von großer Bedeutung. Die Verfügbarkeit von Wärme-Verbrauchsdaten sind für die Wärmelastprognose von entscheidender Bedeutung. Ohne Ist-Daten der nahen Vergangenheit kann die Berechnung der Prog-

nose nicht ausgeführt werden. Um diesem Problem zu begegnen, gibt es eine Ersatzwertbildung die sicherstellt, dass die Wärmelastprognose in jedem Fall ein Ergebnis liefert. Für gute Prognoseergebnisse ist eine hohe Verfügbarkeit von Ist-Daten aber entscheidend.

4.3.1.3 E-Fahrzeug-Beladungsprognose

Das Ziel der Optimierung ist (s.o.) die Verbrauchsmaximierung des selbst erzeugten Stromes. Zu den Verbrauchern zählen auch die E-Fahrzeuge bzw. die Ladestationen. Durch die Prognose der Verbräuche der E-Fahrzeuge an den Ladestationen soll die Optimierung den Fahrplan des BHKW mit diesen Verbräuchen zusammenbringen, sodass das BHKW dann in Betrieb ist und Strom erzeugt, wenn die E-Fahrzeuge an den Ladestationen beladen werden müssen. Die Umsetzung im SchwarmDirigent® wird im Folgenden beschrieben:

Je Objekt wird eine viertelstündliche Datenreihe berechnet, die darüber Auskunft gibt, mit der Ankunft wie vieler E-Fahrzeuge in der jeweiligen Viertelstunde zu rechnen ist: Die Datenreihen werden auf Grundlage der Buchungsdaten von Ametras befüllt. Anhand der Ankunftsinformation wird die Datenreihe befüllt. Für jedes ankommende Fahrzeug wird der Wert in dieser Viertelstunde um 1 erhöht. Relevant für die Prüfung, welcher Viertelstunde eine Buchung zugeschrieben werden soll, ist das Feld „START_TIMESTAMP“. Buchungszeitpunkte zwischen zwei Viertelstunden sollen kaufmännisch auf die nächstgelegene Viertelstunde gesetzt werden.

Beispiel: 00:07:29 -> 00:00:00, 00:07:30 -> 00:15:00.

Dabei ist zu beachten: Da täglich rollierend neu berechnet wird, müssen vom letzten Durchlauf vorliegende Werte für den betrachteten Zeitraum zunächst „genullt“ werden.

Je Objekt wird eine weitere Datenreihe erstellt, welche die voraussichtliche Ladeleistung repräsentiert. Für jedes ankommende Fahrzeug in einer Viertelstunde soll von dieser Viertelstunde an für die nächsten zehn Viertelstunden ein Leistungswert von 7.100 Watt angenommen werden (Erläuterung hierzu auf der folgenden Seite). Bei mehreren ankommenden Fahrzeugen müssen die Leistungswerte aufaddiert werden (siehe Beispiel). Diese Leistung ist relevant für die Optimierung des BHKW. In dessen Optimierung geht ein, dass es unter Berücksichtigung der Solarerträge durch die PV-Anlage möglichst dann eingesetzt wird, wenn ein Fahrzeug ankommt um dieses direkt mit lokal erzeugtem Strom zu beladen (siehe Bewertungsreihenerstellung in Kapitel 4.3.1 Optimierung).

Tabelle 2: Beispiel Datenreihe

Viertelstunde	Voraussichtlich ankommende Fahrzeuge VHD	Prognostizierter EV-Ladestromgang VHD	Voraussichtlich ankommende Fahrzeuge MTS	Prognostizierter EV-Ladestromgang MTS
01:00	0	0 Watt	0	0 Watt
01:15	1	7.100 Watt	0	0 Watt
01:30	0	7.100 Watt	0	0 Watt
01:45	1	14.200 Watt	0	0 Watt
02:00	0	14.200 Watt	2	14.200 Watt
02:15	0	14.200 Watt	0	14.200 Watt
02:30	0	14.200 Watt	0	14.200 Watt
02:45	0	14.200 Watt	0	14.200 Watt
03:00	0	14.200 Watt	0	14.200 Watt
03:15	0	14.200 Watt	0	14.200 Watt
03:30	0	14.200 Watt	0	14.200 Watt
03:45	0	7.100 Watt	0	14.200 Watt
04:00	0	7.100 Watt	0	14.200 Watt
04:15	0	0 Watt	0	14.200 Watt
04:30	0	0 Watt	0	0 Watt

Bemerkungen:

- Ursprünglich war eine Unterscheidung zwischen Buchungen für BMW i3 und Smart ED vorgesehen, jedoch kann man anhand der uns vorliegenden Buchungsdaten nicht erkennen, um welchen Fahrzeugtyp es sich handelt. Das ist erst dann ersichtlich, wenn durch das Ametras-System der Buchung ein konkretes Fahrzeug zugeordnet wurde, was aber erst eine Stunde vor der Benutzerausleihe erfolgt.
- Grund für die zehn Viertelstunden Ladezeit nach Ankunft:
 - Es kann nicht zwischen den Fahrzeugtypen unterschieden werden (s.o.).
 - Die größere Kapazität beider Fahrzeugtypen ist 18.800 Wh (vom BMW i3, gegenüber 17.600 Wh vom Smart ED).

- Die geringere Ladeleistung beider Fahrzeugtypen ist 7.100 Watt (vom BMW i3, gegenüber 21.600 Watt vom Smart ED)
- Es werden zehn Viertelstunden Ladezeit angesetzt, da innerhalb dieser Zeit selbst ein komplett leeres Fahrzeug so gut wie vollgeladen werden könnte (SOC = $10 \cdot 7.100 \text{ Watt} \cdot \frac{1}{4} \text{ h} / 18.800 \text{ Wh} = 94,4 \%$).

4.3.1.4 Strombedarfsprognose

Für die Ermittlung des Reststrombedarfs (s. Bewertungsreihenerstellung im Kapitel „Optimierung“) ist eine Prognose über den Stromverbrauch aller Haushalte in den beiden untersuchten Objekten notwendig. Die Prognose wird in Form einer Datenreihe im viertelstundenscharfen Zeitraster benötigt. Da Kunden einen stochastisch geprägten Stromverbrauch haben, ist die Prognose des Strombedarfs schwierig. Für die Strombedarfsprognose werden zwei Ansätze eines Vergleichtagsverfahren bewertet:

1. Der Stromverbrauch entspricht dem des Vorvortags
2. Der Stromverbrauch entspricht dem des gleichen Wochentags aus der Vergangenheit.

Um die Auswirkung außergewöhnlicher Verbrauchsverhalten zu relativieren und die Ergebnisse etwas zu verstetigen wird jeweils der Mittelwert der letzten beiden nutzbaren Daten verwendet. Bei dem Ansatz Nr. 1 wird beispielsweise der Prognosewert des 21.Juni 9:00 – 9:15 aus den Werten des 19.Juni und denen des 18.Juni gebildet. Der Wert des 20.Juni, in diesem Beispiel der Tag der Prognoseerstellung, lag der Wert für Prognosebildung noch nicht vor. Im Ansatz Nr. 2 wird die Prognose für den Wert Di. 21. Juni 9:00-9:15 aus dem Mittel des Leistungswertes von der gleichen Viertelstunde am 14. Juni und 7. Juni berechnet.

Die folgende Formel stellt die Berechnung des Ansatzes Nr. 2 dar:

$$P_{prognose}(t) = \frac{P_{Ist}(t - w) + P_{Ist}(t - 2w)}{2}$$

Tabelle 3: Zeichenerklärung

Zeichen	Einheit	Beschreibung
$P_{prognose}(t)$	[kW]	Prognose des Haushaltsverbrauches zum Zeitpunkt t
$P_{Ist}(t)$	[kW]	Ist-Wert des Haushaltsverbrauches zum Zeitpunkt t
w	Woche	Eine Woche auf die Viertelstunde genau
t	1/4h	Zeitpunkt für den die Prognose erstellt werden soll

4.3.1.5 Solarertragsprognose

In beiden Objekten sind PV-Anlagen installiert. Der hier erzeugte Strom wird zur Deckung des Eigenbedarfs der teilnehmenden Kunden verwendet. Der Strom, der nicht direkt verbraucht werden kann, wird entweder zwischengespeichert oder aber ins Netz eingespeist. Eine Vorhersage über die Stromerzeugung der PV-Anlagen ist notwendig, da die erzeugte Energiemenge relevant für die Ermittlung des Reststrombedarfs ist. Für dieses Forschungsprojekt mit den beiden Objekten bezieht LichtBlick Leistungsprognosen von zwei Dienstleistern. Die Prognosen haben ein viertelstündliches Zeitraster und werden täglich aktualisiert. Um Ausreißer bei den einzelnen Prognosen zu vermeiden, wird aus beiden Prognosen eine Mittelwertprognose berechnet. In Kapitel 4.3.2 wird die Prognosegüte diskutiert.

$$PRG_{Mittelwert,i} = \frac{PRG_{Dienstleister_1,i} + PRG_{Dienstleister_2,i}}{2}$$

i Viertelstunde

4.3.1.6 Anpassungslastgang $P_{stör}$

Für die energiewirtschaftliche Integration des 3E-Objektes sorgt der Anpassungslastgang $P_{stör}$. $P_{stör}$ dient dazu, entweder zusätzliche Leistung aus dem Netz zu beziehen bzw. überschüssige Leistung ins Netz (anstatt in den Batteriespeicher oder die E-Fahrzeuge) zu speisen und wirkt am Hausanschluss auf die Regelung. $P_{stör}$ entspricht der „virtuellen Netzbatterie“ und ist eine Datenreihe im Viertelstundenraster. $P_{stör}$ kann die drei folgenden Werte annehmen: -1.000.000, 0, 1.000.000.

Die Berechnung von $P_{stör}$ erfolgt neben der Day-Ahead Spotmarktpreisprognose G_{Spot} über die eingestellten Parameter für den Wert des eigenverbrauchten Stromes und den Wert für die Steuern und Umlagen, die bei einem etwaigen Strombezug aus dem Netz fällig sind. Die Standard-Werte sind:

- Wert für den eigenverbrauchten Strom G_{eigen} : 26,7 ct/ kWh
- Wert für Steuern und Umlagen $G_{Steuern}$: 17,0 ct/ kWh.

Wirkungsgradverluste in den Batteriespeichern werden nicht berücksichtigt.

$$P_{stör}(W) \begin{cases} +1000000 & \text{wenn } G_{Spot} > G_{eigen} \\ -1000000 & \text{wenn } G_{Spot} < -G_{Steuern} \\ 0 & \text{Sonst} \end{cases}$$

Dieser Wert wird für jede Viertelstunde berechnet und in der Regelung berücksichtigt. Die Einheit ist in Watt angegeben und wird dem Hausanschluss aufgeprägt.

$$P_{stör} = +1.000.000 \rightarrow G_{Spot} > G_{eigen}$$

Sollte die Strompreisprognose in der entsprechenden Viertelstunde einen sehr hohen Strompreis vorher-sagen, so sollen die E-Fahrzeug-Batterien das Laden unterbinden – sofern diese nicht durch die Restriktion der Mindestladeleistung (siehe Abschnitt dezentrale Optimierung) geladen werden müssen – und der stationäre Batteriespeicher mit maximaler Leistung entladen.

$$P_{\text{stör}} = +1.000.000 \rightarrow G_{\text{Spot}} < -G_{\text{Steuern}}$$

Sollte die Strompreisprognose in der entsprechenden Viertelstunde einen sehr niedrigen Strompreis vorhersagen (ein Strompreis, der die Kosten für die Entrichtung der Steuern und Umlagen durch den Netzbezug ausgleichen), so sollen die E-Fahrzeug-Batterien und der stationäre Batteriespeicher mit maximaler Leistung laden.

Im Verlauf des Projektes traten die beiden Fälle nicht auf. Der maximale Strompreis lag bei 16,3 ct/kWh ($G_{\text{Spot}} < G_{\text{eigen}}$: 26,7 ct/ kWh $\rightarrow P_{\text{stör}} = 0$) bzw. der minimale Strompreis lag bei -13,1 ct/kWh ($G_{\text{Spot}} > -G_{\text{Steuern}} \rightarrow P_{\text{stör}} = 0$).

4.3.2 Prognosegüte

In diesem Abschnitt werden die Prognosen für den Solarertrag, den Strombedarf und den Wärmebedarf hinsichtlich ihrer Prognosegüte untersucht. Es soll eine Aussage über den Einfluss der Prognosen auf das Optimierungsergebnis getroffen werden. Die E-Fahrzeug-Beladungsprognose wird hier nicht gesondert untersucht.

Die Güte der Prognose wurde anhand der Kennzahl Mean Absolute Error (MAE) bewertet. Der MAE stellt die mittleren absoluten Abweichungen der Prognose von den tatsächlichen Werten dar.

$$MAE = \frac{1}{n} \sum_{i=1}^n |Prognose_i - Istwert_i|$$

Ein Wert von Null bedeutet, dass die Prognose mit den tatsächlichen Werten exakt übereinstimmt. Ein Wert darunter oder darüber gibt Aufschluss, wie stark sich die Prognose von den tatsächlichen Werten unterscheidet.

4.3.2.1 Solarertrag

Die Prognosegüte der Solarertragsprognose und die des Mittelwerts aus den beiden eingekauften Prognosen ist in der folgenden Tabelle dargestellt. Die Werte sind in Kilowatt angegeben und über einen Zeitraum von einem zusammenhängenden Jahr gemittelt.

Tabelle 4: Prognosegüte Solarertrag

	Prognose- dienstleister 1	Prognose- dienstleister 2	Mittelwert- prognose
MAE_{VHD}	430 W	399 W	396 W
MAE_{MTS}	333 W	449 W	367 W

Es zeigt sich, dass die Prognose im Durchschnitt bei der Mittelwertprognose um 396 Watt im VHD bzw. 367 Watt in der MTS von den tatsächlichen Werten abweichen. In der MTS ist der Prognosedienstleister 1

ca. 30 Watt genauer im Jahresmittel als die Mittelwertprognose. In der Auswertung zeigte sich, dass die absoluten Abweichungen der MAE im Sommer bei allen drei Prognosen (Prognosedienstleister 1, Prognosedienstleister 2, Mittelwert) höher sind als im Winter. Dies liegt u.a. an der höheren PV-Einspeisung im Sommer. In beiden Objekten stellt die Mittelwertprognose die bessere Prognose dar. Für eine Verbesserung der Solarertragsprognose muss ein stetiger Abgleich mit den tatsächlich aufgenommenen Solarertragsdaten stattfinden.

4.3.2.2 Strombedarf

Eine gute Prognose des Strombedarfs über ein einfach zu implementierendes Vergleichstag-Verfahren erwies sich als nicht möglich. Der Jahresmittelwert des MAE (in kW) ist im Vergleich zu den tatsächlichen Werten des Strombedarfs (VHD im Jahresmittel: ca. 3,75 kW, MTS im Jahresmittel: ca. 0,44 kW) sehr hoch.

Tabelle 5: Prognosegüte Strombedarf

MAE	
VHD	1,070 kW
MTS	0,321 kW

Das stochastische Nutzerverhalten der Projektteilnehmer hat einen hohen Einfluss auf die Prognose. Bei einer größeren Kundenanzahl würden sich Verstetigungseffekte einstellen und damit ein besseres Prognoseergebnis ermöglichen. Ungenauigkeiten in der Strombedarfsprognose können z.T. durch den stationären Batteriespeicher aufgefangen werden.

4.3.2.3 Wärmebedarf

Auch die Güte der Wärmebedarfsprognose wird mit dem MAE bewertet. Im Ergebnis weist die im Projekt verwendete Wärmebedarfsprognose saisonale Unterschiede in der Genauigkeit auf. Im Sommer bei einem geringeren Wärmebedarf sind die Abweichungen von den tatsächlichen Verbräuchen niedriger als im Winter, wenn der Wärmebedarfe hoch ist.

Einen signifikanten Einfluss auf die Prognosegenauigkeit hatten Ausfälle in der Datenübertragung. Kleinteilige Verbrauchsstellen stellen i.A. eine große Herausforderung in der Prognose dar. Plötzliche Änderungen der Nutzungsgewohnheiten üben einen starken Einfluss auf die Prognose aus. Hier kann es nicht zu einer Verstetigung durch mehrere Verbraucher mit unterschiedlichen Nutzungsgewohnheiten kommen. Ungenauigkeiten in der Wärmebedarfsprognose können z.T. durch den Wärmespeicher aufgefangen werden.

Tabelle 6: Prognosegüte Wärmebedarf

MAE	
VHD	5,118 kWh
MTS	7,265 kWh

Um einen Überblick über die genutzten Prognosen bei der 3E-Optimierung zu erlangen, werden diese in der untenstehenden Tabelle kurz dargestellt. Wichtig war die Integration der Prognosen in die bestehenden Optimierungsprozesse. Deshalb wurde ein Vorhersagehorizont von mindestens drei Tagen gewählt.

Tabelle 7: Übersicht Prognosen im 3E-Projekt

Prognose	Extern/intern	Auflösung	Vorhersagehorizont	Bemerkung
Solarertrag	Intern	¼ h	5 d	Berechnet aus den externen PV-Prognosen, Heuristik
E-Fahrzeug-Beladung	Intern	¼ h	5 d	Berechnet aus Daten aus dem AMETRAS-System, Heuristik
Strombedarf	Intern	¼ h	5 d	Heuristik
Wärmebedarf	Intern	¼ h	3 d	Heuristik
Anpassungslastgang $P_{\text{Stör}}$	Intern	¼ h	3 d	Heuristik

Um den Einfluss der Prognosen auf die Güte der Optimierung zu untersuchen wurden zwei Optimierungsszenarien erstellt:

- Das Basisszenario geht von einer wärmegeführten Fahrweise des BHKW aus. Dazu werden keine Prognosen und keine Fahrpläne sowie keine zentrale Optimierung benötigt.
- Das optimale Szenario benötigt dagegen alle Prognosen, eine Fahrplanerstellung und die zentrale Optimierung. Die Prognosewerte sind in diesem Szenario die tatsächlichen, aufgenommenen Werte, die in die Optimierung des BHKW einfließen, sodass der Optimierung die tatsächlichen Solarerträge, Mobilitätsbedarfe, Strombedarfe, etc. schon vor der Fahrplanerstellung bekannt sind. Damit wird das BHKW zum bestmöglichen Zeitpunkt eingeschaltet. Somit stellt dies das Optimum der Inputdaten für die Optimierung dar.

Ein niedriger Netzbezug und hoher Autarkiegrad (lokal erzeugter und verbrauchter Strom im Verhältnis zum Gesamtstrombedarf der E-Fahrzeuge und Haushalte) und niedrige Netzeinspeisung weisen auf ein gutes Optimierungsergebnis hin.

$$Autarkiegrad_{Optimierung} = 1 - \frac{Netzbezug}{Stromverbrauch}$$

$$Optimierungspotenzial = \frac{Optimierungsergebnis_{Basisszenario}}{Optimierungsergebnis_{Optimum}}$$

Es zeigt sich in beiden Objekten, dass bereits im wärmegeführten Betrieb der Netzbezug sehr niedrig und der Autarkiegrad hoch ist. Das optimale Szenario verringert nochmals den Netzbezug und erhöht den Autarkiegrad. In beiden Fällen ist die Netzeinspeisung jedoch sehr hoch (Tabelle 8).

Tabelle 8: Vergleich des Basisszenarios und des optimalen Szenarios im VHD und der MTS

	VHD Basis- szenario	VHD Optimum	MTS Basis- szenario	MTS Optimum
Autarkiegrad (%)	94 %	96 %	100 %	100 %
Netzbezug (kWh)	1.990 kWh	1.468 kWh	3.151 kWh	3.446 kWh
Netzeinspeisung (kWh)	18.294 kWh	19.147 kWh	58.025 kWh	59.076 kWh
Optimierungsergebnis (Erlös in Euro vor Kosten)	8.140 €	8.260 €	2.513 €	2.975 €

Das Optimierungspotenzial im VHD beträgt knapp 1% zum Optimum, d.h. das Verschieben des wärmegeführten BHKW Fahrplanes hin zum energiewirtschaftlich optimierten BHKW Fahrplan hat auch bei vollständigem Wissen über die Zukunft (Wärmeverbrauch, Stromverbrauch, Solarertrag, etc.) nur noch eine marginale Auswirkung auf das Optimierungsergebnis. Im Vergleich zum Basisszenario erhöht sich die Autarkie um lediglich zwei Prozentpunkte. Der Betrieb des BHKW wird um fünf Prozentpunkte besser mit der Beladung der E-Fahrzeuge abgestimmt. Dadurch muss der stationäre Batteriespeicher weniger die Beladung der E-Fahrzeuge übernehmen, wodurch die Wirkungsgradverluste des Batteriespeichers gesenkt werden. Die Autarkiegrade werden jedoch nur marginal verbessert.

Das Optimierungspotenzial in der MTS beträgt ca. 16 % zum Optimum. allerdings beträgt der Wert des Optimierungsergebnisses nur rund 1/3 des Wertes im VHD. Im Vergleich zum Basisszenario erhöht sich die Autarkie nicht, da der erzeugte Strom bereits im Basisszenario durch das BHKW und die PV-Anlage um ein Vielfaches (1.400 %) über dem verbrauchten Strom liegt. Aufgrund der hohen Wärmesenke durch signifikant höhere Wärme- als Stromverbräuche muss das BHKW höhere Betriebszeiten erzielen als aus Stromsicht notwendig wäre. Dadurch erhöht sich der Autarkiegrad auch im optimierten Szenario nicht.

Der Betrieb des BHKW wird dennoch im Durchschnitt um fünf Prozentpunkte besser mit der Beladung der E-Fahrzeuge abgestimmt. Es wird ein größerer Teil des BHKW-Stroms in der MTS direkt verbraucht. Kaskadierend wird zunächst BHKW Strom genutzt, darüberhinausgehender Strombedarf wird durch die PV-Anlage gedeckt. Dies ist der Grund, warum das Optimierungsergebnis marginal besser ist. Somit wird der BHKW-Strom bei der Berechnung des Optimierungsergebnisses höher bewertet.

Es besteht aufgrund der Dimensionierung der Komponenten (hohe Netzeinspeisung) nur ein marginaler Raum für Optimierung. Der Einfluss der Güte der Prognosen ist im Projekt daher eher als gering einzustufen.

4.3.3 Optimierung

Die 3E-Objekte sollen wie in 0 beschrieben wirtschaftlich und mit einfachen Verfahren optimiert werden. Hierzu sollen die steuerbaren Komponenten genutzt werden. Das BHKW kann leicht zentral für den Folgetag optimieren und mit einem Betriebsplan versehen. Weitere flexible Komponenten sind die E-Fahrzeuge und der Batteriespeicher. Alle drei Komponenten zu optimieren würde ein sehr komplexes Optimierungsverfahren benötigen. Dieses ist aufwändig und nicht unbedingt zielführend. Aufgrund von Prognoseungenauigkeiten (PV-Einspeisung, Haushaltsverbrauch, spontane Buchungen der E-Fahrzeuge) würden diese Betriebspläne mit hoher Wahrscheinlichkeit außerdem nicht eingehalten werden können. Es wurde also beschlossen, nur das BHKW mit einem Betriebsplan zu versehen. E-Fahrzeug und Batteriespeicher werden dezentral anhand des momentanen Stromüberschusses (siehe Kapitel 4.3.4) geregelt. Dies hat den Vorteil, dass die Komplexität überschaubar ist und spontan auf die realen Verbräuche und Erzeugungen im Haus reagiert werden kann.

Einen Überblick über den Gesamtprozess zeigt Abbildung 14. Zunächst werden die eingekauften Prognosen importiert. Dann werden die weiteren Prognosen erstellt. Daraufhin folgt die Optimierung des BHKW aufgrund der Bewertungsreihe. Mit dem BHKW-Betriebsplan kann eine Prognose des Verhaltens der E-Fahrzeuge und des Batteriespeichers erstellt werden. Mit Hilfe dieser Daten kann der Lastgang am Hausanschluss prognostiziert werden.

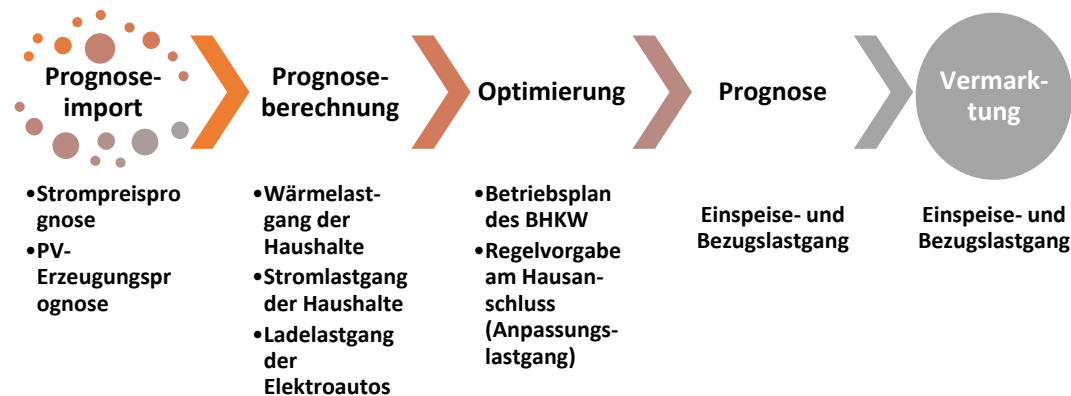


Abbildung 14: Darstellung des Ablaufs der Optimierung inklusive der Prognose und Vermarktung des Einspeise- und Bezugslastgangs am Hausanschluss

Das BHKW soll so optimiert werden, um die wirtschaftlichste Betriebsweise bereitzustellen. Erlöse im Speicherbetrieb werden durch die Netzeinspeisung des Stromes generiert und zum Day-Ahead Preis vermarktet. Dieser liegt im Schnitt bei 3,2 ct/ kWh (Betrachtungszeitraum: 01.01.2015 bis 31.05.2017) kann aber Ausschläge in beide Richtungen aufweisen. Kosten vermeidet das BHKW, indem der erzeugte Strom im Haus selbstverbraucht wird. Dies kann sowohl durch den Haushalt und das E-Fahrzeug direkt oder indirekt durch die Zwischenspeicherung im Batteriespeicher erfolgen. Es wird angenommen, dass der bezogene Strom den Haushalt 26,7 ct/ kWh kostet. In der Regel ist es günstiger, den Strom selbst zu verbrauchen als ihn einzuspeisen, da im Betrachtungszeitraum keine Preisspitzen über 26,7 ct/ kWh am Day-Ahead Markt aufgetreten sind.

Das Vorgehen ist in Abbildung 15 dargestellt und wird im Folgenden beschrieben.

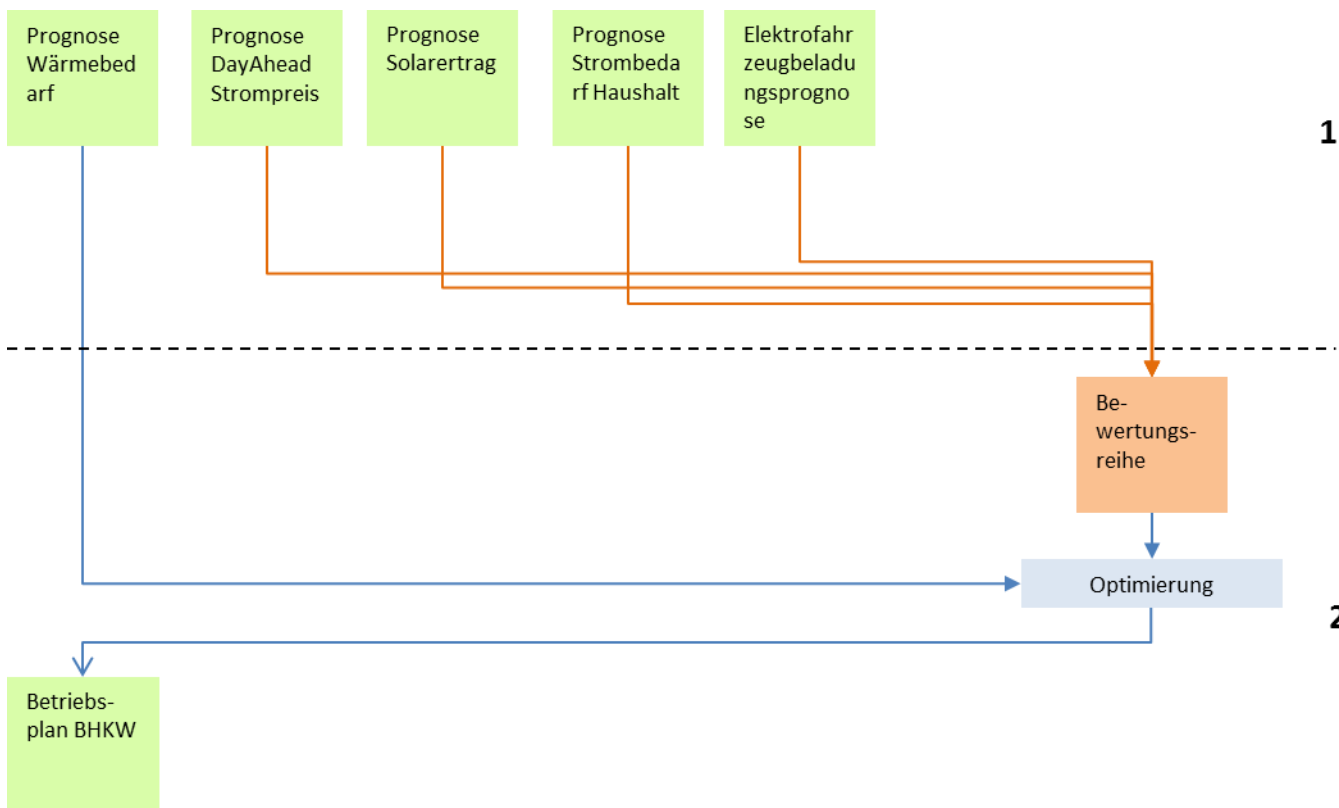


Abbildung 15: Prognosen und Optimierung im Gesamtzusammenhang

Um die wirtschaftlichste Betriebsweise des BHKW zu ermitteln, wird eine sogenannte Bewertungsreihe erstellt. Hierfür werden zunächst der Strombedarf und die Stromerzeugung des Hauses berechnet, die nicht beeinflusst werden. Diese beinhaltet die PV-Erzeugung und den Haushaltsstrombedarf. Der Strombedarf der E-Fahrzeuge wird hier auch mit zugezählt. Dieser kann zwar beeinflusst werden, jedoch wird er statisch zu dem Verbrauch hinzugezählt um eine Rückkopplung zu vermeiden, die die Optimierung deutlich verkomplizieren würde. Hierzu wird auf die Buchungsdaten zugegriffen. Es wird eine sofortige Beladung der Fahrzeuge angestrebt, um auch spontane Buchungen zu ermöglichen. D.h. es wird ab Ankunft eines E-Fahrzeuges mit der Beladung dessen gerechnet (Siehe Kapitel 4.3.1). Dies führt dazu, dass die Optimierung eher Betrieb in diesen Zeiten für das BHKW vorsieht. Die Beladung des Batteriespeichers wurde hier

vereinfachend nicht betrachtet. Es ergibt sich also eine Zeitreihe über die Energieerzeugung und den Verbrauch im Haushalt. (Siehe Abbildung 16)

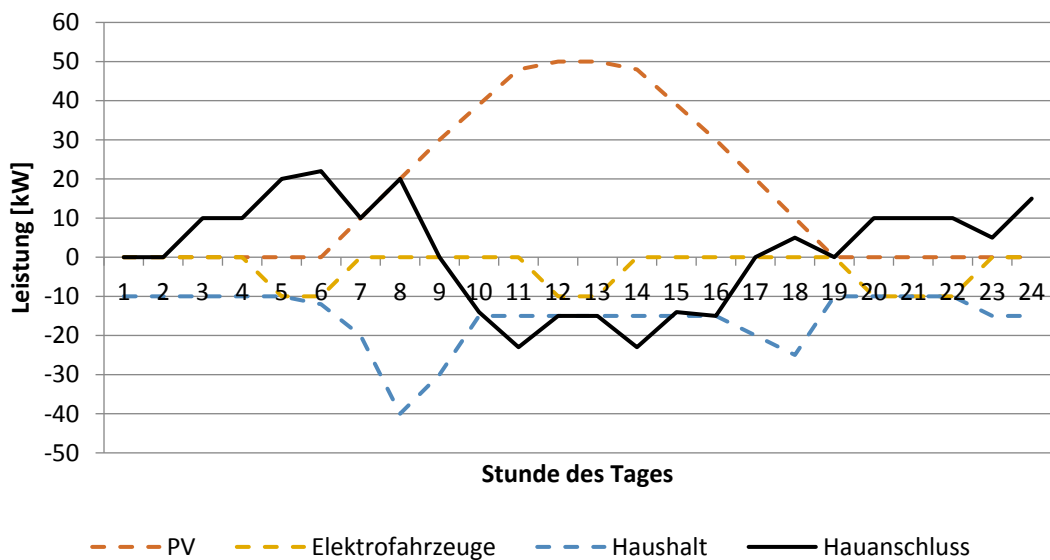


Abbildung 16: Reststrombedarfsprognose

Auf Basis dieser Zeitreihe kann nun bewertet werden, welcher Anteil vom BHKW erzeugte Strom, zu welchem Zeitpunkt selbstverbraucht werden kann und welcher ins Netz eingespeist werden würde. Das BHKW kann theoretisch zu jedem Zeitpunkt 20 kW bereitstellen.

Einsatzgebiet des BHKW Stroms nach Berücksichtigung der EV-Ladung

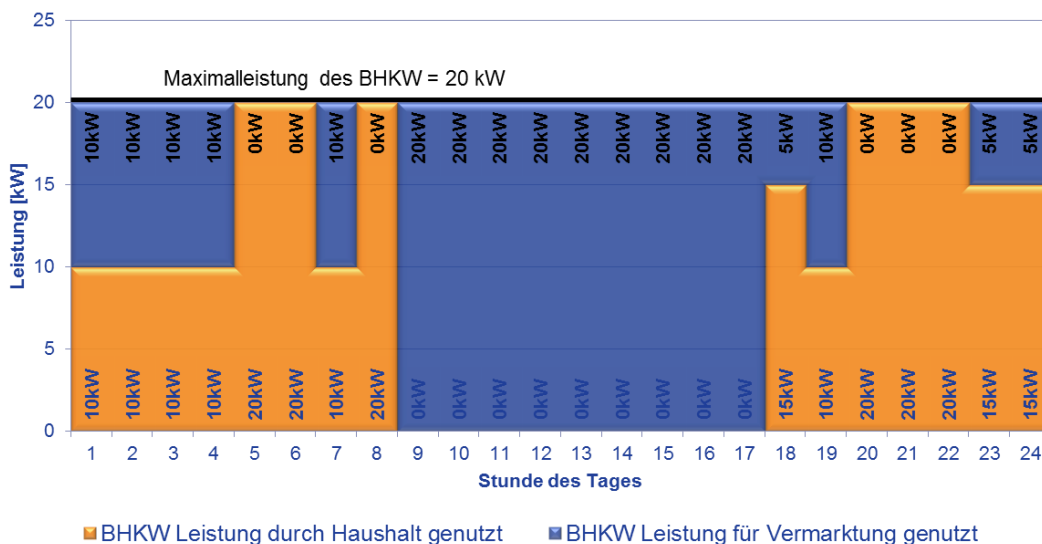


Abbildung 17: BHKW Stromnutzungsszenario

Der potentiell selbstverbrauchte Strom im Haushalt wird mit 26,7 ct/ kWh bewertet. Der potentiell eingespeiste Strom mit der Day-Ahead Preisprognose. Dadurch ergibt sich für jede 1/4Stunde ein Preis, den das BHKW erzielen kann, was in der Bewertungsreihe (siehe Abbildung 18) dargestellt ist.

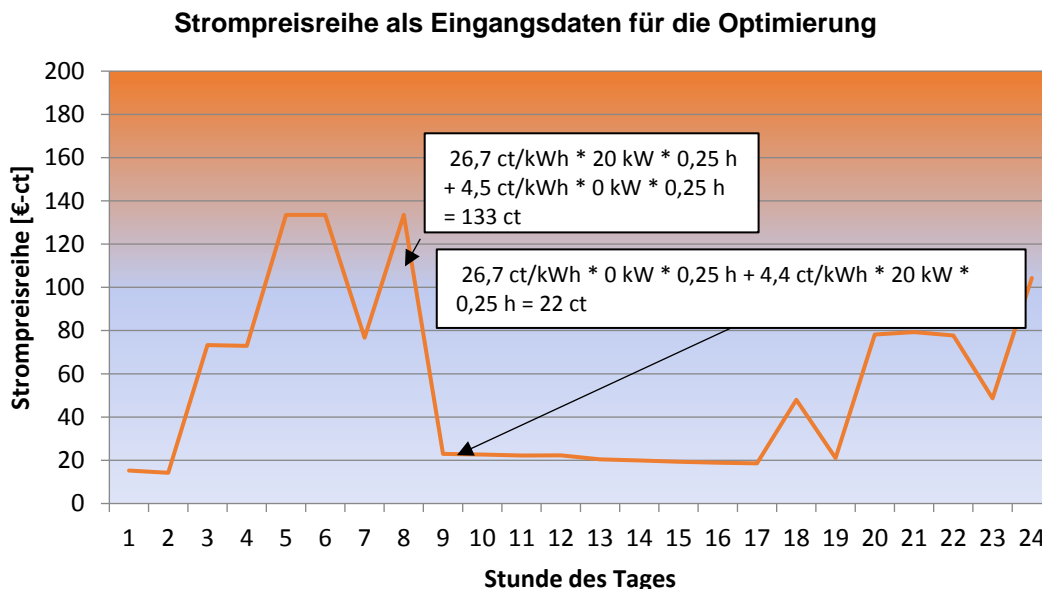


Abbildung 18: 3E-Bewertungsreihe

Die Bewertungsreihe komprimiert die Optimierungsziele auf eine Zeitreihe, sodass daraus der Betriebsplan des BHKW ermittelt werden kann. Hauptbedingung für dessen Optimierung ist die Bewertungsreihe. Nebenbedingung ist unter anderem die Erfüllung des Wärmebedarfs. Dieser bestimmt die Anzahl der Stunden, die das BHKW läuft. Das BHKW soll genau so viel laufen, dass die Wärme im Haus gedeckt ist. Die Wärmelastprognose geht dementsprechend in die Optimierung mit ein.

Folgende Optimierungsziele werden also für den Betriebsplan des BHKW berücksichtigt:

- Möglichst viel BHKW Strom im Haus selbst zu verbrauchen und möglichst die E-Fahrzeuge dann zu laden, wenn sie ankommen, um spontane Buchungen zu ermöglichen,
- den eingespeisten Strom möglichst teuer an der Day-Ahead Strombörse zu verkaufen.

4.3.4 Dezentrales Regelungssystem

Zur dezentralen Optimierung der Energieflüsse im 3E-MFH wurde ein dezentrales Regelungssystem entworfen, dass abhängig von Überschüssen/Unterdeckungen aus den beiden Erzeugungsanlagen sowie den häuslichen Verbrauchern sowie einer Vorgabe durch den SchwarmDirigent® („P_{stör}“) den stationären Batteriespeicher und die E-Fahrzeuge steuert. Die Regelstruktur ist in Abbildung 19 dargestellt.

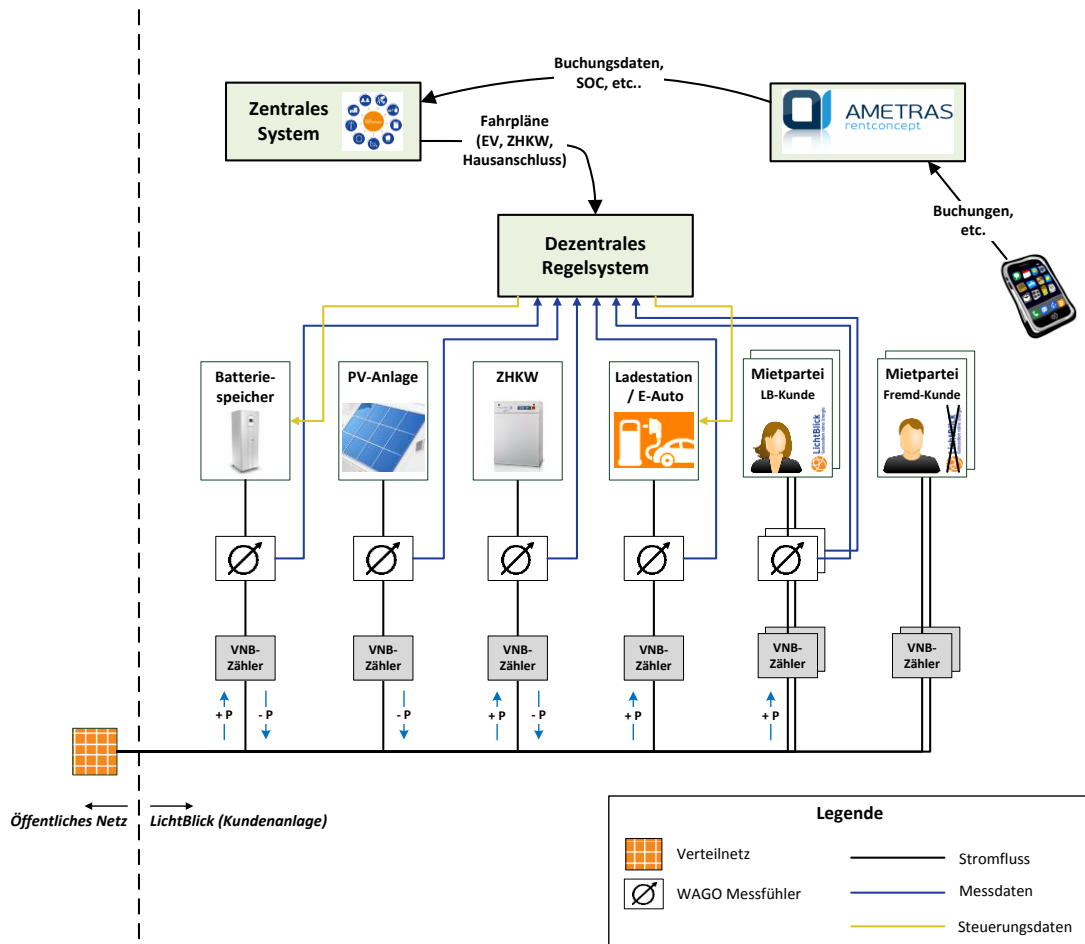


Abbildung 19: 3E-Strommesskonzept für Regelungszwecke sowie schematische Einbindung der dezentralen und zentralen Steuerungslogik.

Während der stationäre Batteriespeicher im Regelsystem die „schnelle Komponente“ darstellt, kann die maximale Ladeleistung der E-Fahrzeuge nur alle 60 Sekunden geändert werden. Zudem ist sie von den Anforderungen der Nutzer abhängig. Der Abfahrtszeitpunkt und der Mindest-SOC müssen als Ladefahrplan vom zentralen System vorgegeben werden.

E-Fahrzeug-Beladung

Die Regelung der Beladung des E-Fahrzeuges zielt auf einen Kompromiss zwischen hoher Verfügbarkeit (Reichweite) für den Nutzer bei Spontanbuchungen und Optimierung der Energieflüsse im Gesamtsystem (Ladung bei Überschussstrom im Gesamtsystem → Flexibilität des SOC in Abbildung 20). Das führt dazu, dass nach Ankunft an der Ladestation das E-Fahrzeug auf einen Mindestfüllstand für Spontanbuchungen geladen und eine Stunde vor geplantem Mietbeginn das Fahrzeug auf den maximalen Füllstand geladen wird. In der Standzeit zwischen Ankunfts- und Abfahrtsbeladung (s.u.) gibt es einen flexiblen Bereich für die Beladung. Dieser kann durch etwaige Überschüsse im Gesamtsystem genutzt werden, sodass die E-Fahrzeug-Batterie wie eine „Erweiterung“ des stationären Batteriespeichers auf das Gesamtsystem wirkt. Die Einschränkung dabei ist, dass die E-Fahrzeug-Batterie nur unidirektional beladen wird.

Ablaufprinzip Ladevorgang

Die Ladeleistung der E-Fahrzeuge hängt im Wesentlichen von fest vorgegebenen Sollladezuständen zu bestimmten Zeitpunkten sowie Überschüssen aus Eigenerzeugung im Haus ab. Das dezentrale System erhält vom zentralen System Zielgrößen für den Ladezustand (SOC_{Ziel}), den Zeitpunkt (t_{Ziel}) sowie, falls bekannt, einen aktuellen Ladezustand des Fahrzeuges (SOC_{ist}). Aus den übermittelten Informationen wird kontinuierlich die Mindestladeleistung $P_{EV,min}$ berechnet, die notwendig ist, um den gewünschten Ladezustand zum gewünschten Zielzeitpunkt zu erreichen:

$$P_{EV,min}(t) = \frac{(SOC_{Ziel} - SOC_{ist}(t)) \cdot C_{Batt,EV}}{t_{Ziel} - t_{ist}}$$

Zusätzlich zur Mindestladeleistung können jederzeit noch Überschüsse auf die anzulegende Ladeleistung aufaddiert werden. Die Mindestladeleistung sinkt im Folgenden entsprechend.

Der Ladezustand kann nur über das Buchungssystem bzw. im späteren Massenmarktausbau ggf. über SCADA-Systeme der Automobilhersteller ausgelesen werden, nicht jedoch direkt von der Ladestation. Der daher vom zentralen System bereitgestellte SOC wird zum Zeitpunkt der Übermittlung auf die dezentrale Berechnung aufaddiert:

$$SOC_{ist,NEU} = SOC_{ist,ALT} + SOC_{Start,Fahrplan}$$

Der weitere SOC wird unter der Annahme von Wirkungsgradverlusten bei der Ladung vom dezentralen System kontinuierlich berechnet:

$$SOC_{EV,ist}(t) = SOC_{EV,ist}(t-1) + \frac{\eta_{Ladung} \cdot \left(\frac{P_{EV}(t-1) + P_{EV}(t)}{2} \right) \cdot \Delta t}{C_{Batt,EV}}$$

Der gesamte Ladevorgang unterteilt sich in drei Phasen, während dessen der Ladestecker nicht entfernt wird:

Ankunftsladung → Standby-Zeit → Abfahrtsladung

Bei der Ankunftsladung wird das Fahrzeug auf einen bestimmten Standby-SOC geladen (z.B. 60 %). Die Abfahrtsladung startet ca. 60 Minuten vor der Abfahrt und lädt das Fahrzeug auf den gewünschten SOC zum Abfahrtszeitpunkt auf (z.B. 100 %). Während der drei Phasen können jederzeit Überschüsse aus Eigenerzeugung in das Fahrzeug geladen werden. In Abbildung 20 ist ein beispielhafter Verlauf des Ladezustandes bei einem Start-SOC von 20 %, einem Standby-SOC von 60 % und einem Ziel-SOC von 100 % sowie die mögliche Flexibilität durch Ladung aus Überschüssen dargestellt.

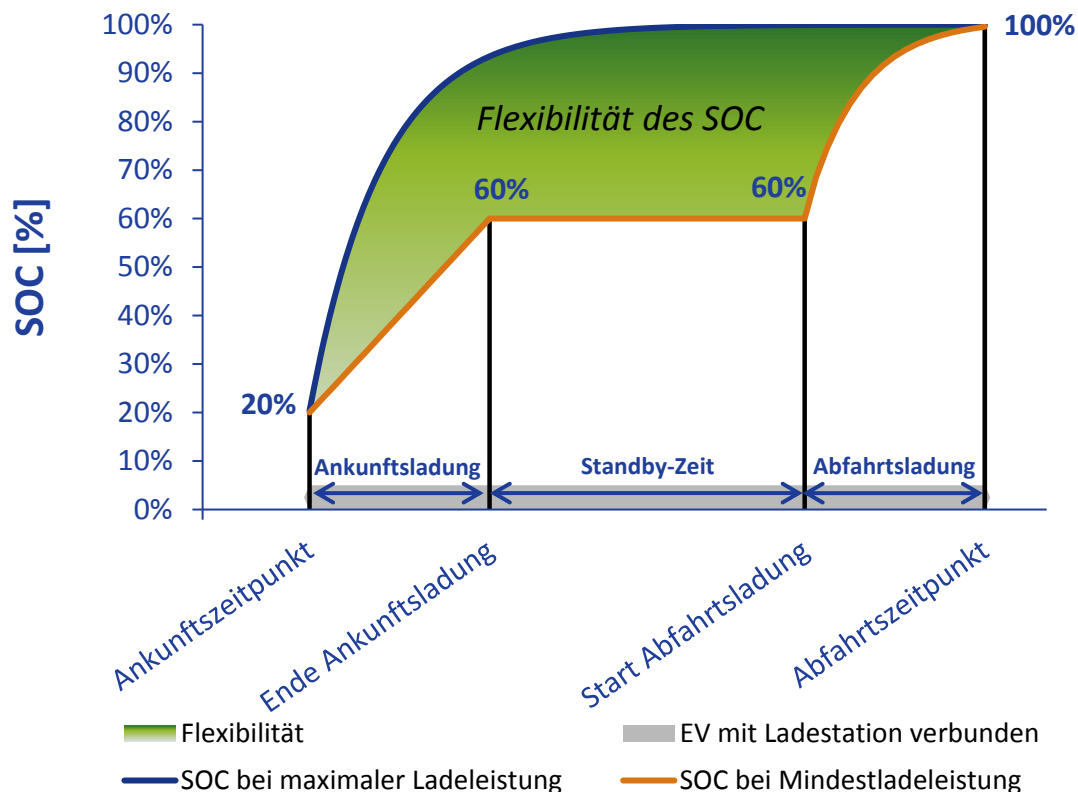


Abbildung 20: Beispielhafter SOC-Verlauf eines E-Fahrzeuges bei Mindestladeleistung sowie bei maximaler Ladeleistung durch Überschüsse aus Eigenerzeugung.

Während des Gesamladevorgangs gilt für Ankunfts- und Abfahrtsladung jederzeit:

$$P_{\text{Überschuss},EV,i}(t) = \frac{\text{MAX}(P_{\text{HausOhneEV}}(t-1) - \sum P_{EV,min}(t); 0)}{n_{EV}}$$

$$P_{EV,i}(t) = P_{EV,min,i}(t) + P_{\text{Überschuss},EV,i}(t)$$

Die Überschüsse für den aktuellen Zeitschritt pro Fahrzeug $P_{\text{Überschuss},EV,i}(t)$ werden nach Abzug der aktuellen Mindestladeleistung $P_{EV,min}(t)$ vom Gesamthausüberschuss des letzten Zeitschrittes des Zustandsautomaten $P_{\text{HausOhneEV}}(t-1)$ berechnet und auf die Sollladeleistung des Fahrzeuges aufaddiert.

Ablauf Ankunftsladung

Die *Ankunftsladung* beginnt sofort nach Verbindung des Fahrzeuges mit der Ladesäule. Die Ladeleistung beträgt zunächst die maximale Ladeleistung und wird erst nach Übertragung des Fahrplanes an das dezentrale System ggf. reduziert. Sollte im Fehlerfall bei der Generierung des Fahrplanes oder auf Grund einer händischen Nachladung durch den Benutzer (während eines Buchungszeitraumes) kein Fahrplan anliegen, wird die uneingeschränkte Ladeleistung so sichergestellt.

Durch Identifizierung des Fahrzeuges mit einem fahrzeugspezifischen RFID-Chip können die Stammdaten des Fahrzeuges geladen werden und die Mindestladeleistung $P_{EV,min}$ sowie der SOC_{EV} der Antriebsbatterie fortlaufend berechnet werden.

Ablauf Abfahrtsladung

Die Abfahrtsladung unterscheidet sich von der Ankunftsladung durch Nicht-Neusetzen der Fahrzeug-ID. Das Fahrzeug bleibt während der gesamten Ladephase (Ankunft + Standby + Abfahrt) an derselben Ladesäule angedockt. Als neue Parameter werden eine ausreichende Sperrzeit vor der geplanten Ausleihe des Fahrzeuges, die Zielparameter SOC_{Ziel} und t_{Ziel} neu gesetzt womit sich ebenfalls die Mindestladeleistung ändert und damit die Sollladeleistung des Fahrzeuges an der Ladesäule angehoben wird.

Steuerung des stationären Batteriespeichers

Der stationäre Batteriespeicher muss als schnell regelbare Komponente im dezentralen System Überschüsse und Unterdeckungen ausgleichen. Der stationäre Batteriespeicher wird dabei „hinten angestellt“: Negative Werte von $P_{HausOhneEV}$ werden zunächst als Überschüsse in die E-Fahrzeuge geladen. Weitere Überschüsse werden in den stationären Batteriespeicher geladen. Umgekehrt müssen positive Werte von $P_{HausOhneEV}$ vom Batteriespeicher durch Entladung kompensiert werden.

In Abbildung 21 ist ein Lastgang von $P_{HausOhneEV}$ qualitativ dargestellt: Es gibt zwei fiktive Zeitabschnitte mit Stromüberschuss. Der erste Zeitabschnitt sei ein Überschuss aus PV-Strom. Der zweite Zeitabschnitt entspricht der BHKW-Betriebszeit, welche auf Basis von Buchungsinformationen auf die Zeit der Abfahrtsladung optimiert wurde.

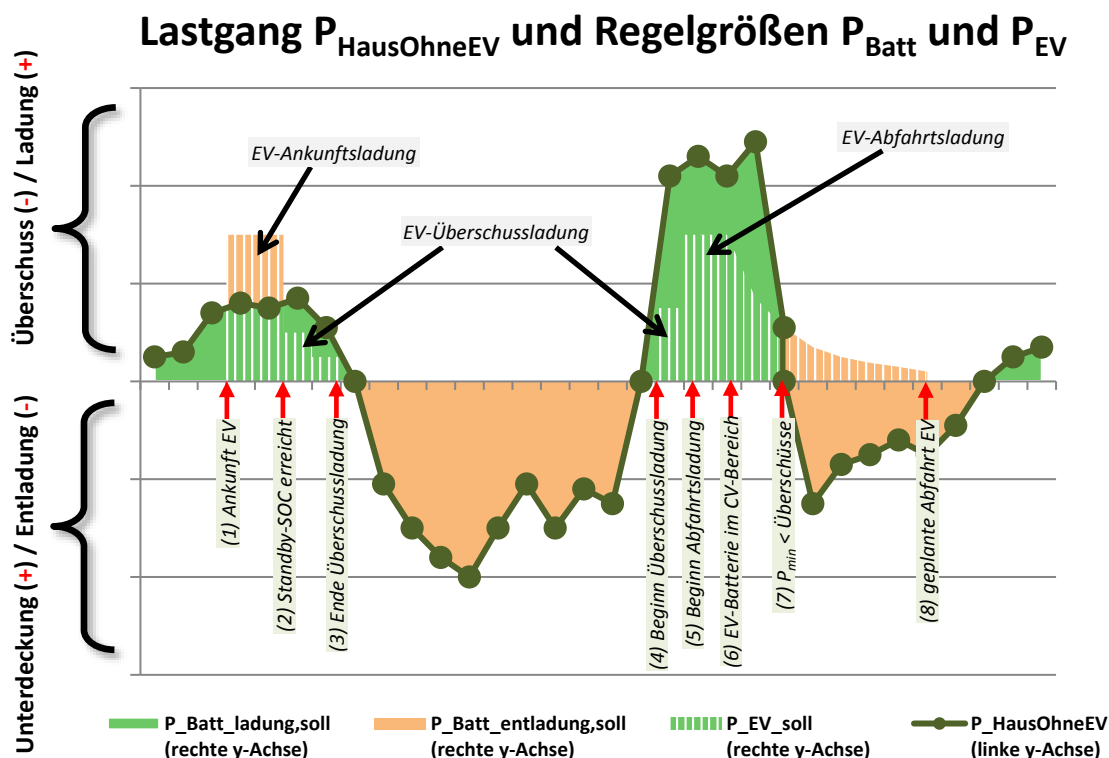


Abbildung 21: Qualitativer Verlauf von $P_{\text{HausOhneEV}}$ sowie der Regelgrößen P_{Batt} und P_{EV} . Grüne Bereiche sind Ladephasen, orange Bereiche sind Entladephasen. Gestreifte Bereiche stellen die Ladephasen des Elektroautos dar.

(1) Das Elektrofahrzeug kommt zufällig während des Überschuss-Abschnitts zur Ladestation und wird sofort auf den Standby-SOC aufgeladen (*Ankunftsladung*). Dabei liegt eine höhere Ladeleistung an, als Überschuss vorhanden ist. Es kommt trotz Überschüssen zu einer Unterdeckung. Nach Erreichen des Standby-SOC (2) wird die Ladeleistung auf die Überschüsse im Haus reduziert bis keine Überschüsse mehr vorhanden sind (3). Bis zum nächsten Zeitabschnitt mit Stromüberschuss findet keine Ladung des E-Fahrzeuges statt. Mit steigendem Überschuss wird die Ladeleistung jedoch wieder erhöht (4). Kurz darauf startet auch schon die *Abfahrtsladung* (5), da die Betriebsphase des BHKW extra in diese Ladephase gelegt wurde. Auf Grund der zusätzlichen Ladung aus Überschüssen ist der SOC des Fahrzeuges jedoch schon höher als nach Fahrplanladung. Die Ladeleistung wird daher durch das Batteriemanagementsystem im Fahrzeug reduziert (6). Die Betriebsphase des BHKW endet noch während der Abfahrtsladephase. Es kommt zu zusätzlichem Netzbezug durch das Elektrofahrzeug (7). Die Abfahrtsladephase endet mit der geplanten Abfahrt des Fahrzeugs (8).

Der stationäre Batteriespeicher muss die anfallenden Überschüsse (**grüne Bereiche**) und Unterdeckungen (**orangene Bereiche**) durch Lade- und Entladeleistung kompensieren. Sollte der SOC der Batterie keine Ladeleistung bzw. Entladeleistung ermöglichen, wird dies nicht weiter beachtet.

Die Lade-/Entladeleistung der Batterie beträgt somit jederzeit:

$$P_{\text{Batt}}(t) = (-1) \cdot (P_{\text{HausOhneEV}}(t-1) + P_{\text{EVGesamt}}(t-1))$$

4.3.5 Zwischenfazit Prognose und Optimierung

Für die Optimierung sind möglichst genaue Prognosen unerlässlich. Die Prognosen stützen sich auf reale Werte. Daher ist eine hohe Datenqualität und bei der gewählten Prognosemethode gleichmäßiges Nutzerverhalten für eine gute Prognose zwingend erforderlich. Die Kleinteiligkeit mit der in diesem Projekt Prognosen erstellt wurden hat zur Folge, dass abweichendes Nutzerverhalten (v.a. Spontanbuchungen der E-Fahrzeuge) und lokale Wettervorhersageabweichungen (Solarertrag) einen negativen Einfluss auf die Prognose und damit die Optimierung haben. Aufgrund der gewählten Dimensionierung der Komponenten bestand nur geringer Optimierungsspielraum (siehe 4.3.2 Abschnitt Prognosegüte), der mit wenig Aufwänden bei der Erstellung des Optimierungssystems ausgenutzt werden konnte.

5 Bewertung der Feldtestperformance

5.1 Technische Bewertung

5.1.1 Erkenntnisse zur technischen Machbarkeit

In den beiden Feldtestobjekten wurden je zwei Erzeugungsanlagen, ein stationärer Batteriespeicher, zwei bzw. drei Ladesäulen sowie Mess- und Steuerungstechnik installiert. Während die Erzeugungsanlagen, der Batteriespeicher und die Ladeinfrastruktur erprobter Massenmarkt-Technik entsprechen und jeweils auch Kommunikationsschnittstellen über REST oder Modbus mitbringen, musste im Wesentlichen nur die Mess- und Steuerungstechnik sowie das Buchungssystem für die E-Fahrzeuge den Bedürfnissen im Projekt angepasst werden. Im Folgenden wird auf die relevanten Komponenten einzeln eingegangen.

WAGO-Messschleifen

Die WAGO-Messschleifen bestehen aus einem System aus SPS, elektronischer Messklemme, Prüfklemmen zur Spannungsmessung sowie den installationsfreundlichen Klappstromwandlern. Die Installation stellte sich wie erwartet als sehr einfach da. Die Energieversorgung der Bewohner musste während der Umbauphase nicht eingeschränkt werden. Die SPS konnte mit IEC 61131-3 (CoDeSys) einfach programmiert werden, damit pro Messpunkt ein Leistungsmesswert als aggregierte Messung alle drei Phasen über Modbus TCP zur Verfügung stand. Im Feldtest zeigte sich die SPS erwartungsgemäß als äußerst robust und wenig fehleranfällig. In der gesamten Projektlaufzeit musste die SPS nur einmal neugestartet werden.

Die Auswertung der Messwertverläufe offenbart jedoch die Schwächen einer indirekten Induktivmessung: Klappstromwandler arbeiten nach dem Prinzip der Rogowskispulen. Rogowskispulen ermöglichen zwar den einfachen Einbau, da die Umwicklung nicht vollständig geschlossen ist, jedoch ist die Messgenauigkeit abhängig von der Lage des Primärleiters. Außerdem funktioniert das Prinzip schlecht bei niedrigen Strömen. Für das Projekt hat das bedeutet, dass die Messungen untereinander mit nicht kalkulierbarem Fehler nicht vollständig vergleichbar sind. Zudem zeigten sich nicht-reproduzierbare Offsets bei sehr kleinen Strömen. Das Phänomen ist deutlich am Lastgang der PV-Anlage zu erkennen, der eine scheinbare Einspeisung von wenigen Watt in Nachtstunden offenbart, siehe Abbildung 22. Da der nächtliche Offset nicht konstant war, konnte das Problem auch nicht durch Kalibrierung gelöst werden. Im Feldtest wurden daher alle Leistungsmesswerte im Bereich +/- 50 Watt genullt. Es ergibt sich somit folgender theoretischer Fehler pro Jahr:

$$W_{\text{Jahresverbrauch, Fehler}} = \pm 50 \text{ Watt} \cdot 24 \text{ h} \cdot 365 \text{ d} = \pm 438 \frac{\text{kWh}}{\text{a}}$$

Eine wichtige Erkenntnis zur technischen Machbarkeit einer massenmarktkompatiblen Leistungsmessung ist daher die Verwendung moderner fernauslesbarer Smart Meter, die einerseits kostentechnisch wesentlich günstiger sind und andererseits durch die MID-Zulassung auch für kleine zu messende Leistungen geeignet sind.

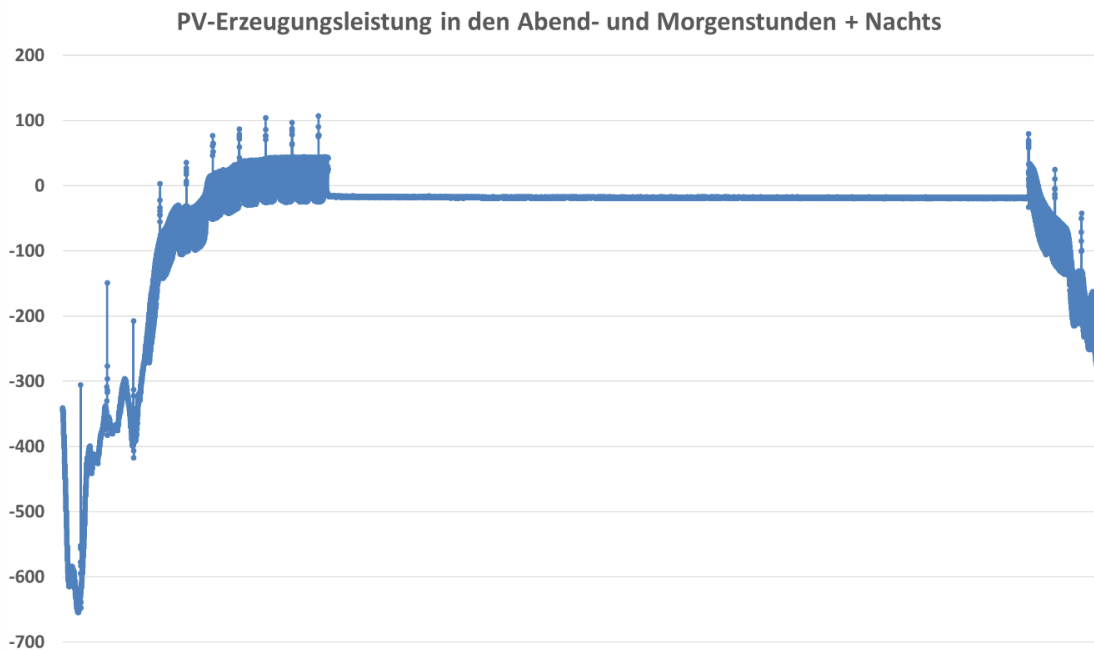


Abbildung 22: Lastgang der PV-Anlage im VHD aufgenommen mit der WAGO-Messschleife. In den Nachtstunden ergibt sich immer wieder eine scheinbare Einspeisung.

Gesamtsystem Ladestation + E-Fahrzeug

Das System Ladestation und E-Fahrzeug dient im Projekt der intelligenten Ladung mit überschüssigem Strom aus Eigenerzeugung. Die Ladestation muss daher fernsteuerbar und das E-Fahrzeug in der Lage sein, die Ladestromobergrenze bedarfsgerecht zu beeinflussen. Beide Anforderungen wurden von Mennekes als Hersteller der Ladestation sowie von der Industrie als Norm zur Ladung von E-Fahrzeugen implementiert. Die Fernsteuerbarkeit der Ladestationen stellt Mennekes in Form einer REST-Schnittstelle zur Verfügung, wie sie in der Informations- und Kommunikationstechnik seit Jahren Standard ist. Die Ladeleistungsbeeinflussung am E-Fahrzeug geschieht über die Festlegung einer Obergrenze des Ladestroms pro Phase, wie sie in der Industrie-Norm IEC 62196 im Mode 3 festgelegt ist. Die Fahrzeugladeelektronik lädt dann die Fahrzeugbatterie mit dem maximalen AC-seitigen Ladestrom. Die Kommunikation zwischen Ladestation und E-Fahrzeug geschieht über Pulsweitenmodulation.

Bei einem Integrationstest an einem Smart Electric Drive im Vogelhüttendeich erwies sich diese Technologie als reibungslos. Es können Stromobergrenzen zwischen 6 und 32 Ampere in Schritten von 1 Ampere festgelegt werden. Bei einer Vorgabe von 5 Ampere wird ein Sollstrom von 0 Ampere eingestellt. Es wurden zudem unterschiedliche zeitliche Abstände zwischen zwei neuen Sollvorgaben getestet und dabei ein Abstand von 60 Sekunden pro Sollwert als problemlos identifiziert. Die Ergebnisse des Tests sind in Abbildung 23 dargestellt.

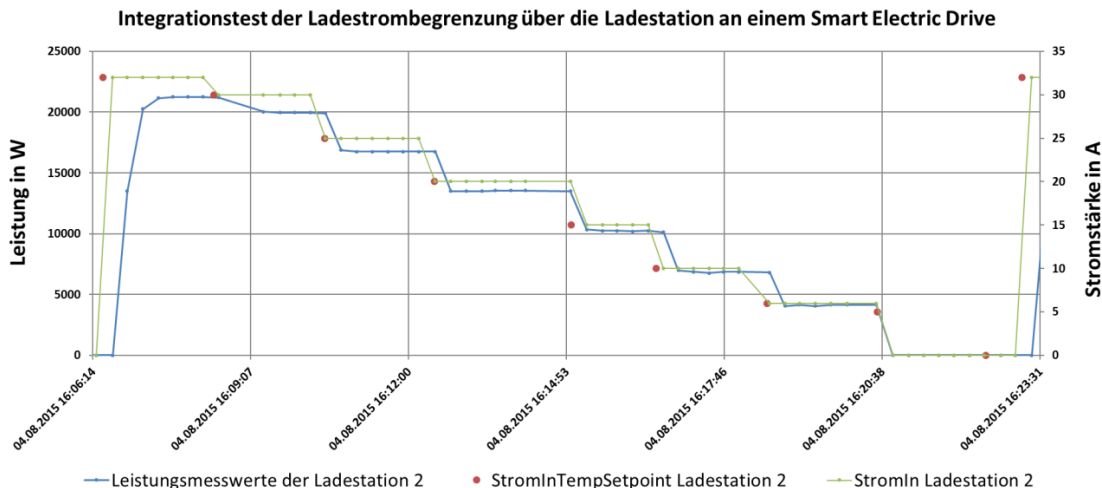


Abbildung 23: Auswertung eines Integrationstests der Ladestrombegrenzung an einem Smart Electric Drive mit Hilfe der Menekes Amtron Ladestation und einer Fernsteuerung der Ladestation über REST über TCP/IP.

Negativ zeigte sich im Feldtest jedoch die Anfälligkeit der Ladestationen gegen Überhitzung. Da die Ladestation im VHD vor dem Haus (siehe Abbildung 24) häufig intensiver Sonneneinstrahlung ausgesetzt war, hat sich hier regelmäßig, vor allem an warmen Tagen, die Hitze gestaut. Dies führte zu einer regelmäßigen sicherheitstechnischen Abschaltung der Ladestation. Immerhin zeigte sich, dass der Fehler „selbstheilend“ ist, sich also bei ausreichender Abkühlung wieder zurückgesetzt hat.



Abbildung 24: Ladestation im VHD. Bei direkter intensiver Sonneneinstrahlung heizt sich das Gehäuse innen auf über 50°C auf und die Elektronik schaltet aus Sicherheitsgründen ab.

Industrie-PC (IPC)

Das lokale IT-System wird im Forschungsprojekt durch Zusammenschluss eines IPC mit einem Kiwigrd Energy Manager realisiert.

Für das 3E-Forschungsprojekt für Datenspeicherung und Regelung einen IPC einzusetzen, hat sich als sinnvoll erwiesen. Für das Schreiben der großen Menge an Messwerten sind Festplatten als Speichermedium von Vorteil, da sie über einen viel größeren Speicherplatz verfügen – im Vergleich zu Speicherkarten, wie sie in der Regel in Kommunikationskomponenten zum Einsatz kommen. So konnten in einer relativ frühen Phase des Projektes bereits Messwerte aufgezeichnet werden, als die automatisierte Übertragung ins Rechenzentrum noch nicht implementiert war. Darüber hinaus sind Speicherkarten nicht für derart häufige Schreibzugriffe ausgelegt, wie sie im 3E-Projekt vonnöten waren, was mit Sicherheit zu einer sehr viel schlechteren Datenlage für spätere Auswertungen geführt hätte (Qualität, Vollständigkeit).

Auch was die Regelung angeht, liefert der eingesetzte IPC eine sehr gute Performance ab. Diese Aufgabe wäre zwar auch mit Devices wie dem Kiwigrd Energy Manager möglich gewesen, jedoch wohl nicht in Kombination mit dem schreibintensiven (Zwischen-)Speichern so großer Datenmengen, wie es für das 3E-Projekt erforderlich war.

Des Weiteren eignet sich ein IPC zudem hervorragend, um das System zu warten (Systemüberwachung, Log-Auswertung, Rollout neuer Versionen).

Kiwigrd Energy Manager

Der Kiwigrd Energy Manager hat sich als gute Schnittstellenlösung zur Anbindung der Komponenten (WAGO-Leistungsmessung, Ladestationen, Batteriespeicher) herausgestellt. Durch die Bündelung der Kommunikation zu den Komponenten wurde die Schnittstellenentwicklung für LichtBlick wesentlich vereinfacht, da nicht jede Komponentenschnittstelle durch LichtBlick implementiert werden musste, sondern nur die Schnittstelle zum Energy Manager. Als herausfordernd hat sich die hohe Taktung des Datenabrufs erwiesen. Ursprünglich war geplant, alle Daten aller Komponenten sekundlich abzurufen. Das hat sich jedoch als nicht praktikabel herausgestellt, da einige der Komponenten nicht in solch hoher Frequenz abgerufen werden können (die Geräte blocken teilweise ab, wenn zu viele Abfragen eingehen). Auch der Kiwigrd Energy Manager war zunächst nicht auf solch einen hochfrequenten Datenabruf vieler Messpunkte ausgelegt. Hier hat Kiwigrd jedoch im Projektverlauf einige Software-Verbesserungen vorgenommen, so dass die Daten letztlich in zufriedenstellender Aktualität vom Energy Manager abgerufen werden konnten.

Leider nicht mehr erprobt werden konnte der Einsatz des Kiwigrd Energy Managers als alleiniges dezentrales IT-System. Für eine massenmarktfähige Lösung wäre der Verzicht auf IPCs und Nutzung einer Kommunikationskomponente wie z. B. dem Kiwigrd Energy Manager aus Kosten- und Einfachheitsgründen unabdingbar. Interessant wäre hier vor allem gewesen, die Eignung als Regelungssystem sowie die Datenübertragung zur Zentrale zu erproben.

Ametras Buchungssystem

Das Carsharing-Buchungssystem von Ametras wurde entsprechend der Beschreibung in Abschnitt 4.2.2 aufgebaut. Nach der Inbetriebnahme des Systems gab es zum Projektstart größere technische Probleme in der Stabilität des Buchungssystems. Für die Nutzer äußerte sich dies darin, dass Fahrzeuge trotz Buchung bei Mietstart nicht öffneten, oder eine Rückgabe der Fahrzeuge nicht möglich war. Dies führte zu teils erheblichen Mehraufwänden in der Systembetreuung und Fehlerbehebung. Für eine Vielzahl verschiedener Fehlerbilder ließen sich im Wesentlichen zwei Hauptursachen identifizieren. Eine Fehlerquelle lag in der kommunikativen Verbindung zwischen Fahrzeug (bzw. Carsharing-Telematikbox) und dem zentralen Buchungssystem. Diese war teils sehr instabil, Daten konnten nicht oder nur mit großer Verzögerung versendet werden. Für die Nutzererfahrung ist ein reaktives Gesamtsystem aber extrem wichtig. Soll beispielsweise ein Fahrzeug bei Mietstart per RFID-Chip geöffnet werden, so muss dies augenblicklich passieren, da dem Nutzer nicht ersichtlich ist ob eine dauerhafte oder temporäre Störung des Gesamtsystems vorliegt. Im Projekt wurden für die verbesserte Mobilfunkverbindung verschiedene Maßnahmen durchgeführt die zusammengenommen schlussendlich zum Erfolg führten.

Eine zweite Fehlerquelle lag in der Bedienung des Buchungssystems. Zu Projektbeginn war die Bedienung des Buchungssystems durch LichtBlick-Mitarbeiter vorgesehen. Im Alltagsbetrieb wurde jedoch schnell die Komplexität des Buchungssystems deutlich. Durch die technischen Störungen kam es zu weit häufigeren Nutzerfragen als zunächst angenommen, was ein häufiges Eingreifen der Mitarbeiter notwendig machte. Durch die Komplexität des Systems konnte es dabei zu Fehlbedienungen kommen. Gegen Mitte des Projektes wurde daher entschieden, die First-Level-Betreuung der Teilnehmer durch Ametras-Mitarbeiter durchführen zu lassen. Auf diese Weise konnte den Nutzern schneller und effektiver bei Problemen geholfen werden. Das Buchungssystem ist im Rückblick für ein privates Carsharing mit nur einer begrenzten Fahrzeuganzahl zu komplex in seiner Bedienung.

Im Projekt wurde erstmals der Datenaustausch zwischen Buchungs- und Energiemanagementsystem erprobt. Für die Umsetzung wurde eine Server-to-Server Schnittstelle im Rahmen des Projektes spezifiziert und entwickelt. Die Umsetzung der Server-to-Server-Schnittstelle zwischen dem Ametras-Buchungssystem und dem LichtBlick-Rechenzentrum lief insbesondere aufgrund der zur Verfügung gestellten Testschnittstelle und einer technisch eindeutigen Spezifikation mit Anwendungsbeispielen ohne nennenswerte Probleme.

Einzig der Test spezieller Buchungs-/Fahrzeugkonstellationen war über das Testsystem teilweise nur schwer oder gar nicht darstellbar, wodurch einzelne Fehler erst nach der Umstellung auf das Produktivsystem aufgetreten sind und somit erst verspätet behoben werden konnten. Die Fehlerbehebung auf Ametras-Seite erfolgte innerhalb weniger Tage.

Über die Schnittstelle konnten alle, für eine optimierte Ladung der Fahrzeuge notwendigen Daten ausgetauscht werden. Dies funktionierte im Feldtest sehr gut, die spezifizierten Datenpunkte waren für die An-

wendung im Projekt ausreichend. Insbesondere die Information zum Batteriefüllstand, die über die im Fahrzeug verbaute Kommunikationsbox ausgelesen werden konnte, sowie die Informationen zu geplanten Buchungszeitpunkten waren für die energiewirtschaftliche Optimierung wichtig.

5.1.2 Performance des Gesamtsystems

Im Forschungsprojekt wurde im Wesentlichen das dezentrale Regelungssystem neu entwickelt, während auf der Ebene der zentralen Systeme bewährte Optimierungslogiken des LichtBlick SchwarmDirigent® eingesetzt wurden, die lediglich um einige Eingangsgrößen wie Prognose der PV-Erzeugung und Buchungsinformationen des Carsharing-Systems erweitert wurden. Die Performance des Systems blieb von diesen Änderungen unberührt hoch, da das System auf Produktivbetrieb hin entwickelt wurde und täglich den Betrieb von über eintausend Klein-BHKW im LichtBlick Schwarm® optimiert. In diesem Kapitel wird daher nur die Performance des dezentralen Systems erläutert.

Das dezentrale System steuert im Wesentlichen die intelligente Ladung der E-Fahrzeuge, wie in Kapitel 0 beschrieben. Es muss also in drei Ladephasen unterschieden werden:

- Ankunftsladung (*bis 60 % SOC*)
- Standby-Ladephase (*reine Überschussladung*)
- Abfahrtsladung (*Start 1 Stunde vor geplanter Abfahrt, bis 100 % SOC*)

Die Performance des Systems wurde mit einer exemplarischen Ladung an einem BMW i3 am 05.10.2016 in der MTS getestet:

04.10., ca. 18 Uhr: Das Fahrzeug wird mit 100 % SOC ausgeliehen und einer Probefahrt mit ca. 100 km unterzogen.

05.10., ca. 9 Uhr: Das Fahrzeug wird mit einem Ladezustand von ca. 4 % SOC wieder eingebucht. In der Ankunfts-ladephase wird das Fahrzeug auf 60 % SOC aufgeladen. Die Ladeleistung orientiert sich dabei an der zur Verfügung stehenden Zeit.

05.10., ca. 11 Uhr: Die Ankunfts-ladung ist beendet und die dezentrale Steuerung schaltet auf Standby-Ladephase. Jetzt wird nur noch mit Strom aus überschüssiger Eigenerzeugung geladen.

05.10., ca. 13 Uhr: Die nächste Buchung steht in einer Stunde an. Das System schaltet auf Abfahrts-ladung. Das Fahrzeug sollte nun innerhalb von einer Stunde auf 100 % SOC aufgeladen werden. Da die Fahrzeugbatterie am Ende der Standby-Ladephase bereits bei über 80 % SOC stand, kann mit verminderter Leistung geladen werden.

05.10., ca. 14 Uhr: Das Fahrzeug wird mit ca. 96 % SOC bereitgestellt.

Das Ergebnis des Tests ist in Abbildung 25 dargestellt. Es ist gut zu erkennen, wie in der Standby-Ladephase Energie aus überschüssiger Eigenerzeugung ins Fahrzeug geladen wird (blaue Linie). Der in grün dargestellte Verlauf des Ladezustandes entspricht der Berechnung des dezentralen Systems, basierend

auf der AC-Messung der Ladeleistung und den zu Grunde gelegten Verlusten. Der reale Ladezustand kann nur bei Rückgabe des Fahrzeuges von der Carsharing-Elektronik aus dem CAN-Bus des Fahrzeuges ausgelesen werden (rotgrüne Rechtecke). Es ist gut zu erkennen, dass die Berechnung gut funktioniert hat.

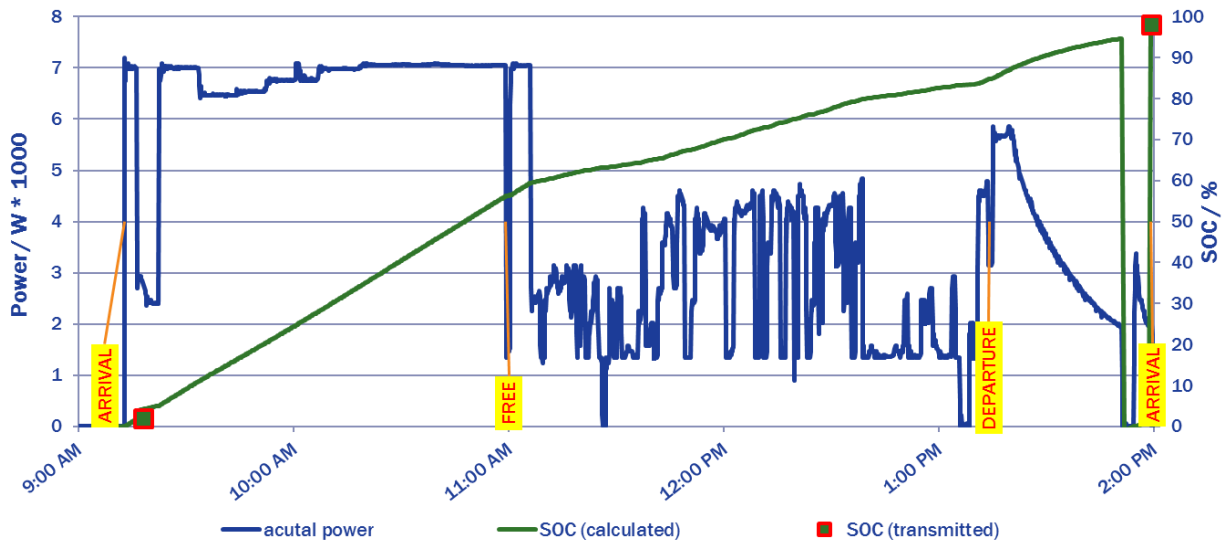


Abbildung 25: Test der intelligenten Fahrzeugladung an einem BMW i3 in der Marienthaler Straße. Der in grün dargestellte Ladezustandsverlauf wurde vom dezentralen System berechnet. Die roten Kästen entsprechen den vom Carsharing-System aus dem CAN-Bus ausgelesenen tatsächlichen Ladezuständen.

In Abbildung 26 ist die vom dezentralen System berechnete Sollladeleistung gegenüber der tatsächlichen Ladeleistung der Fahrzeugbatterie geplottet. Während der Standby-Ladung lässt sich erkennen, wie gut die tatsächliche Ladeleistung der Sollleistung hinterherfährt. Die asymptotischen Anstiege der Sollleistung gegen Ende der jeweiligen Zwangsladephassen ist in der Berechnungsformel begründet: Durch das stetig abnehmende Zeitdelta geht der Nenner asymptotisch gegen Null und damit die Sollleistung gegen unendlich:

$$P_{EV, setpoint-min}(t) = \frac{(SOC_{target} - SOC_{actual}(t)) \cdot C_{bat, EV}}{t_{target} - t_{actual}}$$

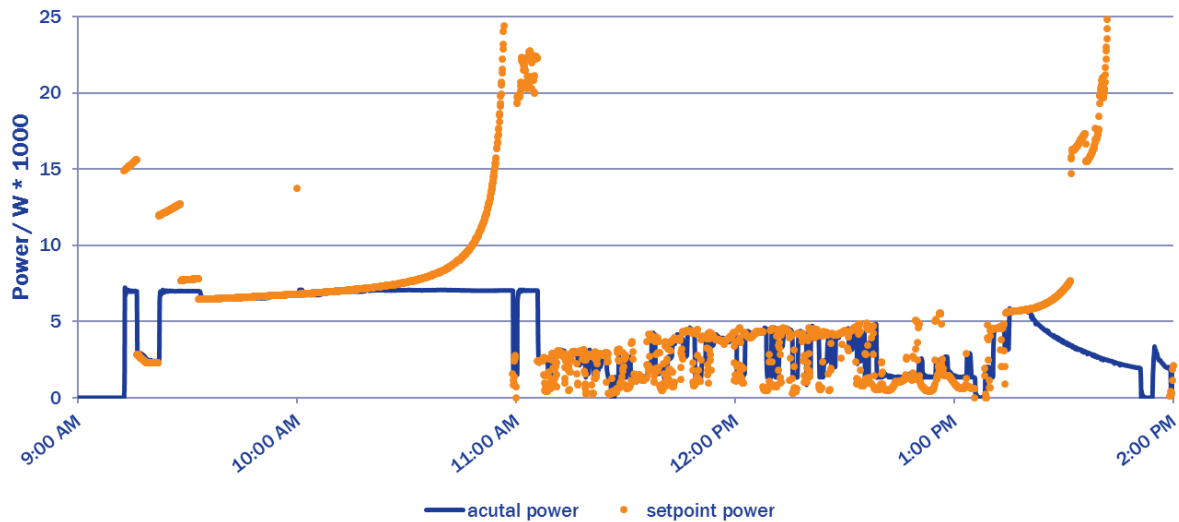


Abbildung 26: Vom dezentralen System berechnete Soll-Ladeleistung vs. tatsächliche Ladeleistung der Fahrzeugbatterie (AC-Leistung).

Eine weitere Aufgabe des dezentralen Regelungssystems ist die Steuerung der stationären Batterie in Abhängigkeit von Überschüssen und Unterdeckungen des Gesamtsystems gemäß folgender Formel:

$$P_{Batt}(t) = (-1) \cdot (P_{HausOhneEV}(t - 1) + P_{EVGesamt}(t - 1))$$

Die Performance des Systems ist exemplarisch in Abbildung 27 dargestellt. Es ist gut zu erkennen, dass die stationäre Batterie zwischen ca. 8 Uhr abends und 3 Uhr nachts die Unterdeckungen des Haushaltes bedient. Anschließend taktet das BHKW häufiger und erzeugt einen größeren Überschuss, welcher von der stationären Batterie geladen wird. Die Überschüsse aus der Photovoltaikanlage am nächsten Morgen können auf Grund des bereits durch die nächtliche Nachladung hohen Ladezustands ab ca. 10:30 Uhr vormittags nicht mehr in die stationäre Batterie geladen werden.

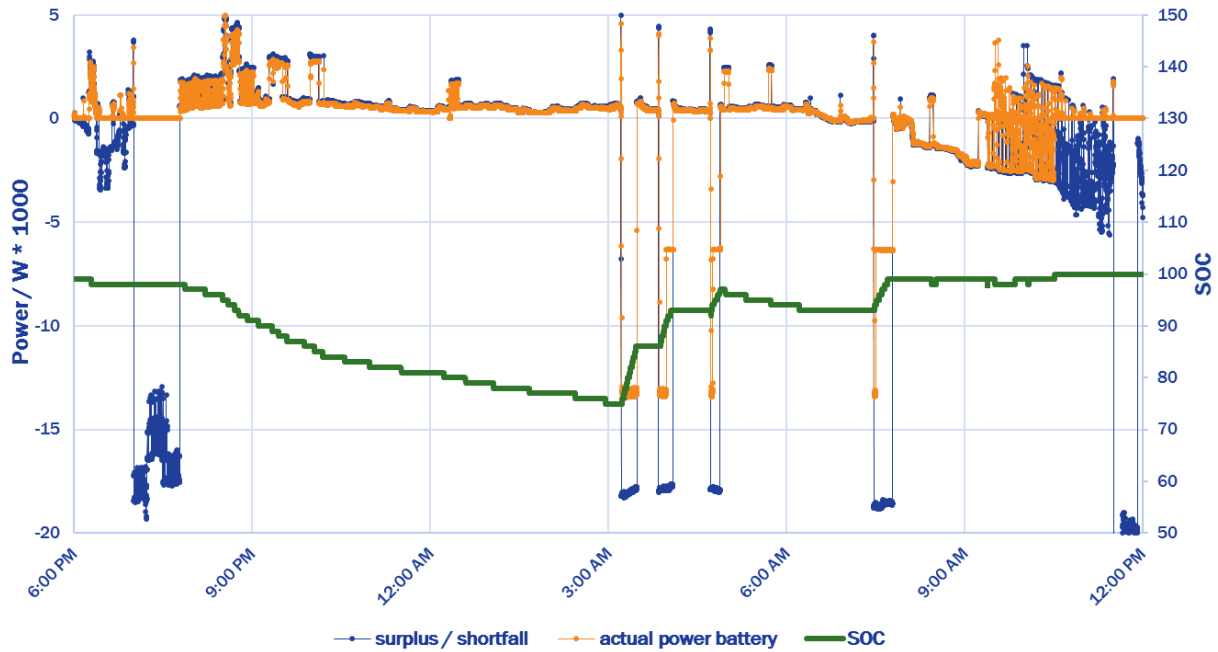


Abbildung 27: Verlauf des Ladezustands und der tatsächlichen Leistung der stationären Batterie im Vogelhüttendeich sowie die Überschüsse und Unterdeckungen (blaue Linie).

Eine weitere Performancegröße des dezentralen Regelungssystems ist die Regelverzögerung des stationären Batteriespeichers. Dieser muss grundsätzlich alle schnell fluktuierenden Leistungsänderungen im Gesamtsystem des Mehrfamilienhauses ausgleichen. In Abbildung 28 ist diese Performance exemplarisch an einer taktenden Herdplatte dargestellt: Der stationäre Batteriespeicher ist in der Lage durch das dezentrale Regelungssystem die schnell veränderliche Last mit einer Verzögerung von 5-10 Sekunden auszugleichen. Dieser Wert liegt auf der Höhe moderner Hausbatteriespeicher.

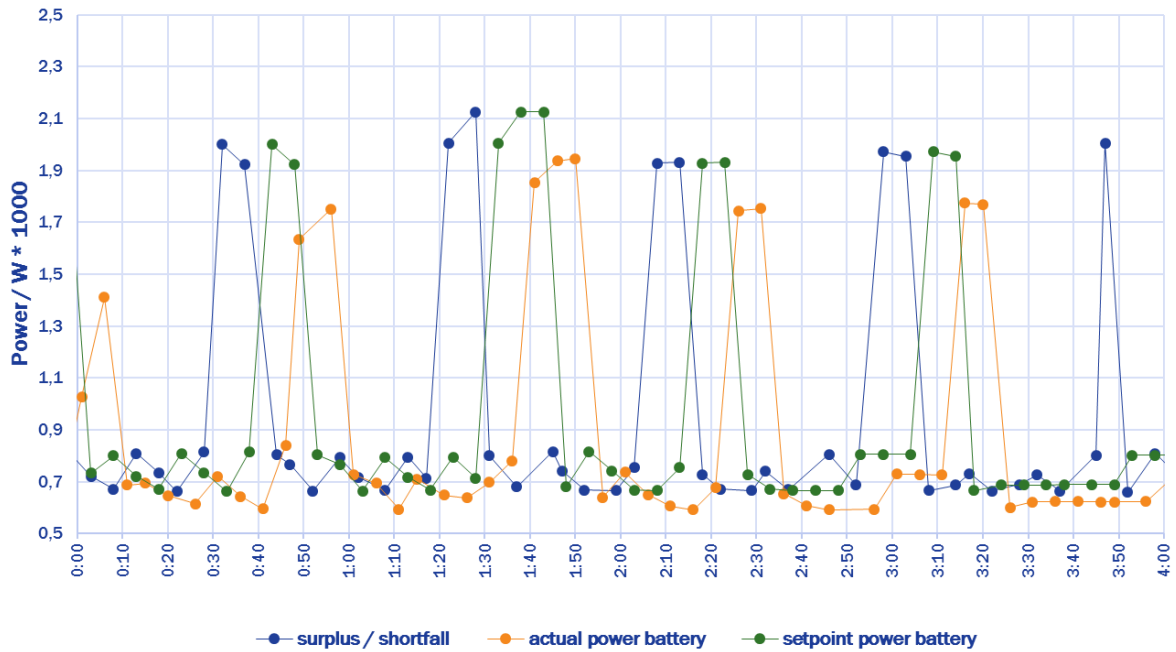


Abbildung 28: Regelverzögerung zwischen gemessenem Überschuss bzw. Unterdeckung, berechneter Sollleistung und tatsächlicher Leistung am stationären Batteriespeicher bei einer taktenden Herdplatte.

Zuletzt ist in Abbildung 29 noch die Systemverfügbarkeit des dezentralen Regelungssystems in den beiden Pilotprojekten dargestellt. Die Systemverfügbarkeit definiert sich als Anteil der vollen fehlerlosen Minuten eines Tages. Im Mittel lag die Verfügbarkeit bei ca. 99% und stieg gegen Projektende an.

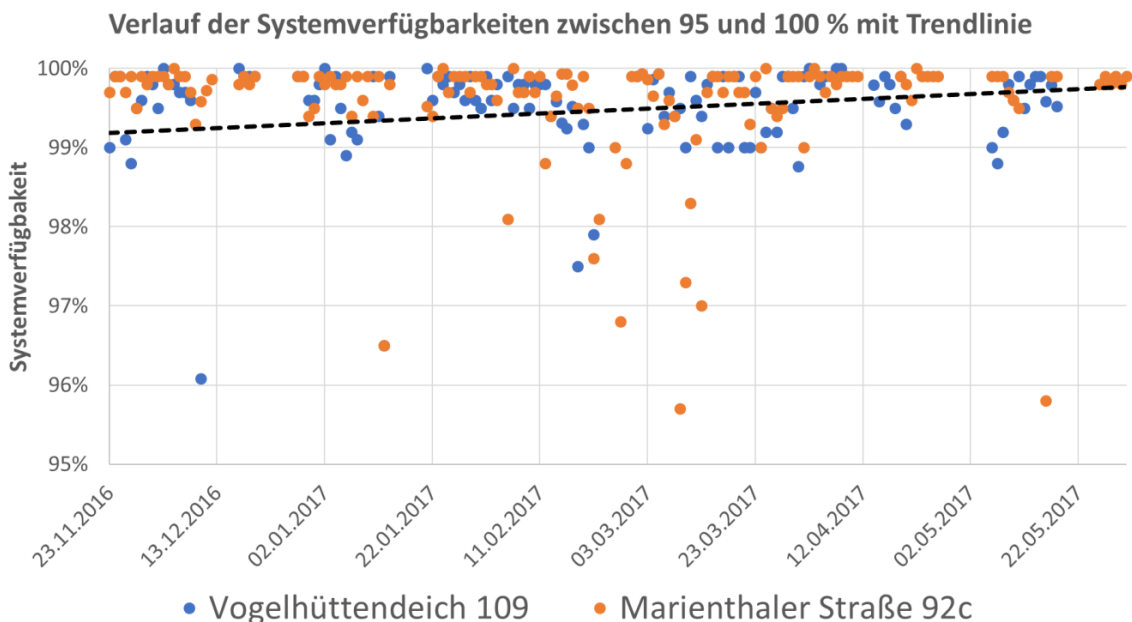


Abbildung 29: Systemverfügbarkeit des dezentralen Regelungssystems in der Marienthaler Straße und Vogelhüttendeich von November 2016 bis Mai 2017 sowie eine Trendlinie als Mittelwert.

5.1.3 Auffälligkeiten und Optimierungsmöglichkeiten

In diesem Kapitel werden einige Punkte aufgeführt, die zu Vereinfachungen und Verbesserungen führen würden. Hiermit ließen sich die Erfolgsaussichten 3E-ähnlicher Geschäftsmodelle verbessern.

Unterstützung der Kommunikation zwischen E-Fahrzeug und Ladestation

Die vorgesehene Schnittstelle ISO 15118 zur Kommunikation zwischen Ladestation und E-Fahrzeug wurde von den E-Fahrzeug-Herstellern zum Projektstart nicht bedient, obwohl diese technisch relativ leicht umzusetzen ist. Der Ladestationshersteller Mennekes hatte diese Schnittstelle zur Zeit der 3E-Komponentenauswahl (Anfang 2014) bereits implementiert, es gab jedoch kein geeignetes Fahrzeug, welches über diese Schnittstelle kommunizierte. Mit einer funktionierenden Kommunikation über den Standard würde intelligentes Beladen der E-Fahrzeuge deutlich vereinfacht. Für das Projekt war die Information des State of Charge (SOC) der Fahrzeugbatterie, sowie die ID des Fahrzeuges beim Verbinden mit der Ladestation wesentlich. Da diese Informationen nicht direkt zwischen Fahrzeug und Ladestation ausgetauscht wurden, mussten im Projekt Umwege gegangen werden. Es sollten Anreize für eine zukünftige Umsetzung der Kommunikation auch in den Fahrzeugen geschaffen werden. (Das Unterdrücken dieser Kommunikation führte im 3E-Projekt zu der folgenden, ziemlich absurden Lösung: In den Fahrzeugen wurde eine Telematik-Box verbaut, die den SOC bei Ankunft an der Ladestation an das Ametras-Buchungssystem übermittelte. Von dort hat der SchwarmDirigent® den SOC abgerufen und an das dezentrale Regelungssystem übertragen, damit dort die intelligente Beladung der E-Fahrzeuge durch Beeinflussung der Ladeleistung an der Ladestation stattfinden konnte.)

Meldung des Ladestandes auch während der Beladung

E-Fahrzeuge sollten nicht nur bei der Ankunft an der Ladestation den Ladestand nach außen melden, sondern auch während des Ladevorgangs. Dies würde die Berechnung des Ladestandes durch das dezentrale Regelungssystem ersparen, die einerseits fehleranfällig und andererseits überflüssig ist, da das E-Fahrzeug den Ladestand ohnehin selbst ermitteln sollte.

Einbindung von Smart Metern

Eine kommunikative Einbindung von Smart Metern würde den aufwendigen und teuren Einbau zusätzlicher Messtechnik ersparen. Hierfür müssten Wege geschaffen werden, die dem Regelungssystem den Datenabruf von bestimmten Smart Metern ermöglicht, deren Nutzer dem ausdrücklich zugestimmt haben.

Nur eine dezentrale IT-Komponente

Für eine massenmarktfähige Umsetzung müsste man statt der im 3E-Forschungsprojekt gewählten Lösung mit IPC und Kiwigrad Energy Manager auf eine Lösung mit nur einer dezentralen IT-Komponente je Feldtestobjekt umsteigen. Die gewählte Lösung bietet für ein solches Forschungsprojekt Vorteile, jedoch verursacht sie zu hohe Kosten und ist vom Aufbau und Handling her zu umständlich für den Massenmarkt. Lösungen können hier spezielle Kommunikationskomponenten wie der Energy Manager von Kiwigrad sein. Daneben könnten auch in andere Komponenten integrierte Steuersysteme – z. B. die Steuereinheit eines

PV-Wechselrichter oder eines Batteriespeichers – diese Aufgabe übernehmen, sofern weitere Komponenten damit kommunikativ verbunden werden können. Die Lösung über integrierte Steuersysteme bietet den Vorteil, dass keine zusätzliche Hardware benötigt wird. Andererseits bringt sie den Nachteil mit sich, dass man bei der Hardware-Auswahl stärker eingeschränkt ist.

5.2 Wirtschaftliche Bewertung

Die wirtschaftliche Bewertung stellt die Grundlage für eine mögliche Produktableitung dar. So kann bewertet werden, ob sich aus dem Forschungsprojekt ein Geschäftsmodell ergibt. Dazu müssen grundlegende Überlegungen zur möglichen Rolle von LichtBlick gemacht und auch die beteiligten Akteure identifiziert werden, damit die Zahlungsströme entsprechend zugeordnet werden können. Die Abbildung 30 veranschaulicht schematisch die Zahlungsströme der im 3E-Projekt eingenommenen Rolle von LichtBlick.

Es handelt sich dabei um eine Variante, welche beispielsweise durch die Einbindung weiterer Akteure als

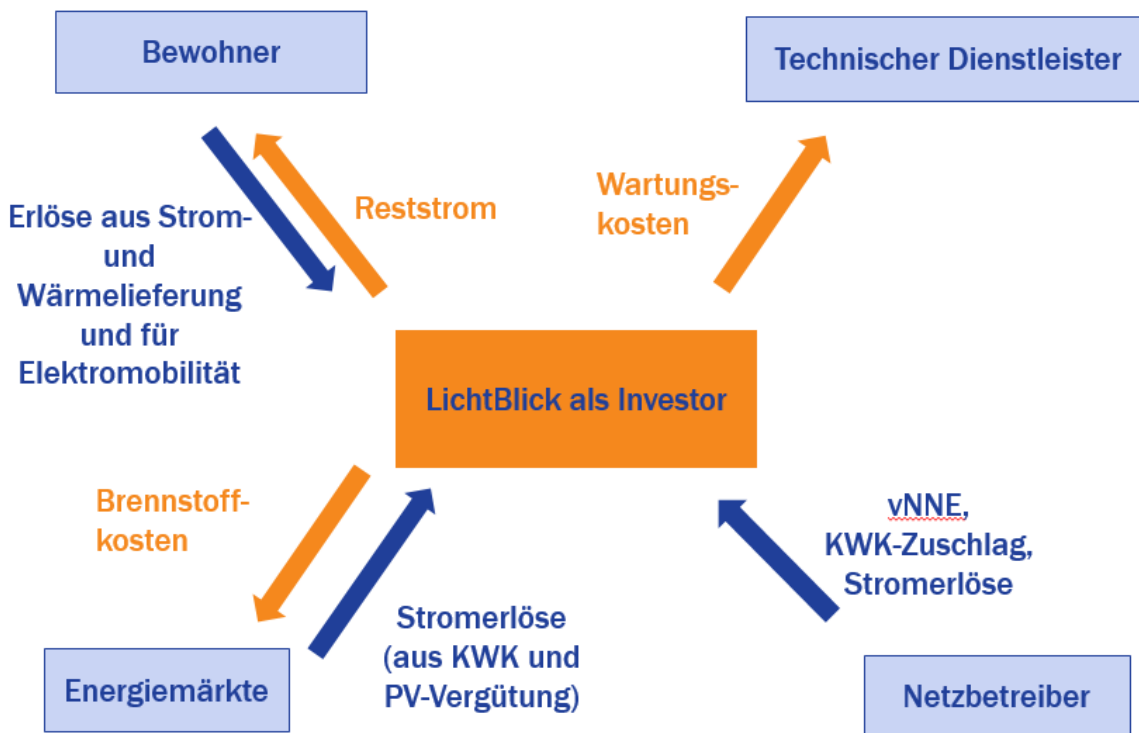


Abbildung 30: Zahlungsströme für LichtBlick als Investor

Dienstleister ergänzt werden könnte. So ist denkbar, dass die Abrechnung der einzelnen Bewohner über einen Dienstleister oder auch eine Finanzierungsdienstleistung in Anspruch genommen werden könnte.

In den folgenden Überlegungen sind sämtliche Kosten für das Objekt analysiert worden. Die spezifischen Kosten für die Forschung sind separiert worden. Die Kosten für die E-Fahrzeuge fließen nicht in die Wirtschaftlichkeitsüberlegungen ein. Sie sind im Forschungsprojekt über ein Leasingmodell durch LichtBlick bereitgestellt worden. In der Analyse der Feldtestobjekte fließen sie daher nicht als Investitionskosten ein

und müssen in den weiterführenden Überlegungen zur Produktableitung von der Gemeinschaft in den Nebenkosten des Gebäudes (analog bspw. eines Fahrstuhlbetriebs) getragen werden. Sämtliche Beträge sind Nettobeträge vor Berücksichtigung der Mehrwertsteuer.

5.2.1 Voranalyse

Für die Wirtschaftliche Bewertung wird eine angepasste Datenbasis verwendet. Dies ist notwendig aufgrund von feldtestspezifischen Fehlern in der Messwerterfassung. Um insgesamt aussagekräftigere Schlussfolgerungen auf Basis einer einheitlichen Datenbasis ziehen zu können, müssen einzelne Messpunkte unter den Rahmenparametern des Feldtestes simuliert werden. Hierbei handelt es sich in erster Linie um den Betriebsplan des BHKW. Diese beeinflussen wiederum den Lastgang des Batteriespeichers sowie den Hausanschluss. Die restliche Datenbasis, die einzelnen Verbraucher sowohl strom- als auch wärmeseitig, die PV-Anlage und die Buchungen sowie Fahrten der E-Fahrzeuge sowie sämtliche berücksichtigten Prognosen, bleiben davon unberührt. Wird im folgendem Abschnitt der Begriff „Feldtest“ verwendet, ist von der hier definierten Datenbasis die Rede.

Um die wirtschaftliche Bewertung vornehmen zu können, muss eine Voranalyse der gemessenen Daten erfolgen. Ziel dieser Voranalyse ist es, eine belastbare Datengrundlage zu erhalten. Dazu wurden die Messdaten der Feldtestobjekte ausgewertet und aufbereitet, indem plausible Datensätze gesichert und unplausible Datensätze korrigiert und für einzelne fehlende Werte Ersatzwerte gebildet wurden. Im Ergebnis liegen im Anschluss für jedes der beiden Objekte Mess- und Optimierungsdaten für ein Kalenderjahr im 15 Minutenintervall vor. Es handelt sich dabei um folgende Energiemessdaten:

- Stromverbräuche der einzelnen Wohnungen
- Buchungsdaten der E-Fahrzeuge
- PV Ist-Daten
- PV Prognosedaten
- Wärme Ist-Daten
- Wärme Prognosedaten
- Fahrprofil der E-Fahrzeuge
- Ist-Börsenstrompreis
- Prognosebörsenstrompreis

Diese Energiemessdaten bilden die Grundlage für die Messdatenauswertung. Für die Wirtschaftlichkeitsbetrachtung kann dann die Übertragung auf eine mehrjährige Betrachtungsdauer vorgenommen werden. Das Modellkonzept zur allgemeinen Vorgehensweise und als Überblick ist in der folgenden Abbildung 31 schematisiert:

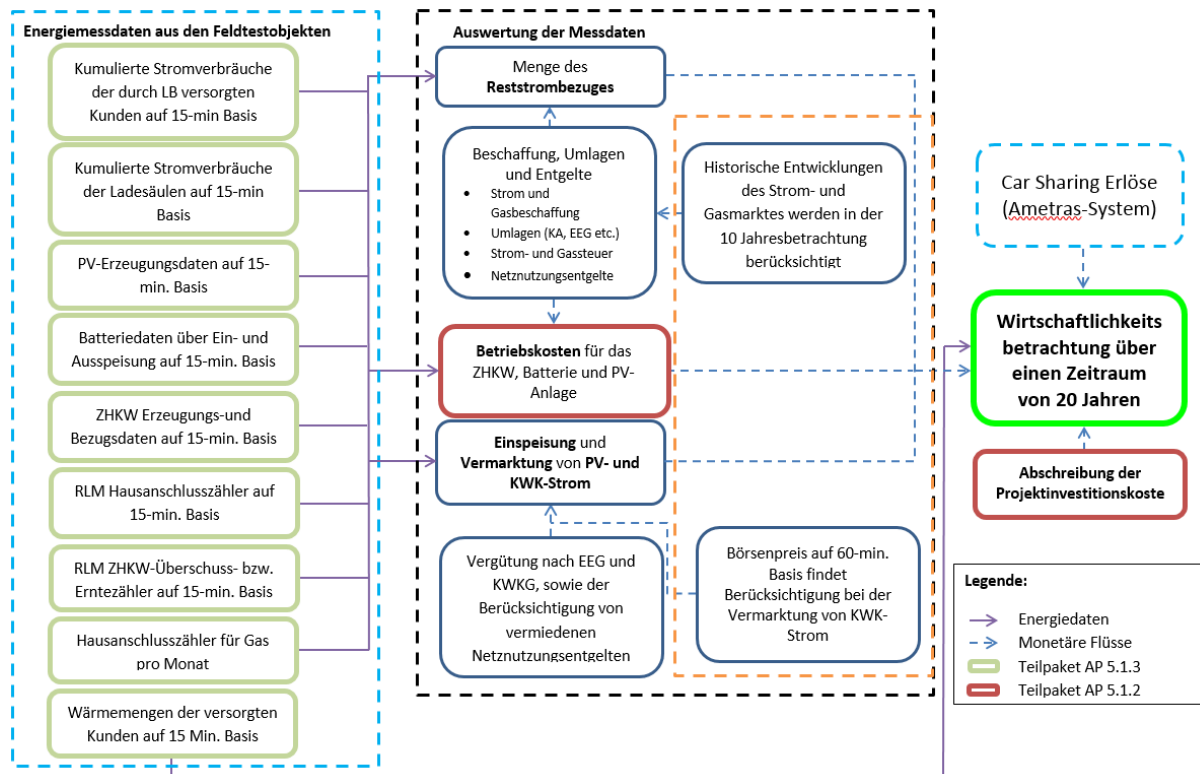


Abbildung 31: Einflussgrößen der Wirtschaftlichkeitsberechnung

5.2.2 Szenarien und Energiedatenauswertung

Im vorliegenden Abschnitt werden die Ergebnisse der Arbeitspaket 5.1.2 und 5.1.3 zusammenfassend dargestellt. Es soll dadurch eine Basis für eine energiewirtschaftliche Beurteilung der Feldtestobjekte in der Marienthaler Straße (MTS) und im Vogelhüttendeich (VHD) geschaffen werden.

Marienthaler Straße

Das 3E-Objekt in der MTS weist neun Wohneinheiten, einen allgemeinen Stromverbraucher und drei Ladesäulen auf. In der MTS nehmen drei der neun Wohnparteien an dem 3E-Projekt teil. Die restlichen Mieter werden nicht von LichtBlick versorgt. In die Betriebskosten und die Erlöse gehen somit die drei teilnehmenden Mietparteien, der allgemeine Stromverbrauch, das ZuhauseKraftwerk, die PV-Anlage, der Batteriespeicher und die Ladesäulen ein.

Vogelhüttendeich

Anders als in der MTS nehmen im VHD alle Wohnparteien an dem 3E-Projekt teil. Somit gehen sämtliche Verbrauchs- und Erzeugungseinrichtungen in die Berechnungen ein. Der VHD weist zehn Wohnparteien, einen allgemeinen Stromanschluss und ein Nebengebäude auf. Allgemeinstrom und Nebengebäude werden gemeinsam abgerechnet. Somit hat LichtBlick elf Verträge im VHD, die in die Berechnungen eingehen.

Sowohl in der MTS als auch im VHD wurden für die Zeit der Feldteste an allen Erzeugern und Verbrauchern (Wohnungen, Ladesäulen und allgemeiner Stromverbrauch) Messeinrichtungen installiert, die Energiewerte auf Viertelstundenbasis liefern. Diese sind Grundlage für die Ermittlung der Betriebskosten. Die oben beschriebene Voranalyse der Messdaten ergab, dass ergänzend zu den gemessenen Werten, weitere Datenreihen – die sogenannten Ersatzwerte - berechnet werden müssen, damit ein insgesamt belastbarer Datensatz vorliegt. Dabei handelt es sich um einzelne Daten für die Ladestationen der E-Fahrzeuge, das ZuhauseKraftwerk und den Batteriespeicher.

Neben der im Feldtest angewandten Fahrweise, wird zudem eine alternative nicht optimierte Betriebsweise betrachtet, welche ausschließlich die Eigenverbrauchsoptimierung zum Ziel hat, ohne eventuelle Mehrerlöse durch eine optimierte Einspeisung zu berücksichtigen. Das bedeutet, in beiden Fällen findet eine Eigenverbrauchserhöhung durch die Batterie statt. Diese ist der übliche Stand der Technik von modernen PV-Batterie-Anlagen. Zudem wird die Leistung der Ladesäulen optimiert, um einerseits möglichst hohe Eigenverbrauchsquoten und andererseits eine hohe Verfügbarkeit für die Nutzer zu erreichen. Zusätzlich wird nur im optimierten Fall eine Optimierung des Fahrplans des BHKW zur Eigenverbrauchsoptimierung unter Berücksichtigung einer Day-Ahead Strompreis Optimierung vorgenommen. Ziel hierbei ist es, den über die Eigenverbrauchserhöhung anfallenden Überschussstrom zu Zeiten von erhöhtem Strombedarf und dadurch überdurchschnittlichen Strompreisen einzuspeisen. Dadurch soll die Wirtschaftlichkeit des Systems weiter verbessert werden. Daher wird grundlegend zwischen einem optimierten und einem nicht optimierten Szenario unterschieden. Der Mehrwert der 3E Optimierung ergibt sich somit aus der Differenz zwischen optimiertem und nicht optimiertem Betrieb.

Der Überschuss aus dem nicht optimierten Betrieb wird analog zum optimierten Betrieb berechnet. Hier besteht der Hauptunterschied darin, dass eine energiemarktoptimierte Steuerung des BHKW nur im optimierten Betrieb erfolgt. Es wird der BHKW-Betrieb nach maximalen Einspeiseerlösen gesteuert. Eine Berücksichtigung der Verbrauchssituation vor Ort findet hier parallel statt. Die Strom- und Wärmeverbräuche der Wohnungen und der Lastgang der PV-Anlage bleiben von der Betriebsweise unberührt.

Für die Energiedatenauswertung werden in beiden Objekten Betriebskosten und Erlöse anhand des Zählerkonzeptes der MTS bestimmt. Dieses ist in der folgenden Abbildung 32 dargestellt und sieht neben den LichtBlick-Kunden, den Ladesäulen und den Erzeugungseinheiten auch fremdversorgte Kunden vor, die über ein bereits erläutertes und mit dem Netzbetreiber abgestimmtes Zählerkonzept verrechnet werden. Ziel des Zählerkonzeptes ist es, die Energiemengen und deren Saldierung in der Kundenlage im Objekt zu bestimmen. Die realen Einspeisemengen werden am Hausanschlusszähler gemessen. Die fremdversorgten Kunden nutzen elektrische Energie, die bilanziell nicht im Objekt generiert wurde und somit keinen Eigenverbrauch darstellt. Mit dem Zählerkonzept werden diese Energiemengen, die theoretisch eingespeist werden erfasst, um die gesetzliche Vergütung in Anspruch zu nehmen.

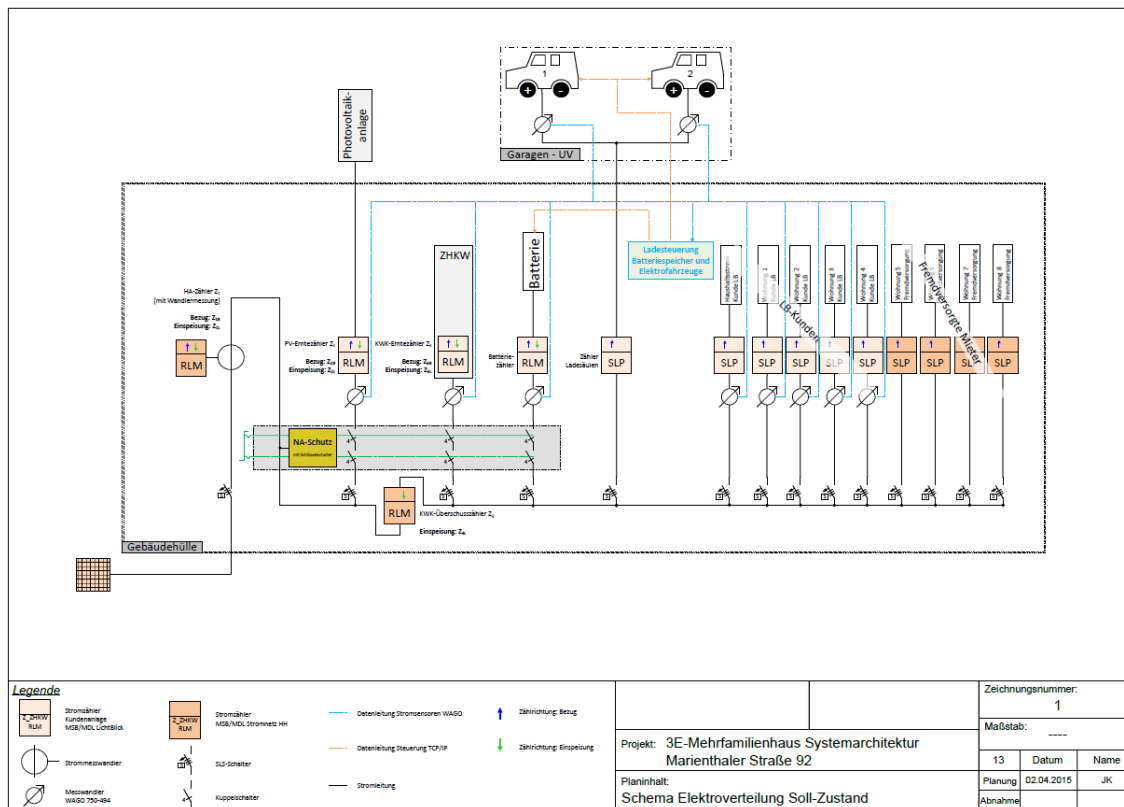


Abbildung 32: elektrisches Schaltbild MTS

Es ist zu beachten, dass sowohl die Betriebskosten als auch die Erlöse der Feldtestobjekte festgelegten Vergütungsansätzen und Vermarktungsstrategien unterliegen. Außerdem ist mit der Optimierung des BHKW-Betriebes eine übergeordnete Steuerung sichergestellt.

Relevante Energiemengen

Die Betriebskostenermittlung bedarf vorab der Festlegung bzw. Ermittlung der relevanten Energiemengen. Daher zeigt dieser Abschnitt, die für die Auswertung notwendigen Datenreihen. Die Verbrauchs- und Erzeugungswerte können anhand der gemessenen und aufgearbeiteten Werte, ohne weitere Berechnungsschritte dargestellt werden. Die Einspeise- und ZuhauseStrom-Mengen sowie die Netzbezugsmengen für das 3E-Projekt, müssen aufgrund des Zählerkonzeptes berechnet werden. Die nachstehenden Berechnungen werden viertelstundenweise durchgeführt.

Zur Bestimmung der Betriebskosten wurde ein Modell erstellt, an dem Eingangsparameter wie beispielsweise Vergütungssätze bestimmt werden können, die einen Einfluss auf spätere Berechnungen haben. Die gemessenen und aufbereiteten Daten werden für jeden Messpunkt in das Excel-Modell eingelesen. Zur Vorbereitung der Eigenstrombedarfsdeckung werden die Verbräuche der LichtBlick-Kunden und der allgemeine Stromverbrauch zu einem Verbrauch über ein Jahr aufsummiert. Dies geschieht analog für die Ladensäulen und die Stromverbräuche der nicht von LichtBlick belieferten Mietparteien. Die gemessenen Werte für das ZuhauseKraftwerk, die PV-Anlage, den Batteriespeicher und den Wärmebedarf gehen ohne weitere Vereinfachungen in die Berechnung ein.

Tabelle 9: Energiemengen zur Bestimmung der Betriebskosten im optimierten 3E Betrieb

Messpunkt	MTS	VHD	Einheit
Elektrische KWK-Erzeugung	55.633	45.869	kWh/a
Elektrische KWK-Einspeisung	50.563	28.538	kWh/a
Elektrische KWK-ZuhauseStrom	5.069	17.330	kWh/a
KWK-Eigenstrom	615	471	kWh/a
PV-Erzeugung	8.088	9.788	kWh/a
PV-Einspeisung	6.248	1.670	kWh/a
PV-ZuhauseStrom	1.840	8.119	kWh/a
Wärme	91.353	79.473	kWh/a
Gasverbrauch	169.096	139.419	kWh/a
3E-Netzbezug	30	2.582	kWh/a
PV-Eigenverbrauchsanteil	22,75 %	82,94 %	
KWK-Eigenverbrauchsanteil	9,11 %	62,22 %	
Autarkiegrad	99,41 %	45,60 %	

Die signifikanten Unterschiede in den Eigenverbrauchsanteilen und im Autarkiegrad ergeben sich durch die jeweils objektene Akzeptanz und der daraus folgenden Teilnahmequote der Bewohner der beiden Objekte. Während im VHD sämtliche Bewohner den Strom aus dem 3E Konzept bezogen haben, so nahmen in der MTS nur drei Wohnparteien dauerhaft am Modell teil.

Tabelle 10: Energiemengen zur Bestimmung der Betriebskosten ohne Optimierung

Messpunkt	MTS	VHD	Einheit
Elektrische KWK-Erzeugung	54.936	44.856	kWh/a
Elektrische KWK-Einspeisung	50.022	28.049	kWh/a
Elektrische KWK-ZuhauseStrom	4.913	16.807	kWh/a
KWK-Eigenstrom	615	471	kWh/a
PV-Erzeugung	8.088	9.788	kWh/a
PV-Einspeisung	6.250	1.570	kWh/a
PV-ZuhauseStrom	1.838	8.218	kWh/a
Wärme	91.353	79.473	kWh/a
Gasverbrauch	166.978	139.340	kWh/a
3E-Netzbezug	215	3.032	kWh/a
PV-Eigenverbrauchsanteil	22,72 %	83,96 %	
KWK-Eigenverbrauchsanteil	8,94 %	62,53 %	
Autarkiegrad	95,77 %	47,39 %	

Die Vorteile der 3E Optimierung ergeben sich neben den im folgenden beschriebenen Mehrerlösen der Einspeisung auch durch die Strommengenerhöhung durch die gezielte Beladung der Ladesäulen. Hier konnten im betrachteten Jahr in der MTS etwa 200 kWh und im VHD etwa 500 kWh Strom dezentral zusätzlich verbraucht werden. Entsprechend schlechter fallen die Eigenverbrauchsanteile und auch der Autarkiegrad im Betrieb ohne 3E Optimierung aus.

5.2.3 Kosten

Im folgenden Abschnitt soll eine Erläuterung der Kostenparameter der Wirtschaftlichkeitsbetrachtung erfolgen. Ähnlich wie im vorliegenden Abschnitt wird die Ergebnisberechnung beispielhaft erläutert, um die Ergebnisse in Tabelle 11 nachzuvollziehen.

ZuhauseKraftwerk

Die Betriebskosten entstehen vor allem aufgrund des Betriebes des ZuhauseKraftwerkes. Der größte Kostenfaktor ist der Gasverbrauch. Jede aus dem Gasversorgungsnetz bezogene kWh Erdgas geht mit dem Arbeitspreis von 4,24 ct/kWh (LichtBlick SE, 2017) in die Gesamtkosten ein und stammt aus einer fiktiven, aber realistischen Tarifikalkulation für LichtBlick-Geschäftskunden. Die benötigte Gasmenge geht aus

Tabelle 10 hervor und wird mit dem erwähnten Arbeitspreis multipliziert, um die Gesamtkosten des Gasbezuges zu bestimmen. Neben dem Gasverbrauch gehen Wartungskosten des ZuhauseKraftwerks in die Bilanz ein. Jede Betriebsstunde wird mit einem Wartungsaufwand von 0,60 € (LichtBlick SE, 2017) berücksichtigt. Die resultierenden Kosten des BHKW sind in Tabelle 11 dargestellt.

3E-Netzbezug und EEG-Umlage

Die 3E-Erzeugungsanlagen stellen lediglich bilanziell die Versorgung von elektrischer Energie sicher. Zu Zeiten an denen weder PV-, KWK- noch Batteriespeicherstrom zur Verfügung steht, wird zusätzlich Strom aus dem öffentlichen Netz bezogen. Die Höhe des 3E-Strombezuges ist Tabelle 11 zu entnehmen. Um den Netzbezug ökonomisch bewerten zu können, wird jede aus dem Netz bezogene kWh mit einem Arbeitspreis von 34,75 ct/kWh (LichtBlick SE, 2017) berechnet. Der verhältnismäßig hohe Arbeitspreis kommt aufgrund des aus Abbildung 32 hervorgehenden Zählerkonzepten mit zwei registrierte Leistungsmessung (RLM)-Zählern und einem geringen Netzbezug unter 30.000 kWh und die damit einhergehende hohe Konzessionsabgabe zustande. Hier sind auch die Zählerkosten für die Strommessungen enthalten. Für die aus dem öffentlichen Netz bezogene Energie fallen sämtliche Umlagen, Steuern und Entgelte an. Diese sind in dem Arbeitspreis bereits enthalten. Bei der im 3E-Objekt generierten und genutzten elektrischen Energie – auch ZuhauseStrom genannt – entfallen nach § 61 Abs. 2 ff EEG 2017 bis auf die EEG-Umlage, die im vollen Umfang zu leisten ist, sämtliche Umlagen und Entgelte. Die EEG-Umlage geht für das Jahr 2016 mit 6,345 ct/kWh (50Hertz Transmission GmbH, Amption GmbH, Transnet BW GmbH, & Tennet TSO GmbH, 2017) und für 2017 mit 6,88 ct/kWh (50Hertz Transmission GmbH, Amption GmbH, Transnet BW GmbH, & Tennet TSO GmbH, 2017) in die Berechnungen ein. Die Kosten für den Reststrombezug und die Zahlung der EEG-Umlage sind in Tabelle 11 enthalten.

Tabelle 11: anfallende Betriebskosten

MTS	Gas	BHKW-Wartung	Strom-Bezug	EEG-Umlage für ZuhauseStrom
Optimiert	7.170 €	1.737 €	10 €	281 €
wärmegeführt	7.080 €	1.716 €	75 €	269 €
VHD				
Optimiert	5.911 €	1.432 €	897 €	1.994 €
wärmegeführt	5.781 €	1.401 €	1.054 €	1.964 €

Aus Tabelle 1 geht hervor, dass in dem Betrachtungszeitraum 01.06.2016 bis 31.05.2017 in der MTS Kosten in Höhe von 8.862 € anfallen und im VHD 10.994 €. Der geringe Reststrombezug in der MTS ergibt sich durch eine geringe Teilnahme am ZuhauseStrom-Angebot. Hier konnten lediglich drei Mietparteien für das Konzept gewonnen werden.

5.2.4 Erlöspotenzial

Ziel dieses Kapitels ist es die Erlöse, die aus dem 3E-Betrieb erwirtschaftet werden, zu ermitteln. Dabei handelt es sich um Erlöse aus dem Wärmeverkauf, dem Betrieb der PV- und KWK-Anlage, den vermiedenen Netzentgelten, der Stromabnahme der Kunden und den Erlösen aus dem Carsharing. Die Erlöse werden ähnlich wie bei den anfallenden Kosten beispielhaft bestimmt und abschließend für beide Objekte in Tabelle 13 dargestellt.

Wärme

Wie vorab erwähnt, wurde der Wärmeverbrauch in dem Zeitraum des Feldtests mit Hilfe eines Wärmemengenzählers ermittelt und ist Tabelle 10 zu entnehmen. Die Wärme wird vollständig mit einem jährlichen Grundpreis und einem monatlichen schwankenden Arbeitspreis, der an den Gaspreis gekoppelt ist, an die Hausverwaltung der Gebäude verkauft. Die zugrundeliegenden Arbeitspreise für die jeweiligen Monate sind in Tabelle 12 aufgelistet.

Tabelle 12: Wärmearbeitspreise

Monat	Arbeitspreis [ct/kWh]
Juni	5,23
Juli	5,22
August	5,21
September	5,18
Oktober	5,18
November	5,17
Dezember	5,12
Januar	5,11
Februar	5,17
März	5,05
April	5,04
Mai	5,03

Die monatlich genutzte Wärmemenge wird mit dem jeweiligen Arbeitspreis aus Tabelle 12 multipliziert und über den Feldtestzeitraum von einem Jahr aufsummiert und um den jährlichen Wärme-Grundpreis von 213,78 € (LichtBlick SE, 2017) ergänzt. Der daraus resultierende Erlös ist in Tabelle 13 abgebildet.

PV-Vergütung

Die in Deutschland installierten und in Betrieb befindlichen PV-Anlagen können über das Erneuerbaren-Energien-Gesetz (EEG) gesetzlich vergütet werden. Die PV-Anlagen werden aufgrund des Inbetriebnahmedatums nach dem § 51 Abs. 2 und § 31 Abs. 2 EEG 2014 vergütet. Die PV-Anlage MTS erhält demnach 12,55 ct/kWh und die PV-Anlage VHD wird mit 12,80 ct/kWh vergütet. Der jeweilige Vergütungssatz wird mit der eingespeisten PV-Strommenge multipliziert und ist als Erlös in Tabelle 13 vermerkt.

KWK-Vergütung

Ähnlich wie die PV-Anlage wird auch die KWK-Anlage gesetzlich vergütet, allerdings über das Kraft-Wärme-Kopplungs-Gesetz (KWKG). Das aktuelle KWKG ist in zwei Vergütungsarten unterteilt. Der KWK-Eigenstromverbrauch wird nach § 7 Abs. 3b mit 4 ct/kWh vergütet und der Strom, der ins öffentliche Netz eingespeist wird nach § 7 Abs.1 Nr.1 KWKG mit 8 ct/kWh vergütet. Zusätzlich kann der eingespeiste Strom mit Vermarktungsmöglichkeiten, wie dem Spotmarkt, über herkömmliche Preisbildungsmechanismen verkauft werden. Die Spotmarktpreise werden stündlich gebildet und gehen neben der KWKG-Einspeisevergütung in die Erlöse der 3E-Objekte ein. Sowohl die Erlöse aus dem KWK-Eigenstromverbrauch, als auch die des eingespeisten KWK-Stromes, sind in Tabelle 13 dargestellt.

Vermiedene Netzentgelte

Betreiber von steuerbaren Lasten, die am Niederspannungsnetz angebunden sind und einen Netznutzungsvertrag mit einem Betreiber eines Verteilnetzes haben, sind nach § 14a EnWG berechtigt für eingespeiste Energie aus steuerbaren Lasten vermiedene Netzentgelte zu beziehen. Diese sind für die Erlöse mit 0,9 ct/kWh festgelegt und werden mit dem eingespeisten KWK-Strom aus Tabelle 10 berechnet. Der daraus resultierende Erlös ist in Tabelle 13 offengelegt.

Kundenverträge

Die an 3E-Projekt teilnehmenden Mietparteien haben für ihren Stromverbrauch einen Vertrag mit LichtBlick geschlossen, der einen Arbeitspreis von 21,00 ct/kWh (LichtBlick SE, 2017) und einen monatlichen Grundpreis von 7,52 €/Monat (LichtBlick SE, 2017) vorsieht. Für die teilnehmenden Mietparteien ist die Teilnahme an dem 3E-Projekt aus monetärer Sicht lohnenswert, da sie bei anderen Energieversorgern einen höheren Arbeitspreis zahlen würden. Diese Preise werden mit dem verbrauchten Strom jeder einzelnen Mietpartei multipliziert, was einen wesentlichen Teil der Erlöse darstellt und in Tabelle 13 veranschaulicht ist.

Carsharing

Die Nutzung der E-Fahrzeuge und das damit einhergehende Carsharing ist ein Hauptmerkmal des gesamten Projektes. Wie auch bei konventionellen Carsharing-Ansätzen fallen für die Nutzung Gebühren an, die in Standard- und Spontanbuchung unterschieden werden. Der Standardtarif, für Buchungen bis 12 Stunden vor Mietbeginn, schlägt mit 3,36 ct/Minute (LichtBlick SE, 2017) zu Buche und die Spontanbuchung mit 4,20 ct/Minute (LichtBlick SE, 2017). Die Buchungsdaten werden von der Firma ‚Ametras‘ und nicht von einem LichtBlick eigenen System ausgewertet. Die ausgelesenen Daten liegen bereits in monetären Werten vor und müssen nicht separat berechnet werden. Die Erlöse während des Feldtestzeitraumes sind in

Tabelle 13 dargestellt. Daraus geht hervor, dass die Erlöse in der MTS bei 14.560 € liegen und somit ein Jahresüberschuss von 5.545 € generieren. Die Erlöse im VHD belaufen sich auf 19.189 € und erwirtschaften somit einen Überschuss von 8.193 €. Sowohl die Betriebskosten als auch die Erlöse und der Jahresüberschuss sind die Grundlage für die ökonomische Bewertung der beiden Objekte, die im nachfolgenden Kapitel erfolgt.

Tabelle 13: erwirtschaftete Erlöse

Erlösstelle	MTS	VHD	Einheit
Wärme	4.897	4.289	€/a
PV-Vergütung	784	214	€/a
KWK-ZuhauseStrom-Vergütung	203	1.142	€/a
KWK-Netzeinspeise-Vergütung	6.227	2.127	€/a
Vermiedene Netzentgelte	455	156	€/a
Stromverkauf an Kunden	1.266	7.886	€/a
Carsharing	1.334	2.590	€/a

Analog zur Akzeptanz von ZuhauseStrom ist auch die Nutzung der E-Fahrzeuge in der MTS nicht vergleichbar intensiv wie im VHD genutzt worden. Das erklärt die vergleichsweise geringen Erlöse im Carsharing in der MTS.

5.2.5 Bewertung der Wirtschaftlichkeit

Das Ziel dieses Kapitels besteht darin, die Feldtestobjekte über einen Zeitraum von 20 Jahren ökonomisch zu bewerten. Basierend auf den bereits ermittelten Kosten und Erlösen erfolgt die Bewertung mit Hilfe der Kapitalwertmethode. Dabei ist zu beachten, dass die Energiewerte über den Betrachtungszeitraum konstant bleiben. Der definierte Zeitraum ist aufgrund der gesetzlichen Vergütungsansprüche gewählt. Nach dem KWKG haben die BHKWs einen Vergütungsanspruch auf bis zu 60.000 Betriebsstunden. Beide Anlagen laufen jährlich nicht mehr als 3.000 Stunden, was einem Zeitraum von 20 Jahren entspricht. Zudem erhalten die PV-Anlagen nach dem EEG eine Vergütung über 20 Jahre.

Um den wirtschaftlichen Erfolg des 3E-Konzepts bewerten zu können wird ein Vergleich der oben beschriebenen Szenarien vorgenommen. Im ersten Schritt erfolgt die Bewertung mit einer neben der Eigenverbrauchsoptimierung zusätzlichen Optimierung nach aktuellen Markt- und Vergütungsbedingungen (optimiert) und wird mit einer ausschließlich zur Eigenverbrauchsoptimierung geregeltem Fahrweise des BHKWs verglichen (nicht optimiert). Im nächsten Schritt werden zwei Szenarien entwickelt, die unter Variation von Rahmenbedingungen im Markt- und Vergütungsbereich den Einfluss zukünftiger Entwicklungen auf die Wirtschaftlichkeit der Feldtestobjekte abbilden. Sämtlichen ökonomischen Berechnungen liegt ein

Abschreibungszeitraum und eine Laufzeit von 20 Jahren zu Grunde. Im Folgenden sind die Energiemengen des Basisszenarios dargestellt, welche zur Berechnung der Kosten und Erträge benötigt werden.

Tabelle 14: Energiemengen des Basisszenarios zur Berechnung der Wirtschaftlichkeit

Messpunkt	MTS	VHD	Einheit
Elektrische KWK-Erzeugung	55.633	45.869	kWh/a
Elektrische KWK-Einspeisung	50.563	17.330	kWh/a
Elektrische KWK-ZuhauseStrom	5.069	28.538	kWh/a
Wärme	91.353	79.473	kWh/a
Gasverbrauch	169.096	139.419	kWh/a
KWK-Eigenverbrauchsanteil	9,11 %	62,22 %	
Autarkiegrad	99,41 %	45,60 %	

Diese Energiewerte für die beiden Feldtestobjekte wurden in der Voranalyse ermittelt und bilden die Grundlage für die weitere wirtschaftliche Auswertung. Sie stellen das Referenzjahr dar, das über mehrere Jahre wiederholt wird, damit auch eine mehrjährige Kostenamortisation der Investition berechnet werden kann. Somit können die in der Abbildung 30 schematisierten Kosten- und Erlösströme für LichtBlick als Investor berechnet werden.

Es wird für jedes Objekt ein spezifischer jährlicher Betriebsüberschuss ermittelt, der genutzt wird, um die jeweiligen Investitionskosten zu amortisieren. Dieser jährliche Betriebsüberschuss ergibt bei den folgenden Objekten im wärmegeführten und im optimierten Betrieb folgende jährliche Überschüsse:

Tabelle 15: Betriebsüberschüsse

MTS	jährlicher Betriebsüberschuss
Optimiert (€)	5.683
nicht optimiert	5.405
VHD	jährlicher Betriebsüberschuss
Optimiert (€)	7.778
nicht optimiert (€)	7.689

Der Mehrwert der 3E-Optimierung wird durch die Differenzbildung zwischen wärmegeführtem und optimiertem Betrieb ermittelt. Er beträgt in der MTS etwa 280 Euro und im VHD etwa 90 Euro jährlich.

Bei der Erfassung der Investitionskosten werden Kosten nicht berücksichtigt, die dem Hintergrund geschuldet sind, dass es sich um ein Forschungsprojekt handelt. So sind einerseits der besondere Projektierungsaufwand und andererseits auch die Kosten des umfangreichen redundanten Messsystems nicht enthalten. Schließlich sind die Leasingkosten für die E-Fahrzeuge nicht in den betrachteten Kosten erfasst. Vielmehr ist hier die Annahme getroffen, dass eine Deckung dieser Kosten über die Nebenkostenabrechnung der Bewohner erfolgen muss. Die Investitionskosten der beiden Objekte betragen:

Tabelle 16: Investitions- und Betriebskosten der Feldtestobjekte

Investitionskosten	
Investment 3E MTS (€)	151.859 €
Investment 3E VHD (€)	132.574 €

Wird nun der jährliche Betriebsüberschuss mit einem Diskontierungszins von 5 % belegt, um auftretende Erträge in der Zukunft und dementsprechend auch inflationäre Entwicklungen zu berücksichtigen und der Kapitalwert mit den jeweiligen Investitionskosten gebildet, führt dies zu folgenden Ergebnissen:

Tabelle 17: Wirtschaftlichkeit des Basisszenarios

MTS	Kapitalwert (€)
optimiert	- 77.485 €
nicht Optimiert	- 81.120 €
VHD	Kapitalwert [€]
Optimiert	30.788 €
nicht Optimiert	31.956 €

Bei einem Kalkulationszins von 5 % ergäbe sich somit für alle Szenarien in beiden Objekten auch mit Optimierung ein negativer Kapitalwert. Die Investitionskosten können somit im betrachteten Zeitraum von 20 Jahren nicht erwirtschaftet werden. Bei Annahme nicht vorhandener lukrativer Investitionsalternativen oder einer ideellen Überzeugung eines Investors ohne Gewinnabsicht ergeben sich mit einem entsprechend angepassten Diskontierungszins von 0 % für die beiden Objekte folgende Kapitalwerte:

Tabelle 18: Kapitalwerte

MTS	Kapitalwert [€]
Optimiert	-32.500 €
Wärmegeführt	-38.334 €
VHD	Kapitalwert [€]
Optimiert	30.777 €
wärmegeführt	28.902 €

Auch mit einem reduzierten Zins, der die zukünftig erwirtschafteten Überschüsse entsprechend stärker gewichtet, können für das Objekt MTS die Investitionskosten nicht erwirtschaftet werden. Im VHD ergibt sich ein positiver geringer Kapitalwert. Dessen Höhe entspricht allerdings ohne Berücksichtigung von Inflation lediglich einer jährlichen Verzinsung von etwa 1 % auf das eingesetzte Kapital für die Investition.

Die begrenzten ökonomischen Potenziale erklären sich einerseits durch hohe Investitionskosten aufgrund der Größe und Leistung und nicht vorhandenen Skalierungseffekten des BHKW und andererseits aufgrund recht niedriger Preise und geringer Preisschwankungen an der Strombörse, welche das Erlöspotential der BHKW-Optimierung deutlich schmälern. Schließlich konzentriert sich der Optimierungsalgorithmus insbesondere auf dezentrale Strombedarfe und deren gezielte Deckung. Besonders bei den E-Fahrzeugen, aber auch im Wohnbereich spielen die Kosten für elektrische Energie in der Regel eine untergeordnete Rolle, weil die weiteren Kosten für die Immobilie bzw. das Fahrzeug um ein Vielfaches höher sind.

So wird im VHD deutlich, dass die verbesserten Erträge aus der KWK-Einspeisung durch höheren Reststrombezug überkompensiert werden und somit eine etwas schlechtere Wirtschaftlichkeit durch die Optimierung erreicht wird.

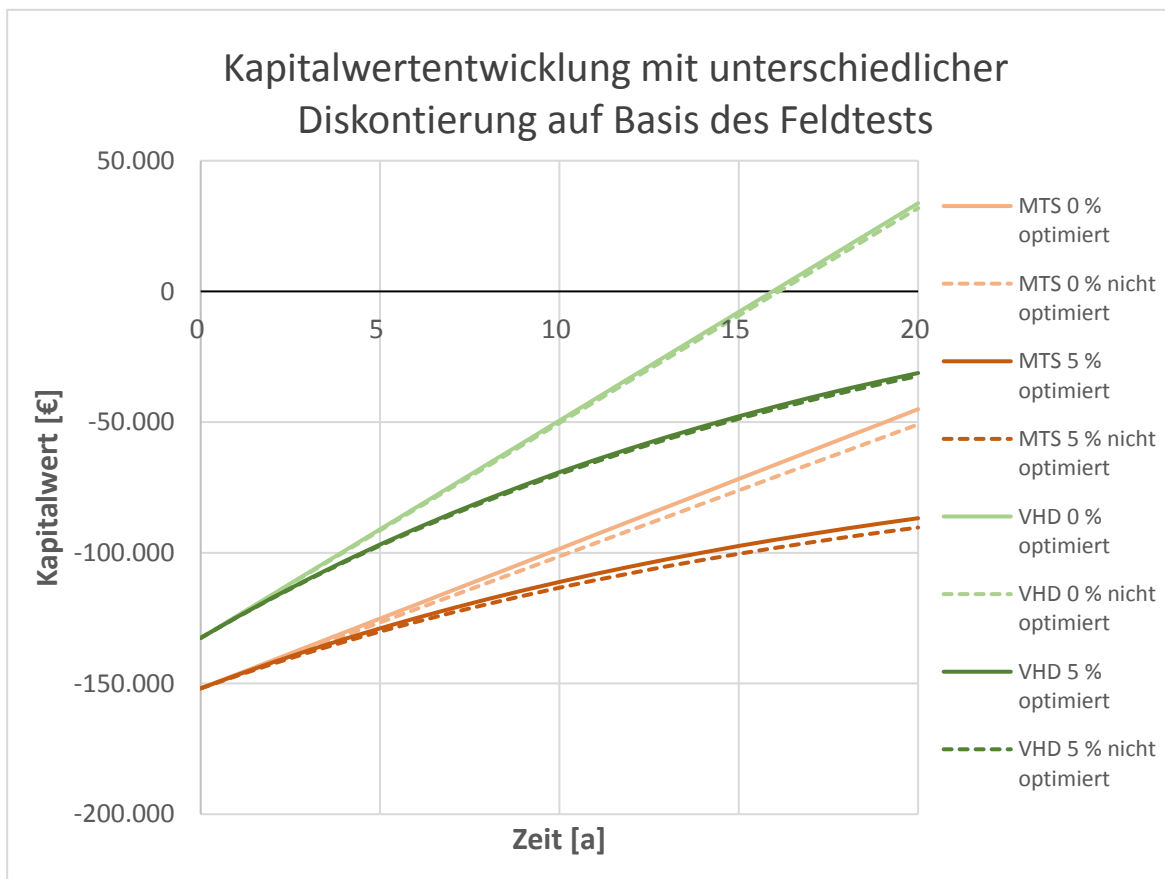


Abbildung 33: Kapitalwert der Feldteste

Dies zeigt, dass bei der 3E-Regelung zusammen mit der Optimierung die Priorisierung der Optimierungsziele verschoben wird. Dadurch wird das BHKW weniger eigenverbrauchsoptimiert gefahren und der Reststrombedarf steigt.

Die hier erfolgten ökonomischen Analysen zeigen, dass eine Investition in ein derartiges Energiesystem, abseits von einem Forschungsprojekt, mit den aktuell vorliegenden Rahmenbedingungen während des Feldtestes aus ökonomischer Sicht nicht sinnvoll ist. Prinzipiell sind daher Überlegungen in folgender Art anzustellen:

- **Übertragung auf andere Gebäudesegmente mit größerem Potenzial:** Die hohen Investitionskosten für die Ermächtigung des 3E-Betriebs erschweren ein wirtschaftliches Ergebnis. Daher ist zu prüfen, ob beispielsweise in größeren Gebäuden Skaleneffekte und bessere Auslastung zu besseren Ergebnissen führen. Die Anwendung auf ein größeres MFH wurde im Arbeitspaket 6.1 betrachtet.
- **Anpassung der technischen Installation:** Insbesondere die Kombination von BHKW und PV-Anlage, also der Konkurrenz von Stromerzeugern, führt zu einer Verschärfung der Rahmenbedingungen für einen wirtschaftlich lohnenden Betrieb. Vielmehr sollte geprüft werden, ob eine Wärmepumpe als Alternative zur Wärmebereitstellung vorteilhaftere Ergebnisse zulässt. Dieser Gedanke ist bei der Übertragbarkeit zum Einfamilienhaus im Arbeitspaket 6.2 noch einmal aufgegriffen worden.
- **Variation der Rahmenbedingungen:** (Kostenentwicklung der Technik, Strom- und Gaspreisentwicklung, Zins, ...): Neben dem hier mit Blick auf das aktuelle Preisniveau hoch angesetzte Kalkulationszins, sind insbesondere die Entwicklung der Anlagenkosten und der Energie(neben)kosten einer genaueren Betrachtung zu unterziehen. Auch stehen die relativ hohen Investitionsaufwände in einem sehr ungünstigen Verhältnis zu den entsprechend gering ausfallenden Optimierungserlösen. Für einen wirtschaftlichen Betrieb ist daher von Bedeutung, die Investitionskosten zu einem großen Anteil nicht dem Projekt zuzuordnen. Dies ist einerseits durch die Annahme, dass Kosten ohnehin – auch ohne eine 3E-Optimierung anfallen – oder andererseits durch preisliche Entwicklungen günstiger werden und somit in der Wirtschaftlichkeit ausgeblendet bzw. signifikant reduziert werden können. Dies soll im Folgenden geschehen.

Aufgrund der negativen Kapitelwerte erscheint die Abbildung eines besseren und eines schlechteren Szenarios als nicht sinnvoll, weshalb ein Szenario mit niedrigeren Investitionskosten (Szenario I) und ein Szenario mit besseren gesetzlichen Rahmenbedingungen (Szenario II) gewählt wird.

Szenario I

Die Investitionskosten beinhalten u.a. die stationären Batteriespeicher mit 23 % des Investitionsvolumens in der MTS und 27 % im VHD. Der flächendeckende Markteintritt stationärer Batteriespeicher war zu Feldtestbeginn noch sehr jung und hat durch Skaleneffekte und Innovationen zu einer signifikanten Kostenreduktion in diesem Segment in den letzten 4 Jahren geführt. Um die Investitionskosten dem heutigen Stand anzupassen, wird in diesem Szenario eine weitere Reduktion der Speicherpreise um 50% angenommen. Auch die PV-Anlage trägt zu einem großen Teil, in der MTS zu 17 % und im VHD sogar zu 25 % zu der Gesamtinvestition bei. Um auch den Kostenreduktionen in diesem Bereich in den letzten Jahren Rechnung zu tragen, wird hier von einer Reduktion von 30 % ausgegangen.

Als weiterer Anteil an der Investition werden die Aufwände des Zähl- und Messwesens um 10 % reduziert. Diese Position hat zudem großes Potential auf weitere Kostenreduktionen, da bei einem flächendeckenden Smartmeter-Roll-Out zusätzliche Mess- und Zähleinrichtungen nur im Einzelfall nötig sind.

Insgesamt wird nach heutigen Maßstäben eine Reduktion der Investitionskosten um gut 20 % erreicht. Die dann anfallenden Investitions- und Betriebskosten sind in Tabelle 19 dargestellt.

Tabelle 19: Investitions- und Betriebskosten für Szenario I

Abschreibungsdauer [a]	20		
Diskontierungszins	5,00%		
	Investitions-kosten	jährl. Überschuss (optimiert)	jährl. Überschuss (nicht optimiert)
MTS	121.465 €	5.684 €	5.406 €
VHD	104.593 €	7.779 €	7.689 €

MTS	Kapitalwert [€]
optimiert	- 47.091 €
nicht Optimiert	- 50.726 €
VHD	Kapitalwert [€]
optimiert	- 2.807 €
nicht Optimiert	- 3.975 €

Die aus den verringerten Investitionskosten einhergehenden Kapitalwerte sind in Abbildung 34 abgebildet und zeigen, dass eine Anpassung der Investitionskosten auf das heutige Niveau durchaus zu wirtschaftlich attraktiven Projekten führen kann. Besonders bei den im Zusammenhang mit dem Zählkonzept stehenden Investitionen kann zusätzlich durch die Bildung von Einkaufsgemeinschaften nach dem Modell des VHD eine drastische Reduktion erreicht werden.

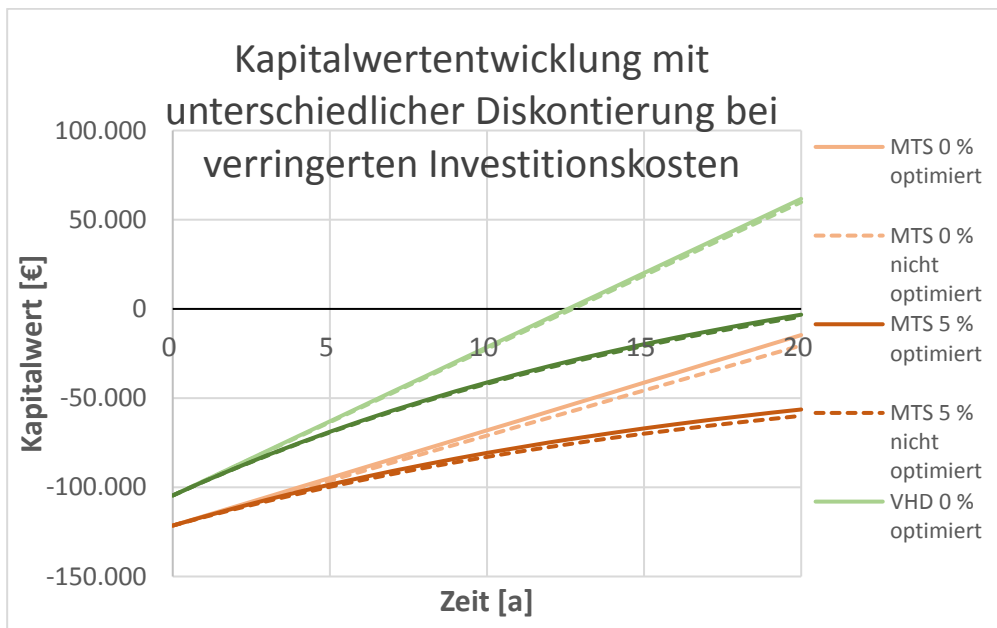


Abbildung 34: Kapitalwerte Szenario I

Szenario II

Dem zweiten Szenario unterliegt eine Veränderung von gesetzlichen Rahmenbedingungen und weist folgende Veränderungen zur aktuellen gesetzlichen Situation auf:

- Die auf den in Objekt genutzten Eigenstrom zu zahlende EEG-Umlage entfällt.
- Die KWK-Vergütungssätze liegen einheitlich bei 8 ct/kWh und unterscheiden sich somit nicht zwischen Eigenstromnutzung und Netzeinspeisung.
- Wegfall der vermiedenen Netzentgelte aufgrund aktueller politischer Diskussion.

Würden die gesetzlichen Bedingungen denen aus Szenario II entsprechen, verbessern sich die wirtschaftlichen Parameter maßgeblich für den VHD und führt dazu, dass die Kapitalwerte dort in beiden Betriebsweisen nach 20 Jahren positiv sind. Die Kapitalwerte der MTS reduziert sich hingegen und sind deshalb weiterhin negativ, was Tabelle 20 verdeutlicht.

Somit ist im Szenario II eine Investition dann ökonomisch sinnvoll, solange die Investitionskosten nicht die des Feldtestobjekts überschreiten und möglichst viele Mietparteien mit dem im Objekt erzeugtem Strom versorgt werden können. Somit muss wenig Strom aus dem Netz bezogen und ins Netz eingespeist werden.

Tabelle 20: Investitions- und Betriebskosten für Szenario II

Abschreibungsdauer [a]	20		
Diskontierungszins	5,00%		
	Investitions-kosten	jährl. Überschuss (optimiert)	jährl. Überschuss (nicht optimiert)
MTS	151.859 €	5.684 €	5.406 €
VHD	132.574 €	7.779 €	7.689 €

MTS	Kapitalwert [€]
optimiert	- 77.485 €
nicht Optimiert	- 81.120 €
VHD	Kapitalwert [€]
optimiert	- 30.788 €
nicht Optimiert	- 31.956 €

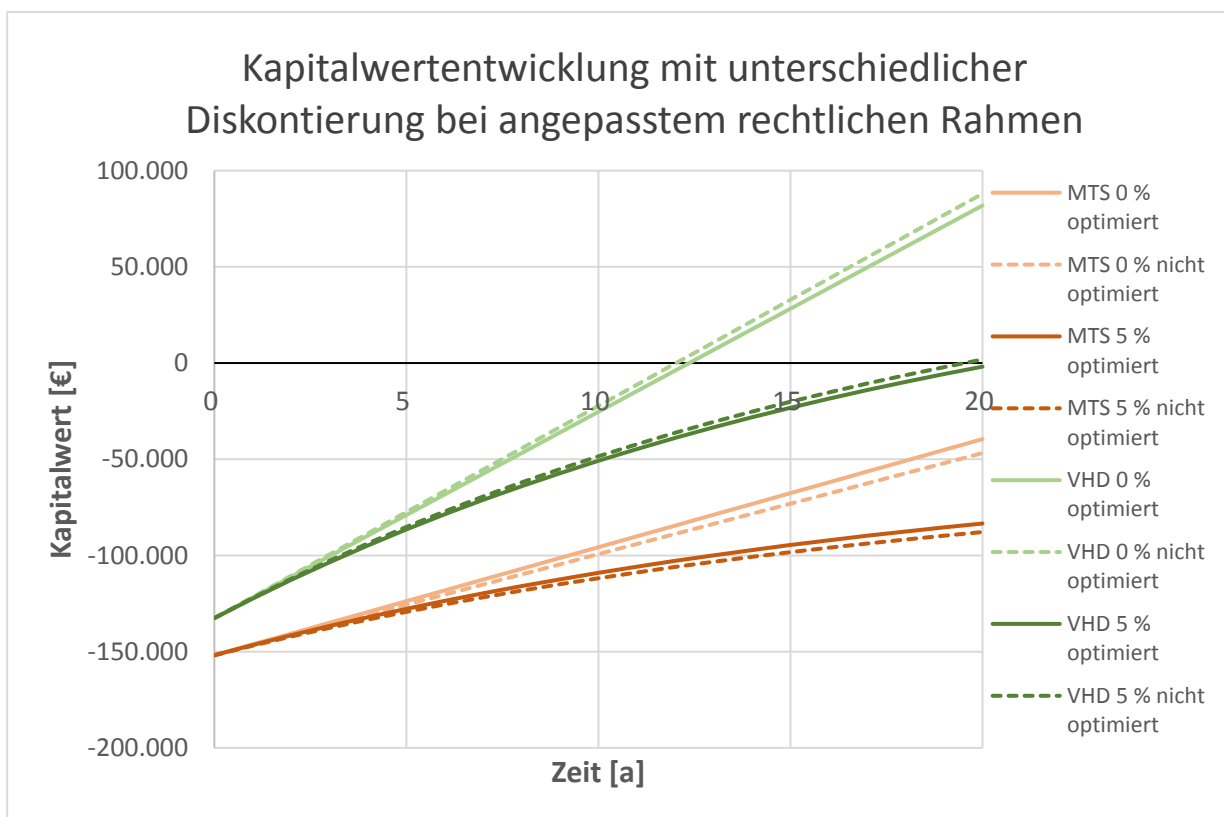


Abbildung 35: Kapitalwerte Szenario II

Sämtliche ökonomischen Betrachtungen beinhalten lediglich die anfallenden Kosten und die zu erzielenden Erlöse. In den Analysen wurden optimierte und nicht optimierte Betriebsweisen der Objekte miteinander

verglichen, jedoch wurden sowohl für die 3E-Regelung als auch für die Optimierung keine Dienstleistungskosten veranschlagt.

Würde LichtBlick den Anlagenbetrieb an Dritte abgeben, entstehen sowohl für die 3E-Regelung als auch für die Optimierung Dienstleistungsentgelte, die in Geschäftsmodellen zu berücksichtigen sind. Die Optimierung würde mit 0,05 ct/kWh erzeugt (LichtBlick SE, 2017) zu Buche schlagen und für die 3E-Regelung, die unter anderem die Beladung der E-Fahrzeuge und des Batteriespeichers steuert, würde LichtBlick 1,45 ct/kWh für den an den Ladesäulen bezogenen Strom (LichtBlick SE, 2017) berechnen. Mit den zusätzlichen Entgelten, die bei einem Geschäftsmodell berücksichtigt werden müssen, verschlechtern sich die Kapitalwerte der Objekte in allen bisher berechneten Szenarien.

Es bleibt festzuhalten, dass unter heutigen Bedingungen mit den geltenden Rahmenbedingungen ein ökonomischer Betrieb der 3E-Konfiguration für sich gesehen nicht erreichbar ist. Eine Umrüstung eines Objektes mit LichtBlick als Investor und Betreiber (vgl. Abbildung 30), so wie sie im Feldtest erfolgt ist unter rein wirtschaftlichen Gesichtspunkten nicht darstellbar.

Unter vorteilhaften Voraussetzungen, mit einer hohen Durchdringung der ZuhauseStrom-Kunden im jeweiligen Objekt, ist es allerdings möglich, auch wirtschaftliche Mehrwerte zu generieren. Auch durch eine höhere Fahrzeugauslastung kann die Wirtschaftlichkeit derartiger Objekte erhöht werden. Schließlich kann die Wirtschaftlichkeit der Objekte durch geänderte rechtliche Rahmenbedingungen oder insbesondere durch reduzierte Investitionskosten weiter deutlich gesteigert werden und somit einen wirtschaftlichen Betrieb ermöglichen. So sind in den hier vorgenommenen Betrachtungen der Umrüstung der Objekte Opportunitätskosten nicht berücksichtigt. Vielmehr ist eine Analyse auf die Investitionskosten der Feldtestobjekte erfolgt. In der Übertragung auf den Markt müssten diese Kosten für eine alternative Wärmeversorgung ebenfalls mindernd auf die Investitionsentscheidung wirken, da die Bewertung der 3E-Mehrerlöse nur auf die Differenz der 3E-Investitionskosten abzüglich der Kosten für eine alternative Wärmeversorgung eher interessantere Ergebnisse liefern kann.

5.3 Aufbereitung und Auswertung der Feldtestdaten für die Umweltbewertung

5.3.1 Mobilitätsdaten

Um die Nutzung der Fahrzeuge im Feldtest zu erfassen, wurde neben der für das Carsharing-Konzept abrechnungsbedingten Buchungsdatenerfassung auch ein Telematik-System eingesetzt. Dies sollte die Berücksichtigung verbrauchsbeeinflussender Parameter, wie den Außentemperaturen, den Verkehrssituationen (Geschwindigkeitsverläufe) oder Standzeiten innerhalb der Nutzungsphasen erlauben. Ziel war es, über die Gewinnung verkehrstatistischer Eckdaten (z.B. Gesamtfahrleistung) hinaus, auch Witterungs- und nutzungsspezifische Verbräuche abzuleiten, zu bewerten und als Parameter in die Ökobilanz der Fahrzeuge einfließen zu lassen. Dazu sollten Erkenntnisse über die Randbedingungen der E-Fahrzeuge während des Feldversuchs ermittelt werden.

5.3.1.1 Die E-Fahrzeug-Nutzung im Feldtest

Bei einer Gesamtfahrleistung von knapp 40.700 km erstreckte sich das Nutzungsgebiet der Fahrzeuge über das gesamte Stadtgebiet Hamburgs und darüber hinaus bis auf maximal 100 km Luftlinie um Hamburg herum (siehe Abbildung 36).

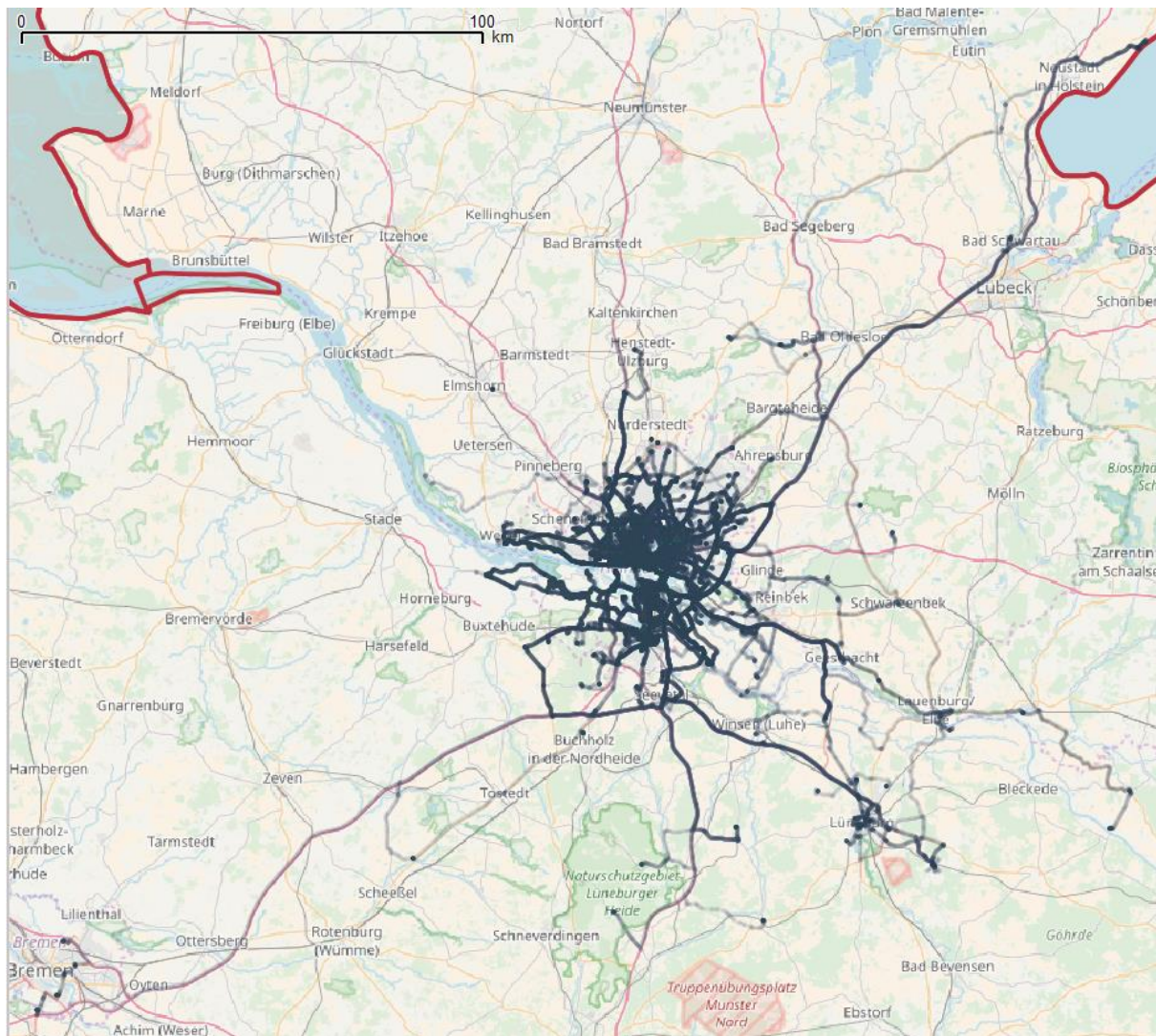


Abbildung 36: Geographischer Korridor der Elektro-Carsharing-Flottennutzung während der Projektlaufzeit. Die Fahrzeuge wurden hauptsächlich in Hamburg eingesetzt und wurden für Fahrten von bis zu 100km Luftlinie ins Umland eingesetzt. Basiskarte von Openstreetmap.org (CC-BY-SA 2.0).

Die längste erfasste Fahr beträgt knapp 123 km. Unter Vernachlässigung der Fahrten mit einer Länge geringer oder gleich 100 m liegt die mittlere einfache Streckenlänge bei rund 9,2 km. Die monatliche Gesamtfahrleistung variierte im Laufe des Feldtests zwischen 769 km im November 2016 und 2.364 km im Mai 2016. Im Mittel fuhren die Fahrzeuge gut 1.500 km monatlich.

Die fünf Fahrzeuge, vier BMW i3 und ein Smart ED, weisen eine unterschiedliche Auslastung über den Projektzeitraum auf. Die Laufleistungen liegen zwischen 1.971 km bei 551 Fahrten und 14.201 km bei 2.241 Fahrten (siehe Abbildung 37). Die mittleren gefahrenen Geschwindigkeiten betragen inklusive der Standzeiten während der Fahrt zwischen 19 km/h und 26 km/h, wobei Höchstgeschwindigkeiten zwischen 125 und 151 km/h gefahren wurden.

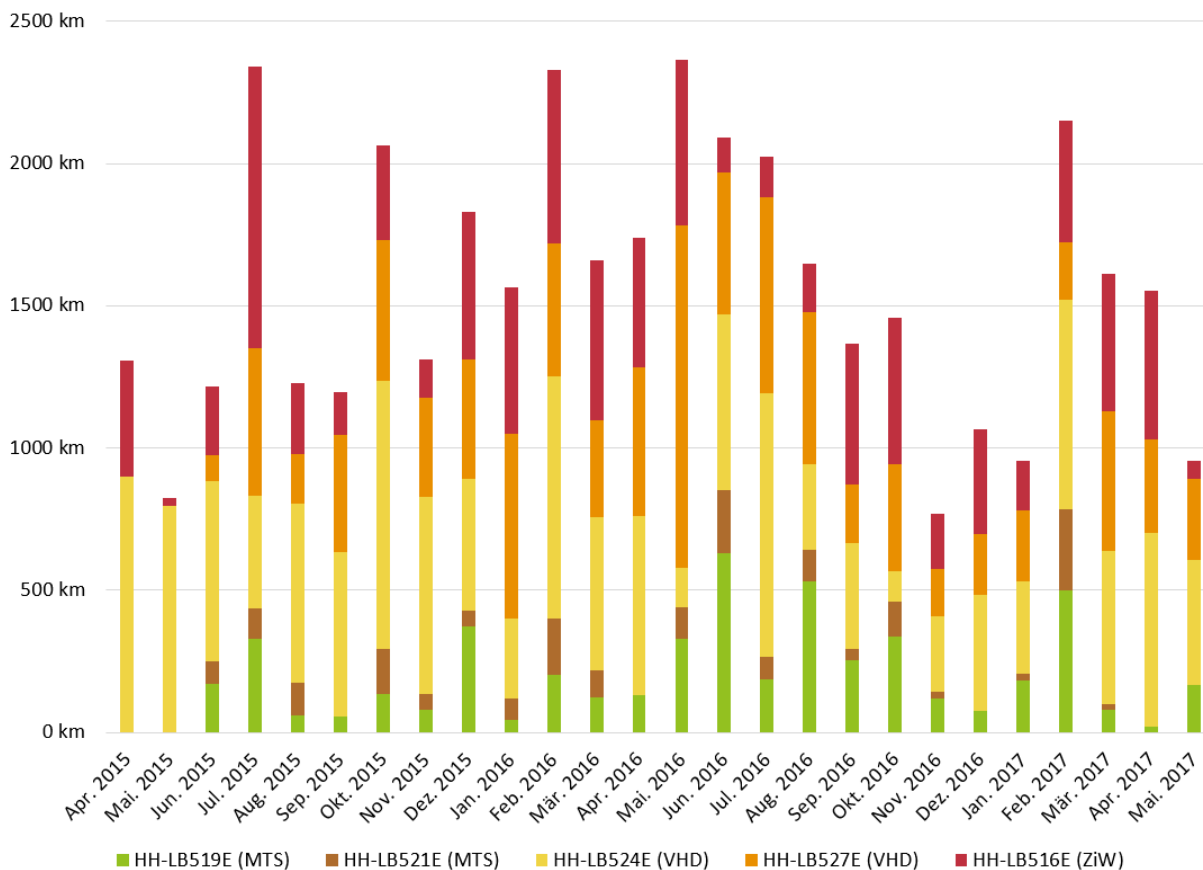


Abbildung 37: Monatliche Gesamtfahrleistungen der E-Fahrzeug-Flotte im Feldversuch über den Projektzeitraum hinweg mit den vorrangigen Hauptstandorten MTS und VHD.

Von April 2015 bis einschließlich Mai 2017 wurden zwischen 104 und 556 Stunden gefahren. Hiervon waren durchschnittlich 23 % Standzeiten.

Tabelle 21: Metadaten der anhand der Telematik aufgezeichneten E-Fahrzeug-Nutzung während der Projektlaufzeit. Die Aufzeichnung setzte aufgrund technischer Gegebenheiten während der Nutzungsphase zeitweise aus.

	Gesamtstrecke	Anzahl	Mittl. Geschw.	Max Geschw.	Fahrzeit	davon stehend
HH-LB 516E	9.463 km	1.764	25 km/h	148 km/h	380 Std.	86 Std.
HH-LB 519E	5.108 km	928	21 km/h	147 km/h	244 Std.	49 Std.
HH-LB 521E	1.971 km	551	19 km/h	125 km/h	104 Std.	28 Std.
HH-LB 524E	14.201 km	2.241	26 km/h	151 km/h	556 Std.	118 Std.
HH-LB 527E	9.936 km	1.645	24 km/h	148 km/h	407 Std.	89 Std.

Bei einem Vergleich der Wegelängenverteilungen der E-Fahrzeuge mit typischen Wegelängen innerdeutscher Großstädte oder dem Land Hamburg selbst, fällt auf, dass die Nutzung hinsichtlich gefahrener Einzelstrecken den statistischen Daten gemäß (MiD, 2010) sehr ähnlich sind. Wobei ein gering höherer prozentualer Anteil bei den Strecken unter 20 km bei kaum vorhandenen Fahrten über 70 km im Vergleich zur Hamburger Stichprobe vorliegt. Im Vergleich zu deutschen Großstädten fallen die Fahrten unter 10 km sowie längere Wege über 100 km sowohl in Hamburg als auch im Feldversuch anteilig geringer zugunsten eines höheren Anteils bei Fahrten zwischen 10 und 20 km aus.

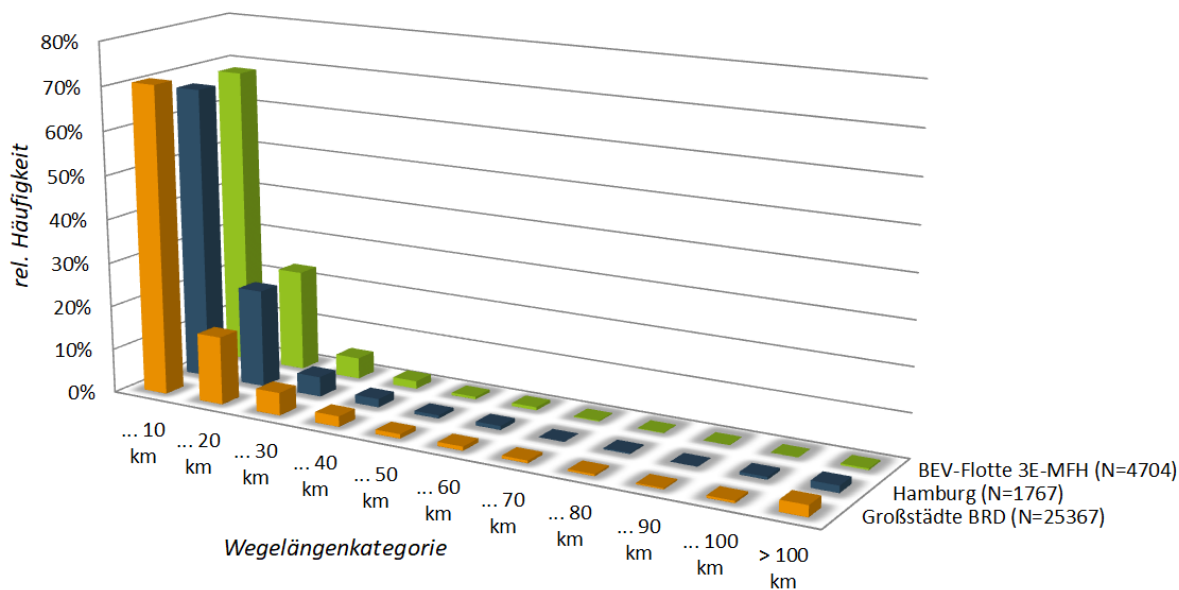


Abbildung 38: Verteilung der Wegelängenhäufigkeit auf Basis der Fahrtenbücher im Vergleich zum Durchschnitt deutscher Großstädte und Hamburg gemäß (MiD, 2010).² Fahrten des Feldtests von unter 100 m zurückgelegter Strecke wurden nicht in Betracht gezogen.

Die erfassten Profile sind damit für ein städtisches Fahrtmuster repräsentativ und können das Hamburger Fahrverhalten im Hinblick auf die Wegelängen widerspiegeln.

5.3.1.2 Energieverbrauch der E-Fahrzeug-Flotte

Die Gesamtenergieverbräuche der Ladevorgänge fielen über die Projektlaufzeit hinweg sehr unterschiedlich aus. So wurden gemäß den Leistungsmessdaten im VHD und MTS rund 5.240 kWh elektrische Energie inklusive der Ladeverluste an die Fahrzeuge übertragen. Für die Auswertung wurde eine Bereinigung der Daten vorgenommen, in der gelegentlich auftretende negative Werte ignoriert und ebenfalls vereinzelt vorzufindende unplausibel hohe Leistungswerte durch den Gesamtmittelwert ersetzt wurden.

Eine differenzierte Auswertung der Verbrauchsdaten war trotz zahlreicher weiterer Bemühungen der Datenbereinigung und Zuordnungen nicht möglich. Dies lag vor allem daran, dass mit den vorliegenden Daten keine eindeutige Zuordnung der Ladevorgänge auf einzelne Fahrzeuge und den zugehörigen Wegeketten

² Es sei darauf hingewiesen, dass im Feldtest viel mehr Fahrten pro Fahrzeugnutzer in den Vergleich eingehen, als es im Datensatz für Hamburg oder der dt. Großstädte der Fall ist.

möglich war. Hierzu fehlten Relationen, die eine Zuordnung der Ladsäulennutzung zu einzelnen Fahrzeugen ermöglicht hätten. Zusätzlich hatte der vorliegende Datensatz Aufzeichnungslücken insbesondere für die Liegenschaft im VHD. Hier wurden unter anderem im Zeitraum zwischen 22.02.2017 und 27.02.2017 für knapp 5 Tage keine Daten erfasst. Auch in der MTS ergaben sich Aufzeichnungslücken, die bis über 4 Tage andauerten. Für die ökobilanzielle Bewertung der E-Fahrzeuge konnte daher nur ein mittlerer spezifischer Verbrauchswert für beide Feldtestobjekte ermittelt werden. Basis sind die Fahrleistungsdaten des Jahres 2016 und die zugehörigen Ladeenergiemengen unter Berücksichtigung von Ladungen an Stationen Dritter³. Der spezifische Verbrauchswert der E-Fahrzeuge betrug 19,3 kWh/100 km inklusiver der Ladeverluste und wird entsprechend in der Ökobilanz berücksichtigt. Die zugrunde gelegte Gesamtfahrleistung beträgt 17.612 km, während sich die zugehörige Ladeenergiemenge auf 3.400 kWh beläuft.

5.3.1.3 Auswirkung der Preisreduktion auf das Nutzungsverhalten

Im Februar 2017 wurde ein Sondertarif eingeführt, der den Minutentarif von 4 Ct (bzw. 5 Ct bei Spontanmiete) auf 0 Ct herabsenkte. Betrachtet man nur die überwiegend durch Feldtestnutzer benutzten Fahrzeuge, erkennt man einen relativ starken Anstieg der Fahrzeugnutzung relativ zum Vormonat an dem die kilometerbezogene Gesamtnutzung um 57 % geringer war.

Abbildung 39 zeigt auch gegenüber dem entsprechenden Vorjahresmonat eine um 4 % höhere Fahrleistung. Auch der Fahrleistungsanstieg von Januar auf Februar fiel im Jahr 2017 deutlich ausgeprägter aus als 2016. Trotz geringer Differenzen unterstützt dieser Befund die These, dass die Preisanpassung eine stärkere Fahrzeugnutzung bewirkt haben könnte.

³ Während längerer Projektphasen befand sich stets eines der Fahrzeuge in Dauerleihe durch die Lichtblick SE, wobei dieses auch wechselte. Daher war eine Abgrenzung dieses Fahrzeuges bei der Nutzungsauswertung der Feldversuchsfahrzeuge notwendig, um möglichst geringe Effekte durch nicht erfasste Lademengen in den Auswertungen zu erzeugen.

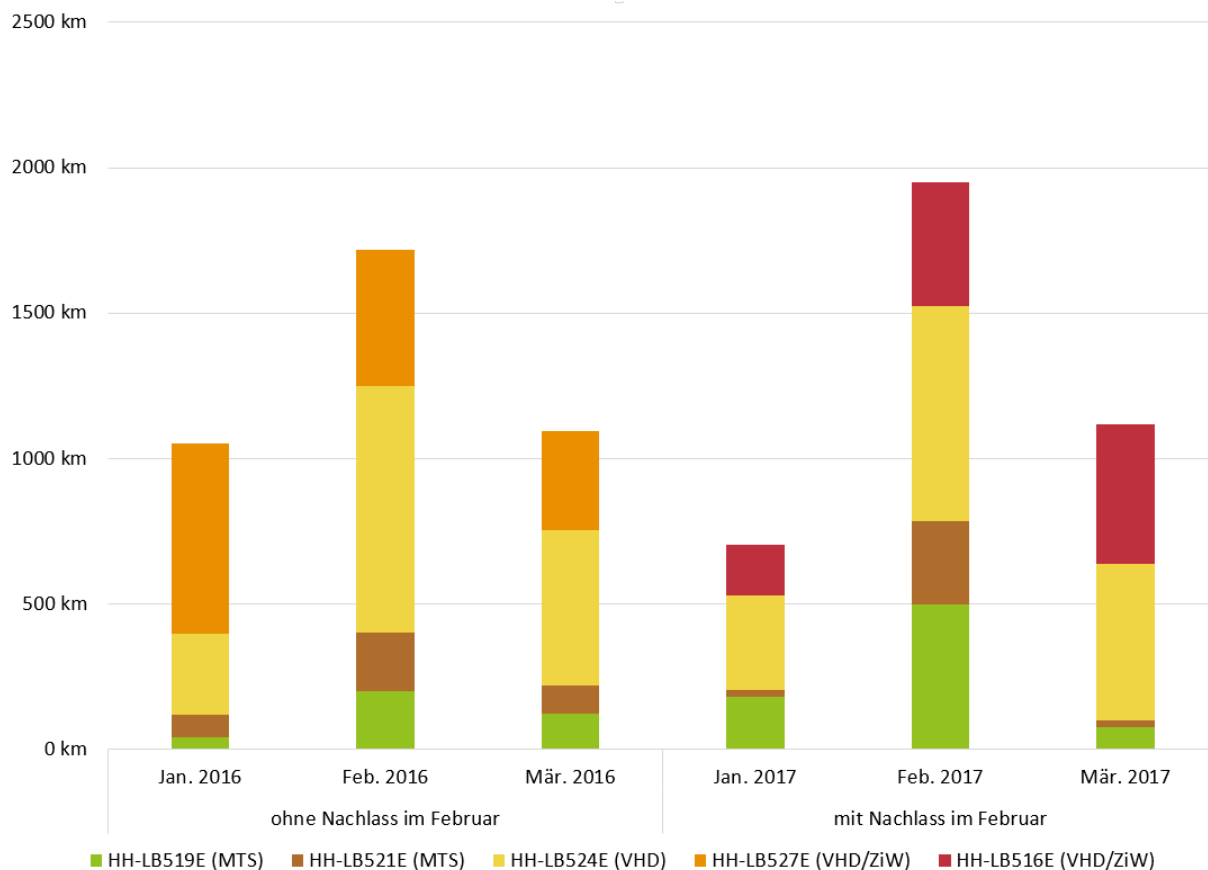


Abbildung 39: Sonderbetrachtung des Einflusses des Preisnachlasses im Februar 2017 auf die Nutzung der Fahrzeuge im Vergleich zu den Vorjahresmonaten.

5.3.2 Wärme- und Stromdaten

Die zeitlich hochaufgelöst erhobenen Strom- und Wärmeverbräuche in den Feldtestobjekten wurden für die Ökobilanz ausgewertet und aufbereitet. Einige der vorgenommenen Analysen werden hier vorgestellt. Da die 3E-Optimierung ab dem 30.8.2016 in den Feldtestobjekten in Betrieb war, wird sich in den folgenden Auswertungen vor allem auf diesen Zeitraum konzentriert.

5.3.2.1 Zusammenspiel der BHKW und PV-Erzeugung

Im Hinblick auf das Ziel, einen hohen Eigendeckungsanteil zu erreichen, ergänzen sich BHKW und PV-Anlage im VHD in ihrer monatlichen Stromerzeugungscharakteristik gut. Wie Abbildung 40 zeigt, liegt die Stromerzeugung des BHKW in den Monaten Juni bis September unter der monatlichen Stromnachfrage, da in den Sommermonaten lediglich die Warmwasserwärmelast durch das BHKW gedeckt wird und die Stromproduktion so durch die geringe Wärmenachfrage begrenzt wird. Die Ergänzung durch die im Sommer erhöhte Stromerzeugung der PV-Anlage ergibt eine Gesamteigenstromerzeugung in Höhe der monatlichen Stromnachfrage. In den Wintermonaten November bis Januar beträgt die PV-Stromerzeugung nur

3-5 % der monatlichen Stromnachfrage, der Rückgang wird durch die erhöhte Stromproduktion des BHKW überkompensiert.

Da in der MTS lediglich drei LichtBlick-Stromkunden für das 3E-System gewonnen werden konnten, liegt die monatliche Stromnachfrage deutlich unter der monatlichen Erzeugung. Hierdurch werden hohe Überschüsse ins Stromnetz gespeist.

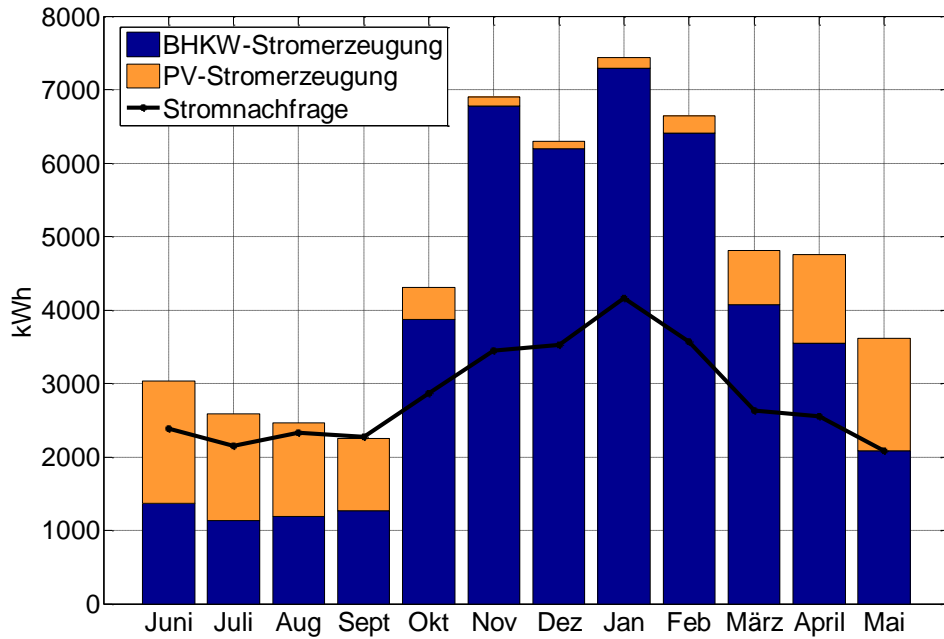


Abbildung 40: Erzeugung von BHKW und PV-Anlage im VHD vom 1.6.2016 - 31.5.2017

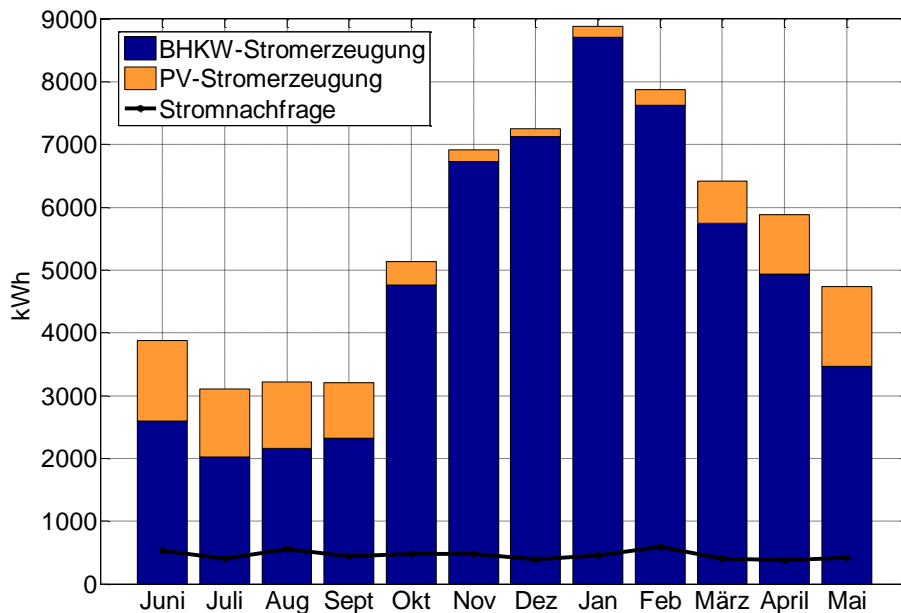


Abbildung 41: Monatliche Erzeugung von BHKW und PV-Anlage in der MTS vom 1.6.2016-31.5.2017

Die Auswertung der Messdaten mit viertelstündlicher Zeitauflösung ergibt, dass im VHD im Mittel von Juni 2016 bis Mai 2017 ca. 22 % des Stromverbrauchs ohne Zwischenspeicherung direkt durch PV gedeckt werden konnten. Zusammen mit der Stromerzeugung des BHKWs konnten knapp 50 % des Stromverbrauchs ohne Zwischenspeicherung direkt gedeckt werden. Durch Einsatz der Batterie steigt der Eigendeckungsanteil auf 66 %. Der Anteil an der Fahrstromnachfrage, welcher ohne Zwischenspeicherung direkt durch PV gedeckt werden konnte, lag bei knapp 24 %. Rechnet man den ohne Zwischenspeicherung in dem stationären Batteriespeicher durch das BHKW direkt ins E-Fahrzeug geladenen Strom hinzu, steigt der direkte Eigendeckungsanteil am Fahrstrom auf 46 %.

In der MTS lag der Eigendeckungsanteil von PV, welcher ohne Zwischenspeicherung im Batteriespeicher vom Juni 2016 bis Mai 2017 erreicht werden konnte, aufgrund der geringeren ZuhauseStromnachfrage höher als im VHD, nämlich bei 37 %. Der direkte Anteil von PV am Fahrstrom hingegen liegt bei nur 4 % und steigt bei Hinzunahme der BHKW-Erzeugung auf knapp 20 %. Im Verbund konnten PV-Anlage, BHKW und Batteriespeicher einen Eigendeckungsanteil von knapp 60 % erzielen.“

5.3.2.2 Stromverbräuche in den Gebäuden

Der Stromverbrauch in den zehn Wohnungen im VHD lag im Betrachtungszeitraum Juni 2016 bis 31. Mai 2017 bei 15.500 kWh und damit im Schnitt bei lediglich 1.550 kWh je Wohnung. Da es sich mehrheitlich um zwei bis drei Personenhaushalte handelt, ist dieser Stromverbrauch im Vergleich zum Bundesdurchschnitt gering. Der Allgemeinstrom im VHD hingegen ist mit 16.070 kWh hoch. Dazu trägt die Raumlufttechnische Anlage mit 5.530 kWh bei. Der Reststromverbrauch ist durch das Nebengebäude bedingt.

5.3.2.3 Nutzungsgrad BHKW

Die Wirkungs- und Nutzungsgrade der BHKW werden auf Basis der gemessenen Stromerzeugung sowie der von Hamburg Netz zur Verfügung gestellten Daten zum momentanen Brennwert des an den Zählpunkten VHD bzw. MTS bezogenen Erdgases ermittelt. Beim BHKW im VHD beträgt der Normwirkungsgrad gemäß dem vorliegenden technischen Datenblatt elektrisch netto 32,9 %, der thermische Wirkungsgrad 61,8 %. Der im Feldtest beobachtete elektrische Wirkungsgrad des BHKW im VHD liegt in diesem Wertebereich. Zum Teil werden unter Verwendung der vorliegenden Messdaten Überschreitungen beobachtet. Diese Überschreitungen können nicht eindeutig auf Unsicherheiten in den Messdaten oder eine gute Performance des BHKW zurückgeführt werden. Unsicherheiten bestehen durch Schwankungen der Leistungsabgabe bzw. des Wirkungsgrades bei Abweichungen von den Normbedingungen. Bei einer Änderung des Luftdrucks um 10 % schwankt die elektrische Leistung des BHKW ebenfalls um ca. 10 %. Die Schwankungen des Luftdrucks in Hamburg liegen üblicher Weise bei 3-4 %. Da der Luftdruck im Kellerraum nicht gemessen wird, ist die Unsicherheit/unerklärbare Schwankung im Wirkungsgrad der BHKW in dieser Größenordnung einzuordnen. Abbildung 42 und Abbildung 43 zeigen den Wirkungsgradverlauf in einem Winter- und Sommerabschnitt für mehrere Betriebsperioden im Winter und eine einzelne Betriebsperiode über einige Viertelstunden. Werte oberhalb von 36% werden abgeschnitten. Werte zwischen 34 und 36% treten wie in Abbildung 42 und Abbildung 43 ersichtlich am Ende einer Laufzeitperiode auf und sind auf Messungenauigkeiten der Zeit zurückzuführen: zwischen Abklingen des zufließenden Gasstromes am Messpunkt dem Rückgang der Stromerzeugung des BHKW besteht ein Zeitversatz, der korrigiert werden müsste, aber hier vernachlässigt wird, da er nur für den Anfangs- und Endwert des Wirkungsgrades über die Laufzeit eine Rolle spielt.

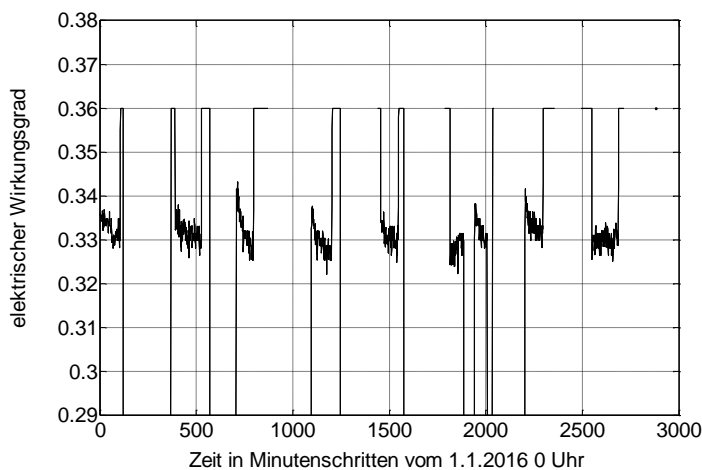


Abbildung 42: Berechneter Wirkungsgradverlauf des BHKW vom 1.1.2016 0 Uhr

Im betrachteten Sommer- und Winterzeitraum schwankt der Wirkungsgrad jeweils. Im Zeitraum 1.-3. Juni 2016 liegen die berechneten Wirkungsgrade ebenfalls um 33 %.

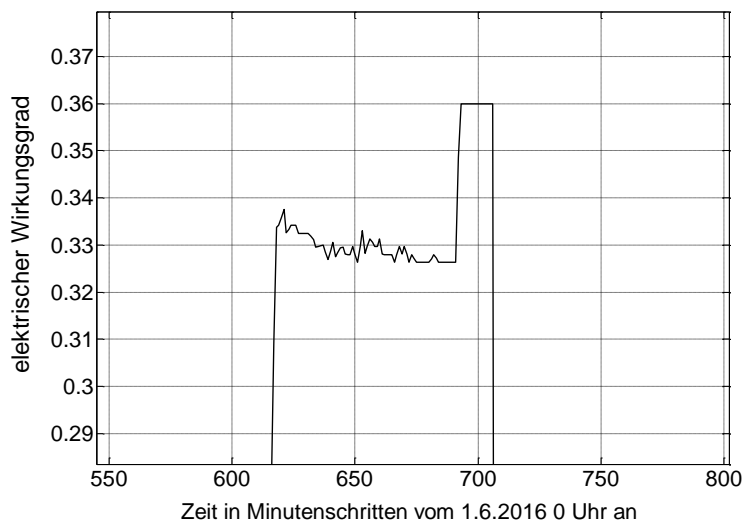


Abbildung 43: Berechneter Wirkungsgradverlauf des BHKW vom 1.6.2016 0 Uhr an

5.3.2.4 Nutzungsgrade des stationären Batteriespeichers

Für ausgewählte Monate, in denen die Datenlücken ausreichend klein sind, werden die Nutzungsgrade des stationären Batteriespeichers genauer betrachtet. Im VHD waren im Oktober 2016 die Datenlücken zu groß. Im November und Dezember 2016 lag der Nutzungsgrad bei ca. 82 %, im Januar 2017 bei knapp 82,5 %. Im Februar und März 2017 wiederum sind die Datenlücken für eine Auswertung zu groß. In der MTS liegen die beobachteten monatlichen Werte niedriger. Dies ist vermutlich durch die ungünstigere Dimensionierung bedingt, die zu einer häufigen Beladung im geringen Teillastwirkungsgrad führt. Hierdurch schwanken die Werte zwischen unter 70 % bis maximal 80 %.

5.3.3 Auswertung der Nutzerbefragung

In beiden Feldtestobjekten VHD und MTS wurden sowohl zu Beginn (November 2014) als auch am Ende des Feldtests (Mai 2017) Nutzerbefragungen durchgeführt. Ziel der Nutzerbefragungen war es, zusätzlich zu den im Feldtest gemessenen Energieverbrauchsdaten Informationen zur Motivation für die Nutzung von Eigenstrom, zu den Nutzergewohnheiten beim Strom- und Wärmeverbrauch und bei der Mobilität sowie zur Nutzerzufriedenheit bei der Anwendung der innovativen Techniken des 3E-Systems (insbesondere der E-Fahrzeuge) durch die Bewohner der Feldtestobjekte zu erhalten. Die Rolle der E-Fahrzeuge im 3E-Konzept ist in besonderem Maße vom Nutzerverhalten abhängig. Die Befragungsergebnisse zum Nutzerverhalten bei der Mobilität wurden deshalb auch genutzt, um die Substitutionseffekte durch das E-Fahrzeug abzuschätzen. Über die aufgezeichneten Fahrtdaten hinaus sollten durch die Nutzerbefragung vor allem Informationen über Motive für den Einsatz der E-Fahrzeuge sowie über typische, auch perspektivisch relevante Nutzungsmuster für E-Mobilität gewonnen werden. Die Befragungsergebnisse sollen auch zur Abschätzung zukünftiger Chancen, Hemmnisse und Potenziale von Carsharing in Hausgemeinschaften, Nachbarschaften und Quartieren genutzt werden.

Dazu wurden in der Anfangsbefragung folgende Themenkomplexe abgefragt:

Teil 1: Allgemeine Fragen

- Akzeptanz für BHKW und der PV-Anlage
- Bewertung/Kennntnisstand zum des SchwarmDirigent® von LichtBlick,
- Motivation zur Eigenstromnutzung,
- Einfluss der Eigenstromerzeugung der PV-Anlage und des BHKW auf das Nutzerverhalten und den Umgang mit Strom (Rebound-Potential)
- Bewertung des Strom- und Wärmepreises im Verhältnis zur ökologischen Wertigkeit

Teil 2: Fragen zur Mobilität / E-Mobilität

- Nutzung des ÖPNV, Fahrrades sowie ggf. eigener oder Carsharing-Pkws
- Akzeptanz von Carsharing
- Erfahrungen mit E-Mobilität und individuelle Bewertung
- Abfrage des individuellen Mobilitätsverhaltens

Teil 3: Fragen zur Geräteausstattung des Haushaltes

- Ausstattung und Nutzungsmuster für die wesentlichen Stromanwendungen im Haushalt (Waschen und Trocknen, Kühlen und Gefrieren, Backen und Kochen, Spülen, Informationstechnik und Unterhaltungselektronik, Beleuchtung, Küchengeräte, weitere Geräte). Mit diesen Informationen wurden mit Hilfe des ifeu-Modells EMOD die Jahresstromverbräuche jedes befragten Haushaltes errechnet, um das Modell für die spätere Nutzung im Arbeitspaket „Übertragbarkeit auf EFH“ zu kalibrieren

In der Abschlussbefragung wurden dann im Rückblick abgefragt:

Teil 1: Fragen zur Mobilität und E-Mobilität

- Nutzungshäufigkeit der E-Fahrzeuge
- Auswirkungen der E-Fahrzeug-Nutzung auf die Nutzung anderer Verkehrsmittel
- Notwendigkeit der Autonutzung, parallele Nutzung von privaten oder Carsharing-Pkw
- Akzeptanz von Carsharing nach den Erfahrungen im Feldtest
- Vergleich und Bewertung Verbrennungs- vs. E-Fahrzeug
- Zufriedenheit mit der Nutzung der E-Fahrzeuge
- Bewertung des Einsatzes von grünem, selbst erzeugtem Strom in E-Fahrzeugen

Teil 2: Fragen zur Strom- und Wärmeversorgung

- Zufriedenheit und Einfluss von PV-Anlage und BHKW auf den eigenen Umgang mit Wärme und Strom

An der Anfangsbefragung beteiligten sich alle Haushalte des VHD (N=10) und zwei der drei am Feldtest teilnehmenden Haushalte in der MTS (N=2). Da in der MTS auch E-Carsharing-Teilnehmer gewonnen werden konnten, die nicht im Objekt wohnen, wurden diese nur zum Mobilitätsteil befragt. Diese Fragen wurden von einem Teilnehmer dieser Gruppe beantwortet. Somit haben an der Anfangsbefragung gesamt N=12 (+ 1 nur beim Mobilitäts-Teil) Befragte teilgenommen.

An der Abschlussbefragung nahmen sieben der zehn Haushalte des VHD (N=7) und alle drei Haushalte der MTS (N=3) teil, hier ebenfalls zusätzlich ein E-Carsharing-Teilnehmer von insgesamt zum Zeitpunkt der Abschlussbefragung 7 externen Carsharing-Nutzern. An der Abschlussbefragung haben gesamt N=10 (+ 1 nur beim Mobilitäts-Teil) Befragte teilgenommen.

Die Rücklaufquote der Befragungen war somit im VHD sehr hoch, in der MTS bezogen auf den Teilnehmerkreis am externen Carsharing jedoch nicht. Aufgrund der geringen Anzahl der am Feldtest beteiligten Haushalte sind jedoch keine verallgemeinerbaren Aussagen möglich. Die spezifischen individuellen Hintergründe, Nutzungsmuster und Bewertungen waren jedoch zur Einordnung der Feldtestergebnisse, zur Interpretation der Messdaten und insbesondere zur Bewertung der Erfahrungen und der Akzeptanz des 3E-Systems wichtig. Mit der Kombination der Messdaten und der Ergebnisse der Nutzerbefragungen konnte zudem besser eingeordnet werden, ob und wenn ja, welche Erkenntnisse des Feldtests verallgemeinerbar und auf andere Objekte mit ähnlichen technischen Konfigurationen und Nutzungsmustern übertragbar sind.

5.3.3.1 Befragungsergebnisse zum Gebäude und zum Haushaltsstromverbrauch

Während im VHD alle zehn Haushalte am Feldtest teilnahmen, konnten in der MTS nur drei Haushalte gewonnen werden, LichtBlick-Stromkunden zu werden, d.h. an der 3E-Optimierung teilzunehmen. Damit sind auch nur diese drei Haushalte auf der Stromseite als Feldtestteilnehmer zu betrachten. Aufgrund dieses geringen Anteils der Feldtest- und Befragungsteilnehmer an der Gesamtheit der Bewohner des Objekts MTS ist eine Auswertung der Befragung für MTS nicht erfolgt. Die Auswertung wird deshalb im Folgenden für das Objekt VHD durchgeführt, weil hier alle Haushalte an der Befragung teilgenommen haben.

A) Ergebnisse Anfangsbefragung VHD (Gebäude, Stromverbrauch)

Bewohnerstruktur und Anwesenheitszeiten

Im VHD überwiegt der Anteil an Drei-Personen-Haushalten, bestehend aus jungen Familien mit einem kleinen Kind bei sechs von zehn Wohnparteien. Außerdem sind drei Zwei-Personen-Haushalte und ein Ein-Personen-Haushalt vorhanden. Die Anwesenheitszeiten der Bewohner verhalten sich wie folgt: Wochentags sind die Bewohner tagsüber selten zu Hause. In allen Wohnungen ist mindestens eine Person berufstätig und tagsüber außer Haus (etwa zwischen 8 und 18 Uhr). In fünf der neun Zwei- oder Drei-Personen-Haushalte ist auch der zweite Erwachsene berufstätig. In weiteren zwei Haushalten ist der zweite Erwachsene teilzeitbeschäftigt. Nur in zwei von zehn Haushalten ist ein Erwachsener auch tagsüber zu

Hause. Die Wochenenden verbringen die Bewohner tendenziell zu Hause, fünf von zehn befragten Haushalten geben dies an. Drei von zehn befragten Haushalten sind an den Wochenenden oft auswärts unterwegs und bei den restlichen zwei befragten Haushalten ist das Verhältnis ausgeglichen.

Bewertung des BHKW

Die Bewohner des Objektes VHD stehen dem BHKW, welches von LichtBlick betrieben und als „Zuhause-Kraftwerk“ vermarktet wird, überwiegend positiv gegenüber. So werden bei der Frage über Vor- und Nachteile des BHKW deutlich mehr positive Aspekte genannt. Die Selbstversorgung und damit einhergehende Unabhängigkeit werden von vier Bewohnern als Vorteil gewertet und die effiziente Gas-Nutzung wird ebenfalls von vier Bewohnern als ökologisch sinnvoll und nachhaltig bewertet. Der hohe Wirkungsgrad, die Förderung einer innovativen Technik, die Dezentralität und die Alternative zu Kohle- und Atomenergie werden jeweils einmal positiv erwähnt. Auf ökonomischer Ebene werden sowohl Vor- als auch Nachteile gesehen. Die Abhängigkeit von Erdgas wird von einem Bewohner als Nachteil genannt. Die Abhängigkeit von Technikern und dem Besitzer wird ebenfalls von einem Bewohner als Nachteil gesehen. Weiterhin nennen zwei Haushalte die Geräuschbelästigung im Gemeinschaftsraum als Nachteil.

Bewertung des SchwarmDirigent®

Das Wissen über den SchwarmDirigent® und seine Rolle in der Stromversorgung ist bei den Bewohnern geteilt. Vier von zehn befragten Haushalten wissen, was der SchwarmDirigent® ist und welche Rolle er für ihre Stromversorgung spielt, während ebenfalls vier von zehn befragten Haushalten angeben, das nicht zu wissen. Die flexible und bedarfsgerechte Steuerung wird von fünf Haushalten als Vorteil genannt.

Einstellung zur PV-Anlage

Die Bewohner sind als Eigentümergemeinschaft auch Eigentümer der PV-Anlage. Alle Bewohner geben hier als Begründung der Beteiligung als Eigentümer an, dass die PV-Anlage Strom ökologisch erzeugt. Ein weiterer sehr wichtiger Aspekt ist die Meinung, dass die Energiewende eher durch die regenerative Stromerzeugung in Bürger-"Kraftwerken" als durch die regenerative Stromerzeugung bei großen Unternehmen geschehen soll. Acht von zehn befragten Haushalten geben hier ihre Zustimmung. Die Hälfte der befragten Haushalte nennt außerdem den Grund, dass der Eigenstromverbrauch des PV-Stroms günstiger ist als der Strombezug aus dem Netz.

Anpassung des Stromverhaltens an die PV-Anlage

Die Hälfte der befragten Haushalte gibt an, ihr Verbrauchsverhalten der Stromproduktion der PV-Anlage anzupassen. Vier davon nur gelegentlich und ein befragter Haushalt sogar häufig. Die andere Hälfte der befragten Haushalte gibt an, ihr Verhalten nicht anzupassen, sich es aber vorstellen zu können. Als Beispiele für angepasstes Verbrauchsverhalten wird die Nutzung von Geräten mit großem Stromverbrauch während des Tages genannt. Die Geräte Waschmaschine, Spülmaschine und Trockner werden explizit erwähnt.

Eigenverbrauch des BHKW-Stroms versus Netzeinspeisung

Die Bewohner tendieren dazu, den Strom aus dem BHKW selber nutzen zu wollen. Dabei bevorzugen acht von zehn Befragten die Eigenstromnutzung gegenüber der Netzeinspeisung. Die Bewohner begründen ihre Entscheidung für einen Eigenverbrauch des BHKW-Stroms mit finanziellen Vorteilen und der möglichst autarken Versorgung des Hauses. Außerdem erscheint es den Bewohnern ökologisch sinnvoll, den Strom lokal zu nutzen und nicht transportieren zu müssen.

Einfluss des Ökostrombezugs auf das Stromverbrauchsverhalten

Der Bezug von grünem Strom hat nach Angaben der Bewohner keinen Einfluss auf ihr Stromverbrauchsverhalten. Alle befragten Haushalte geben an, dass sie auch schon vorher auf ihr Verhalten und einen sparsamen Umgang mit Strom geachtet haben.

Wichtigkeit von Preis versus ökologischer Wertigkeit beim Bezug von Strom und Wärme

Den Bewohnern ist beim Bezug von Strom und Wärme überwiegend mehr an einer ökologischen als an einem finanziellen Vorteil gelegen. Drei von zehn befragten Haushalten ist Ökologie und Preis gleich wichtig. Alle anderen befragten Haushalte tendieren zur höheren Wichtigkeit von Ökologie.

Geräteausstattung und –nutzung der Haushalte

Im Vergleich zu den Ergebnissen der Erhebung der EnergieAgentur.NRW (STROM.check)⁴ wird deutlich, dass der Effizienzstandard des Gerätebestandes überdurchschnittlich gut ist. In Tabelle 22 ist die Verteilung der Effizienzklassen der Haushaltsgeräte der Bewohner zu sehen. Alle Geräte haben mindestens eine mittlere Energieeffizienzklasse (Gelb). Die Geräte haben alle mindestens die Klasse A+ (Gefrierschrank), A (Kühlschrank, Geschirrspüler, Waschmaschine) beziehungsweise B (Fernseher). Außerdem ist die hohe Anzahl an Haushalten zu erwähnen, die über bestimmte Geräte wie Gefrierschrank, Wäschetrockner oder Fernsehgerät gar nicht verfügen. Im Vergleich zum STROM.check der EnergieAgentur.NRW liegt die Ausstattung mit Gefrierschränken und Fernsehgeräten deutlich unter dem Durchschnitt.

⁴ Elmar Hillebrand (EEFA Forschungsinstitut GmbH & Co KG) – Energie und Umwelt Analysen, Stromverbrauch nach Anwendungszwecken der privaten Haushalte: Auswertung und Analyse des STROM.check der EnergieAgentur.NRW (Münster 2012)

Tabelle 22: Verteilung der Effizienzklassen der Haushaltsgeräte

Effizienz- klasse	Kühlschrank/ Kühl-Gefrierkombi- nation	Gefrier- schränke	Geschirr- spüler	Wasch- maschi- nen	Wäschetrock- ner	Effizienz- klasse	TV- Geräte
A+++	1	-	-	2	-	A+	1
A++	3	2	4	3	3	A	3
A+	4	1	1	1	-	B	2
A	2	-	4	4	2	C	-
B	-	-	-	-	-	D	-
C	-	-	-	-	-	E	-
D	-	-	-	-	-	F	-
Nicht vorhan- den	-	7	1	-	5	Nicht vor- handen	4

Geräte-Nutzungszeiten

Eine Befragung nach den Gerätenutzungszeiten wurde für die Waschmaschine und das Kochen vorgenommen. Dabei ergaben sich sehr unterschiedliche Ergebnisse. Die Bewohner nutzen ihre Waschmaschinen sehr gleichmäßig an Wochentagen und Wochenenden. Auch bei den Tageszeiten lässt sich keine eindeutige Tendenz erkennen. Auch hier ist die Nutzung gleichmäßig über morgens, mittags und abends verteilt. In Bezug auf das Kochen ist hingegen eine klare Tendenz zu erkennen. So geben fünf von zehn befragte Haushalte an, meist nur abends zu kochen. Zwei von zehn befragten Haushalten kochen meist nur mittags und jeweils ein befragter Haushalt gibt an dreimal oder häufiger beziehungsweise mittags und abends zu kochen.

Fazit Anfangsbefragung VHD (Gebäude, Stromverbrauch)

Durch die Nutzerbefragung des MFH im Objekt VHD hat sich ein umfassendes Bild der befragten Haushalte ergeben. Die Bewohner haben einen hohen Bezug zum Thema Stromsparen und zu umweltfreundlicher Stromerzeugung. Die Geräteausstattung ist überdurchschnittlich effizient.

5.3.3.2 Modellierter Stromverbrauch nach der Haushaltsbefragung im Vergleich

Aus den Angaben der Haushalte über ihre Geräteausstattung und -nutzung wurde mit Hilfe eines Excel-basierten Modells der Jahresstromverbrauch modelliert. Ein Vergleich der verschiedenen Haushalte ist Abbildung 44 zu sehen. Unterteilt in Ein-, Zwei- und Drei-Personen-Haushalte sind deutliche Variationen bei den Verbräuchen der verschiedenen Haushalte zu erkennen. Gemeinsam haben die Haushalte, dass die Verbräuche unter dem Durchschnittsverbrauch der jeweiligen Haushaltsgröße nach Stromspiegel 2014⁵ liegen. Selbst unter Berücksichtigung eines möglichen Fehlers von 20 %, der durch ungenaue Angaben und Fehleinschätzungen entstehen kann, liegen alle Haushalte des Objektes VHD im Bereich eines geringen oder niedrigen Verbrauchs. Die Verteilung des Stromverbrauchs in den Haushalten gestaltet sich allerdings sehr unterschiedlich. Dies ist auf die unterschiedliche Geräteausstattung und deren Nutzungsweise zurückzuführen.

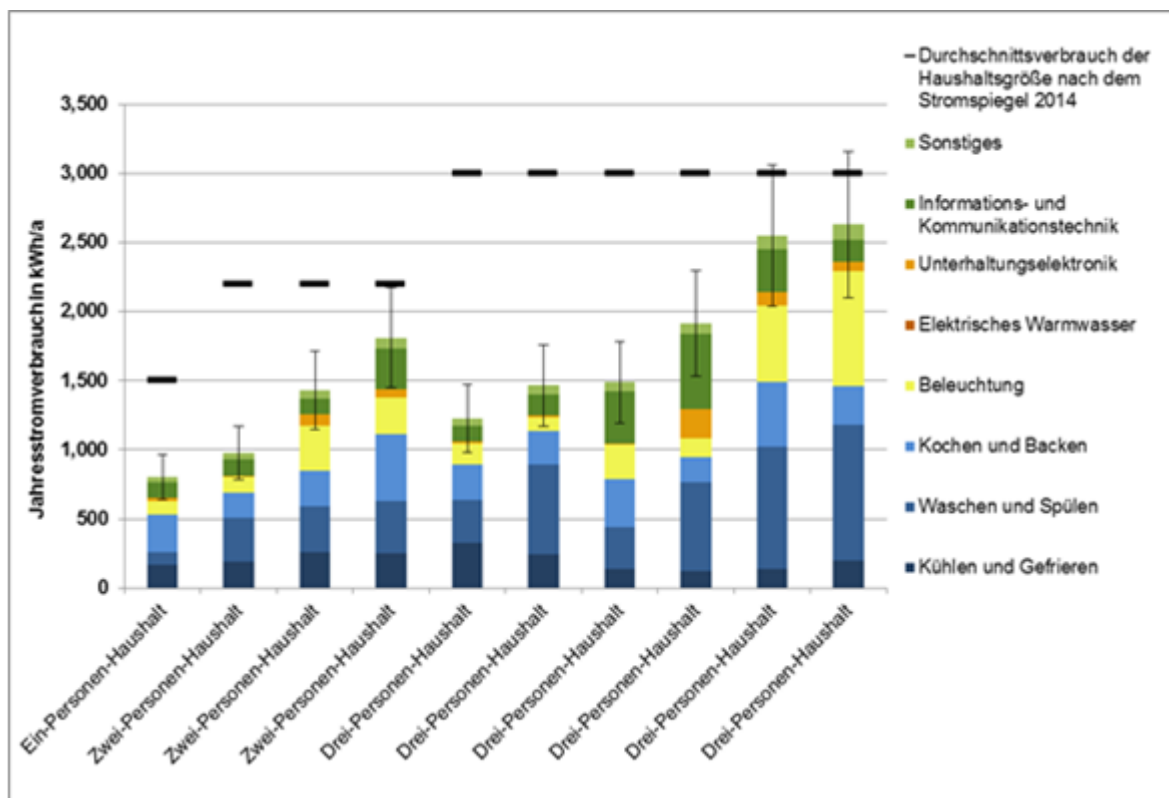


Abbildung 44: Modellierter Stromverbrauch der Haushalte im Vergleich

⁵ Bundesministerium für Umwelt, Naturschutz, Bau und Reaktorsicherheit - Stromspiegel für Deutschland 2014 (Berlin 2014)

B) Ergebnisse der Abschlussbefragung (Gebäude, Stromverbrauch)

Im Rahmen der Abschlussbefragung wurden alle Feldtestteilnehmer in VHD und MTS befragt. Aufgrund der ähnlichen Gebäude- und Fahrzeugkonstellation (3E-MFH) und insgesamt geringen Fallzahlen (VHD N=7, MTS N=3+1 externer Carsharing-Nutzer) erfolgt die Auswertung hier für beide Objekte gemeinsam.

Die Zufriedenheit mit der Strom- und Wärmeversorgung in den Feldtestobjekten ist insgesamt hoch (fünf Befragte waren sehr zufrieden, vier Befragte waren zufrieden). Lediglich ein Befragter gab an, unzufrieden zu sein, weil die Heizung im Winter in seiner Dachgeschosswohnung nicht richtig funktioniere. Des Weiteren wurde kritisiert, dass das BHKW während der Feldtestphase zweimal ausgefallen sei.

Neun von zehn Befragten gaben an, durch die umweltfreundliche Strom- und Wärmeversorgung ihren Strom- und Wärmeverbrauch nicht geändert zu haben. Ein Befragter sah einen Mehrverbrauch im Gemeinschaftsstromverbrauch durch Lüftungsanlage und Aufzug – dies steht jedoch nicht in einem technischen Zusammenhang mit der umweltfreundlichen Stromversorgung. Ein Befragter gab an, weniger Wärme zu verbrauchen.

5.3.3.3 Befragungsergebnisse zur Mobilität

Ziel der Nutzerbefragung zur E-Mobilität ist es zum einen, nähere Informationen zur Wahrnehmung der E-Fahrzeuge von LichtBlick und des gesamten Mobilitätsverhaltens der Bewohner während des Feldtests zu erhalten. Da die mögliche Rolle der E-Fahrzeuge im 3E-Konzept in besonderem Maße vom Nutzerverhalten abhängig ist, sind über die aufgezeichneten Fahrtdaten hinaus Aufschlüsse über Motive der Nutzung bzw. Nichtnutzung der E-Fahrzeuge von besonderer Bedeutung.

A) Ergebnisse der Anfangsbefragung VHD (Mobilitätsverhalten vor Beginn des Feldtests)

Im Rahmen der Anfangsbefragung konnte der VHD vollständig befragt werden, so dass sich hier ein umfassendes Bild des Mobilitätsverhaltens ergibt. Die Bewohner haben vor dem Feldtest vor allem den öffentlichen Verkehr genutzt (vier von zehn Befragten täglich) und zum Großteil auch eine Zeitkarte besessen (sieben von zehn Befragten ganzjährig). Auch das Fahrrad wurde von allen Bewohnern mindestens einmal pro Woche genutzt (bei sechs von zehn Befragten sogar täglich). Unterstützt wurde dieses nachhaltige Mobilitätsverhalten vor allem durch die Anbindung des Hauses an das ÖPNV und Radwegenetz, die überwiegend als gut bis sehr gut eingeschätzt wird (beim ÖPNV zehn von zehn Befragten, beim Radwegenetz acht von zehn Befragten). Damit war einerseits eine gute - teils multimodale – Alltagsmobilität bereits vorhanden, andererseits bestand zusätzlich auch noch ein Potenzial für die Nutzung eines gemeinschaftlich genutzten Pkw, da nur vier von zehn Befragten einen eigenen Pkw regelmäßig zur Verfügung haben und die Mehrheit (sieben von zehn Befragten) aktuell auch kein Carsharing nutzt.

Für die Alltagsmobilität wurde der Pkw überwiegend als nicht notwendig empfunden (nur drei von zehn Befragten benötigen mehrmals pro Woche bis täglich ein Auto), auch wenn immerhin acht von zehn Befragten zumindest gelegentlich einen Pkw zur Verfügung haben. Vor diesem Hintergrund konnten sich vor Beginn des Feldtests auch sieben von zehn Befragten vorstellen, zukünftig auf das eigene Fahrzeug zu verzichten und nur noch das gemeinschaftliche Fahrzeug zu nutzen. Erfahrung mit einem E-Fahrzeug war vor dem Feldtest nur bei einem Befragten vorhanden, die Bereitschaft zur dauerhaften Nutzung des E-Fahrzeugs entsprechend noch eingeschränkt (nur vier von zehn Befragten antworteten hier eindeutig mit Ja). Das Bewusstsein für mögliche ökologische Vorteile war jedoch vorhanden, allen Befragten war es wichtig, dass das Fahrzeug mit „grünem“ Strom geladen wird, sieben von zehn Befragten möchten zudem, dass der Strom aus eigener Erzeugung kommt.

B) Ergebnisse der Abschlussbefragung

Erfahrungen der Nutzer im Feldtest

Im Rahmen der Abschlussbefragung wurden alle Bewohner des VHD sowie die Stromkunden der MTS Marientalerstraße befragt. Aufgrund der ähnlichen Gebäude- und Fahrzeugkonstellation (3E-MFH) und insgesamt geringen Fallzahlen (VHD N=7, MTS N=3+1 externer Carsharing-Nutzer) erfolgt die Auswertung hier für beide Objekte gemeinsam.

Die Nutzungsintensität der E-Fahrzeuge war im Feldtest begrenzt (siehe Abbildung 45). Nur 20 % der Befragungsteilnehmer gaben an, die Fahrzeuge regelmäßig (1-2 Mal pro Woche) genutzt zu haben, ebenso viele haben die Fahrzeuge überhaupt nicht genutzt. Aufgrund der temporären Feldtestanordnung hat etwa die Hälfte der Befragungsteilnehmer parallel zum E-Fahrzeug von LichtBlick auch anderes, öffentliches Carsharing genutzt, z.T. sogar mehrmals pro Woche. Weitere Gründe für die geringe Nutzungsintensität könnte auch die insgesamt geringe Abhängigkeit vom Auto sein. Aufgrund der verkehrstechnisch gut vernetzten Lage (Radwegenetz und öffentlicher Verkehr) benötigt auch während des Feldtests nur etwa ein Viertel der Befragungsteilnehmer überhaupt regelmäßig (1-2 Mal pro Woche) ein Auto.

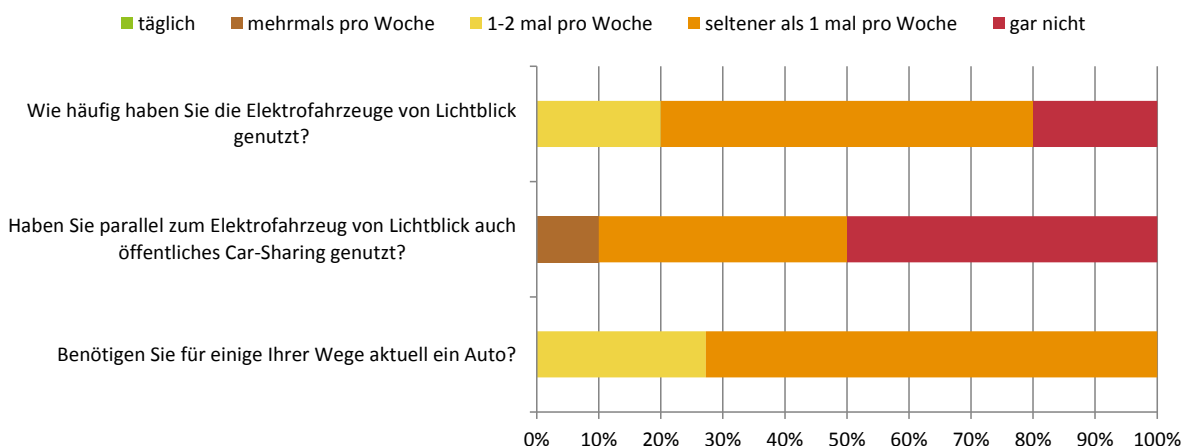


Abbildung 45: Ergebnisse der Abschlussbefragung zur Nutzungsintensität der E-Fahrzeuge (n=11)

Die Wahrnehmung des E-Fahrzeugs und die praktischen Erfahrungen können überwiegend als positiv eingestuft werden (siehe Abbildung 46). Die Umweltbilanz wird als durchweg positiv beurteilt, wobei es allen Befragungsteilnehmer auch nach dem Feldtest noch wichtig war, dass das E-Fahrzeug mit grünem Strom betrieben wird („Ja“) und dass dieser grüne Strom tendenziell auch selbst erzeugt wird („Eher Ja“). Auch das Fahrverhalten der E-Fahrzeuge wurde überwiegend besser gegenüber einem Verbrennungs-Pkw beurteilt (70 %). Dabei wurden keine Sicherheitsnachteile wahrgenommen, wobei die Alltagstauglichkeit von der Hälfte der Befragungsteilnehmer als nachteilig beurteilt wurde.

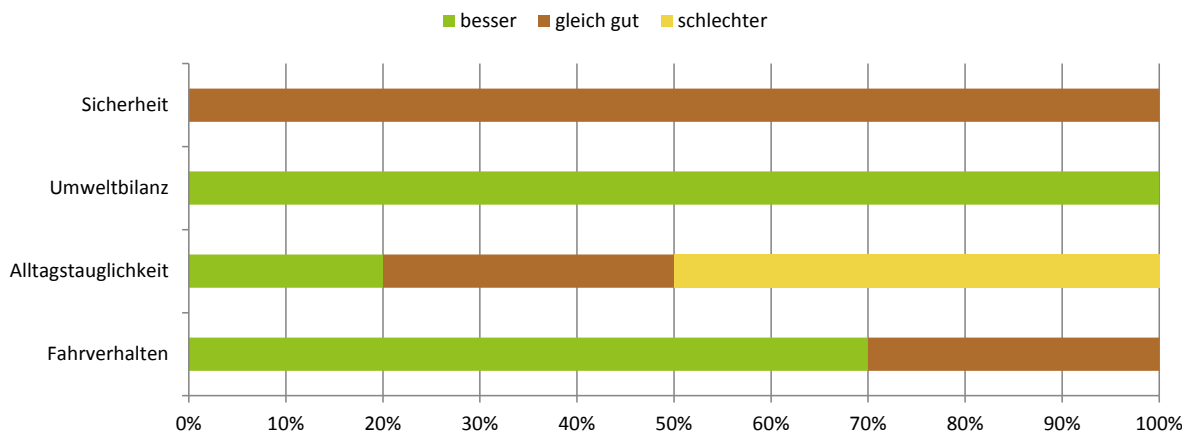


Abbildung 46: Ergebnisse der Abschlussbefragung zur Wahrnehmung der E-Fahrzeuge (n=11)

Die Nutzungsintensität der E-Fahrzeuge könnte potenziell durch eine Erweiterung des Nutzerkreises gesteigert werden. Die Antworten aus Abbildung 47 zeigen jedoch auch, dass bei den Befragungsteilnehmern die Bereitschaft sich ein Auto zu teilen mit Bekanntheitsgrad der Mitnutzer deutlich zurückgeht: Können sich noch acht von elf Befragungsteilnehmer gut vorstellen, ein Auto mit Mitbewohnern (oder Bekannten) zu teilen, gaben dies bezüglich bekannten Nachbarn nur noch fünf von elf Personen an. Geht es um fremde Personen signalisierten dann nur noch vier Befragungsteilnehmer die Bereitschaft zum Teilen, ebenso viele wie ein solches Teilen deutlich ablehnen. Die Erfahrungen des Feldtests spielen bei dieser Einschätzung jedoch nur für ein Drittel der Befragungsteilnehmer eine Rolle. Einer Steigerung der Nutzungsintensität durch Erweiterung des Nutzerkreises könnte daher die mit abnehmendem Bekanntheitsgrad sinkende Bereitschaft ein Fahrzeug zu teilen entgegenstehen

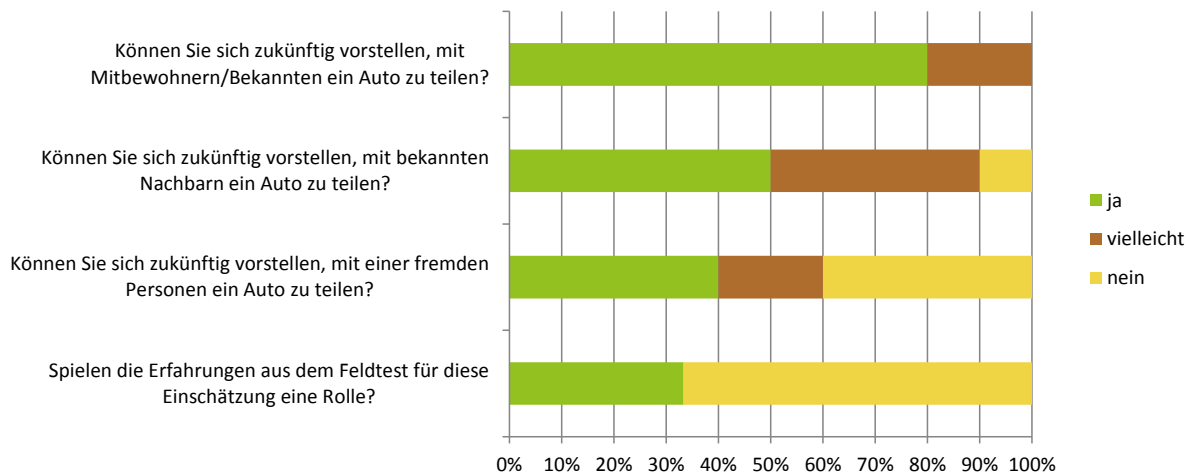


Abbildung 47: Ergebnisse der Abschlussbefragung zur Bereitschaft Fahrzeuge zu teilen (n=11)

Verdrängungseffekte

Zentral für die Umweltbilanz ist auch die Frage, welche Verkehrsmittel durch die E-Fahrzeuge von LichtBlick im Feldtest tatsächlich ersetzt wurden. Auf die Frage „Mit welchem Verkehrsmittel hätten Sie die Fahrten mit den E-Fahrzeugen von LichtBlick überwiegend zurückgelegt, wenn das Fahrzeug nicht zur Verfügung gestanden hätte?“ gab nur ein Viertel der Befragungsteilnehmer an, dass es sich hierbei um Pkw gehandelt hätte. Überwiegend wären die Fahrten ohne die zusätzlichen E-Fahrzeuge mit Fahrrad (fünf von elf Antworten) und öffentlichen Verkehrsmitteln (fünf von elf Antworten) zurückgelegt worden. Hierbei kann eine Rolle spielen, dass die temporäre Natur des Feldtestes wenig geeignet war, eine Abschaffung von privaten Pkw zu bewirken. Aktuelle Studien zur Mobilitätswirkung von Carsharing zeigen nämlich, dass „... das alleinige Eingehen einer Vertragsbeziehung zu einem CarSharing-Anbieter keine klaren Veränderungen bei den Jahresfahrweiten des eigenen Pkw verursacht. Dies gilt auch für die gelegentliche Nutzung von CarSharing. Wesentliche Minderungen treten erst ein, wenn die Anzahl der privaten Pkw im Haushalt reduziert wird.“⁶ In der gleichen Studie konnte jedoch auch gezeigt werden, dass tendenziell „... CarSharing ein Verhalten hin zu geringerem Fahrzeugbesitz fördert.“¹ Dies scheint jedoch stärker noch für stationsgebundenes und weniger für stationsungebundenes (free floating) Carsharing zu gelten ⁷. Die mit einer solchen Abschaffung des Pkw verbundenen positiven Umweltwirkungen wurden jüngst vom Bundesverband Car-Sharing (BCS) noch einmal ausführlich aufgezeigt⁸. In der speziellen Feldtestkonstellation war zudem der Anreiz gegeben, eine neue Technologie auszuprobieren, was das Nutzungsverhalten zusätzlich beeinflussen kann.

⁶ http://www.qucosa.de/fileadmin/data/qucosa/documents/21675/Schreier_2015_Carsharing_Muenchen.pdf

⁷ http://www.erneuerbar-mobil.de/sites/default/files/2016-10/Abschlussbericht_WiMobil.pdf

⁸ https://carsharing.de/sites/default/files/uploads/alles_ueber_carsharing/pdf/endbericht_bcs-eigenprojekt_final.pdf

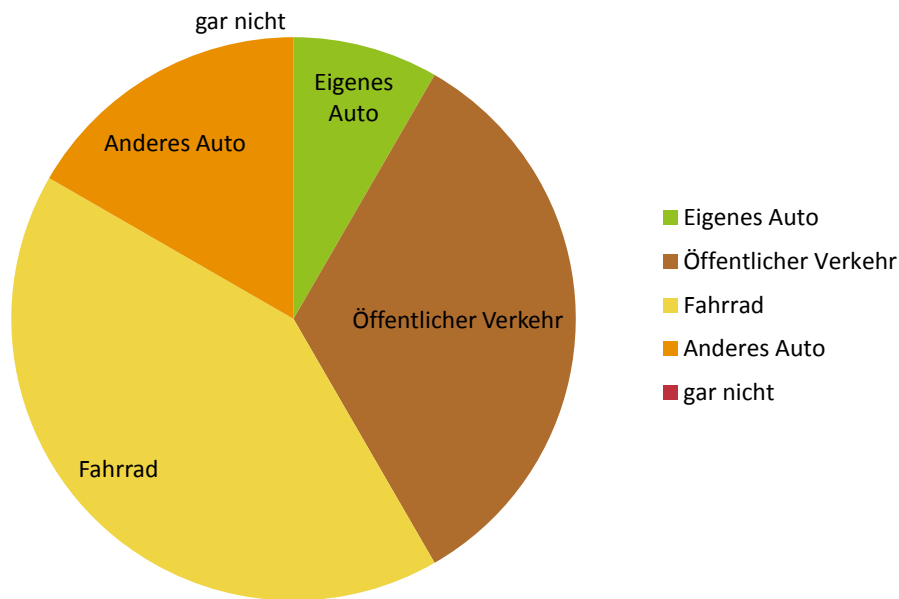


Abbildung 48: Mit welchem Verkehrsmittel hätten Sie die Fahrten mit den E-Fahrzeuge von LichtBlick überwiegend zurückgelegt, wenn das Fahrzeug nicht zur Verfügung gestanden hätte? (n=12)

5.3.4 Weitere Erkenntnisse zur Nutzerzufriedenheit

5.3.4.1 ZuhauseStrom

„ZuhauseStrom“ ist eine Produktbezeichnung von LichtBlick. Es handelt sich dabei um Mieterstrom, d.h. die anteilige direkte Belieferung von Mietern mit Strom aus der lokalen Stromerzeugungsanlage. Die Stromkunden kaufen ein reguläres Stromprodukt, da neben der Stromlieferung aus der Erzeugungsanlage auch der zusätzlich benötigte Reststrombedarf aus dem Netz gedeckt wird. Der Stromkunde erfährt dies einerseits durch die Stromkennzeichnung, die in jeder Abrechnung den anteilig dezentral erzeugten und gelieferten Strom ausweist und andererseits durch einen vergleichsweise günstigen Preis, der sich durch eingesparte Umlagen und Entgelte für den dezentral erzeugten und gelieferten Strom ergibt. Abgesehen von dieser Besonderheit handelt es sich aus Kundensicht um ein reguläres Stromprodukt mit einem Arbeits- und einem Grundpreis. Auch von den Vorkehrungen der Einrichtung einer Kundenanlage, um diese anteilige Direktlieferung zu ermöglichen, erfährt der Stromkunde nichts. Das Projekt hat eine signifikante Differenz in der Akzeptanz von ZuhauseStrom ergeben. So sind in der MTS nur zwei Mietparteien dauerhaft für das Produkt ZuhauseStrom zu gewinnen gewesen, während im VHD sämtliche Eigentümer an dem Modell teilnehmen wollten.

5.3.4.2 Carsharing

Das umgesetzte Carsharing-Konzept des 3E-Projetes beinhaltet wie in Kapitel 3.1.2 dargestellt eine zeitbasierte Tarifierung. Diese ist zudem im wettbewerblichen Vergleich sehr günstig und zudem darauf ausgelegt, frühzeitig geplante und gemäß Planung durchgeführte Fahrten zu fördern. Dennoch wurde ein

Großteil der Fahrzeuge entweder spontan (Planungszeitraum < 12h) ausgeliehen oder nicht zum angegebenen Zeitpunkt ausgeliehen oder zurückgegeben. Daraus lässt sich ableiten, dass eine höhere Flexibilität seitens der Nutzer gewünscht ist. Die größte Auffälligkeit war die unterschiedliche Auslastung der Fahrzeuge zwischen beiden Objekten. Im VHD war diese um ein vielfaches höher als in der MTS. Mögliche Gründe sind wohl einerseits fehlende Identifikation mit dem Projekt in der MTS, wie auch die geringe ZuhauseStrom-Durchdringung des Objektes zeigt, sowie der offene Nutzerkreis. Die Auswertung der Nutzerbefragung in Kapitel 5.3.3 zeigt den Einfluss des Nutzerkreises auf die Akzeptanz derartiger Carsharing-Konzepte. Zudem wurde eine kostenlose Nutzung für geplante Fahrten getestet, was zu einer deutlich erhöhten Fahrzeugnutzung führte. Zum einen ist das auf die zusätzliche Aufmerksamkeit auf die Möglichkeit des Carsharings zurückzuführen, zum anderen bieten sich aber durch diese Maßnahme neue Einsatzzwecke der Fahrzeuge (z.B. Pendeln oder Wochenendausflüge). Derartige Nutzungen sind mit dem zeitbasierten Tarif wirtschaftlich eher unattraktiv.

Zu Beginn des Feldtestes gab es große Probleme mit der verwendeten Hard- und Software. Vor allem ein Problem mit der auf dem Fahrzeug hinterlegten Buchung, welches zur Folge hatte, dass die Fahrzeuge stehen blieben, schreckte die Nutzer zu Beginn ab. Auch Empfangsprobleme und Fehler in der Smartphone-App störten die Buchungen und Durchführungen der Fahrten. Derartige Probleme wurden aber meist rasch gelöst. Einige Funktionen der App, wie das Öffnen der Fahrzeuge und Verlängern der Buchung konnten bis zum Ende des Feldtestes nicht umgesetzt werden. Dies wurde mittels eines RFID-Chips zur Identifikation am Fahrzeug und einem zuverlässigen Kundenservice, der die Buchungen anpassen konnte, umgangen. So wurde trotz eines nicht vollständig zuverlässigen Buchungssystems eine gute Kundenzufriedenheit erreicht.

5.3.5 Auswertung der Emissionsmessungen

Im Rahmen von Arbeitspaket 4.7 „Durchführung von Emissionsmessungen am ZuhauseKraftwerk“ wurden zur Umweltbewertung der Feldtestobjekte Abgasemissionsmessungen von Stickoxiden (NO_x) und Kohlenstoffmonoxid (CO) im realen BHKW-Betrieb durchgeführt. Da Methan ein um ca. den Faktor 28 höheres Treibhausgaspotential (bezogen auf 100 Jahre (G. Myhre et al. 2013)⁹) als Kohlenstoffdioxid aufweist, sind Emissionen von unverbranntem Methan für die Umweltbewertung der BHKW-Strom- und Wärmeerzeugung ebenfalls relevant und wurden auch gemessen.

5.3.5.1 Emissionsmessungen am BHKW im VHD

Zur Durchführung der Messungen wurde der TÜV Süd vom ifeu beauftragt. Die Emissionsmessungen am BHKW im VHD fanden vom 17.3.2015 bis zum 20.3.2015 statt. Neben der Überprüfung, welche Emissio-

⁹ G. Myhre et al. 2013: “Climate Change 2013: The Physical Science Basis. Working Group I contribution to the IPCC Fifth Assessment Report. 30. September 2013, Chapter 8: Anthropogenic and Natural Radiative Forcing”, S. Table 8.1.A, Seiten 8–88 bis 8-99

nen beim bisher üblichen Betrieb des BHKW auftreten, wurde ebenfalls untersucht, wie stark sich Emissionen bei einem häufig taktenden Betrieb erhöhen. Die Prüfung der Emissionserhöhung bei stark taktendem Betrieb wird vorgenommen, um eine worst-case Abschätzung zu erhalten, wie sich eine dynamischere Fahrweise, die bei stärkerer Orientierung der Steuerung am Strombedarf gewünscht sein könnte, auf die Emissionen auswirken könnten. Bewusst wurden daher ungünstige Betriebszustände, wie das Anfahren des BHKW für eine bis wenige Minuten (dieses entspricht nicht dem bestimmungsgemäßen Betrieb des BHKW) und Perioden mit jeweils 15 Minuten-Betriebszeit, vermessen. Im Vorfeld der Messungen wurde von ifeu und LichtBlick ein dreitägiger Betriebsplan für das BHKW erstellt, in dem sowohl das Anfahren für eine, zwei und drei Minuten sowie Taktvorgänge von 15 Minuten und längere Laufzeiten von einer halben Stunde bis zu zwei Stunden vorgesehen wurden.

In Tabelle 23 sind die Ergebnisse der Messungen für die Laufzeiten des BHKW zwischen dem 17.3. und dem 20.3.2015 zusammenfassend dargestellt. Die Emissionen wurden jeweils über die Laufzeit gemittelt. Sowohl die Stickoxid- als auch Kohlenmonoxid-Konzentrationen sind hier auf trockenes Abgas und einen Sauerstoffgehalt im Abgas von 5 % bezogen (gemäß dem Bezug der TA-Luft). Bei Anfahrvorgängen wurden zum Teil NO_x-Konzentrationen in den Rohdaten oberhalb des garantierten Messbereichs der Geräte aufgezeichnet. Für die Auswertung in Tabelle 23 wurden daher Mindestkonzentrationen berechnet, in dem die oberhalb des Messbereichs liegenden Konzentrationen auf den maximalen Wert im Messbereich (für NO war dieses der Wert von 2010 mg/m³, und NO₂ 513 mg/m³) gesetzt wurden. Die Ergebnisse sind in der Spalte „NO_x im sicheren Messbereich“ angegeben.

Tabelle 23: Zusammenfassung der Messergebnisse für die NO_x-, CO- und Methanmessungen als zeitliche Mittelwerte der Emissionen über alle Betriebszeiten des BHKW (Emissionsmittelwerte zwischen jedem Start und Stopp) zwischen Messbeginn am 17.3.2015 und Messende am 20.3.2015

			NOX	NOX im sicheren Messbereich	CO	CH4		NOX
Messtag	BHKW-Betriebsphase		[mg/Nm ³] bei 5% O ₂ , trockenes Abgas	[mg/Nm ³] bei 5% O ₂ , trockenes Abgas	[mg/Nm ³] bei 5% O ₂ , trockenes Abgas	[mg/Nm ³], trockenes Abgas		30-Minuten- mittelwert mit Filterung, [mg/Nm ³] bei 5% O ₂ , trockenes Abgas
Datum	Startzeit	Endzeit					Laufzeit	
17.03.2015	19:57:01	21:29:02	55	55	3	1	01:32:01	55
18.03.2015	00:00:02	00:29:02	110	100	3	5	00:29:00	
18.03.2015	07:01:01	07:36:01	53	53	4	2	00:35:00	
18.03.2015	10:07:01	10:08:01	3493	3073	12	2531	00:01:00	
18.03.2015	10:16:01	10:18:01	969	969	42	345	00:02:00	
18.03.2015	10:24:01	10:25:02	1297	1297	62	331	00:01:01	
18.03.2015	10:32:01	11:14:02	243	243	42	11	00:42:01	262
18.03.2015	12:10:07	12:38:57	112	112	42	12	00:28:50	
18.03.2015	14:57:07	17:14:02	60	60	41	2	02:16:55	
18.03.2015	23:01:01	00:29:01	54	54	38	1	01:28:00	132
19.03.2015	10:29:02	11:18:00	77	58	43	7	00:48:58	59
19.03.2015	11:23:33	11:59:00	184	139	41	18	00:35:27	
19.03.2015	12:13:00	12:29:01	266	194	52	27	00:16:01	
19.03.2015	13:11:53	13:26:53	292	213	74	45	00:15:00	
19.03.2015	13:42:13	13:56:53	737	503	48	85	00:14:40	
19.03.2015	14:12:13	14:26:43	739	500	46	79	00:14:30	
19.03.2015	14:42:03	14:56:43	317	229	59	119	00:14:40	
19.03.2015	15:11:43	15:26:53	810	531	61	102	00:15:10	
19.03.2015	15:42:03	15:56:53	794	528	50	90	00:14:50	
19.03.2015	16:12:03	16:26:53	546	385	49	65	00:14:50	
19.03.2015	19:12:03	20:11:33	269	184	44	37	00:59:30	280
19.03.2015	23:56:43	00:41:13	360	241	43	41	00:44:30	
20.03.2015	06:56:53	09:41:43	150	106	37	17	02:44:50	343

Es sind hohe Stickoxidemissionen bei kurzen Laufzeiten erkennbar, diese sind in der Tabelle orange hervorgehoben. Sie treten insbesondere beim Anfahren für nur ein bis zwei Minuten, jedoch auch bei einer Laufzeit von 15 Minuten auf. Ein 15-minütiger Betrieb stellt aktuell die kürzeste, für den regulären Betrieb in Frage kommende, Betriebszeit dar. Beim BHKW im VHD handelt es sich um einen 4-Takt Erdgas-Ottomotor mit lambda-geregeltem 3-Wege-Katalysator. Nach der geltenden TA-Luft (2002)¹⁰ darf das

¹⁰ Im BImSchG sind in § 22 für nicht genehmigungsbedürftige Anlagen, um welche es sich im Falle des BHKW handelt, allgemeine Anforderungen an Anlagenbetreiber zugrunde gelegt. Danach sind alle Maßnahmen zu ergreifen, die nach dem Stand der Technik möglich sind, um Luftverunreinigungen durch Schadstoffausstoß zu vermeiden oder auf ein Mindestmaß zu begrenzen. Die auf dem Markt angebotenen BHKW-Anlagen unterhalb von 1 MW Feuerungswärmeleistung sind in der Lage, die Anforderungen der TA-Luft zu erfüllen oder deutlich zu unterschreiten. Demnach entspricht es auch für kleinere Anlagen dem Stand der Technik, die Emissionsgrenzwerte der TA-Luft einzuhalten, so dass sich hieraus eine Verpflichtung im Sinne von § 22 BImSchG für Anlagenbetreiber ableitet.

BHKW einen NO_x-Emissionswert von 250 mg/m³ im Tagesmittel nicht überschreiten, bzgl. CO gilt für Erdgasmotoren ein Tagesmittel-Grenzwert von 300 mg/m³. Im Halbstundenmittel dürfen die Emissionen nicht das 2-fache dieser Werte übersteigen. Es ist davon auszugehen, dass diese Anforderungen der TA-Luft bezüglich NO_x durch das BHKW eingehalten werden. Zwar zeigen sich Mittelwerte oberhalb von 500 mg/m³, dieses gilt jedoch nur für die kurzen Betriebsdauern von einer Minute bis einer Viertelstunde. Die hohen mittleren Emissionen der kurzen Betriebsphasen senken sich im Halbstundenbetrieb ab. Die hohen NO_x-Emissionen bei kurzen Laufzeiten liegen in den noch nicht optimalen Betriebsbedingungen für den Verbrennungsvorgang im Motor, sowie der Tatsache begründet, dass die Lambdaregelung des Katalysators erst nach 300 Sekunden ihre Normalfunktion aufnimmt.

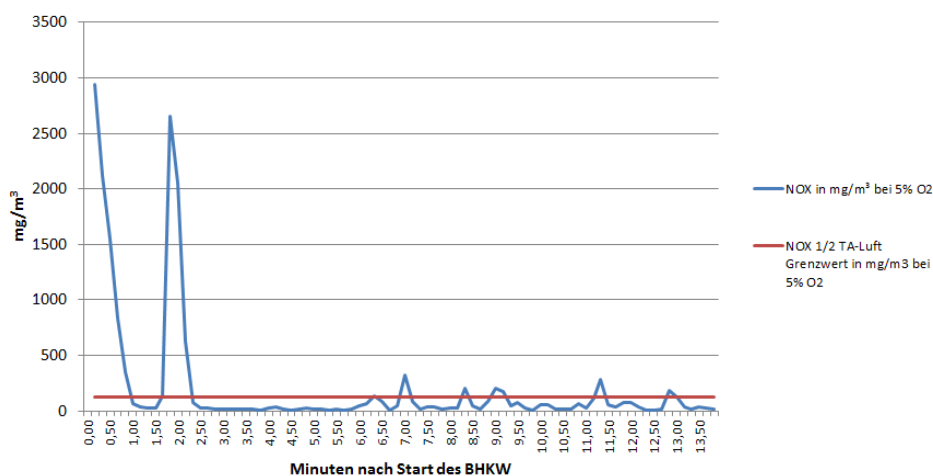


Abbildung 49: Verlauf der gemessenen Stickoxid-Emissionen (blau, Bezug Normkubikmeter, trocken sowie auf 5% Sauerstoff im Abgas) und halber Stickoxid-Grenzwert der TA-Luft (rot) über eine Laufzeit des BHKW von 14 Minuten am 19.3.2015, 12:13 Uhr bis 12:26

Abbildung 50 zeigt exemplarisch den Verlauf der CO-Emissionen (blaue Linie) über eine Laufzeit des BHKW von 15 Minuten am 19.3. Der halbe CO-Grenzwert der TA-Luft wird ca. 1,5 und 2,5 Minuten nach Start kurzzeitig überschritten, anschließend treten keine Überschreitungen auf und die Werte pendeln sich deutlich unterhalb des halben Grenzwertes der TA-Luft ein.

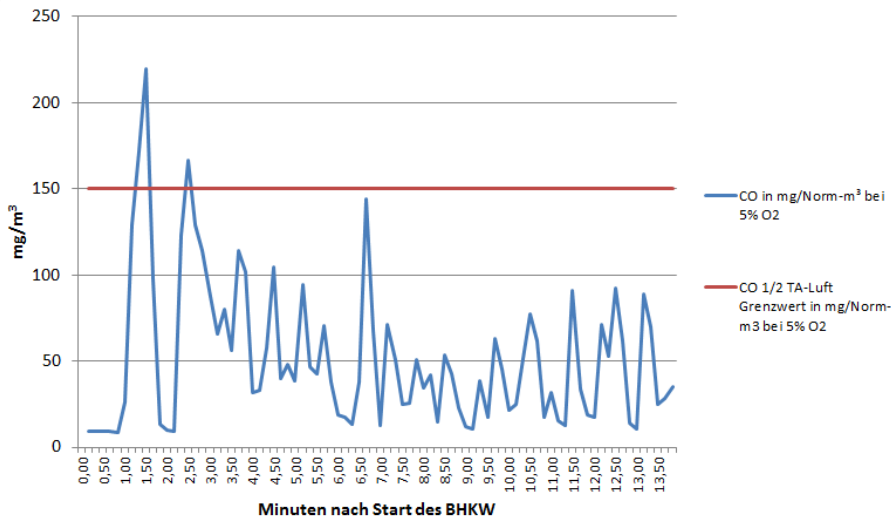


Abbildung 50: Verlauf der gemessenen Kohlenstoffmonoxid-Emissionen (blau, Bezug Normkubikmeter, trocken sowie auf 5% Sauerstoff im Abgas) und halber CO-Grenzwert der TA-Luft (rot) über eine Laufzeit des BHKW von 14 Minuten am 19.3.2015, 12:13 Uhr bis 12:26

Ein qualitativ ähnliches Verhalten zeigt sich für die Methanemissionen. Abbildung 51 zeigt den Verlauf der Methanemissionen für denselben Zeitraum am 19.3.

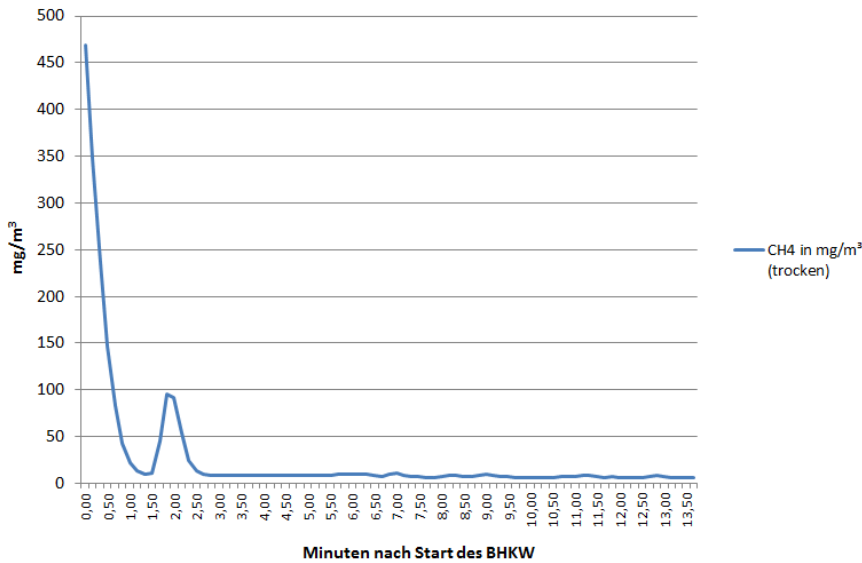


Abbildung 51: Verlauf der Methanemissionen im Abgas am 19.3.2015 von 12:13 Uhr bis 12:26

Während des Anfahrvorgangs lagen die CH₄-Emissionen zum Teil oberhalb des gesicherten Messbereichs, welcher zwischen 0 und 714 mg/m³ lag. Ein solcher Fall trat beispielsweise am Morgen des 18.3. (siehe Abbildung 52) auf.

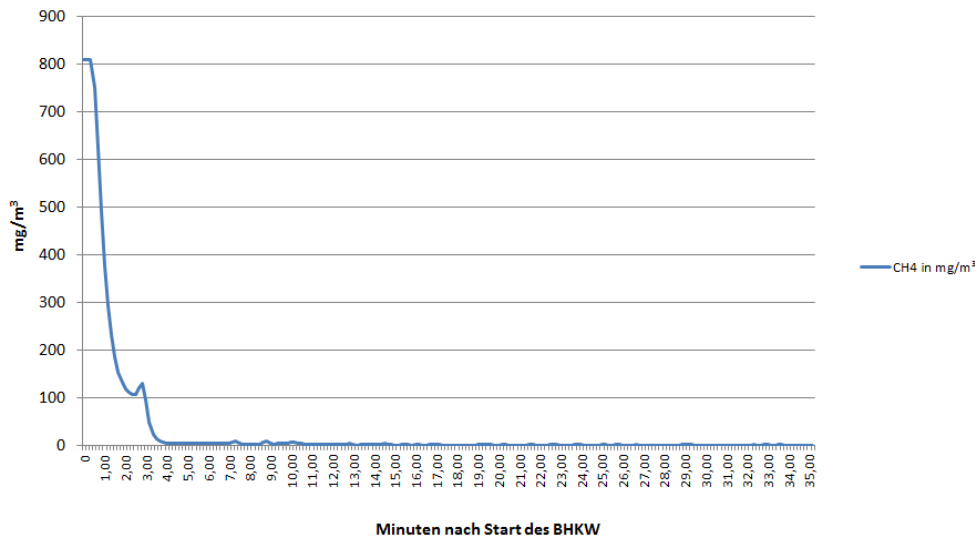


Abbildung 52: Zum Teil wurde bei Startvorgängen des BHKW der Messbereich (bis 714 mg/m³ gemäß TÜV Emissionsbericht) des Methanmessgerätes überschritten (Beispiel am 18.3.BHKW-Laufzeit von 7:00 Uhr bis 7:32 Uhr)

Gemittelt über die Betriebsdauer lagen die Methanemissionen jedoch niedrig: beim 15-minütigen Takten traten Werte von 0,1 g/kWh auf, welche in Bezug auf den Treibhauseffekt als unkritisch angesehen werden können.

5.3.5.2 Emissionsmessungen am BHKW in der MTS

Die Emissionsmessungen in MTS wurden vom 8.11.2016 bis zum 11.11.2016 durchgeführt. Beim BHKW im 2. Feldtestobjekt MTS handelt es sich wie im VHD um einen 2 Liter Erdgas-4-Takt-Ottomotor mit lambda-geregeltem 3-Wege-Katalysator von VW. Die Messungen wurden wiederum vom TÜV Süd ausgeführt. Die Messung des Abgasmassenstromes, welcher für den Einbezug der Emissionsdaten in eine Umweltbewertung benötigt wird, sind erst ab dem 10.11.2016 10:20 Uhr aufgrund einer anfänglich falschen Einregelung der Geräte verlässlich auswertbar. Um wiederum eine Obergrenze für die Emissionen bei einer wesentlich flexibleren Fahrweise (d.h. einem Betrieb mit häufigeren Anfahrvorgängen) abzuleiten, wurde analog zum VHD auch für das BHKW in der MTS ein Fahrplan festgelegt, welcher eine erhöhte Anzahl von Anfahrvorgängen enthält. Die Anforderungen der TA-Luft wurden während der Messungen eingehalten. Beim Anfahren des BHKW traten zwar über die Grenzwerte erhöhte NO_x-Emissionen auf (siehe Abbildung 53), sie sanken jedoch über die anschließende Betriebsphase so stark ab, dass die Grenzwerte für den Halbstundenmittelwert eingehalten wurden. So lag z.B. der Mittelwert der NO_x Emissionen über den viertelstündlichen Betriebszeitraum ab 12:15 Uhr am 10.11., welcher durch den höchsten Emissionspeak auffällt, über 15 Minuten gemittelt bereits bei 400 mg/Nm³ und damit unter den zulässigen 500 mg/Nm³.

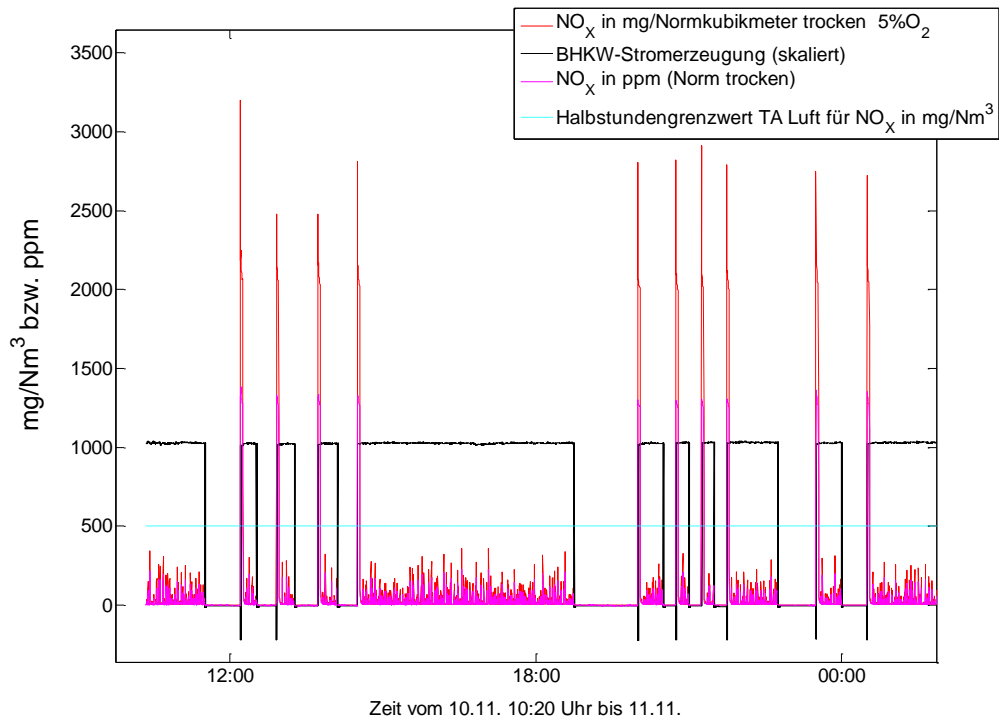


Abbildung 53: Ausschnitt der Messung der Stickoxidemissionen am 10.11.2016 im 2. Feldtestobjekt

Ein ungesichertes Messergebnis für die NO_x Emissionen tritt am 11.11.2016 um ca. 9:46 Uhr auf: Hier wird bewusst ein sehr ungünstiger Betriebszustand mit häufigem kurzen Takten durchfahren. Die gemessenen NO_x-Emissionen steigen teilweise über 4000 mg/Nm³ (siehe Abbildung 54), der Halbstundenmittelwert über die Taktvorgänge liegt über dem TA-Luft-Grenzwert bei ca. 500 mg/Nm³. Hier ist fraglich, ob die hohen NO_x-Emissionen während des Stillstands des BHKW korrekt sind. Da sich einerseits der gesicherte Messbereich nur bis 3000 mg/Nm³ erstreckt und es laut Aussage des TÜV Süd Mitarbeiters zu erhöhten Emissionen in der Luft trotz Stillstands des BHKW bei ungenügendem „Spülen“ mit neuer Luft kommen kann („Abklingverhalten“), können die Werte nicht mit Sicherheit als Überschreitung der TA-Luft gewertet werden.

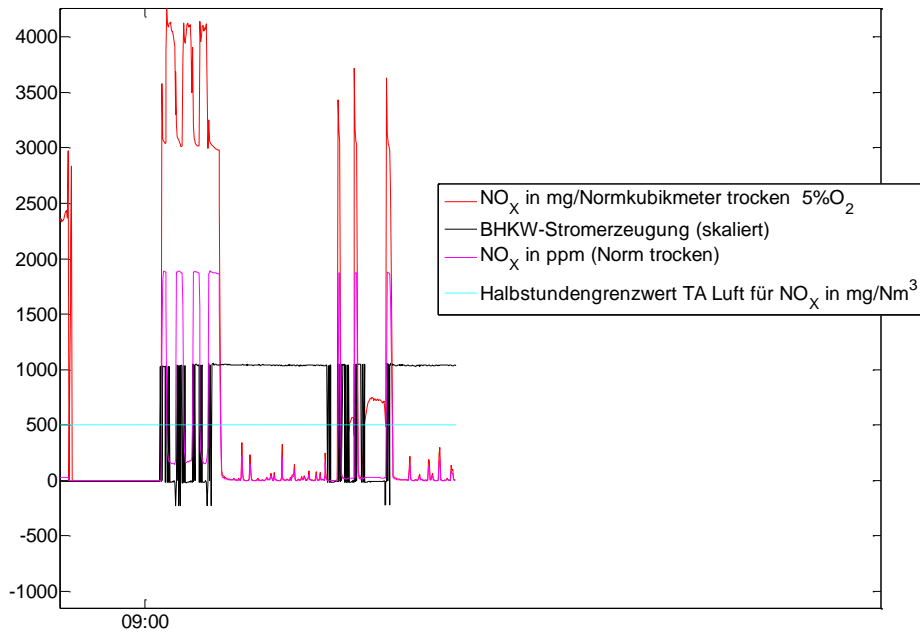


Abbildung 54: Fraglich hohe NOX Emissionen am 11.11.2016

Die gemessenen CO-Emissionen lagen über den gesamten Messzeitraum auch für die Anfahrvorgänge unter dem Grenzwert der TA-Luft.

Für Methanemissionen existiert kein Grenzwert der TA-Luft. Ab dem 10.11. ab 10:20 Uhr fand laut Aussage des TÜV Süd eine korrekte Messung des Abgasvolumenstroms statt, so dass eine durchschnittlich pro Betriebsstunde emittierte CH₄-Menge über die Multiplikation der gemessenen CH₄-Konzentrationen im Abgas mit dem Abgasvolumenstrom berechnet werden kann. Für die viertelstündlichen Betriebsvorgänge ergeben sich hochgerechnet auf die Stunde zwischen 7,7 g und 8,7 g Methanemissionen. Bezogen auf die produzierte Strommenge ergeben sich in diesem Fall (das BHKW im Zweiten Feldtestobjekt weist eine durchschnittliche Leistungsabgabe im Betrieb von 18,7 kW_{el} auf) zwischen 0,41 und 0,47 g CH₄/kWh_{el}. Gewichtet mit einem CO₂-Äquivalentfaktor von 28 ergeben sich THG-Emissionen von 11,5-13 g/kWh_{el}. Es handelt sich um im Vergleich zu den durch die Verbrennung bedingten CO₂-Emissionen zwar um geringe, aber nicht komplett vernachlässigbare Werte (lastet man die verbrennungsbedingten CO₂-Emissionen vollständig dem Strom an, liegt der CO₂-Emissionsfaktor für einen elektrischen Wirkungsgrad von 33 % bei 614 g/kWh_{el}).

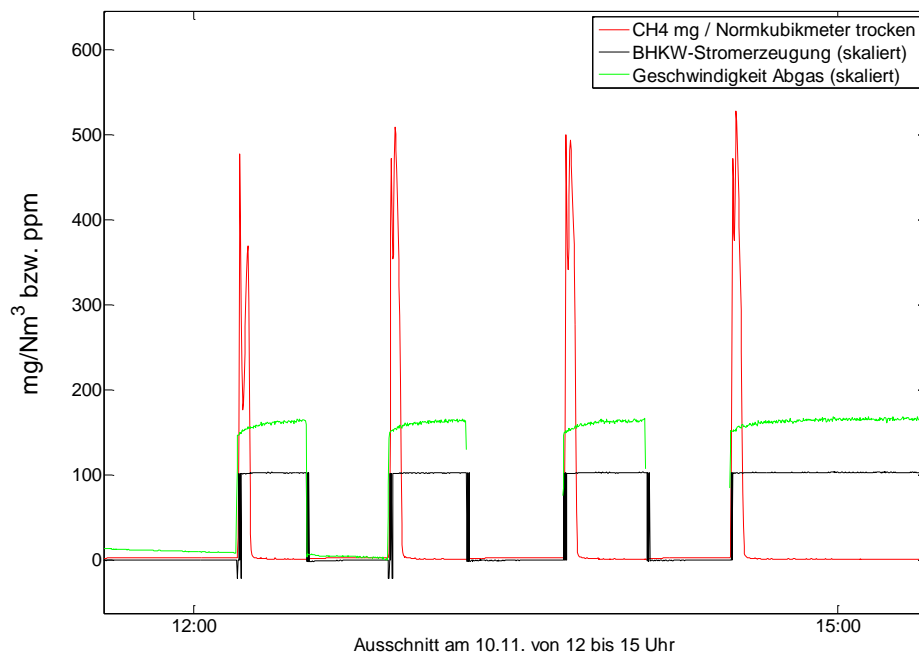


Abbildung 55: Hohe CH₄-Emissionen zu Start des BHKW am 10.11.

5.4 Ökobilanz des Feldtests

5.4.1 Ökobilanzierung

5.4.1.1 Grundsätzliches zur Ökobilanzierung

Die Ökobilanz (Life Cycle Assessment, LCA) ist eine umfassende Methode zur Abschätzung der mit einem Produkt verbundenen Umweltwirkungen, da neben den direkten Umweltwirkungen wie Treibhauseffekt und Schadstoffausstoß in der Nutzungsphase des Produktes die Umweltwirkungen von der „Wiege“ bis zur „Bahre“ erfasst werden. Damit werden die Umweltbelastungen aller Bereiche von der Rohstoffgewinnung, der Produktion über die Anwendung bis zur Beseitigung (Recycling und Entsorgung einzelner Komponenten des Produktes) berücksichtigt.¹¹ Für die Umweltbewertung des 3E-Systems werden Ökobilanzen des 3E-Systems und verschiedener Alternativen zum 3E-System für die Bereitstellung der Strom-, Wärme- und Mobilitätsnachfrage in den Feldtestobjekten erstellt. Im Vergleich mit den Alternativen können die Einflüsse einzelner Komponenten des 3E-Systems untersucht und deren Umweltvor- und -nachteile bewertet werden.

Die Umweltwirkungen werden dabei auf eine produkt- bzw. objektspezifische Größe bzw. Funktion bezogen, die funktionelle Einheit. Die funktionelle Einheit wird hier definiert als die Bereitstellung der Strom-, Wärme- und Mobilitätsnachfrage über ein Jahr für die Bewohner der Feldtestobjekte. Die Nachfrage wird dabei aus den im Feldtest vorgenommenen Strom- und Wärmemessungen sowie den Befragungen abgeleitet. Die Herstellung und Entsorgung der benötigten Infrastrukturelemente (BHKW, Batteriespeicher, E-Fahrzeug etc.) wird entsprechend ihrer Lebensdauer in der Bilanz berücksichtigt.

Zur Ökobilanzierung wurde ein flexibel parametrisierbares LCA-Modell des 3E-Systems in der Software UMBERTO aufgebaut. Es besteht aus drei Bereichen:

- **Energieflüsse im Objekt sowie die vorgelagerte Energiebereitstellung** - Die Informationen zu den Strom- und Wärmeverbräuchen sowie der Strom- und Wärmeerzeugung stammen aus den zeitlich hochaufgelösten Messdaten der Feldtestobjekte von LichtBlick. Die Modellierung der Zusammensetzung von Netzstrombezug und Netzeinspeisung, welche sich aus der Wechselwirkung der Stromerzeuger und Stromverbraucher in den Feldtestobjekten mit dem Kraftwerkspark ergibt, geschieht mit einem ifeu eigenen Modell zur Kraftwerkseinsatzoptimierung (siehe Abschnitt 5.4.1.3).

¹¹ Definition nach ISO 14040

- **Mobilität der Bewohner** - Hier gehen die im Feldtest erhobenen Fahrleistungen der E-Fahrzeuge, Erkenntnisse aus den Befragungen der Bewohner, Eigenschaften der zur Verfügung gestellten E-Fahrzeuge, sowie Emissionsfaktoren und Fahrleistungen aus TREMOD¹² ein.
- **Infrastruktur (Herstellung / Entsorgung der Systemkomponenten)** - Die hier verwendeten Module basieren größtenteils auf der Datenbank EcoInvent 2.2, die Parameter wurden an die Situation im 3E-MFH angepasst.

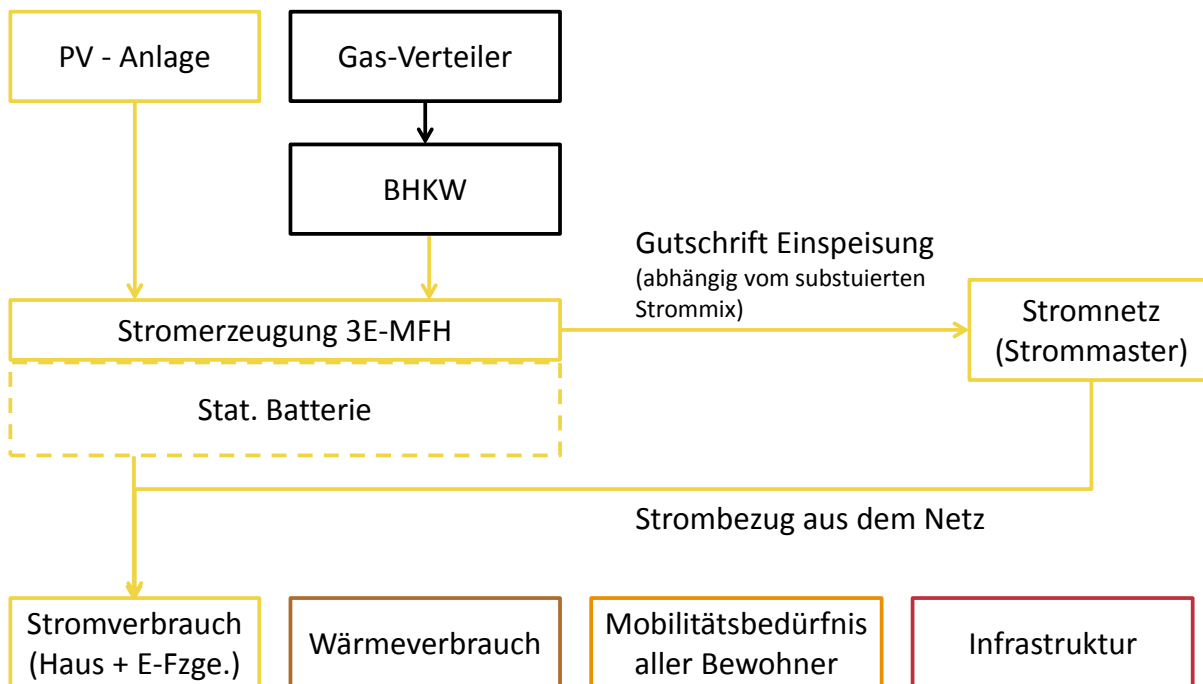


Abbildung 56: Bilanzierung der Strombereitstellung (schematisch)

Da die emittierten Substanzen unterschiedliche - teilweise sich überschneidende – Wirkungen haben, werden sie zu gewichteten 'Umweltwirkungskategorien' zusammengefasst. Betrachtet werden hier die Klimawirkung und Versauerung:

- Die Klimawirkung des Treibhauseffektes steht für anthropogen verursachte Erwärmung der Erdatmosphäre. Berücksichtigt werden die Treibhausgasemissionen, z.B. Kohlendioxid (CO₂), Methan (CH₄) und Lachgas (N₂O) nach aktuellen Vorgaben des Intergovernmental Panel on Climate Change (IPCC).

¹² ifeu. (2015). Transport Emissions Modell (TREMOD) Version 5.61. Dokumentation Fortschreibung „Daten - und Rechenmodell: Energieverbrauch und Schadstoffemissionen des motorisierten Verkehrs in Deutschland 1960- 2030“ (2014). Heidelberg: Institut für Energie und Umweltforschung.

- Versauerung bedeutet eine Absenkung des pH-Wertes und tritt in Gewässern und Böden auf (z.B. saurer Regen). Versauerung schränkt u.a. das Pflanzenwachstum ein und mindert so landwirtschaftliche Erträge. Verantwortlich sind Emissionen säurebildender Substanzen, z.B. Salzsäure, Schwefeloxide, Stickoxide die als Schwefeldioxid äquivalente Wirkung (SO₂-Äquivalente) zusammengefasst werden.

5.4.1.2 Beschreibung der betrachteten Versorgungsvarianten für die Feldtestobjekte zur Bereitstellung von Strom, Wärme und Mobilität

Um Aussagen über ökologische Vor- und Nachteile des Versorgungssystems 3E-MFH in den Feldtestobjekten zu machen, werden Ökobilanzen für folgende Varianten zur Bereitstellung der funktionellen Einheit aus Haushalts- und Allgemeinstrom (Allgemeinstrom für Lüftungsanlage, Fahrstuhl, Flurbeleuchtung etc.), Wärme und Mobilität aufgestellt:

Konventionell stellt den jeweiligen „business as usual“-Fall dar. Da es sich beim VHD um einen Neubau handelt, muss auch im business as usual-Fall das Gesetz zur Förderung Erneuerbarer Energien im Wärmebereich beachtet werden und anteilig erneuerbare Wärme für die Wärmeversorgung eingesetzt oder Ersatzmaßnahmen durchgeführt werden. Für die Wärmeversorgung wird daher ein Gasbrennwertkessel mit solarthermischer Unterstützung angenommen, die Solarthermie deckt 15 % des Wärmebedarfs für Warmwasser und Raumheizung. Bei der MTS wurde die Sanierung zum Passivhaus freiwillig vorgenommen, hier hätte keine erneuerbare Wärme eingesetzt werden müssen. Da es sich um eine Sanierung handelt, die mit hohem Ambitionsniveau durchgeführt wurde, wird hier auch als „business as usual“-Fall eine anteilige Versorgung mit EE-Wärme vorgesehen. Zur besseren Vergleichbarkeit mit dem VHD wird hier ebenfalls ein solarthermisch unterstützter Gaskessel angesetzt.

Für die Stromversorgung wird ein kompletter Strombezug aus dem Netz angesetzt und auf Seiten der Mobilität, dieselbe Mobilitätsnachfrage, wie sie für den Feldtest angesetzt wurde. Im VHD wird dabei neben den bestehenden Verbrennungsfahrzeugen auch die im Feldtest durch die E-Fahrzeuge ersetzte ÖPNV-Nutzung berücksichtigt. In der MTS wird mangels spezifischer Information nur die im Feldtest von den E-Fahrzeugen zurückgelegte Strecke mit Verbrennungs-Pkw bilanziert.

Bei **3E mit Erdgas** wird das BHKW mit fossilem Erdgas versorgt. Als Komponenten für die Stromerzeugung werden das BHKW, die PV-Anlage und der stationäre Batteriespeicher bilanziert. Zusätzlich werden anteilig die Kraftwerke zur Erzeugung des Netzstromes für das Feldtestobjekt, wenn BHKW, PV-Anlage und Batteriespeicher den Strombedarf im Haus aktuell nicht decken können, bilanziert. Stromseitig werden der Stromverbrauch im Gebäude (durch die Wohnungen und durch den Allgemeinstromverbrauch von Lüftungsanlage, Fahrstuhl, Pumpen etc.) und der Stromverbrauch der Ladesäulen berücksichtigt. Ferner wird die Verdrängung konventioneller Kraftwerke bei Netzeinspeisung durch das 3E-System berücksichtigt. Für die Bereitstellung der Wärme werden das BHKW und die Wärmespeicher in der Ökobilanz abgebildet. Zur Deckung der Mobilitätsnachfrage werden die Infrastrukturaufwendungen für die jeweils zwei E-Fahrzeuge berücksichtigt. Im VHD stellt diese Variante den im Feldtest umgesetzten Fall dar. In der MTS wurde statt Erdgas Biomethan im BHKW eingesetzt.

Die Varianten **3E-Biometh. (Anbau)** und **3E-Biometh. (Reststoffe)** sind von der Konfiguration und den betrachteten Energieflüssen identisch mit der Variante 3E mit Erdgas mit Ausnahme der Gaslieferung. Hier wird in der Variante **3E-Biometh. (Anbau)** Biomasse aus nachwachsenden Rohstoffen bilanziert, während in der Variante **3E-Biometh. (Reststoffe)** Biomethan aus Gülle angenommen wird. Für die MTS stellt die Variante 3E-Biomethan (Reststoffe) den Feldtestfall dar.

Als zum 3E-System alternativer Ansatz einer erneuerbaren Stromversorgung für die E-Fahrzeuge und die Haushalte der Feldtestobjekte wird ein Szenario mit Zubau von zusätzlichem gebäudefernem Windstrom betrachtet, das Szenario **E-Fahrzeug + Windstrom**. Hier ist die Wärmeversorgung des Gebäudes identisch mit der Variante „Konventionell“, d.h. es wird ein solarthermisch unterstützter Gasbrennwertkessel angesetzt, die Mobilitätsbereitstellung entspricht der im Feldtest, d.h. es werden zwei E-Fahrzeuge vorgesehen. Der Strombezug für den Haushalts-, Allgemenstrom- und E-Fahrzeug-Verbrauch erfolgt komplett aus dem Netz, wobei der Windstromanteil im Netz um dieselbe Strommenge, die im Feldtest BHKW und PV-Anlage erzeugt haben, erhöht wird. Damit wird der Frage nachgegangen, ob sich in der ökobilanziellen Betrachtung Vorteile durch den Zubau des 3E-Systems für die Stromversorgung der E-Fahrzeuge und des Haushalts gegenüber einem gebäudefernen Windstromzubau ergeben. In diesem Szenario werden die Ladelastgänge der E-Fahrzeuge analog zum Feldtest verwendet, d.h. es erfolgt keine speziell auf eine Windintegration ausgerichtete Beladung der Fahrzeuge. In dieser Hinsicht könnte das Szenario als eher pessimistisch im Hinblick auf die ökologischen Annahmen angesehen werden, da die Beladung der E-Fahrzeuge auf die Windstromproduktion hin optimiert werden könnte. Andererseits besteht eine Korrelation der Beladung der E-Fahrzeuge des Feldtestes mit der PV- und KWK-Stromerzeugung im Stromnetz (da sie mit der PV- und KWK-Stromerzeugung im Objekt korreliert, welche wiederum mit der PV- und KWK-Stromerzeugung im Netz korreliert), was sich günstig auf den Strommix auswirken kann. Ferner könnte die Umsetzung einer am Börsenstrompreis orientierte Beladung der Fahrzeuge, zu einem höheren Kohlestromanteil führen (vgl. z.B. VW-Flottenversuch, Strommix-Berechnungen). Gegenüber diesem Fall dürfte die Verwendung der Ladesäulenlastgänge, welche keine gezielte Ladung zu den niedrigsten Strompreisen aufweisen, eher eine begünstigende Randbedingung darstellen. Diese Einschränkungen sollten bei der Bewertung des Szenarios berücksichtigt werden. Ferner bleiben etwaige Restriktionen, die bei der Windstromübertragung im Netz auftreten könnten, wodurch beispielsweise Abregelungen der Windenergie stattfinden müssten und nicht die volle erzeugte Energiemenge genutzt werden kann, unberücksichtigt.

5.4.1.3 Zeitlich hochaufgelöste Modellierung des Strommixes für die Ökobilanzen mit einem Kraftwerkseinsatzoptimierungsmodell

Für die Umweltbewertung des 3E-Systems spielen die Auswirkungen, die die Netzeinspeisung, die Eigenversorgung und der Netzstrombezug des 3E-Systems auf den Einsatz des konventionellen Kraftwerksparks haben, eine wichtige Rolle. Die Auswirkungen werden durch Vergleich mit dem Kraftwerkseinsatz in der Referenzvariante „Konventionell“ festgestellt. Methodisch wird so vorgegangen, dass die im Feldtest gemessenen zeitlich hochaufgelösten Daten zur Stromnachfrage und Stromerzeugung im Objekt zu stünd-

lichen Werten aggregiert werden und mit der übrigen deutschen stündlichen Stromnachfrage und Stromerzeugung aus erneuerbaren Energien verrechnet werden, so dass eine gemeinsame Stromnachfrage und Stromerzeugung aus erneuerbaren Energien resultiert (unter Berücksichtigung von Stromimport und Export). Die nicht durch erneuerbare Energien gedeckte Stromnachfrage muss durch die steuerbaren konventionellen Kraftwerke und Pumpspeicher gedeckt werden. Der Einsatz des deutschen Kraftwerksparks für diese Deckung wird mit stündlicher Auflösung mit Hilfe eines Kraftwerkseinsatzoptimierungsmodells simuliert. Die hohe zeitliche Auflösung ist dabei notwendig, um optimale Einsatzentscheidungen korrekt abzubilden. Durch Simulation des Kraftwerkseinsatzes für die Variante „Konventionell“ und „3E-Erdgas bzw. Biomethan“ und anschließendem Vergleich kann ermittelt werden, welche Stromerzeuger durch das BHKW und die PV-Anlage verdrängt werden und welche Stromerzeuger womöglich vermehrt zum Einsatz kommen. Die Strommehr- bzw. minderzeugung der verschiedenen Kraftwerke des deutschen Kraftwerksparks werden mit einem hochauflösenden Kraftwerkseinsatzoptimierungsmodell ermittelt, welches den Einsatz aller konventionellen Kraftwerke mit einer elektrischen Leistung > 100 MW des deutschen Kraftwerksparks zur Deckung der deutschen Stromnachfrage, der Stromexportnachfrage und der Wärmenachfrage, welche durch KWK-Anlagen zu decken ist, simuliert. Eine detaillierte Beschreibung des Modells findet sich in Oehsen (2012).

Der Vergleich der verschiedenen Varianten untereinander funktioniert im Detail wie folgt: In der Grundvariante wird der Kraftwerkseinsatz des Jahres 2016 zur Deckung der deutschen Gesamtstromnachfrage inklusive der Stromnachfrage der Variante „Konventionell“ simuliert. Hierzu wurden zunächst die stündliche deutsche Stromnachfrage, Import- und Exportnachfrage und Einspeisung der erneuerbaren Energien des Jahres 2016 aus den Daten des Agorameters (Agora Energiewende (2017)) bezogen. Von der stündlichen Stromnachfrage (netto, d.h. unter Verrechnung von Import- und Export und unter Berücksichtigung der Stromnachfrage des VHD) wurde wiederum die Einspeisung der erneuerbaren Energien abgezogen, so dass die Last verbleibt, welche durch den deutschen konventionellen Kraftwerkspark zu decken ist. Ferner wurden die Temperaturen des Jahres 2016 für verschiedene Klimaregionen bezogen, um die Wärmenachfrage der KWK zu simulieren. Die Brennstoffpreise schwanken unterhalb des Jahres teils recht stark, das Modell arbeitet jedoch mit durchschnittlichen Brennstoffpreisen. Auf eine exakte Kalibrierung der simulierten Stromerzeugung auf die reale Stromerzeugung nach Statistik wird verzichtet. Stattdessen wird das Modell über die Brennstoffpreise so einkalibriert, dass ein gegenüber der Statistik leicht erniedrigter Braunkohlestromanteil erreicht wird. Dieses geschieht vor dem Hintergrund, dass die Umweltbewertung für die kommenden Jahre Gültigkeit besitzen sollte und in diesen ein starker Rückgang der Braunkohlestromerzeugung stattfinden muss. Die simulierten Anteile der Energieträger an der Stromerzeugung im 2. Halbjahr 2016 im Szenario „Konventionell VHD“ sind in Tabelle 24 angegeben.

Tabelle 24: Durch die Kraftwerkseinsatzoptimierung simulierte Anteile der Energieträger an der Stromerzeugung für die Feldtestversorgungs-Variante „Konventionell“

Energieträger	Simulierter Anteil an der Stromerzeugung 2. Halbjahr 2016
Kernenergie	11,9 %
Erneuerbare	32 %
Gas	14,2 %
Braunkohle	18,2 %
Steinkohle	20 %
Müllverbrennungsanlagen	3,7 %

Im Ergebnis der Optimierung liegen die Strom- und Wärmeerzeugung der einzelnen deutschen Kraftwerke vor sowie die Anteile der Kraftwerke und der erneuerbaren Stromerzeuger an der Strombereitstellung. Dieser Strommix wird als Referenz an das Ökobilanzmodell Umberto übergeben.

Für die Bewertung der Effekte des 3E-Systems auf den deutschen Kraftwerkseinsatz wird nun ein Vergleichsszenario für die Variante 3E berechnet: hier wird die gemessene Netzeinspeisung des Feldtestobjektes zu Stundenwerten aggregiert und von der stündlichen deutschen Stromlast abgezogen. Der Netzbezug des Objektes wird auf die Gesamtstromlast aufaddiert. Um im Modell aussagekräftige Ergebnisse zu bekommen, wird dabei das Feldtestobjekt vervielfältigt (um den Faktor 50.000), andernfalls besteht aufgrund der niedrigen Stromerzeugung bzw. Stromnachfrage in Bezug auf die gesamte deutsche Nachfrage bzw. Erzeugung die Gefahr, dass die Effekte des 3E-Systems durch Rundungsfehler des Modells nicht erkennbar sind. Andererseits sind der Aussagekraft einer zu starken Vervielfältigung ebenfalls Grenzen gesetzt, da die angenommene Gleichzeitigkeit der vervielfältigten Objekte dann Artefakte im Kraftwerkseinsatz erzeugen kann (es würden dann Stromnachfragespitzen simuliert werden, die in der Realität so stark nicht auftreten würden).

Die Deckung der so geänderten Stromnachfrage durch den Kraftwerkspark wird erneut simuliert und die Veränderungen in der Stromerzeugung der Kraftwerke im Vergleich zur Variante Konventionell VHD betrachtet. Es zeigt sich, dass durch die Netzeinspeisung von BHKW und PV-Anlage fast ausschließlich der Einsatz von Gaskraftwerken vermieden wird. Die Auswirkungen des so geänderten Kraftwerkseinsatzes werden wiederum in UMBERTO berücksichtigt.

Für das Szenario **E-Fahrzeug + Windstrom im VHD** wird auf die deutsche Stromlast (abzüglich der Einspeisung der erneuerbaren Stromerzeugung) die Stromlast von Haushaltsstrom-, Allgmeinstrom und E-Fahrzeug-Stromverbrauch aufaddiert und die Stromerzeugung der zusätzlichen Windenergie von der so erhaltenen Gesamtstromnachfrage abgezogen und anschließend der Kraftwerkseinsatz simuliert. Es kann

mehr konventionelle Stromerzeugung aus Kraftwerken gegenüber der „Variante Konventionell VHD“ vermieden werden, da die Verluste des stationären Batteriespeichers in dem Szenario stark zu Buche schlagen. Diese verbrauchte im Betrachtungszeitraum 2. Halbjahr 2016 1.110 kWh, dementsprechend hochgerechnet auf das Jahr 2.220 kWh. Die Speicherverluste betragen in diesem Fall ca. 100 % des E-Fahrzeug-Stromverbrauchs.

5.4.2 Ökobilanz des VHD

5.4.2.1 Eingangsdaten für die Ökobilanzen der Versorgungsvarianten im VHD

Im Folgenden wird für die im Abschnitt 5.4.1.2 festgelegten Versorgungsvarianten dargelegt, welche Eingangsdaten für die Ökobilanzen jeweils verwendet werden.

Bei **Konventionell VHD** als „business-as-usual“ Variante werden die im Feldtest gemessenen Stromlastgänge von Haushalten und Allgemeinstromverbrauch als Stromnachfragelastgang angesetzt. Statt einer Stromnachfrage durch E-Fahrzeuge wird der Einsatz von zwei konventionellen Benzin-Pkw mit der im Feldtest gemessenen Fahrleistung der E-Fahrzeuge bilanziert. Zusätzlich wird hier die ÖPNV-Nutzung bilanziert, die im Feldtest entsprechend der Abschlussbefragung durch die E-Fahrzeuge substituiert wurde. Da keine näheren Informationen zu den im ÖV genutzten Verkehrsträgern vorlagen, wurde hier von einer Gleichverteilung zwischen Regionalzug, Bus und Tram ausgegangen. Für die 15 %-ige solarthermische Unterstützung des Gasbrennwertkessels wird eine Kollektorfläche von 58 m² bei der Infrastruktur berücksichtigt, so wie ein Wärmespeicher.

3E VHD mit Erdgas stellt den Feldtestzustand im VHD dar, da dort fossiles Erdgas für die Versorgung des BHKW bezogen wird. Die funktionelle Einheit des Wärme- und Strombedarfes sowie des Bedarfes an Mobilität wird aus den Messdaten des 2. Halbjahres 2016 abgeleitet. Es werden nur die Feldtestdaten des 2. Halbjahres 2016 berücksichtigt, da die 3E-Optimierung erst im 2. Halbjahr 2016 im VHD zum Einsatz kam. Um ein ganzes Jahr zu bilanzieren, werden die Werte jedoch mit zwei multipliziert. Das Ziel ein ganzes Messjahr, beispielsweise von September 2016 bis September 2017 zu berücksichtigen, konnte aufgrund der Tatsache, dass die Daten zur Einspeisung erneuerbarer Energien und der deutschen Stromnachfrage, welche zur Berechnung der Wechselwirkungen des 3E Systems mit dem Kraftwerkspark (siehe Abschnitt 5.4.1.3) benötigt werden, bis dato noch nicht für das Jahr 2017 erhältlich sind, nicht umgesetzt werden. Für die Deckung der Mobilitätsnachfrage werden die Infrastrukturaufwendungen für die Herstellung der bereits vorhandenen Verbrennungs-Pkw der Bewohner, deren Emissionen und Kraftstoffverbrauch und die zwei E-Fahrzeuge berücksichtigt.

Der Pkw-Bestand der Bewohner konnte über die Eingangsbefragung abgebildet werden, es liegen jedoch keine individuellen Daten zu den jeweiligen Fahrzeugtypen und der Jahresfahrleistung vor. Daher wurden von Benzin-Pkw der Kompaktklasse mit für Deutschland durchschnittlicher Jahresfahrleistung (TREMODO) ausgegangen, zusätzlich der im Feldtest vermutlich durch E-Fahrzeuge ersetzten Fahrleistung. Das vom BHKW bezogene Gas für die Bereitstellung von Strom- und Wärme ist im Feldtest rein fossiles Erdgas und wird hier als solches bilanziert.

Die Varianten **3E VHD Biometh. (Anbau)** und **3E VHD Biometh. (Reststoffe)** sind von der Konfiguration und den betrachteten Energieflüssen identisch mit der Variante 3E VHD mit Erdgas mit Ausnahme der Gaslieferung. Hier wird in der Variante 3E VHD Biometh. (Anbau) Biomasse aus nachwachsenden Rohstoffen bilanziert, während in der Variante 3E VHD Biometh. (Reststoffe) Biomethan aus Gülle angenommen wird. Die Vorketten Emissionen für Biomethan aus Anbaubiomasse und Biomethan aus Reststoffen stammen aus.

Tabelle 25: Übersicht der betrachteten Varianten für den VHD

Szenario	Verbrenner	E-Fahrzeuge	Gas	Strom	BHKW	Stat. Batterie	PV
Konventionell VHD	6	-	Fossil	Netz	Nein	Nein	Nein
3E VHD mit Erdgas	6	2	Fossil	Eigen/ Marginal	Ja	Ja	Ja
3E VHD Biometh. (Anbau)	6	2	Anbaubiomasse	Eigen/ Marginal	Ja	Ja	Ja
3E VHD Biometh. (Reststoffe)	6	2	Reststoffe	Eigen/ Marginal	Ja	Ja	Ja
EKFZ + Windstrom im VHD	6	2	Fossil	Windzubau	Nein	Nein	Nein

5.4.2.2 Ergebnisse für den VHD

Beim Vergleich der jährlichen CO₂-Äquivalent-Emissionen für die Bereitstellung der funktionellen Einheit aus Strom, Wärme und Mobilität zeigt sich eine Einsparung von 36 % bzw. 16,7 t CO₂ Äquivalenten pro Jahr gegenüber der Variante Konventionell VHD. Wenn das bezogene Erdgas durch Biomethan aus Anbaubiomasse ersetzt wird, so kann die Einsparung auf 58 % gesteigert werden. Bei Einsatz von Biomethan aus Reststoffen (Gülle) werden Treibhausgasemissionen (THG-Emissionen) in der Vorkette der Biomasse eingespart, da kein Dünger für den Anbau eingesetzt werden muss. Die THG-Einsparungen gegenüber der Variante „Konventionell VHD“ erhöhen sich dadurch nochmals deutlich auf 81 %.

Im Szenario ohne BHKW und PV-Anlage (E-Fahrzeug + Windstrom VHD) resultiert eine klimaneutrale Bilanz, da die Windstromerzeugung zusätzliche konventionelle Kraftwerke verdrängt und die Emissionen, die durch die Gasverbrennung, den Kraftstoffverbrauch und die Emissionen, welche bei der Herstellung der Komponenten entstehen, komplett kompensiert werden können.

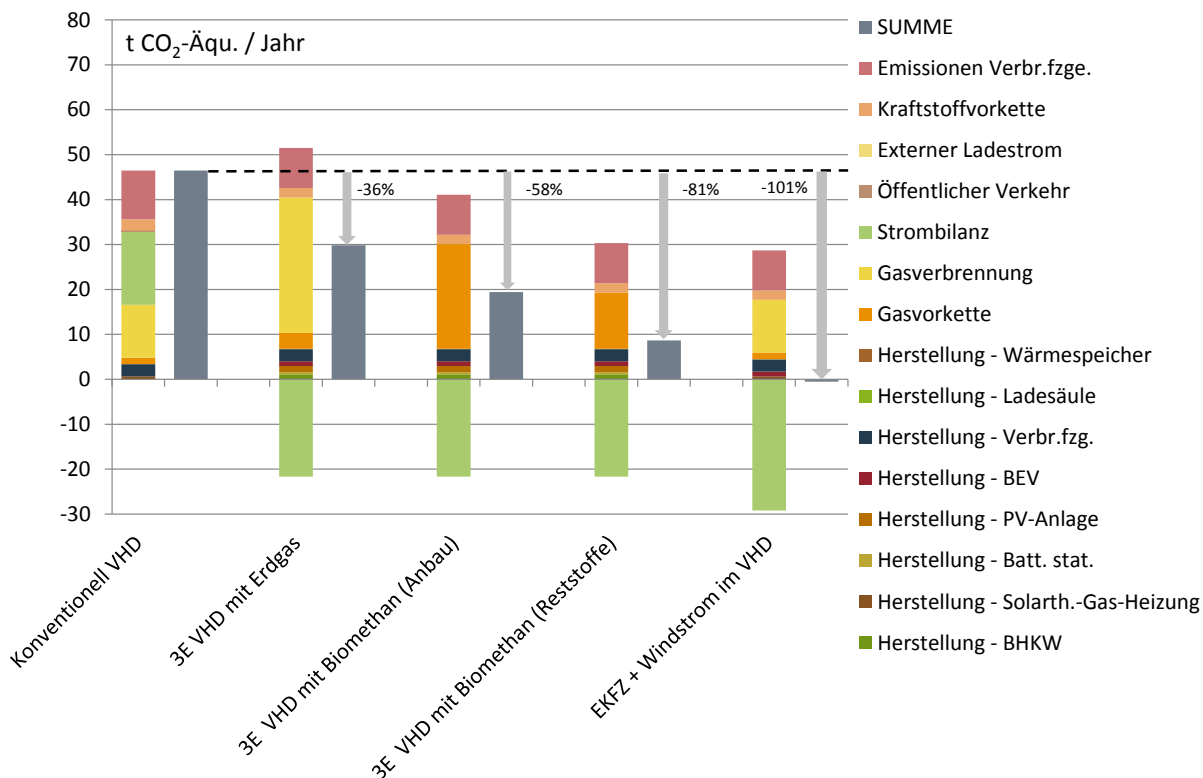


Abbildung 57: Klimawirkung der betrachteten Varianten für den VHD

Die Betrachtung der Versauerungswirkung (SO₂-Äquivalent-Emissionen) in Abbildung 58 zeigt, dass diese stark durch die Gasvorkette beeinflusst wird. Die Feldtestvariante (3E VHD mit Erdgas) erzeugt hier ebenfalls eine deutliche Verbesserung um 43 % gegenüber der Variante Konventionell VHD. Bei Einsatz von Biomethan aus Anbaubiomasse ergibt sich jedoch eine deutlich größere Versauerungswirkung. Die Bereitstellung von Biomethan aus Reststoffen schneidet gegenüber der Anbaubiomasse wiederum besser ab und führt damit noch zu einer Reduktion der Versauerungswirkung gegenüber der Variante Konventionell VHD um 14 %. Für den Fall der Anbaubiomasse ist die Versauerungswirkung der konventionellen Variante vergleichbar. Besonders positive Effekte ergeben sich für den Fall ohne BHKW und PV-Anlage mit zusätzlichem Windstrom. Da durch die Windstromerzeugung auch konventionelle Kraftwerke verdrängt werden, ist die Versauerungswirkung näherungsweise neutral.

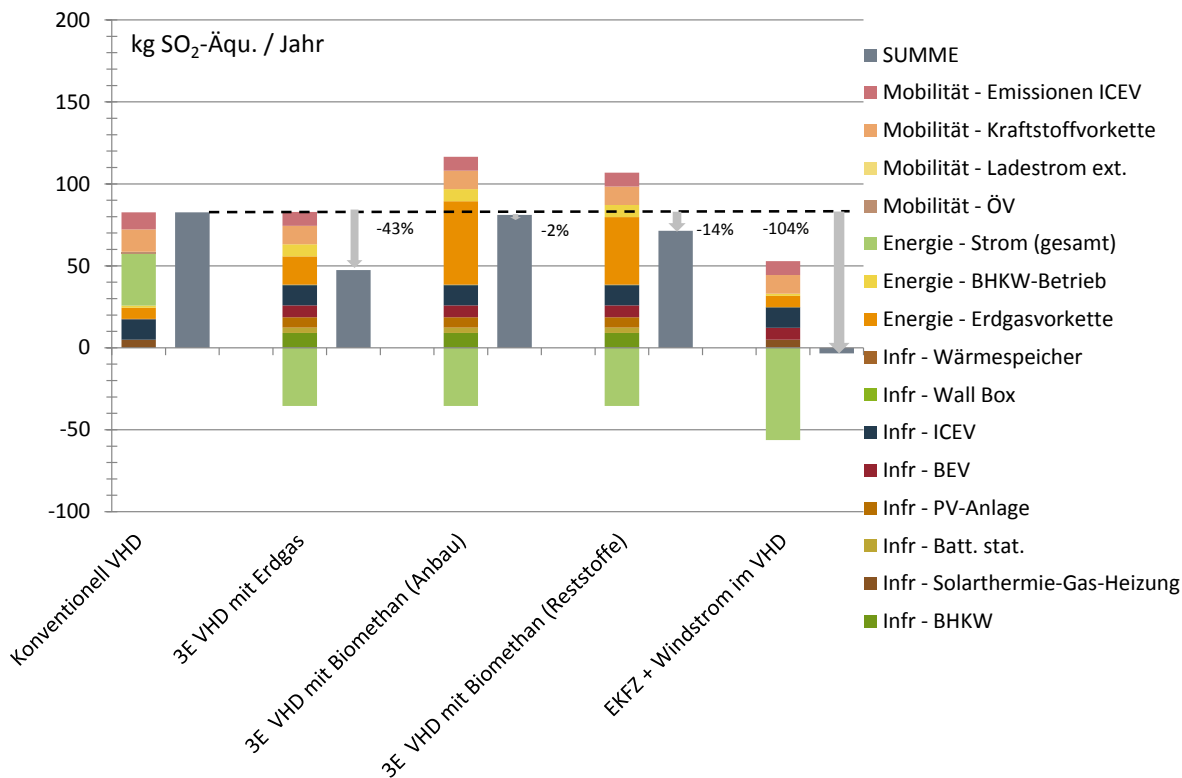


Abbildung 58: Versauerungswirkung der betrachteten Varianten für den VHD

5.4.3 Ökobilanz der MTS

5.4.3.1 Beschreibung der Eingangsdaten für die Ökobilanzen der Versorgungsvarianten in der MTS

Die Umweltvor- und gegebenenfalls auch Nachteile des 3E-Systems werden für die MTS analog zum VHD bewertet. Dabei wird die Feldtestkonfiguration („3E MTS mit Biomethan“) mit einer „Business as Usual“-Variante (Konventionell MTS) und anderen umweltfreundlicheren Alternativen verglichen. Im Folgenden werden die Eingangsdaten und das Vorgehen beschrieben:

Bei **Konventionell MTS** werden statt der E-Fahrzeuge zwei Verbrennungs-Pkw der gleichen Größenklasse mit entsprechenden Fahrleistungen bilanziert. Ein Mobilitätsverhalten darüber hinaus wird für die MTS mangels spezifischer Information dagegen nicht bilanziert. Insofern wird hier die optimistische Annahme getroffen, dass die E-Fahrzeuge zu 100 % Verbrennungsfahrzeuge ersetzen konnten.

3E MTS mit Biomethan aus Reststoffen stellt den Feldtestzustand mit 3E-Ertüchtigung dar (3E MTS Bio-meth. (Reststoffe)). Das BHKW versorgt hier nicht nur die MTS c, sondern auch die Gebäude a und b, sowie zwei weitere, nicht zum Passivhausstandard sanierte Wohnungen. Die Wärmenachfrage als Teil der funktionellen Einheit wird auf die im Feldtest durch das BHKW gelieferte komplette Wärmenachfrage gesetzt, d.h. in den alternativen Varianten werden ebenfalls nicht nur das Gebäude c, sondern auch die anderen Verbraucher MTS a und b sowie die zwei weiteren Wohnungen mit Wärme versorgt. Für die Lieferung von Haushaltsstrom konnten hingegen nicht alle Bewohner der MTS c gewonnen werden, sondern

lediglich drei Wohnungen und die Allgemeinstromversorgung. In der funktionellen Einheit werden daher nur diese Kunden berücksichtigt, da die 3E-Optimierung auf den Stromverbrauch dieser LichtBlick-Kunden und nicht des gesamten Gebäudes hin erfolgte. Die 3E-Optimierung ging in der MTS erst im Oktober in Betrieb, daher stellen die Ergebnisse eine Mischung des konventionellen Betriebes und der 3E-Optimierung dar. Hier werden aus selbigem Grund wie für den VHD nur die Messdaten des 2. Halbjahres 2016 berücksichtigt und mit zwei multipliziert, um eine Bilanz für ein komplettes Jahr zu erhalten.

Für die MTS konnten über die Befragung keine umfassenden Informationen zum Mobilitätsverhalten und dem Pkw-Besitz ermittelt werden, daher wird allein der Bestand an E-Fahrzeuge in der Ökobilanz abgebildet. Berücksichtigt werden dabei die Infrastrukturaufwendungen für die Herstellung der zwei E-Fahrzeuge¹³ sowie die Nutzung entsprechend der Fahrdatenauswertung. Das vom BHKW bezogene Gas für die Bereitstellung von Strom- und Wärme war im Feldtest Biomethan aus Reststoffen und wird hier als solches bilanziert. Die Varianten **3E MTS Biometh. (Anbau)** und **3E MTS mit Erdgas** sind von der Konfiguration und den betrachteten Energieflüssen identisch mit der Variante 3E MTS mit Biomethan (Reststoffe) mit Ausnahme der Gaslieferung. Hier wird in der Variante 3E MTS Biometh. (Anbau) Biomasse aus nachwachsenden Rohstoffen bilanziert, während in der Variante 3E MTS mit Erdgas die Nutzung fossilen Erdgases (wie im VHD) angenommen wird.

Tabelle 26: Übersicht der betrachteten Varianten für MTS

Szenario	Verbrenner	E-Fahrzeuge	Gas	Strom	BHKW	Stat. Batterie	PV
Konventionell MTS	3	3	Fossil	Netz	Nein	Nein	Nein
3E MTS mit Erdgas	-	3	Fossil	Eigen/ Marginal	Ja	Ja	Ja
3E MTS Biometh. (Anbau)	-	3	Anbaubio- masse	Eigen/ Marginal	Ja	Ja	Ja
3E MTS Biometh. (Reststoffe)	-	3	Reststoffe	Eigen/ Marginal	Ja	Ja	Ja
EKFZ + Windstrom im VHD	-	3	Fossil	Wind- zubau	Nein	Nein	Nein

¹³ Ursprünglich wurde die MTS mit drei E-Fahrzeugen ausgestattet. Eines wurde jedoch aufgrund der niedrigen Nachfrage durch LichtBlick eingezogen und wird daher nicht mit bilanziert

5.4.3.2 Ergebnisse für die MTS

Die CO₂-Äquivalent-Emissionen in der MTS (siehe Abbildung 59) stellen sich deutlich anders dar als für den VHD. Dies liegt vor allem an dem niedrigen Eigenverbrauch durch einen eingeschränkten Teilnehmerkreis. Entsprechend hoch ist daher die Netzeinspeisung. Im Feldtestfall eines 3E-Systems unter Nutzung von Biomethan aus Reststoffen erfolgt eine Reduzierung der Treibhausgasemissionen gegenüber der konventionellen Variante um 196 %. Es werden also über eine klimaneutrale Variante des Feldtestgebäudes hinaus zusätzlich Treibhausgasemissionen in Höhe der konventionellen Variante vermieden. Die Bilanz des Szenarios ohne BHKW und PV-Anlage aber mit zusätzlichem Windstrom ist vergleichbar. Es werden einerseits verstärkt konventionelle Kraftwerke im Netz verdrängt, auf der anderen Seite wird jedoch im Gebäude auch noch fossiles Erdgas eingesetzt.

Etwas niedriger läge die Reduktion gegenüber der konventionellen Variante bei Nutzung von Biomethan aus Anbaubiomasse (-148 %), noch niedriger bei der Verwendung von fossilem Erdgas (-101 %). Auch dann wird jedoch eine weitgehend klimaneutrale Bilanz erreicht.

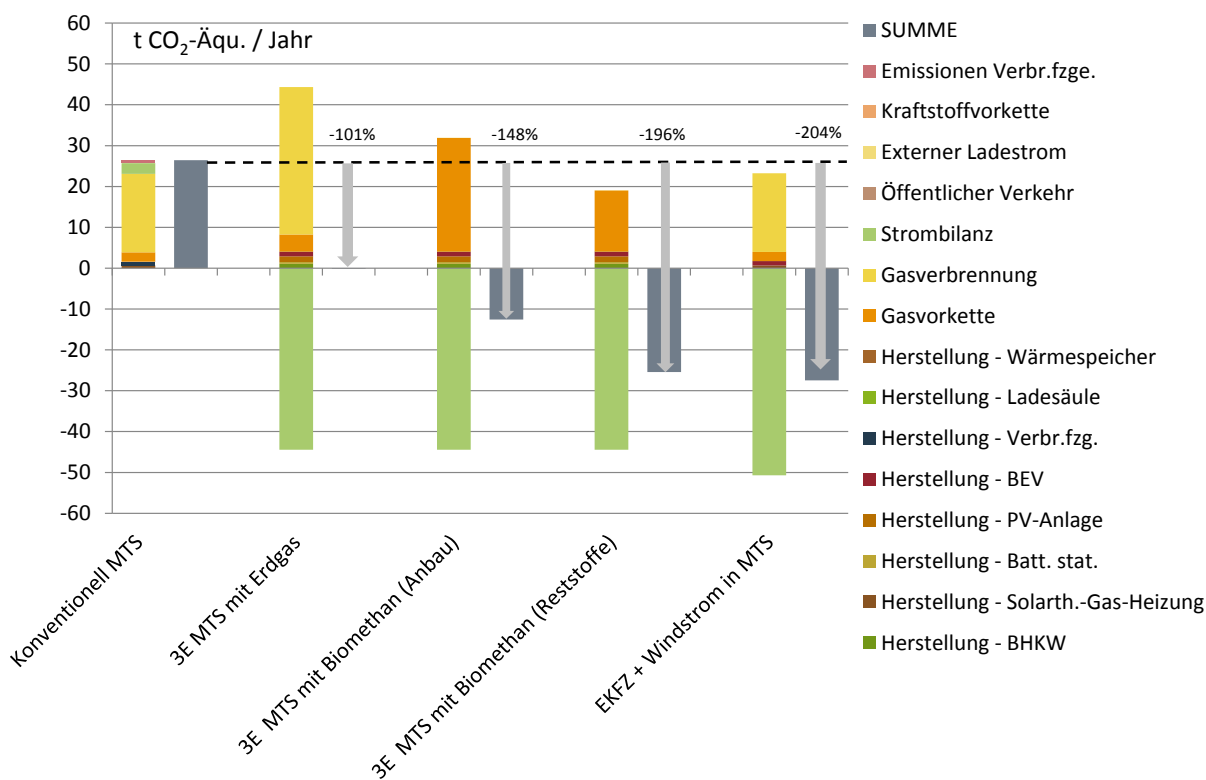


Abbildung 59: Klimawirkung der betrachteten Varianten für die MTS

Die Versauerungswirkung (SO₂-Äquivalent-Emissionen) in Abbildung 60 ist wie im VHD stark durch Gasvorkette beeinflusst. Die Feldtestvariante (3E MTS mit Biomethan (Reststoffe)) zeigt auch hier eine deutliche Verbesserung um 83 % gegenüber der Variante Konventionell MTS. Bei Einsatz von Biomethan aus

Anbaubiomasse ergibt sich immer noch eine Reduktion der Versauerungswirkung um 44 %. Deutlich besser schneidet dagegen mit -181 % der Einsatz fossilen Erdgases ab, da vor allem die Biomethanaufbereitung mit starker Versauerungswirkung verbunden ist.

Besonders positive Effekte ergeben sich für den Fall ohne BHKW und PV-Anlage mit zusätzlichem Windstrom. Da durch die Windstromerzeugung auch konventionelle Kraftwerke verdrängt werden, ist die Versauerungswirkung deutlich positiv (-342 %).

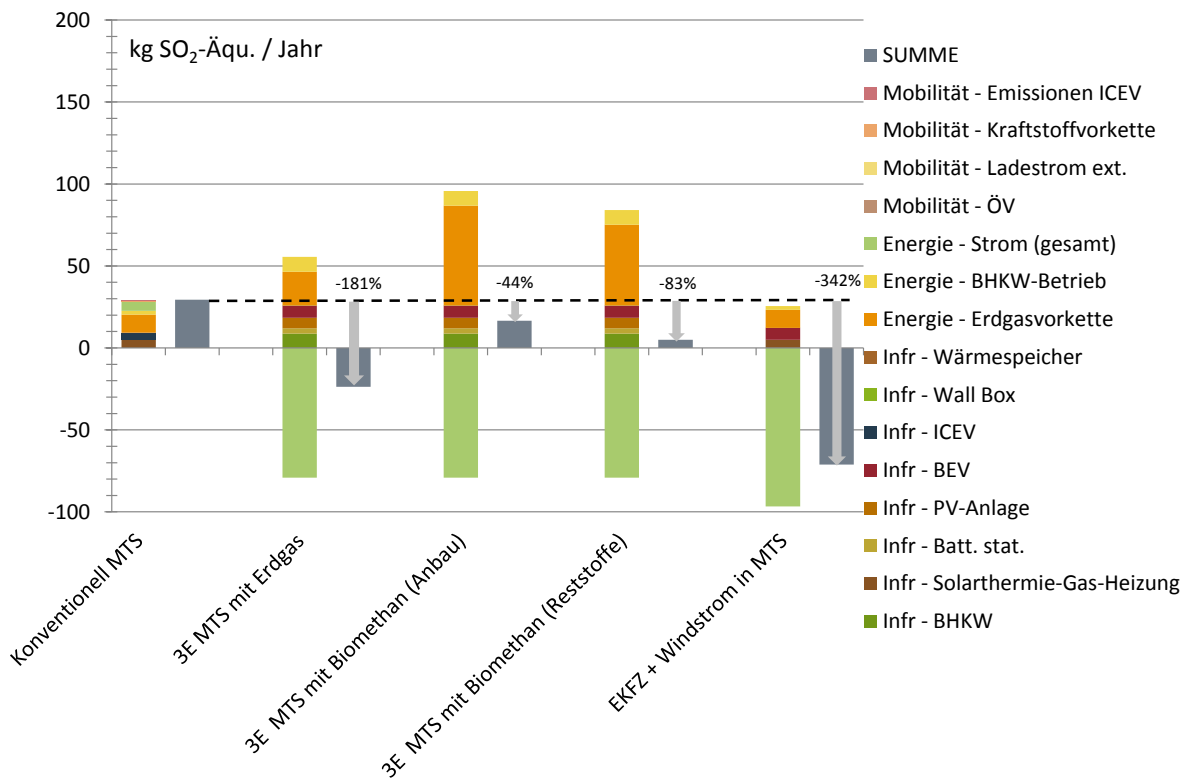


Abbildung 60: Versauerungswirkung der betrachteten Varianten für die MTS

5.4.4 Fazit der Ökobilanzen des Feldtests

Die Umweltbilanzen beider Feldtestobjekte zeigen eine deutlich positive Klimabilanz des 3E-Systems gegenüber der konventionellen Variante und auch bei der Versauerungswirkung ergeben sich durchweg positive Effekte gegenüber der konventionellen Variante. Die positive Umweltbilanz ist dabei zu einem Großteil auf den Zubau erneuerbarer Stromerzeugungskapazität (PV-Anlage) zurückzuführen. Ambivalent ist dagegen die Umweltbilanz des Einsatzes von Biomethan statt Erdgas im BHKW zu beurteilen: Hinsichtlich der Klimabilanz fällt die Bilanz hier besonders positiv aus, bei der Versauerung ist der Vorteil jedoch geringer als bei einer Variante mit fossilem Erdgas. Etwaige negative Wirkungen auf Umwelt- und Ressourcen in anderen Bereichen müssen also beim Einsatz von Biomethan berücksichtigt werden. Dies gilt insbesondere beim Einsatz von Biomethan aus Anbaubiomasse. Hier fällt die Umweltbilanz deutlich weniger positiv

aus, zusätzlich können (indirekte) Landnutzungsänderungen und Konkurrenz zur Nahrungsmittelproduktion zu weiteren negativen Nebenwirkungen führen.

Um die Relevanz der Umweltbelastung durch die hier systemisch betrachtete Strom- und Wärmebereitstellung sowie Teilen der Mobilität für die untersuchten Kategorien abzuschätzen, kann die Wirkungen auf Einwohnerdurchschnittswerte (EDW) für Deutschland normiert werden. Einwohnerdurchschnittswerten entsprechen der durchschnittlichen jährlichen Umweltbelastung eines Deutschen in der jeweiligen Wirkungskategorie. Damit ist eine schnelle Einordnung der Relevanz dieses Beitrags gegenüber den Gesamtemissionen und auch zwischen den Wirkungskategorien möglich. Anschaulich möglich ist eine solche Einordnung für den VHD möglich, da hier die Strom- und Wärmebereitstellung für alle Bewohner des Hauses erfolgt. Die jährlichen Treibhausgasemissionen des konventionellen Systems entsprechen hier 4,3 EDW und liegen für die 3E-Varianten entsprechend niedriger (2,7 EDW für das Feldtestobjekt). Der Klimabeitrag ist insgesamt also als sehr relevant einzustufen, liegt aber im Vergleich zur Anzahl der Bewohner niedrig. Bei der Versauerung liegt der Beitrag mit 2,6 EDW für die konventionelle Variante und 1,5 EDW für das Feldtestobjekt zwar in einer ähnlichen Größenordnung, jedoch deutlich niedriger. Der Versauerungsbeitrag ist also durchaus relevant, jedoch geringer als der Klimabeitrag.

Nichtsdestotrotz ist aus Umweltsicht die Rolle des BHKW ambivalent, da die Energieversorgung langfristig vollständig erneuerbar erfolgen muss um die Klimaschutzziele zu erreichen. Dies kann im BHKW nur über den Einsatz Biomethan erfolgen. Das Potenzial für den ökobilanziell vorteilhaften Einsatz von Biomethan aus Reststoffen ist dabei jedoch begrenzt. Bei Einsatz von Biomethan aus Anbaubiomasse fällt dagegen die Umweltbilanz weniger positiv aus. Dementsprechend schneidet für eine vollständig auf Windstromerzeugung basierenden Strombereitstellung (E-Fahrzeug + Windstrom) sowohl die Klima- als auch die Versauerungsbilanz am besten ab.

6 Übertragbarkeit der Feldtestergebnisse

Die Ergebnisse der Feldtestobjekte zeigen, dass ein wirtschaftlicher Betrieb der betrachteten Gebäudeklasse unter den Rahmenbedingungen von 2014 (Investitionszeitpunkt) nicht erreichbar ist. Im Folgenden ist zu analysieren, ob eine Anwendung des Konzepts der 3E-Optimierung auf den Gebäudebestand in Deutschland in anderen Gebäudeklassen zu besseren Ergebnissen führen kann. Hierzu wird einerseits eine Analyse des Gebäudestands an MFH vorgenommen. Der Neubau wird in verschiedenen Szenarien abgebildet. Zudem wird eine Übertragung auf EFH vorgenommen. Hierzu wird die technische Auslegung entsprechend angepasst.

Es muss jedoch ergänzend dazu erwähnt werden, dass eine rein wirtschaftliche Bewertung zu kurz greift. Vielmehr ist das Erreichen eines möglichst hohen Autarkiegrades ein gegenläufiges Ziel, aber in einer Gesamtbewertung zusammen mit der ökologischen Bewertung unbedingt mit einzubeziehen.

6.1 Relevanz des 3-E MFH-Systems für den Gebäudebestand und den Neubau

Um eine Relevanz für den Gebäudebestand zu bewerten, muss ermittelt werden, welches Gebäudepotenzial in Deutschland in den kommenden Jahrzehnten für das Konzept zur Verfügung steht. Hier muss zunächst die grundlegende Analyse des Gebäudebestandes in Deutschland erfolgen. Das bedeutet, dass eine Unterscheidung nach Gebäudetypen vorgenommen werden muss, indem zwischen Ein- und Zweifamilienhäusern (im Folgenden EFH) und Mehrfamilienhäusern (MFH) unterschieden wird. Im Anschluss muss einerseits die Gesamtanzahl an MFH mit den jeweiligen Wärmebedarfen abgeschätzt und andererseits der Anteil ermittelt werden, der technisch durch einen vorhandenen Gasanschluss für den Betrieb eines BHKW geeignet ist.

Für die Bewertung der Gesamtanzahl bzw. wie viele Gebäude und welche Energiemengen den oben definierten Filterkriterien im heutigen und zukünftigen Wohngebäudebestand entsprechen, wird das ifeu Gebäudemodell GEMOD eingesetzt. Das Modell berechnet, ausgehend von einer statistischen Datenbasis des heutigen Gebäudebestandes (basierend auf IWU [2011] und dem Zensus 2011), die Entwicklung des Raumwärme- und Warmwasserwärmebedarfs für vorgebbare Szenarien der Sanierungstätigkeit. Vorgebar sind unter anderem die zukünftige Entwicklung der Sanierungsrate und Sanierungstiefe (d.h. Dämmstärken bzw. U-Werte) für die Bauteile der Außenhülle Dach, Wand, Keller und Fenster sowie Neubau- und Abrissraten und Ausstattung mit Wärmerückgewinnungsanlagen. Die Wärmebedarfsberechnung der einzelnen Gebäudetypen erfolgt nach dem Monatsbilanzverfahren der DIN 4108-6 sowie gemäß der 4701-10. Ein Verbrauchs-Bedarfsabgleich wird im Modell angelehnt an die empirisch erhobenen Faktoren nach [IWU 2011] vorgenommen.

GEMOD berechnet den Raumwärme- und Warmwasserbedarf des deutschen Gebäudebestands über die Modellierung des Wärmebedarfs einzelner Gebäudetypen, welche typische Vertreter von Gebäuden einer Baualtersklasse sind.

Die Typvertreter der Wohngebäude werden in freistehende EFH, Reihenhäuser, MFH und Große Mehrfamilienhäuser (GMH), sowie nach den Baualtersklassen der Abbildung 61 differenziert.

Baualtersklasse	Baubeginn	Bauende
A	-	1859
B	1860	1918
C	1919	1948
D	1949	1957
E	1958	1968
F	1969	1978
G	1979	1983
H	1984	1994
I	1995	2001
J	2002	2011
K	2012	2020
L	2021	2035
M	2036	2050

Abbildung 61: Baualtersklassen mit Bezeichnungen des ifeu Gebäudemodells GEMOD

Die Summe des Wärmebedarfs aller Typvertreter gewichtet mit ihrer statistischen Häufigkeit (welche in [IWU 2013] ermittelt wurde) ergibt den Gesamtwärmebedarf des deutschen Gebäudebestandes:

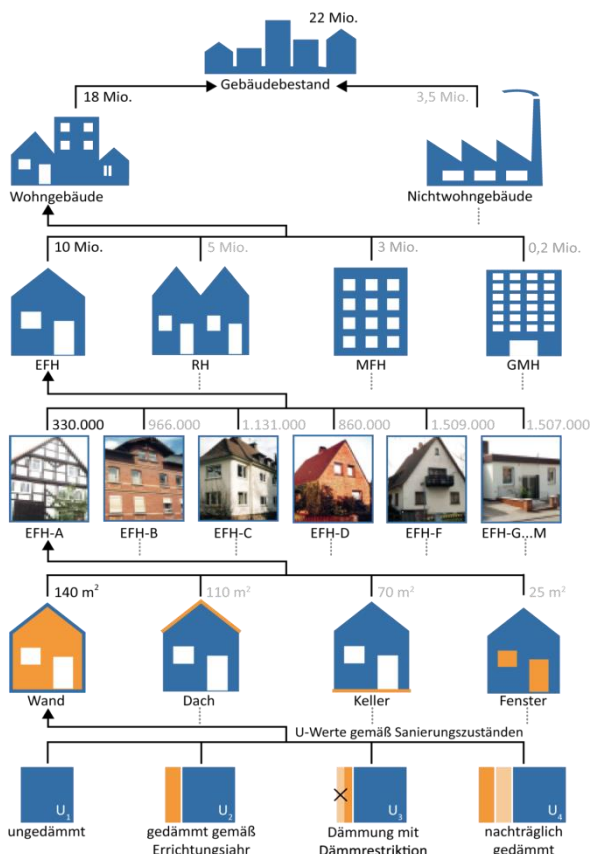


Abbildung 62: Darstellung der Bottom-up Modellierung für einzelne Gebäudetypvertreter und Hochrechnung auf den deutschen Gebäudebestand durch das Modell GEMOD

Als Szenario für die Bewertung der Relevanz des 3E-Systems wird hier eine ambitionierte Entwicklung der energetischen Sanierungstätigkeit modelliert, mit welcher der Zielwert des Energiekonzeptes von 72 Millionen Tonnen direkte CO₂-Emissionen aus Gebäuden eingehalten wird. Hierzu werden die U-Werte, welche bei Sanierungen gewählt werden gegenüber dem heutigen Anforderungsniveau stark verbessert. Im beschriebenen ambitionierten Klimaschutzszenario in GEMOD ergibt sich für die Jahre 2020, 2030 und 2050 folgendes Bild:

Tabelle 27: Gebäudetypen nach Dämmstandard

	2020	2030	2050
Gebäudeanzahl mit jährlichen einem Mindestwärmebedarf von weniger als 50 kWh/m²	2.527.771	6.369.927	16.824.080
Gebäudeanzahl mit jährlichen einem Mindestwärmebedarf von weniger als 70 kWh/m²	9.123.795	13.380.545	17.768.377
Gebäudeanzahl mit jährlichen einem Mindestwärmebedarf von weniger als 90 kWh/m²	13.430.666	16.088.303	18.019.043
Gebäudeanzahl mit jährlichen einem Mindestwärmebedarf von weniger als 110 kWh/m²	17.949.744	18.896.574	18.085.251
Gebäudeanzahl mit jährlichen einem Mindestwärmebedarf von weniger als 130 kWh/m²	19.213.645	19.558.115	18.101.409
Gebäudeanzahl mit jährlichen einem Mindestwärmebedarf von mehr als 130 kWh/m²	124.868	18.290	4
Gesamtanzahl	19.338.513	19.576.405	18.101.413

Hier ist zu erkennen, dass sich durch Entwicklungen im Dämmstandard bis 2050 eine zunehmende Verschiebung der Gebäude mit einem schlechteren Dämmstandard hin zu einem besser gedämmten Standard abzeichnet. So muss im ambitionierten Klimaschutzszenario der Anteil der Gebäude mit einer hochwertigen

Dämmung (<50kWh/m²&Jahr) von 2,5 Mio. Wohneinheiten auf 16,8 Mio. Wohneinheiten steigen. Das ergibt einen Anteil von 93 % aller Wohneinheiten.

Es handelt sich bei den Zahlen um die Gesamtanzahl an Gebäuden in Deutschland. Um eine Anwendung auf das 3E-Konzept vorzunehmen, muss zwischen den Gebäudetypen nach Anzahl der Wohneinheiten unterschieden werden. Hierzu wurden die EFH und Reihenhäuser in eine Klasse (EFH) zusammengefasst. Sie können auf das erprobte Konzept nicht angewendet werden. Vielmehr sind die MFH und größere Mehrfamilienhäuser (GMH) von Relevanz. Diese sind in der folgenden Tabelle in den unteren beiden Spalten separiert dargestellt:

Tabelle 28: Gebäudetypen nach Anzahl Wohneinheiten

	2020	2030	2050
EFH	16.014.204	16.328.417	15.287.219
MFH	3.084.830	2.987.447	2.545.254
GMH	239.479	260.541	268.940
Gesamt	19.101.054	19.317.894	17.834.523

Das 3E-MFH-Konzept inklusive Mieterstrom ist somit für etwa 17,5 % aller Gebäude (3.084.830 MFH und 239.479 GMH) relevant. Dieser Anteil reduziert sich bis 2050 geringfügig weiter auf etwa 2.8 Mio. Gebäude bzw. 15,7 % der Gebäude bundesweit.

Der Gebäudebestand im gleichen Segment der Feldtestobjekte wird somit in den kommenden Jahrzehnten von rund 3 Mio. Wohngebäuden auf etwa 2,5 Mio. Wohngebäude sinken. Die Auswertung und wirtschaftliche Bewertung der Feldtestobjekte hat ergeben, dass sich mit der Erschließung der betrachteten Gebäudeklasse erst ein profitables Geschäftsmodell abzeichnet, wenn sich die Rahmenbedingungen, wie z.B. Investitionskosten positiv verändern. Eine weitere Betrachtung dieses Segmentes ist somit hier beendet. Vielmehr ist die GMH-Klasse von Bedeutung, um eine alternative Auslegung in Betracht zu ziehen. Auch wenn diese Gebäudeklasse relativ an der Gesamtanzahl an Gebäuden einen geringen Anteil ausmacht, so ist dieses Marktsegment das einzige mit einem Zuwachs in den kommenden Jahrzehnten und der erwartete Zuwachs mit knapp 30.000 neuen größeren MFH für Mieterstromprojekte interessant. Dies gilt insbesondere, weil die Einrichtung der Kundenanlage in Neubauten mit Blick auf die Umrüstung von Bestandsanlagen vergleichsweise kostengünstig erfolgen kann. Zudem können Einmalkosten auf eine größere Anzahl an Bewohnern verteilt werden.

Eine exemplarische Simulation des 3E-Modells auf einen Gebäudetyp dieses Segments soll daher im Folgenden vorgenommen und die Wirtschaftlichkeit ermittelt werden. Dafür wird ein exemplarisches MFH mit einem Jahresplanverbrauch von 250.000 kWh und 27 Wohneinheiten mit einem Gesamtstrombedarf von 81.000 kWh verwendet. Wird in diesem Objekt ein BHKW eingesetzt, so ergibt sich ein Grundlastbetrieb von etwa 6.000 Vollbenutzungsstunden pro Jahr. Zudem muss ein Spitzenlastkessel (hier Logano plus GB 202 mit 98 kW(th)) die Wärmelastspitzen abdecken. Analog der Methodik der Wirtschaftlichkeitsbetrachtung der Feldtestobjekte ergibt sich durch die Simulation dieses GMH.

Tabelle 29: Energiemengen zur Bestimmung der Betriebskosten

Messpunkt	GMH-Musterhaus	Einheit
Elektrische KWK-Erzeugung	116.592	kWh/a
Elektrische KWK-Einspeisung	45.835	kWh/a
Elektrische KWK-ZuhauseStrom	70.757	kWh/a
PV-Erzeugung	88.316	kWh/a
PV-Einspeisung	72.729	kWh/a
PV-ZuhauseStrom	15.587	kWh/a
Wärmebedarf	250.000	kWh/a
Gasverbrauch	320.419	kWh/a
3E-Netzbezug	0	kWh/a
PV-Eigenverbrauchsanteil	19,2 %	
KWK-Eigenverbrauchsanteil	80,8 %	
Autarkiegrad	100 %	

Bezogen auf das simulierte Musterjahr 2016 ergeben sich folgende Kosten für den Betrieb der Installation:

Tabelle 30: anfallende Betriebskosten

Kostenstelle	GMH-Musterhaus	Einheit
Gas	13.586	€/a
BHKW-Wartung	3.644	€/a
Reststrom-Bezug	0	€/a
Zählerkosten	1.692	€/a

Die Kosten für den Reststrombezug inkl. EEG-Umlage entfallen hier, weil die Dimensionierung der PV-Anlage in Kombination mit dem BHKW in der Lage sind, den gesamten Strombedarf im Objekt zu decken. Anders als in der Kalkulation der Feldtestobjekte müssen allerdings die Zählerkosten berücksichtigt werden, weil eine Verrechnung mit den Stromkosten hier nicht möglich ist. Die Zählerkosten ergeben sich aus den Kosten für den Summenzähler am Hausanschluss, die Zähler an den Erzeugungsanlagen und die Zähler der einzelnen Wohneinheiten. Da es sich um eine Kundenanlage nach EnWG § 3 Abs. 24a handelt, entfallen die Entgelte des zuständigen Verteilnetzbetreibers. Dennoch sind hier für den Messstellenbetrieb Kosten anzusetzen. Dies betragen je Smartmeter 24 Euro/Jahr und belaufen sich für die technischen Komponenten und die Wohnungen auf 1.224 Euro/Jahr. Die Kosten für den RLM-Zähler am Hausanschluss betragen gemäß Preisblatt von Stromnetz Hamburg für eine derartige Anlage im Jahr 2016 für Messstellenbetrieb, Messdienstleistung und Abrechnung 467,67 Euro/Jahr.

Tabelle 31: erwirtschaftete Erlöse

Erlösstelle	GMH-Musterhaus	Einheit
Wärme	12.850	€/a
PV-Vergütung	7.717	€/a
KWK-ZuhauseStrom-Vergütung	2.830	€/a
KWK-Netzeinspeise-Vergütung	9.327	€/a
Vermiedene Netzentgelte	413	€/a
Stromverkauf an Kunden	19.446	€/a
Carsharing	4.082	€/a

GMH-Musterhaus	
Investitionskosten [€]	316.599
Betriebsüberschuss optimiert [€/a]	33.681

Als Kapitalwert dieses Musterobjekts ergeben sich mit einem Kalkulationszins von 5 % im Betrachtungszeitraum von 20 Jahren 103.137 Euro. Eine Amortisation der Investition wird im 14. Jahr erreicht. Somit wäre dieses Investitionsvorhaben trotz der signifikant höheren Investitionskosten einem Engagement im MFH-Bereich vorzuziehen. Der Hintergrund sind insbesondere Skaleneffekte bei der ZuhauseStrom-Versorgung. Mit der Einrichtung der Kundenanlage sind Einmalkosten verbunden, die unabhängig von der Größe der Anlage in gleichem Umfang anfallen.

Kosten für E-Mobilität im 3E-Konzept

Aktuelle Carsharing-Angebote (Car2GO) in Hamburg beginnen im Jahr 2017 bei 24 ct/Minute. Im städtischen Nahverkehr beträgt die Durchschnittsgeschwindigkeit etwa 30 km/h bzw. 0,5 km/Minute. Die Kosten im 3E-Projekt ergeben sich aus einer Mischung verschiedener Kostensätze für geplante und spontane Buchungen und betragen 4,4 ct/Minute. Die Stromkosten zur Beladung der E-Fahrzeuge können durch das 3E-Konzept signifikant verringert werden. Der Strombedarf wurde in der Simulation des großen Mehrfamilienhauses zu 74 % aus dem BHKW und zu 26 % aus der PV-Anlage gedeckt. Damit ergeben sich im Mittel für das simulierte Jahr 2016 variable Stromkosten zur Ladung in Höhe von 15,09 ct/kWh (netto). Bezogen auf den LichtBlick-Stromtarif führt dies zu einem Vorteil von 8,43 ct/kWh bzw. 1,29 Euro/100km. Auch wenn dieser Vorteil prozentual beachtlich ausfällt, so sind deren Auswirkungen im Kontext der Installation gering, da die Strombezugskosten für die Beladung der Fahrzeuge mit 7,8 % nur einen geringen Anteil an den Gesamtkosten ausmachen.

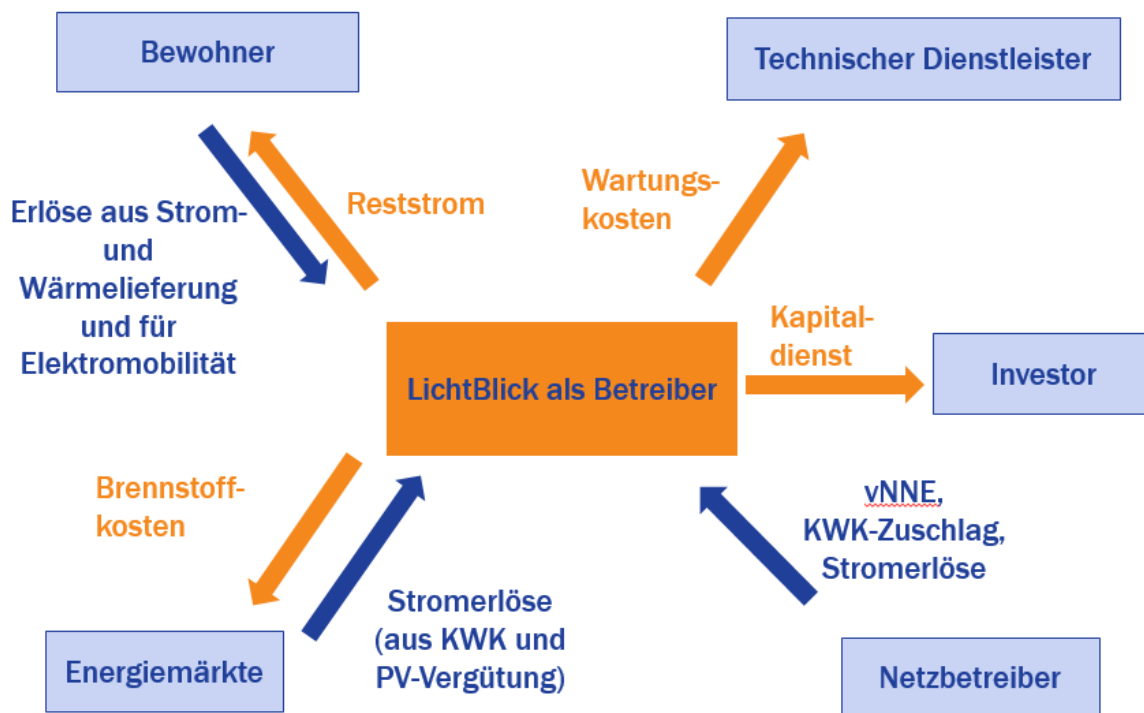


Abbildung 63: Zahlungsströme mit Investor

Fazit: Eine Kopplung von KWK- und PV-Anlage ist im untersuchten Fall nachteilig, weil bei einer geringen Nutzung der Mieterstrom- und Carsharing-Angebote der ergänzende ökologische Vorteil nicht seine volle Wirkung entfalten kann. Eine Orientierung an den Vollkosten für die Fahrzeugnutzung und eine unterstützende Regulierung ist wünschenswert.

6.2 Möglichkeit der Übertragbarkeit des Systems auf EFH

Die Auswertung der Relevanz der Ergebnisse mit Bezug auf den Gebäudebestand unter 6.1. hat drei Gebäudeklassen ergeben:

1. **MFH** als relevante Bezugsklasse für die Feldtestobjekte
2. **GMH** als relativ kleine Klasse mit vorteilhafter Wirtschaftlichkeit
3. **EFH** als besonders große Klasse mit 16 Mio. Wohnobjekten bzw. etwa 84 % aller Wohnobjekte in Deutschland

Für die Untersuchung der Übertragbarkeit des 3-E-Systems auf Einfamilienhäuser werden exemplarische Betrachtungsfälle definiert, die für eine ökologisch sinnvolle Übertragung in Frage kommen. Für sie wird die technische und wirtschaftliche Übertragbarkeit durch modellgestützte Analysen detailliert analysiert. Das modelltechnische Vorgehen wird in Kapitel 6.2.1 beschrieben.

6.2.1 Beschreibung der Analyse-Methodik

6.2.1.1 Modellierung der Nachfrageprofile mit dem Modell EMOD

Zur modelltechnischen Analyse werden die Strom- und Wärmenachfrageprofile zeitlich hochaufgelöste, hier zunächst in minütlicher Auflösung simuliert. Zum Einsatz kam das ifeu Haushaltsstrommodell EMOD (siehe Abbildung 64) in weiterentwickelter Form. Mit Hilfe des Modells können Stromlastgänge für Haushaltsgeräte, Gebäudetechnik in Abhängigkeit der Haushaltsgeräteausrüstung und -effizienz und Wärmelastgänge in Abhängigkeit des Dämmstandards simuliert werden. Die PV-Stromerzeugung für verschiedene Zelltechnologien, Ausrichtungen und Neigungen kann ebenfalls mit dem Modell simuliert werden. Die Simulation der Stromlastgänge auf Basis von repräsentativen Fahrprofilen, die aus dem Datensatz „Mobilität in Deutschland“ erstellt wurden (siehe auch Zwischenbericht 2016), wurde im Berichtszeitraum in das Modell integriert.

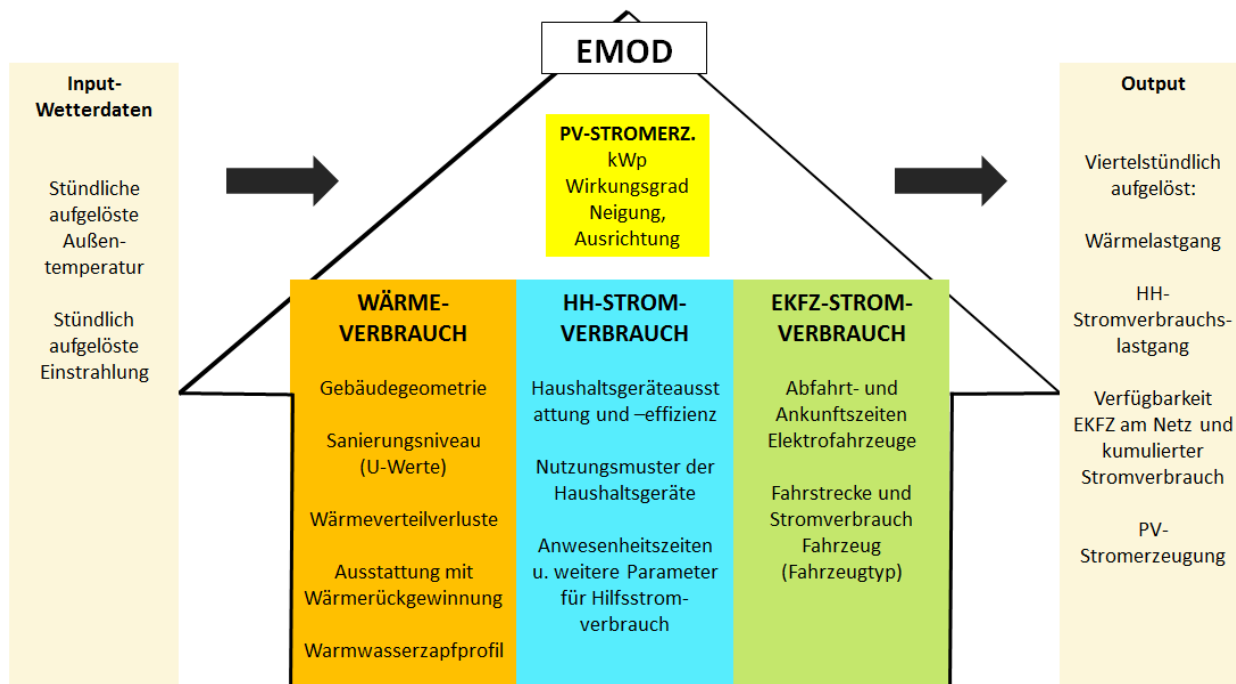


Abbildung 64: Übersicht über die Modellparameter sowie Inputs und Outputs des ifeu-Modells EMOD

6.2.1.2 Modellierung der Fahrprofile

Zur Berechnung der elektrischen Lastprofile an der Ladesäule müssen fahrzeugseitig Abfahrt- und Ankunftszeiten sowie dazwischen zurückgelegte Strecken modelliert werden. Auf Basis der zurückgelegten Strecken kann dann unter Berücksichtigung der Außentemperatur der kumulierte Energiebedarf zum Fahren zwischen zwei Ladevorgängen bzw. der Lastgang an der Ladesäule inklusive der Ladeverluste im Jahresgang ermittelt werden. Die Modellierung solcher Fahrprofile für die Übertragung auf das EFH erfolgt für verschiedene Pkw-Nutzergruppen, wie sie in

Tabelle 32 aufgelistet sind. Die Datenbasis für die Modellierung ist der Pkw-Datensatz der statistischen Erhebung Mobilität in Deutschland 2008 (Follmer & Lenz, 2010), berücksichtigt wurden nur Nutzergruppen die statistisch hinreichend erfasst sind. Die mittleren Tagesfahrleistungen unterscheiden sich erheblich zwischen den einzelnen Nutzergruppen. Ferner variieren sie zwischen den Wochentag und insbesondere zwischen Werktag und Wochenende. Die Tagesfahrleistungen liegen zwischen rund 15 und 36 km und sind im Durchschnitt höher für die Voll- und Teilzeitbeschäftigten gegenüber der Nutzergruppe Hausfrau/Hausmann und Rentnern.

Tabelle 32: Mittlere Tagesfahrleistungen der vier Hauptnutzergruppen gegliedert nach der Beschäftigungsart auf Basis von (Follmer & Lenz, 2010).

	MO	DI	MI	DO	FR	SA	SO
Berufstätige(r) Vollzeit	34,2 km	33,3 km	34,2 km	36,1 km	36,1 km	27,6 km	28,5 km
Berufstätige(r) Teilzeit	24,1 km	24,7 km	27,0 km	28,5 km	26,6 km	23,9 km	26,1 km
Hausfrau / Hausmann	15,2 km	19,0 km	18,2 km	22,8 km	21,9 km	19,0 km	17,1 km
Rentner(in) / Pensionär(in)	19,1 km	18,7 km	20,9 km	20,9 km	20,7 km	19,0 km	20,9 km

Um mögliche Standzeiten zu Hause und auch Ladezeiten auswärts berücksichtigen zu können, werden die für die einzelnen Nutzergruppen typischen Wegeketten der jeweiligen Wochentage mit ihren zugehörigen An- und Abfahrtzeiten ermittelt. Wie exemplarisch anhand der Vollzeitbeschäftigten in Tabelle 33 erkennbar ist, lässt sich für jede dieser Nutzergruppen eine Wegekette pro Tag ableiten, die am häufigsten in der zugehörigen Stichprobe auffindbar ist und zur Verbrauchssimulation herangezogen werden kann: So fährt der Vollzeitbeschäftigte typischerweise von Montag bis Freitag vormittags zur Arbeit (A) und nachmittags bis abends wieder nach Hause (H). Samstags erfolgen dagegen überwiegend Fahrten zum Einkauf (E) und zu einer Freizeitaktivität (G).

Tabelle 33: Typische Wegeketten der Pkw-Hauptnutzergruppe „Vollzeitbeschäftigte“ auf Basis von (Follmer & Lenz, 2010)

Montag		Dienstag		Mittwoch		Donnerstag		Freitag		Samstag		Sonntag	
AH	36.2%	AH	36.3%	AH	35.6%	AH	33.4%	AH	27.2%	DH	12.8%	GH	24.2%
AHAH	4.2%	AHAH	3.9%	AHAH	4.2%	AHGH	4.1%	AHDH	3.6%	GH	8.1%	G	10.7%
ADH	2.2%	AHGH	3.2%	AHGH	3.1%	AHAH	3.0%	DH	3.4%	AH	6.2%	H	5.1%
DH	2.1%	AHDH	2.4%	AHDH	2.5%	AHDH	2.8%	AHAH	3.3%	G	3.9%	EH	4.8%

Erreichen des Arbeitsplatzes="A", dienstlich oder geschäftlich="B", Erreichen der Ausbildungsstätte oder Schule = "C", Einkauf = "D", private Erledigungen = "E", Bringen oder Holen von Personen = "F", Freizeitaktivität = "G", nach Hause = "H",...

Ausgehend von diesen Fahrtrouten werden für den gesamten Untersuchungszeitraum eine zeitliche Abfolge der Fahrt- und Standzeiten minutenfein angelegt und mit Informationen zum aktuellen Aufenthaltsort (wie das Vorhandensein einer Lademöglichkeit) versehen.

Mittels streckenspezifischer Verbräuche für E-Fahrzeuge kann für jede dieser Fahrten der zugehörige elektrische Energieverbrauch berechnet werden. Da die im Rahmen des Feldtests aufgezeichneten Fahrdaten keine differenzierte Auswertung des Energieverbrauchs in Abhängigkeit verschiedener Parameter erlauben erfolgt die Verbrauchsberechnung in Anlehnung an (Yuksel & Michalek, 2015) und auf Basis von (ÖVK, 2012). Dabei wird auch eine Abhängigkeit von der Außentemperatur im Jahresgang berücksichtigt.

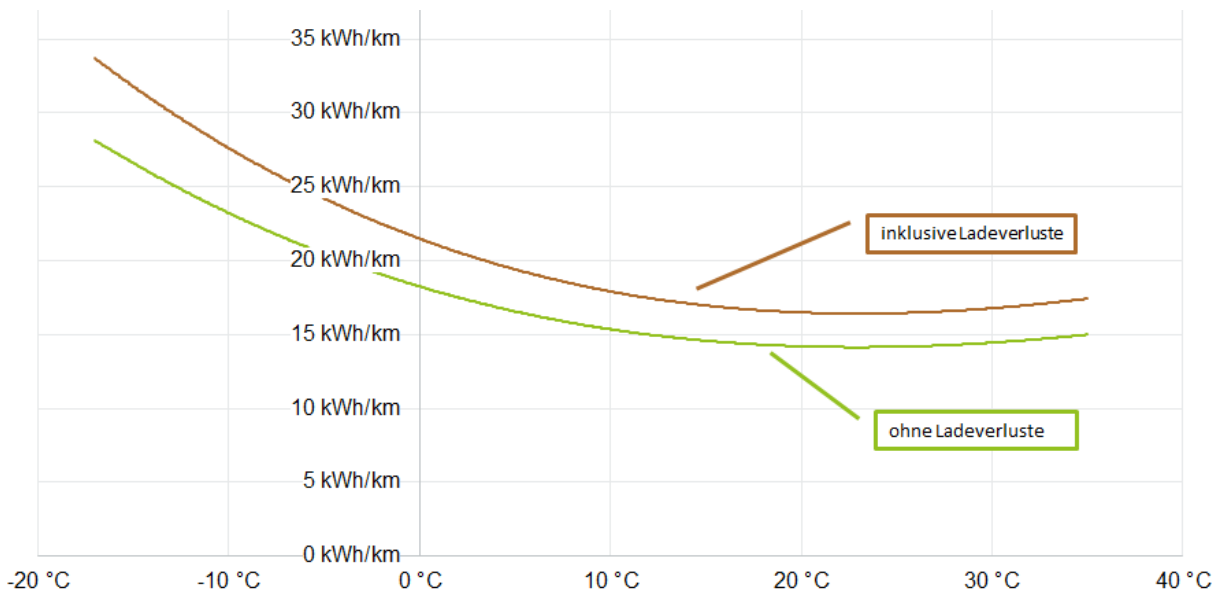


Abbildung 65: Durchschnittlicher angenommener kilometerabhängiger Energieverbrauch von E-Fahrzeugen in Abhängigkeit der Außentemperatur zur Simulation des Jahresverbrauchs.

Die Außentemperatur wird entweder anhand der Testreferenzjahre (Bundesamtes für Bauwesen und Raumordnung (BBR), 2014) für die entsprechende Klimazone oder alternativ auf Basis der aufgezeichneten Witterung im Untersuchungsgebiet für den betrachteten Zeitraum stundenfein vorgegeben.

Die daraus resultierenden Verbrauchsprofile für den Vergleich der Übertragbarkeit auf EFH und deren Nutzungsstruktur zeigen den höchsten Jahresverbrauch für den Vollzeitbeschäftigten. Jahresverbrauch und auch -fahrleistung für Rentner und Hausfrau/-mann liegen nur bei etwa 60 % der Werte für den Vollzeitbeschäftigten.

Tabelle 34: Eckdaten der erstellten E-Fahrzeug-Verbrauchsprofile der E-Fahrzeug-Hauptnutzerguppen nach Tätigkeit klassifiziert. (*ohne Ladeverluste)

	Jahresfahrleistung	Fahrtzeit	Jahresverbrauch*
Vollzeitbeschäftigte(r)	11.990 km	329 Std.	1.815 kWh
Teilzeitbeschäftigte(r)	9.430 km	246 Std.	1.420 kWh
RentnerIn / PensionärIn	7.220 km	230 Std.	1.092 kWh
Hausfrau/-mann	6.950 km	266 Std.	1.038 kWh

6.2.1.3 Modellkopplung von EMOD und SchwarmDirigent®

Die mit dem Modell EMOD simulierten minütlich aufgelösten Nachfrageprofile für Mobilität, Wärme und Strom sowie die PV-Stromerzeugung werden zu Viertelstunden-Werten aggregiert und an den SchwarmDirigent® übergeben. Dieser modelliert auf Basis von Strompreiszeitreihen und einer Eigenverbrauchsoptimierung den Einsatz von BHKW und dem Batteriespeicher. Ergebnis der Optimierung ist der Einsatzfahrplan, in Form der viertelstündlichen BHKW Strom- und Wärmeerzeugung, der Einsatz des Spitzenlastgaskessels, falls er benötigt wird, die optimierte Beladung der E-Fahrzeuge sowie die Beladung des stationären Batteriespeichers. Auf Basis dieser Fahrpläne wird die Umweltbewertung vorgenommen.

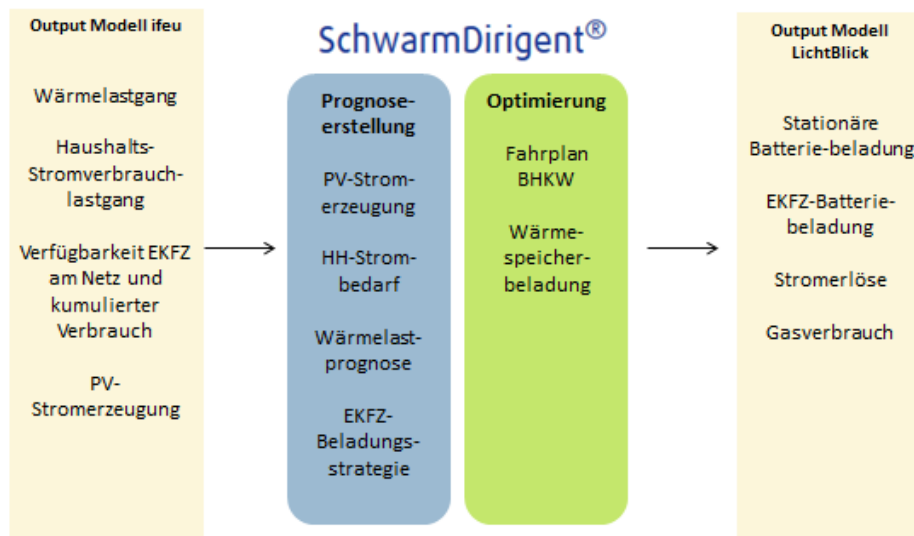


Abbildung 66: Übersicht der Modellkopplung zwischen EMOD und dem SchwarmDirigent®

6.2.2 Auswertung und Umweltbewertung der Simulationsergebnisse

Zunächst werden die Ergebnisse im Hinblick auf die Eigendeckungsanteile untersucht, anschließend erfolgt eine Umweltbewertung.

Eigendeckungsanteile

In allen betrachteten Konfigurationen werden sehr hohe Eigendeckungsanteile am Stromverbrauch erreicht. Bezogen auf den gesamten Stromverbrauch ergeben sich bei den Konfigurationen Eigendeckungsanteile zwischen 89 % und 99 %. Die hohen Eigendeckungsanteile liegen zum einen in einer großzügigen Dimensionierung der Stromerzeugungsanlagen in Bezug auf den Stromverbrauch begründet - die Stromerzeugung liegt bei den betrachteten Konfigurationen 29 % bis 73 % über dem Stromverbrauch – zum anderen wird die Eigendeckung durch den stationären Batteriespeicher weiter erhöht. In Abbildung 67 sind die Eigendeckungsanteile des BHKW- und PV-Stroms für die Konfiguration mit dem kleineren BHKW (0,75 kW_{el} und 1 kW_{th}) dargestellt.

Durch die großzügige Dimensionierung werden auch beträchtliche Mengen Strom ins Netz eingespeist. Die Anteile der BHKW an der Wärmelastdeckung liegen sehr hoch, zwischen: 89 % im Falle des KfW 70 Hauses und 100 % im Passivhaus.

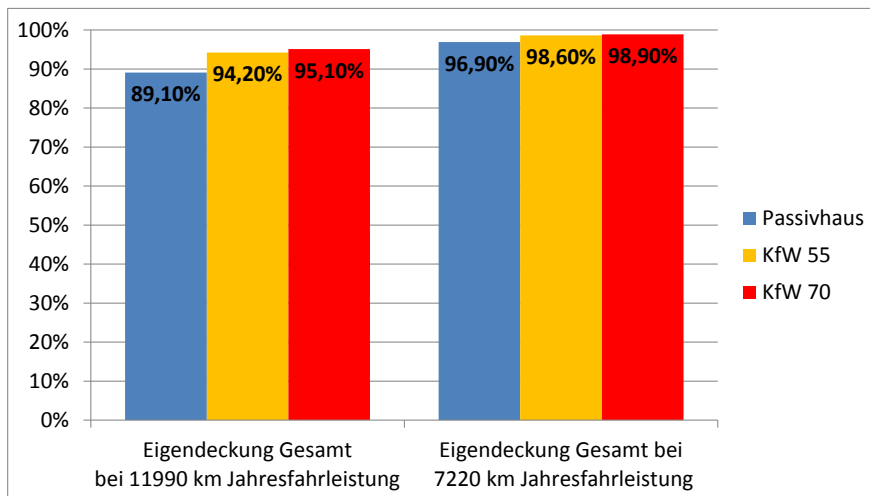


Abbildung 67: Anteil der Deckung durch Strom aus PV und BHKW am Gesamtstromverbrauch (Haushaltsstrom und Ladesäule) für das BHKW mit 0,75 kWel und 1 kWth

6.2.3 Umweltbewertung

Zur Einordnung der möglichen Umweltentlastungseffekte durch eine Übertragung des 3E-Konzeptes auf EFH wurde auch hier eine Umweltbilanz erstellt. Die Umweltbewertung des EFH beschränkt sich dabei jedoch auf die Klimabilanz. Zudem wurde keine detaillierte Strommarktsimulation für den Strommix vorgenommen. Die Strombilanz wurde stattdessen für alle Varianten mit einem jahresdurchschnittlichen Strommix orientiert am Jahr 2016 jedoch mit einem leicht erniedrigten Braunkohleanteil (siehe auch Abschnitt 5.4.1.3) gerechnet. Es wurden die folgenden Varianten jeweils für das Mobilitätsprofil des Vollzeitbeschäftigten und des Rentners verglichen:

Konventionelles EFH (EFH Konv.): Hier wird ein benzinbetriebener Verbrennungs-Pkw der Kompaktklasse genutzt, die Jahresfahrleistung orientiert sich an den jeweiligen Auswertung in Kapitel 5.3.1 Die Wärmeversorgung geschieht wiederum durch einen solarthermisch unterstützten Gaskessel, welcher Erdgas nutzt. Der solarthermische Deckungsgrad wird hier mit 20 % höher angesetzt als in den Feldtestvarianten. Die Stromversorgung erfolgt mit Netzstrom:

1. EFH mit 3E (3E-EFH): Die Auslegung der 3E-Komponenten wurde auf den Energiebedarf eines EFH angepasst. Zusätzlich wird ein E-Fahrzeug der Kompaktklasse genutzt. Das Nutzungsprofil orientiert sich ebenfalls an der Auswertung in Kapitel 5.3.1 und wird damit analog zum Verbrennungs-Pkw im zum konventionellen EFH angesetzt.
2. Die Varianten „3E EFH (Biometh.)“ ist gebäudeseitig identisch mit „3E EFH“, es wird jedoch Biomethan aus Reststoffen (Gülle) eingesetzt.

3. Zusätzlich wird die Variante einer E-Fahrzeug-Nutzung mit Netzstrom in einem konventionellen EFH (E-Fahrzeug mit Netzstrom) betrachtet. Hier entspricht das Gebäude dem konventionellen EFH. Statt eines Verbrennungs-Pkw wird jedoch ein E-Fahrzeug genutzt, der mit dem durchschnittlichem Netzstrom geladen wird.

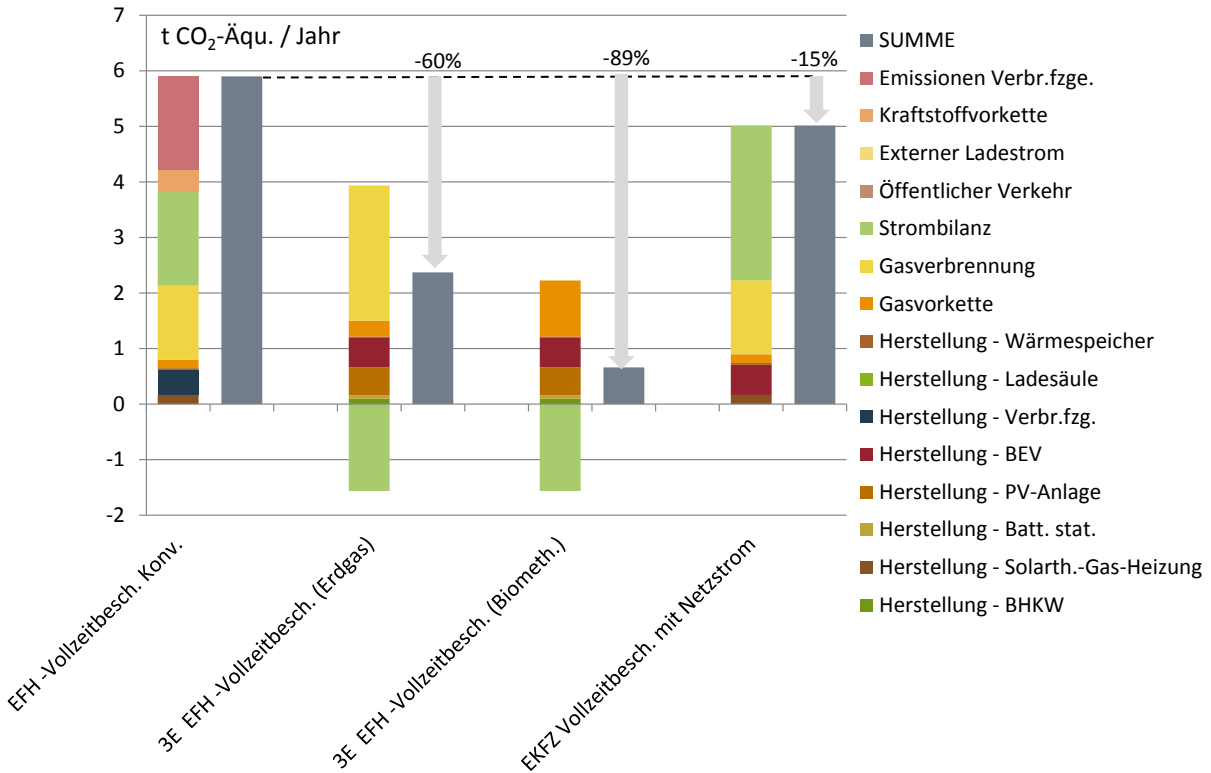


Abbildung 68: Klimabilanz für Vollzeitbeschäftigte im EFH

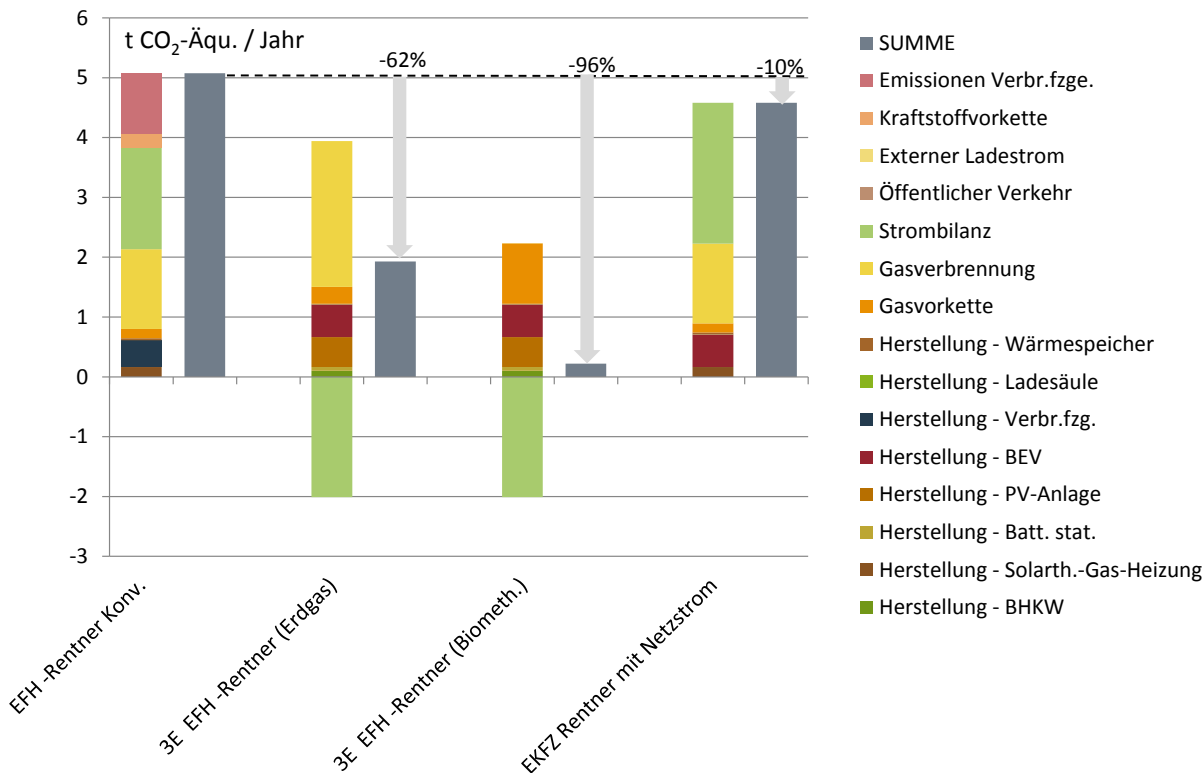


Abbildung 69: Klimabilanz für Rentner im EFH

Die Klimabilanz der verschiedenen Szenarien ist für Vollzeitbeschäftigte in Abbildung 68 und für Rentner in Abbildung 69 dargestellt. Man sieht, dass das 3E-System bei Betrieb mit fossilem Erdgas die Klimabilanz um gut 60 % reduziert. Bei Einsatz von Biomethan aus Reststoffen liegt die Reduktion sogar bei 89 % für Vollzeitbeschäftigte bzw. 96 % für Rentner. Die Einsparung für Rentner liegt geringfügig höher, da hier durch den geringeren Strombedarf der Ladesäule mehr Strom ins Netz eingespeist werden kann. Der positive Klimaeffekt ist damit im EFH vergleichbar mit dem VHD und geht auch hier zum großen Teil auf die Installation der PV-Anlage und den Einsatz von Biomethan zurück. Der alleinige Einsatz eines E-Fahrzeugs bei Ladung mit Strom aus dem Netz verbessert die Klimabilanz des Systems dagegen nur um 10-15 %. Hier sind die möglichen Einspareffekte für Vollzeitbeschäftigte höher als für Rentner. Durch die größere Nutzungsintensität der Vollzeitbeschäftigten kommt der Klimavorteil des E-Fahrzeugs in der Nutzung hier besser zum Tragen.

6.2.4 Wirtschaftlichkeit des 3E-Systems im EFH

6.2.4.1 3E-System im EFH

Der Massenmarkt der EFH ist insbesondere aufgrund seiner Größe für eine individuelle Betrachtung von Bedeutung. Da allerdings die Feldtestobjekte bereits ergeben haben, dass für die MFH ein wirtschaftlicher Betrieb nicht erreicht werden kann und mit der verwendeten Technik die Erschließung größerer Gebäudetypen naheliegt, soll im Folgenden untersucht werden, welche Anpassungen an der Installation vorgenommen werden und ob sich dann ggf. daraus ein Geschäftsmodell ergeben kann. Im Folgenden werden für exemplarische EFH-Gebäudetypenkonfigurationen die Mehrkosten für die Installation und den Betrieb eines 3E-Systems ermittelt. Zudem muss berechnet werden, wie hoch die wirtschaftlichen jährlichen Vorteile durch den Betrieb des 3E-Systems entstehen. Diese Mehrkosten müssen durch den Vorteil im Betrieb amortisiert werden. Die Grundlage für die Betrachtung stellen die drei verschiedenen Gebäudestandards Passivhaus, KfW 55 und KfW 70 Haus. Zudem werden als Wärmeversorger eine Brennstoffzelle (BZ), ein Stirling Aggregat und eine Wärmepumpe (WP) betrachtet. Schließlich wird bei der Wahl des Brennstoffs in Erdgas und Biogas unterschieden, so dass sich folgende 18 Konfigurationen ergeben:

Tabelle 35: Konfigurationen der EFH-Bewertung

Konfiguration 1.1	BZ (0,75 kW el. Und 1 kW th.) Erdgas	Passivhaus
Konfiguration 1.2	BZ (0,75 kW el. Und 1 kW th.) Biogas	Passivhaus
Konfiguration 1.3	WP (JAZ 3,5) + PV 5 kWp	Passivhaus
Konfiguration 1.4	WP (JAZ 3,5) + PV 10 kWp	Passivhaus
Konfiguration 2.1	BZ (0,75 kW el. Und 1 kW th.) Erdgas	KfW55-Haus
Konfiguration 2.2	BZ (0,75 kW el. Und 1 kW th.) Biogas	KfW55-Haus
Konfiguration 2.3	WP (JAZ 3,5) + PV 5 kWp	KfW55-Haus
Konfiguration 2.4	WP (JAZ 3,5) + PV 10 kWp	KfW55-Haus
Konfiguration 3.1	BZ (0,75 kW el. Und 1 kW th.) Erdgas	KfW70-Haus
Konfiguration 3.2	BZ (0,75 kW el. Und 1 kW th.) Biogas	KfW70-Haus
Konfiguration 3.3	WP (JAZ 3,5) + PV 5 kWp	KfW70-Haus
Konfiguration 3.4	WP (JAZ 3,5) + PV 10 kWp	KfW70-Haus
Konfiguration 4.1	Stirling (0,75 kW el. Und 4,5 kW th.) Erdgas	Passivhaus
Konfiguration 4.2	Stirling (0,75 kW el. Und 4,5 kW th.) Biogas	Passivhaus
Konfiguration 5.1	Stirling (0,75 kW el. Und 4,5 kW th.) Erdgas	KfW55-Haus
Konfiguration 5.2	Stirling (0,75 kW el. Und 4,5 kW th.) Biogas	KfW55-Haus
Konfiguration 6.1	Stirling (0,75 kW el. Und 4,5 kW th.) Erdgas	KfW70-Haus
Konfiguration 6.2	Stirling (0,75 kW el. Und 4,5 kW th.) Biogas	KfW70-Haus

Die Investitionskosten für die Gebäudetechnik zur Strom- und Wärmeversorgung wurden im Rahmen von indikativen Richtpreisangeboten von Installationsfirmen ermittelt. Diese umfassen die Kosten für die technischen Komponenten und den entsprechenden Arbeitsaufwand des Fachpersonals zur Installation. Diese Kosten belaufen sich auf 60.500 Euro für die Installationsvariante mit 5kWp PV-Anlage, 10 kWh Batteriespeicher und 750 W Brennstoffzelle auf rund 60.500 Euro inkl. Mehrwertsteuer. Der Richtpreis für die Installation mit Sterling-Aggregat beträgt 54.400 Euro inkl. Mehrwertsteuer. Die Kosten für die Variante mit

Wärmepumpe können mit 47.800 Euro inkl. Mehrwertsteuer angenommen werden. Für die Passivhausvariante erhöht sich der Betrag für die 10 kWp PV-Anlage um 7.300 Euro inkl. Mehrwertsteuer.

Diesen Kosten der 3E-Systeme müssen nun die Kosten für eine reguläre Strom- und Wärmeversorgung gegenübergestellt werden. Grundlegend ist jeweils eine Wärmeversorgung über eine Sole-Wasser-Wärmepumpe. Hier ist zu berücksichtigen, dass es sich um Annahmen handelt, da diese Installationskosten exemplarisch gelten und objektspezifisch die Standards auch alternativ beispielsweise durch eine bessere Dämmung erreicht werden können. Diese Betrachtung soll im vorliegenden Fall nicht erfolgen. Somit ergeben sich folgende Investitionskosten für die Gebäudetypen:

Tabelle 36: Investitionskostenvergleich für Einfamilienhäuser

Anlagenvariante	3E-System in Euro inkl. MwSt.		Referenz in Euro inkl. MwSt.	Mehrkosten 3E in Euro inkl. MwSt.	
	PV 5 kWp	PV 10 kWp	WP und PV 5 kWp	PV 5 kWp	PV 10 kWp
Wärmebereitstellung mit Brennstoffzelle 750 W	60.464	-	33.719	26.745	-
Wärmebereitstellung mit Stirling KWK	53.406	-		19.687	-
Wärmebereitstellung mit Wärmepumpe	47.834	64.417		14.115	30.698

Um den wirtschaftlichen Vorteil der Investition zu berechnen, müssen nun analog den Investitionskosten die laufenden Kosten und Erlöse im 3E-Betrieb und auch im regulären Fall ermittelt werden:

Grundsätzlich wird angenommen, dass durch den Smart-Meter-Rollout vergleichbare Kosten wie im Projekt für die Messung und Steuerung nicht anfallen, sondern die Messung und die Steuerung durch die moderne Messeinrichtung ermöglicht und in den Standardkosten abgedeckt wird. Dieser Kostensatz fällt an, unabhängig, ob es sich um ein 3E-Objekt oder eine reguläre Installation handelt. Daher sind diese Kosten im Folgenden für die Differenzbetrachtung nicht berücksichtigt.

Unabhängig des EFH-Typs bzw. der Konfiguration ist auch in den Referenzfällen das gleiche E-Fahrzeugnutzerverprofil hinterlegt. Relevant für die Auswertung sind die Summenwerte, die sich aus der Gesamtbilanz ergeben. In der Summe ergibt sich hierzu jährlich an der Ladestation einen Gesamtstrombedarf in Höhe von 2.392 kWh. Diese Strommenge berücksichtigt bereits 10% Wirkungsgradverluste bei der Beladung. Auch ist der Stromverbrauch als reiner Haushaltsverbrauch in allen Konfigurationen gleich. Der angenom-

mene Strombedarf der Haushalte beträgt 3.500 kWh pro Jahr. Analog beträgt der Wärmebedarf zur Trinkwarmwasserbereitstellung gebäudeunabhängig 2.070 kWh pro Jahr. Der Energiebedarf für Raumwärme wird durch den Gebäudetypen bestimmt und beträgt für die exemplarischen Gebäudetypen im Passivhaus 1.950 kWh, im KfW55-Haus 4.550 kWh und im KfW70-Haus 5.850 kWh pro Jahr.

Die Konfigurationen mit Biogas als eingesetzten Brennstoff unterscheiden sich in wirtschaftlicher Hinsicht. In technischer Hinsicht gleichen sie jenen mit Erdgasbetrieb. Auch die Auswirkungen auf die Ökobilanz sind bei den Konfigurationen mit Biogas und Erdgas entsprechend verschieden. Die Ergebnisse sind hingegen mit jenen Konfigurationen der identischen Auslegung mit Erdgasbetrieb identisch. Folglich verbleiben 12 Konfigurationen:

Tabelle 37: Simulationsergebnisse der Konfigurationen für Einfamilienhäuser

Konfiguration	Summe Erzeugung (kWh)	Summe Verbrauch (kWh)	Einspeisung Netz (kWh)	Netzbezug (kWh)	Autarkiegrad (%)
Konfiguration 1.1	-9.053	7.088	-2.506	541	92,4 %
Konfiguration 1.3	-5.598	8.142	-1.847	4.393	37,6 %
Konfiguration 1.4	-10.307	8.362	-5.449	3.545	49,7 %
Konfiguration 2.1	-9.829	6.984	-3.121	275	96,1 %
Konfiguration 2.3	-5.551	8.837	-1.815	5.108	34,4 %
Konfiguration 2.4	-10.275	9.072	-5.364	4.199	46,1 %
Konfiguration 3.1	-10.061	6.961	-3.345	246	96,5 %
Konfiguration 3.3	-5.532	9.190	-1.798	5.465	33,0 %
Konfiguration 3.4	-10.258	9.427	-5.324	4.525	44,5 %
Konfiguration 4.1	-6.485	7.115	-1.726	2.356	66,9 %
Konfiguration 5.1	-6.984	7.159	-1.792	1.967	72,5 %
Konfiguration 6.1	-7.236	7.185	-1.842	1.791	75,1 %

Diese Energiedaten müssen um entsprechende wirtschaftliche Kenndaten ergänzt werden, so dass die laufenden jährlichen Energiekosten ermittelt werden können. Hier sind aus Sicht eines EFH-Besitzers die Bezugskosten am Hausanschluss angesetzt. Zudem gelten die Einspeisebedingungen zzgl. des Mehrwerts, der durch die 3E-Optimierung angenommen wird. Die Energiekosten der Referenzobjekte sind die Strombezugskosten für Haushaltsstrom und Wärmepumpe.

Schließlich müssen auch hier analog der Investitionskosten Differenzen gebildet werden, um die Vorteilhaftigkeit des 3E-Systems bewerten zu können. Das Ergebnis ist in der folgenden Tabelle dargestellt. Hier wird deutlich, dass in sämtlichen 3E-Konfigurationen Mehrwerte erzielt werden können. Diese setzen sich aus den eingesparten Energiebezugskosten und den 3E-Optimierungszuschlägen zusammen. Diese Mehrwerte betragen zwischen etwa 200 und 1.100 Euro jährlich.

Tabelle 38: Vergleich der EFH-Konfigurationen der 3E-Systeme mit Referenztypen

Konfiguration	Technische Beschreibung	Typ	Energiekosten pro Jahr (€)	Vorteil 3E	Investitionskosten	Mehrkosten	Kapitalwert
Konfiguration 1.1	BZ (0,75 kW el. Und 1 kW th.) Erdgas	Passivhaus	-600	829	60.464	26.745	-16.417
Konfiguration 1.2	BZ (0,75 kW el. Und 1 kW th.) Biogas	Passivhaus	-951	477	60.464	26.745	-20.795
Konfiguration 1.3	WP (JAZ 3,5) + PV 5 kWp	Passivhaus	-1.110	319	47.834	14.115	-10.143
Konfiguration 1.4	WP (JAZ 3,5) + PV 10 kWp	Passivhaus	-429	999	64.417	30.698	-18.247
Konfiguration 2.1	BZ (0,75 kW el. Und 1 kW th.) Erdgas	KfW55-Haus	-590	1.028	60.464	26.745	-13.930
Konfiguration 2.2	BZ (0,75 kW el. Und 1 kW th.) Biogas	KfW55-Haus	-1.021	597	60.464	26.745	-19.307
Konfiguration 2.3	WP (JAZ 3,5) + PV 5 kWp	KfW55-Haus	-1.314	304	47.834	14.115	-10.325
Konfiguration 2.4	WP (JAZ 3,5) + PV 10 kWp	KfW55-Haus	-623	995	64.417	30.698	-18.295
Konfiguration 3.1	BZ (0,75 kW el. Und 1 kW th.) Erdgas	KfW70-Haus	-663	1.058	60.464	26.745	-13.560
Konfiguration 3.2	BZ (0,75 kW el. Und 1 kW th.) Biogas	KfW70-Haus	-1.153	567	60.464	26.745	-19.676
Konfiguration 3.3	WP (JAZ 3,5) + PV 5 kWp	KfW70-Haus	-1.416	305	47.834	14.115	-10.317
Konfiguration 3.4	WP (JAZ 3,5) + PV 10 kWp	KfW70-Haus	-719	1.002	64.417	30.698	-18.216
Konfiguration 4.1	Stirling (0,75 kW el. Und 4,5 kW th.) Erdgas	Passivhaus	-1.093	335	53.406	19.687	-15.508
Konfiguration 4.2	Stirling (0,75 kW el. Und 4,5 kW th.) Biogas	Passivhaus	-1.056	372	53.406	19.687	-15.050
Konfiguration 5.1	Stirling (0,75 kW el. Und 4,5 kW th.) Erdgas	KfW55-Haus	-1.081	537	53.406	19.687	-12.990
Konfiguration 5.2	Stirling (0,75 kW el. Und 4,5 kW th.) Biogas	KfW55-Haus	-1.393	225	53.406	19.687	-16.878
Konfiguration 6.1	Stirling (0,75 kW el. Und 4,5 kW th.) Erdgas	KfW70-Haus	-1.123	598	53.406	19.687	-12.235
Konfiguration 6.2	Stirling (0,75 kW el. Und 4,5 kW th.) Biogas	KfW70-Haus	-1.492	228	53.406	19.687	-16.841
Konfiguration A	Referenz Passivhaus (WP JAZ 3,5)	Passivhaus	-1.429	-	33.719		
Konfiguration B	Referenz KfW 55 (WP JAZ 3,5)	KfW55-Haus	-1.618	-			
Konfiguration C	Referenz KfW 70 (WP JAZ 3,5)	KfW70 Haus	-1.721	-			

Der Vorteil von 3E führt in den betrachteten Fällen bei einer Verzinsung von 5% in allen Konfigurationen zu negativen Kapitalwerten. Im Ergebnis reichen daher die Vorteile nicht aus, um die Mehrkosten durch die umfangreiche 3E-Installation zu decken. Zudem sind die reinen Mehrerlöse durch die Optimierung der Einspeisung (bei den KWK-Konfigurationen) aufgrund der geringen Energiemengen derart niedrig (maximal 20 Euro/Jahr.), dass eine 3E-Optimierung aus rein wirtschaftlichen Gesichtspunkten nicht sinnvoll ist.

Fazit: Aus rein wirtschaftlichen Gesichtspunkten ist eine direkte Übertragbarkeit des 3E-Systems auf EFH unter den aktuellen Rahmenbedingungen nicht umsetzbar. Gründe sind die hohen Investitionskosten mit Blick auf die relativ geringen Zusatzerlöse durch den 3E-Betrieb. Auch ist zu berücksichtigen, dass in der hier vorliegenden Analyse die monetären Auswirkungen des 3E-Systems auf die Anforderungen der Dämmung nicht berücksichtigt werden konnten. Dies kann zu besseren wirtschaftlichen Ergebnissen führen.

6.2.4.2 Alternatives 3E-System im EFH

Wie die vorangehenden Ergebnisse gezeigt haben, sind KWK-Systeme im EFH sehr teuer und nur in wenigen Fällen wirtschaftlich. Deshalb wird im folgenden Abschnitt ein Energiesystem eines EFH diskutiert, welches anstelle des Erzeugers eine Wärmepumpe als zusätzlichen Verbraucher berücksichtigt. Eine derartige Konfiguration kann den Eigenverbrauch des Objektes deutlich erhöhen und somit die Wirtschaftlichkeit des Gesamtsystems verbessern.

Voraussetzung ist eine gute Abstimmung der Dimensionierungsgrößen aufeinander. Hier wurde ausführlich untersucht, welche Auslegung der Komponenten, sowohl unter ökonomischen Gesichtspunkten, als auch unter Berücksichtigung hoher Autarkiegrade, optimal ist. Dabei zeigt sich, dass die Kombination von Batteriespeicher, Wärmepumpe und E-Fahrzeug bei großen PV-Anlagen besonders ökonomisch ist. Als Obergrenze sind jedoch 10 kWp installierter PV-Leistung einzuhalten, da andernfalls die EEG-Umlage die Wirtschaftlichkeit wiederum deutlich einschränkt. Entscheidend ist zudem die Flexibilisierung der Wärmepumpe

über große Pufferspeicher (1.000 l). Batteriespeicher erweisen sich in einem solchen System derzeit noch als zu teuer und steigern die Autarkie zwar zum Teil deutlich, allerdings auf Kosten der Wirtschaftlichkeit. Deshalb muss an dieser Stelle ein Kompromiss aus hoher Wirtschaftlichkeit und hoher Autarkie gebildet werden. Dennoch ist festzuhalten, dass ein ökonomischer Betrieb in vielen Fällen gegeben ist. Zudem ist aufgrund sinkender Preise für Batteriespeicher und Wärmepumpen sowie PV-Anlagen eine weitere Verbesserung der Wirtschaftlichkeit absehbar. Darüber hinaus bietet sich die Förderung als KfW-40 Plus Haus, als attraktive Finanzierungsmöglichkeit an. Im Folgenden wird für ein repräsentatives Einfamilienhaus der ökonomische Vorteil eines derartigen Systems exemplarisch berechnet. Dafür wird ein Neubau mit 130 m² und einem Heizwärmebedarf von 25 kWh/m²·a gewählt. Wärmeversorger des EFH ist zudem eine regelbare Wärmepumpe. Die Dämmung von Wohnhäusern wird im Laufe der kommenden Jahre stetig verbessert werden und steigende Marktanteile dieses Bereiches hervorbringen. Dieser Kennwert entspricht zudem dem KfW 40 Plus-Standard und zeigt damit eine mögliche Zielgruppe des Systems auf, da ein großer Teil der entstehenden Kosten über die entsprechende Förderung finanziert werden kann. Doch auch ohne zusätzliche Finanzierung kann ein System aus PV-Anlage, Batteriespeicher, Wärmepumpe und E-Fahrzeug wirtschaftlich sein. Mit einer 10 kWp PV-Anlage, einer Batteriekapazität von 8 kWh, einem Wärmespeicher von etwa 700 l und einer jährlichen Fahrleistung von 11.000 km (ca. 30 km/Tag) sowie einer Abzinsung von 5 % beträgt der Kapitalwert nach 20 Jahren 3.378 €. Die Investition von knapp 23.000 €¹⁴ amortisiert sich entsprechend nach etwa 15 Jahren. Durch Förderzuschüsse und Preisdegressionen verbessert sich die Wirtschaftlichkeit jedoch deutlich.

Tabelle 39: Kennwerte Alternatives 3E-EFH

Größe	Wert	Einheit
Wohnfläche	130	m ²
Haushaltsstromverbrauch	4.000	kWh/a
Wärmebedarf KfW-40 (davon Warmwasser)	5.200 (1.950)	kWh/a
Fahrleistung des E-Fahrzeugs	11.000	km/a
Ertrag der PV-Anlage (10 kWp)	8.365	kWh/a
Investition der PV-Anlage	15.000	€
Investition der Batterie	7.727	€
Kapitalwert nach 20 Jahren (5 % Abzinsung)	3.378	€
Kapitalwert nach 20 Jahren (0 % Abzinsung)	17.737	€

¹⁴ Da dieses Konzept für Privatkunden relevant ist, wird mit Bruttopreisen gerechnet

Somit ist bereits bei sehr geringen Wärmebedarfen gleichzeitig eine Wirtschaftlichkeit und hohe Autarkiegrade erreichbar. Mit steigendem Wärmebedarf verschiebt sich das Verhältnis in Richtung der Wirtschaftlichkeit – unter geringen Einbußen des Autarkiegrades. Der Batteriespeicher wird bei einem derartigen System durch die Erträge aus der Wärmeversorgung zu einem Teil mitfinanziert. Durch aktuelle Förderprogramme und in Zukunft aufgrund von Preisminderungen im Batteriesektor ändert sich diese Tatsache jedoch.

7 Zusammenfassung und Ausblick

7.1 Fazit zur Performance des Feldtestes

Im 3E-Projekt wurden in zwei MFH PV-Anlagen, Batteriespeicher, BHKW, Ladesäulen bzw. Elektroautos (Carsharing-Nutzung) technisch intelligent verknüpft, dezentral geregelt und zentral über den SchwarmDirigent® gesteuert. Durch eine neu entwickelte Schnittstelle von Buchungssystem für die Carsharing-Teilnehmer zum SchwarmDirigent® gelang es, die Sektoren Strom, Wärme und Mobilität zu koppeln.

Zusätzlich zu allen Hardwarekomponenten, die miteinander verknüpft wurden, war die Mess-, Steuerungs-, Regelungs- und Kommunikations-Technik sehr aufwendig. Weiterhin wurde die Software angepasst, teilweise neu entwickelt, Schnittstellen geschaffen, sowie neue Prognose- und Optimierungsverfahren implementiert. All dies erforderte einen sehr hohen Planungs- und Abstimmungsaufwand, bevor mit der Installation der Komponenten begonnen werden konnte.

Über die technischen Aspekte hinaus mussten Pacht- und Nutzungsverträge mit den Objektbesitzern, den Stromkunden und den Carsharing-Teilnehmern abgeschlossen werden.

Aufgrund eines zeitlich versetzten Vorgehens bei den beiden Feldtestobjekten konnte beim zweiten Feldtestobjekt vieles schneller oder weiterentwickelt umgesetzt werden, wie z.B. das Kaskadenmodell in der Abrechnung mit dem Netzbetreiber, das als Blaupause für ein Markttrollout dienen könnte. Nach einer Test- und Einlaufphase lief das System stabil und wurde ständig überwacht, so dass auftretende Fehler zügig beseitigt werden konnten. Eine besondere Aufmerksamkeit musste der Kommunikationsstrecke für das Freischalten der E-Fahrzeuge sowie der lückenlosen Datenübertragen gewidmet werden. Besonders Letzteres war enorm wichtig für die Auswertungen und Weiterverarbeitung und musste über die gesamte Feldtestperiode überwacht werden. Dies war dem Forschungscharakter geschuldet, aus Sicht eines potentiellen Strom- oder Carsharing-Kunden liefen die Systeme nach Behebung der Anfangsprobleme reibungsfrei und komfortabel.

7.1.1 Künftige Nutzungskonzepte für E-Fahrzeuge

Im Projekt wurden den Teilnehmern die Fahrzeuge in Form eines Carsharing-Modells zur Verfügung gestellt. Im VHD handelte es sich um eine geschlossene Nutzergruppe (ausschließlich Hausbewohner), wohingegen in der MTS auch Bewohner umliegender Häuser teilnehmen konnten.

Die Entscheidung Carsharing in ein Forschungsprojekt zu integrieren resultierte letztendlich aus mehreren Anforderungskriterien. Zum einen sollten die E-Fahrzeuge eine mögliche hohe Auslastung haben, außerdem sollte eine praxisnahe und planbare Fahrzeugnutzung umgesetzt werden. Die eingesetzte Buchungs-App war anwenderfreundlich und den Nutzern über andere Carsharing-Dienste teilweise schon bekannt. Die Schnittstelle vom Buchungssystem zur Energiewirtschaft, über den SchwarmDirigent® ist bisher einzigartig und zeigt, dass über diesen Weg die Sektorenkopplung realisiert werden kann.

Es ist anzustreben, dass die Nutzung von Carsharing-Angeboten in der Zukunft stark ansteigen wird, insbesondere im urbanen Bereich, aber auch auf Quartiersebene. Hier werden sicherlich E-Fahrzeuge vermehrt zur Anwendung kommen, da neue Modelle größere Reichweiten als bislang erreichen werden und die Investitionskosten sinken, so dass sie gegenüber Verbrennungsmotoren diesbezüglich konkurrenzfähig werden. Vor dem Hintergrund von Feinstaubbelastungen und diskutierten Fahrverboten von Dieselfahrzeugen in Städten, ist der Vorteil von E-Fahrzeugen groß. Es ist natürlich auch vorstellbar, dass Carsharing-Anbieter und Stromversorger, oder aber auch die Immobilienunternehmen kooperieren und auf Haus- bzw. Quartiersebene gemeinsame Konzepte schnüren, bei denen die jeweiligen Kernkompetenzen gebündelt werden. Ebenso ist eine Übertragbarkeit auf gewerbliche Fahrzeugflotten denkbar. So wurden auch mit Firmen aus dem Altenpflegebereich Gespräche geführt, die ihre Flotte auf E-Fahrzeuge umrüsten wollen, da jeden Tag die gleichen Strecken zurückgelegt werden und gut planbar sind. Dies lässt sich wahrscheinlich auch auf andere Gewerbe übertragen.

Für Pendler und EFH-Besitzer ist das Fahrzeugnutzungsverhalten u.U. ein anderes. Eventuell werden diese Personengruppen nicht zwangsläufig bei einem Carsharing-Modell teilnehmen, sondern das Fahrzeug alleine nutzen.

7.1.2 Empfehlungen zur Auslegung/Auswahl der Komponenten

Grundsätzlich sind die Komponenten auf die Bedarfe der Gebäude auszulegen, es gibt jedoch einige projektspezifische Besonderheiten, die zu berücksichtigen sind. Unabhängig von der Gebäudegröße wird die Heizlast durch einen TGA-Planer nach DIN EN 12831 berechnet, von der Leistungsgröße gibt es hier keine davon abweichenden Kriterien.

Im Projekt wurden die BHKW strommarktgeführt und monovalent betrieben; eine Betriebsweise, die sehr spezifisch für LichtBlick und die ZuhauseKraftwerke ist. Üblicherweise werden BHKW zusammen mit einem Spitzenlastkessel wärmegeführt betrieben und entsprechend so ausgelegt, dass sie eine möglichst große Jahresdauerleistung erbringen, gängig sind dabei Vollaststunden größer als 6.000 h/a. Von dieser Auslegung sollte auch bei einer Ausführung bei MFH nicht abgewichen werden. Wichtiger ist es, dass das BHKW über eine Schnittstelle (z.B. VHPready) regelbar ist, so dass eine Optimierung nach wirtschaftlichen und Autarkie-Kriterien möglich ist. Weiterhin kann das Optimierungspotenzial des BHKW bei dieser Dimensionierung gesteigert werden. Im Projekt führte die gewählte Dimensionierung zu einer hohen Netzeinspeisung. Eine elektrisch kleinere Anlage könnte hier sowohl die Investitionskosten senken, als auch die Notwendigkeit einer Optimierung erhöhen. Bei EFH ist die Verwendung von Mikro-BHKW, Brennstoffzellen oder Stirlingmotoren technisch möglich, hat sich aber in der Praxis vor allem aus wirtschaftlichen Gründen (noch) nicht durchgesetzt. Hier ist die Verwendung von hocheffizienten Wärmepumpen weiterverbreitet und sinnvoll.

Wärmepumpen ermöglichen ebenfalls die Kopplung von Wärme- und Stromsektor, sind aber im Gegensatz zu BHKW kein Stromerzeuger, sondern ein zusätzlicher Stromverbraucher. Während die Kombination von

BHKW und PV-Anlage in einem Objekt zu einem jahreszeitlich ausgewogenen Eigenstrom-Erzeugungsprofil führt, trifft bei der Kombination von Wärmepumpe und PV-Anlage ein hoher Stromverbrauch in der Heizperiode auf die unterdurchschnittliche PV-Stromerzeugung im Winterhalbjahr. Dies ist aber eine Konsequenz bei der Übertragung des 3E-Systems auf EFH. Die Auslegung der Wärmepumpe richtet sich dabei nach der erforderlichen Heizlast, hier gibt es keine projektspezifischen Anforderungen.

Bei der Dimensionierung der PV-Anlage spielen unterschiedliche Kriterien eine Rolle. Prinzipiell wird die zu installierende Leistung von der Größe der Dachfläche begrenzt. Im EFH-Sektor sollte die Anlage größtmöglich gewählt werden, damit auch die Wärmepumpe und das E-Fahrzeug versorgt werden können. Hier sollte jedoch eine PV-Anlagengröße von 10 kWp nicht überschritten werden, da unter den aktuellen EEG-Regularien ab dieser Anlagengröße auch die EEG-Umlage für selbstverbrauchten Strom anfällt. Im Bereich von MFH sollte bei der Auslegung der PV-Anlage im Kombination mit einem BHKW berücksichtigt werden, dass sich aus der daraus resultierenden installierten Gesamtleistung u.U. Vorgaben der Netzbetreiber ergeben, die den Betrieb einschränken.

Die Größe des stationären Batteriespeichers richtet sich nach der installierten PV-Anlagenleistung. Als Faustzahl sollte die Speicherkapazität so gewählt werden, dass der in einer Stunde erzeugte PV-Strom zwischengespeichert werden kann. Eine Überdimensionierung des Batteriespeichers ist bei aktuellen Investitionskosten wirtschaftlich nicht sinnvoll. Zudem bringt diese zusätzliche Kapazität für Optimierungszwecke oder für netzdienliche Leistungen unter den aktuellen regulatorischen Rahmenbedingungen keinen Mehrwert.

7.2 Realisierbarkeit des 3E-Konzepts im Energiesystem der Zukunft - Marktanalyse

Das Energiesystem der Zukunft wird durch zunehmende Anforderungen an die Regelbarkeit einzelner Verbraucher auf dezentraler Ebene geprägt sein. Dies ist zum einen auf den Rückgang zentraler großer Erzeuger einer zentralistisch orientierten Stromerzeugung in Großkraftwerken und zum anderen einer Zunahme an dezentralen, fluktuierenden erneuerbaren Erzeugern geschuldet. Zeitlich parallel steigen durch die Sektorkopplung im Wärme- und Verkehrssektor mit dem zunehmenden Einsatz von Wärmepumpen und E-Fahrzeugen die Anforderungen an ein funktionierendes Energienetz. Trotz der zunehmenden Dezentralität ist eine vollständige Abkopplung vom Stromnetz als Autarkie nicht flächendeckend zu erwarten. Die Nutzung des Stromnetzes zur Frequenzhaltung und Stabilität wird weiterhin von Bedeutung sein.

Vor diesem Hintergrund sollte die Realisierbarkeit des 3E-Konzeptes im Energiesystem der Zukunft mit Blick auf folgende Fragestellungen geprüft werden:

- Besteht eine Eignung des Konzepts mit Blick auf die Entwicklung im Gebäudebestand hinsichtlich Größe, Art und Umfang?
- Wie wirken sich Entwicklung der Technik und Kosten der Komponenten der Installation auf das 3E-Konzept aus?

- Wie wirkt sich Entwicklung der energiewirtschaftlichen Rahmenbedingungen auf das 3E-Konzept aus?

Die ersten beiden Themen wurden bereits in den vorherigen Kapiteln umfangreich erörtert. Der abschließende Fokus wird daher hier auf die energiewirtschaftlichen Rahmenbedingungen des Energiesystems gesetzt. Die energiewirtschaftlichen Rahmenbedingungen lassen sich grob in zwei Themenblöcke aufteilen: Einerseits ergeben sich für das 3E-Konzept direkt wirtschaftliche Auswirkungen, andererseits gibt es energietechnische Aspekte, die für das 3E-Konzept relevant sind.

Aus energiewirtschaftlicher Sicht ist insbesondere die Entgeltstruktur für die Nutzung der Stromnetze relevant, weil die Optimierung neben der Marktpreisoptimierung auch eine Minimierung des Netzbezugs und somit der Netznutzung anstrebt:

In der Bundesrepublik Deutschland kann prinzipiell jeder Haushalt oder Kundenanlage mit einem Anschlussbegehren an das öffentliche Stromnetz angeschlossen werden. Für die folgende Nutzung des Netzes kann der Netzbetreiber Entgelte erheben, die über den Stromversorger abgerechnet werden. Die aktuell übliche Kostenstruktur sieht eine mengenbasierte Vergütung, welche kWh-basiert abgerechnet wird, zusätzlich zu einer Grundvergütung in Form eines Grundpreises bzw. eines Leistungspreises vor. Aktuelle Analysen zeigen, dass in den letzten Jahren eine Verschiebung des mengenbasierten Anteils hin zum fixen Anteil der Netznutzungsvergütung erfolgte und eine Umkehr des Trends nicht zu erwarten ist. Vielmehr ist der zunehmende Rückzug einzelner Verbraucher aus dem gemeinschaftlichen Umlagesystem durch Eigenenerzeugung oder Befreiung ein wesentlicher Treiber dieser Entwicklung. Es ist davon auszugehen, dass die mengenbasierte Umlage weiter abnimmt während die Fixkostenkomponente zunimmt. Auch ist eine vollständige Verlagerung in den kommenden Jahren nicht auszuschließen. Dies ist von entscheidender Bedeutung für die Wirtschaftlichkeit des 3E-Konzepts, da der verringerte Strombezug bzw. der erhöhte Eigenverbrauch, der nicht mit mengenbasierten Umlagen belastet ist, einen wesentlichen Erlösanteil im 3E-Konzept darstellt.

Unabhängig vom oben beschriebenen wirtschaftlichen Hintergrund ist die energietechnisch vorteilhafte netzunterstützende Wirkung der 3E-Optimierung weiterhin von Relevanz. Durch die Zunahme von fluktuierenden Erzeugern steigen die Anforderungen an die Regelbarkeit des Stromnetzes. Auch wenn im Projekt die netzunterstützende Wirkung nicht im Detail analysiert werden konnte, so ist doch davon auszugehen, dass die angewendete 3E-Optimierung mit der energiemarktoptimierten Fahrweise netzunterstützend wirkt, weil die Regelbarkeit des Objekts kurzfristig erfolgen kann. Die energiemarktgeführte Optimierung kann für das BHKW innertäglich den Fahrplan aktualisieren. Diese Regelbarkeit ist zentralen Kraftwerken weit überlegen und stellt im Verbund eine passende Antwort für die Zunahme der Netzanforderungen durch die Integration von erneuerbaren Energien dar. Auch kann durch die gezielte Ladung der E-Fahrzeuge mit Fokus auf eine Minimierung des Leistungspreises (Peak-Shaving) der Verbrauch verstetigt werden und neben dem kostenminimierenden Effekt für den Betreiber der Kundenanlage im 3E-Konzept auch zu einer Minderbelastung des Verteilnetzes führen, da Spitzenlasten verhindert werden.

Zusammenfassend kann das 3E-Konzept im Markt der Zukunft in den in Kapitel 6.1 und 6.2 analysierten größeren Gebäudesegment bei passenden Rahmenbedingungen wirtschaftlich bedienen. Die Wirtschaftlichkeit kann durch eine Kostendegression im Batteriesektor unterstützt werden. Die Entwicklung der Netzentgelte hingegen reduziert die Wirtschaftlichkeit des 3E-Konzepts in der Zukunft. Das 3E-Konzept ist in einer Welt mit zunehmend fluktuierenden Erzeugern aber technisch eine passende Antwort für zunehmende Anforderungen an die Regelbarkeit im Netz.

7.3 Bewertung des möglichen Beitrags zur Erreichung der Ziele des Energiekonzeptes

Mit dem Vergleich verschiedener Varianten der Objektversorgung auf Basis von Ökobilanzen wurde gezeigt, dass das 3E-System bei Nutzung von Erdgas moderate und bei Nutzung von Biomethan aus Reststoffen signifikante Einsparungen von CO₂-Emissionen gegenüber einer Versorgungsvariante ohne Zubau von erneuerbarer Stromerzeugung für die Elektrofahrzeuge und den Haushaltsstrom erbringen kann und damit grundsätzlich zur Erreichung der Ziele der Energiewende beitragen kann. Die CO₂-Einsparungen liegen jedoch niedriger als die, die sich beim zentralen Zubau von Windenergie ergeben. KWK-Anlagen können jedoch im Stromsystem als Ausgleichstechnologie für die fluktuierende Stromerzeugung von Wind- und Solarenergie dienen und Strom liefern, wenn im Winter Lastspitzen auftreten, verursacht beispielsweise durch Wärmepumpen. Allerdings ist zu berücksichtigen, dass das Potential der dezentralen KWK im 3E-System begrenzt wird einerseits durch die geringe Wirtschaftlichkeit, andererseits durch die Maßgabe, den knappen Brennstoff Biomethan und längerfristig auch Power-to-Gas hocheffizient dort zu nutzen, wo nur weniger effiziente Dekarbonisierungsalternativen bestehen. So sollten Biomethan und Power-to-Gas hauptsächlich vorrangig in Anlagen zur Speisung von Wärmenetzen eingesetzt werden. Mini-KWK-Anlagen zur Objektversorgung können jedoch aus technischer und ökologischer Sicht dort sinnvoll sein, wo für andere Systeme Restriktionen bestehen, beispielsweise in Gebäuden mit Dämmrestriktionen, bei denen Wärmepumpen nur mit unvorteilhafter Effizienz oder gar nicht eingesetzt werden können, oder im größeren Geschosswohnungsbau, wenn ein Anschluss an ein Wärmenetz nicht möglich ist.

Somit kann das 3E System in bestimmten Segmenten einen wichtigen Lösungsbaustein darstellen, in der Gesamtschau der Technologien bzw. Konzepte zur Erreichung der Ziele der Energiewende spielt es jedoch eine untergeordnete Rolle.

Mit den stationären Batterien wurde im Feldtest im Winter nahezu kein PV-Strom gespeichert, da dieser sofort verbraucht wurde. In dieser Periode bietet sich deshalb eine systemdienliche Nutzung der Speicherkapazitäten aus kommerzieller, energiewirtschaftlicher und ökologischer Perspektive an. Die Rahmenbedingungen für einen solchen Einsatz der Batterien müssen jedoch vereinfacht werden.

Ein weiterer positiver Effekt stationärer Batterien kann die lokale Netzentlastung sein, durch die ggf. ein weiterer Ladesäulenzubau ohne weitere Netzertüchtigung ermöglicht werden könnte. Dies wurde jedoch im Projekt nicht untersucht.

Durch die Eigenstromerzeugung im EFH/MFH und die Eigenstromnutzung im Elektroauto ist der Strom derzeit kostengünstiger als bei Netzbezug. Dies reicht aber als Impuls für eine stärkere Marktentwicklung von Elektroautos, wie sie zum Erreichen der Ziele des Energiekonzeptes notwendig wäre, nicht aus, weil die Differenzkosten zu konventionellen Fahrzeugen noch sehr hoch sind. Ferner ist auch die Produktpalette bei Elektroautos wesentlich kleiner und die Ladeinfrastruktur noch nicht ausreichend entwickelt. Die Eigenstromerzeugung für Elektroautos hat zudem eine geringe Verbreitung und ihr Ausbau wird kurz- und mittelfristig langsamer sein als es für den erforderlichen Markthochlauf der Elektromobilität notwendig wäre. Um diesen sicherzustellen sind deshalb weitere Instrumente oder Veränderungen von Rahmenbedingungen notwendig.

Damit Elektromobilität einen nennenswerten Klimaschutzbeitrag leisten kann, müssen hohe Anteile erneuerbarer Erzeugung am Ladestrom erreicht werden. Ein Anteil in Höhe des durchschnittlichen Anteils vom erneuerbarem Strom am Bruttostromverbrauch (derzeit 32%, angestrebt 40-45% in 2025) schöpft das Klimaentlastungspotenzial von Elektrofahrzeugen nicht ausreichend aus.

Die Unterschiede in den Anforderungen, z.B. Vor- und Nachteilen der Elektromobilität in der Stadt und auf dem Land sind durch differenzierte Ausgestaltung der jeweiligen langfristigen Elektromobilitätsstrategien zu adressieren. Elektroautos haben in der Stadt höhere Effizienzvorteile gegenüber Verbrennern als auf dem Land. Aufgrund eng vermaschter Stromnetze in der Stadt ist der Ausbau der Ladeinfrastruktur i.d.R. technisch einfacher und wirtschaftlicher umzusetzen. In der Stadt gibt es jedoch mit dem ÖPNV eine technisch, ökologisch und wirtschaftlich sinnvolle Alternative zur breiten Einführung privat genutzter Elektroautos. Auch ist die Erreichbarkeit zu Fuß und per Radverkehr in der Stadt eher gegeben als auf dem Land. Durch die höhere Bevölkerungs- und Bebauungsdichte eignet sich die Stadt zudem besser für Carsharing-Modelle. Der umfangreiche Transformationsprozess, der zum Erreichen der Ziele des Energiekonzeptes notwendig ist, stellt auch ein Gelegenheitsfenster dar, um Alltagsroutinen zu verändern, neue soziale Praktiken zu etablieren sowie Mobilitätsbedürfnisse und -konzepte insgesamt neu zu denken.

7.4 Handlungsempfehlungen für Energiepolitik und Elektromobilität

1. Förderung des Markthochlaufs von Elektrofahrzeugen durch weitere Instrumente

Es wurde gezeigt, dass das Potential des 3E-Systems zur Erhöhung der Marktdurchdringung von E-Fahrzeugen begrenzt ist. Um eine stärkere Marktdurchdringung von Elektroautos zu erreichen, sind daher weitere Instrumente notwendig. Diskutiert werden z.B. Kaufprämien bzw. Bonus-Malus-Systeme, strenge CO₂-Flottenzielwerte, Quoten für Nullemissionsfahrzeuge sowie die Privilegierung bei der Nutzung (Pull) bei gleichzeitiger Einführung von Restriktionen für Verbrenner (Push).

2. Fokussierung auf die bilanzielle Kopplung der Marktentwicklung von Elektrofahrzeugen an den Ausbau erneuerbarer Stromerzeugung

Um Lock-in-Effekte bei der fossilen Stromerzeugung infolge des Ausbaus der Elektromobilität zu vermeiden, sollte primär eine bilanzielle Kopplung der Marktentwicklung der Elektromobilität an den Ausbau der erneuerbaren Stromerzeugung sichergestellt werden. Eine physikalische Kopplung im Sinne der Eigenstromerzeugung für Elektrofahrzeuge ist technisch aufwändiger und im Rahmen der durchgeführten Untersuchungen konnten keine ökologischen Vorteile gegenüber der bilanziellen Kopplung festgestellt werden. Deshalb ist eine Fokussierung auf die bilanzielle Kopplung der Elektromobilität an die Eigenstromerzeugung sinnvoll. In diesem Sinne sollte der Ausbaupfad der erneuerbaren Stromerzeugung und die auszuscheidenden erneuerbaren Strommengen im EEG an die Marktentwicklung der Elektromobilität angepasst werden. Zudem könnten Möglichkeiten für zusätzliche erneuerbare Stromerzeugung geschaffen werden, in dem nicht durch das EEG geförderte Anlagen, sog. „eigeninitiierte Anlagen“, nicht auf den Ausbaupfad der erneuerbaren Energien angerechnet werden.

3. Im Stadtbereich vorrangige Entwicklung von Fuß-, Rad- und öffentlichem Personennahverkehr

In der Stadt sollte die Entwicklung von Fuß-, Rad- und Öffentlichem Personennahverkehr Vorrang vor dem Ausbau des elektrischen MIV haben. Eine Elektromobilitätsstrategie sollte prioritär Busverkehr, Versorgungsverkehr und Mobilitätsdienstleister (z.B. Taxiunternehmen) adressieren. Mittelfristig können auch flexible Elektromobilitätslösungen als Erweiterung des ÖPNV (z.B. Elektro-Robotaxis als Teil des ÖPNV) entwickelt werden.

Auf dem Land sind Strategien zu entwickeln, mit denen MIV, Berufspendler- und Versorgungsverkehr mit fossilen Verbrennungsfahrzeugen durch Elektroautos ersetzt wird. Hierzu ist der Ausbau der Ladeinfrastruktur eine wichtige Voraussetzung. Auch kann der Ausbau der Elektromobilität mit der Einführung oder Ausweitung von Carsharing-Modellen sinnvoll verknüpft werden.

4. Rahmenbedingungen für Carsharing und Elektrofahrzeugnutzung in Flotten verbessern

Carsharing kann ein wichtiger Baustein für eine nachhaltige städtische Mobilität sein. Ziel sollte dabei jedoch die Reduzierung des privaten Fahrzeugbestands im städtischen Raum sein um Pkw-Verkehrsleistungen im Stadtverkehr zu reduzieren. Dies scheint jedoch stärker noch für stationsgebundenes und weniger

für stationsungebundenes (free floating) Carsharing zu gelten. Maßnahmen zur Verbesserung der Rahmenbedingungen für Carsharing sind z.B. die Parkplatzprivilegierung von Carsharingfahrzeugen, Steuerreduzierung für Carsharing Organisationen und die Erstellung von Carsharing-Entwicklungsplänen. Carsharing und auch andere Flotten eignen sich dabei besonders für den Einsatz von Elektrofahrzeugen und ermöglicht so einer breiten Gruppe erste Erfahrungen mit Elektrofahrzeugen zu machen. Hier müssen jedoch die Rahmenbedingungen für eine praxistaugliche Nutzung verbessert werden. Geeignet dazu wären die Förderung umfassender kommunale Elektromobilitätskonzepte oder des Ladeinfrastrukturaufbaus. Denkbar sind Zuschüsse zum Errichten einer Ladestation in bisher unterdeckten Räumen oder die Verankerung einer Mindestzahl von Ladesäulen pro Stellplatz in der Garagenverordnung.

5. Förderempfehlungen für Mini-KWK zur Objektversorgung

Insbesondere in großen Wohngebäuden hat das 3E System ein wirtschaftliches und ökologisches Potential, wobei hier darauf zu achten ist, dass keine Konkurrenz mit einem Wärmenetzanschluss besteht. Es wird daher empfohlen, die Förderung der kleinen KWK zur Objektversorgung auf dem heutigen Niveau fortzusetzen. Darüber hinaus sollte untersucht werden, welche Rolle Objekt-KWK neben den sinnvollen Nischenanwendungen langfristig als Flexibilität bzw. Puffer im Stromsystem, als Beitrag zur Netzstabilität und als Netzentlastung spielen können. Von großer Bedeutung für eine erfolgreiche Mini-KWK-Strategie ist dabei der Abbau von bürokratischen Hemmnissen (Vielzahl an Anmelde- und Meldevorgängen, unübersichtliche und teilweise widerläufige Anreize (Investiv-Förderung, KWKG-Förderung, Energiesteuer-Regelungen, etc.).

6. Abbau von regulatorischen Hemmnissen für Batterien.

Bei der parallelen Nutzung von Batterien als Speicher von PV-/KWK-Strom, von Netzüberschüssen und zur Frequenzstabilisierung ist das zusätzlich erforderliche Messwesen sehr aufwendig, so dass die damit erzielbaren Mehrerlöse bei den gegebenen regulatorischen Bedingungen durch die Mehrkosten für das Messwesen kompensiert werden. Die regulatorischen Rahmenbedingungen für Batterien sollten dahingehend angepasst werden, dass es mit einfachen Messmethoden möglich ist, den Batterien (sowohl stationären, als auch bei bidirektionalen Laden von Elektrofahrzeugen) neben dem Primärnutzen (Speichern von PV-Strom) einen Sekundärnutzen (Primärregelleistung, Sekundärregelleistung) zu erbringen.

7. Förderempfehlungen für Mieterstrom

Die in der EEG-Novellierung von 2017 eingeführte Mieterstromförderung geht in die richtige Richtung. Das Modell sollte aber weiterentwickelt werden, indem z.B. die enge Auslegung der Gebäudebegrifflichkeit aufgehoben werden sollte, um die Übertragbarkeit auf großflächigen Quartiersprojekten zu ermöglichen. Weiterhin sind in diesem Kontext steuerliche Fragestellungen der Wohnungswirtschaft zu lösen. Außerdem ist eine Übertragung der Mieterstromförderung auf KWK-Anlagen sinnvoll. Ein großer Fortschritt bei der Implementierung von Mieterstromprojekten ist durch die Vereinfachung und Standardisierung von Zählerkonzepten zu erreichen. Der aktuell erforderliche technische und monetäre Aufwand hemmt Mieterstrom-Projekte.

8. Gesamtenergetische Betrachtung von Gebäuden

Im Projekt wurden die Energieflüsse von der Strom- und Wärmeerzeugung sowie die Verbräuche für Haushaltsstrom, Wärme und Elektromobilität aufeinander abgestimmt und optimiert. Diese Betrachtungsweise sollte auch bei der Umsetzung der EU-Gebäuderichtlinie angewendet werden. Über geeignete Fördermechanismen können die Potenziale einer energetischen Gesamtbetrachtung von Wärme- und Stromversorgung eines Gebäudes gehoben werden. Bei einer entsprechenden Weiterentwicklung der rechtlichen Vorgaben muss sichergestellt werden, dass vorhandene Bau- und Dämmstandards durch die sektorenübergreifende Bewertung nicht aufgeweicht werden.

9. Förderung von Quartierskonzepten über die Bauleitplanung

Das Projekt hat gezeigt, dass die Nachrüstung von Bestandsgebäuden mit PV-Anlage, Batteriespeicher, Zähler und Ladesäulen die Wirtschaftlichkeit maßgeblich negativ beeinflussen können. Eine technische Standardisierung wurde im zweiten Feldtestobjekt erreicht, so dass sich die projektspezifischen Mehraufwände im Neubau erheblich reduzieren. Dies kann sowohl für den Geschossbau als auch für den Einfamilienhausbau angenommen werden. Ein effektives Lenkungsinstrument können die Vorgaben über die Bauleitplanung sein, in der neben Vorgaben zu energetischen Bauweise auch Vorgaben zur obligatorischen Ausstattung mit PV-Anlage, Wärmepumpe oder Ladesäulen bis hin zum Elektroauto-Carsharing gemacht werden können, so dass sich diese Konzepte zu neuen Standards für den Neubau entwickeln können. Kommunen verfügen mit diesem Ansatz über ein wirksames Instrument, um ihre klimapolitischen Ziele besser umzusetzen.

10. Möglichkeiten stärken, die Performance im Betrieb zu überwachen und zu verbessern

Im Feldtest zeigte sich ein zu hoher Stromverbrauch von Lüftungsanlagen und der stationären Batterie durch eine suboptimale Dimensionierung und ungünstige Betriebseinstellungen. Dies zeigt die Bedeutung, Energieverbräuche transparent zu machen und den Anlagenbetrieb automatisch zu überwachen. Mess- und Feedbacktechniken sollten daher bei Anlagen der Gebäudetechnik breit zum Einsatz kommen. Haushalte sollten die Möglichkeit erhalten, Interventionsbedarf zu erkennen und einfache Einstellungen für einen energieeffizienten Betrieb – wo sinnvoll – selbst zu korrigieren. Im Rahmen der Weiterentwicklung des Gebäudeenergiegesetzes sollten daher entsprechende Mess- und Feedbackanforderungen an die Anlagen systematisch integriert werden. Außerdem sollte der kommende Smart-Meter-Rollout für eine systematische Einführung von Feedbackinstrumenten zum Stromverbrauch genutzt werden.

8 Anwendungspotentiale und Nutzbarkeit der Ergebnisse

Die drei Kernfragen des Projektes (siehe Kapitel 2.1) wurden umfassend beleuchtet und beantwortet, was sich nicht zuletzt auch in diesem Bericht niederschlägt. Über den wissenschaftlichen Erkenntnisgewinn solcher Projekte hinaus, ist es für ein innovatives, energiewirtschaftliches Unternehmen wie LichtBlick wichtig, welche Potentiale hieraus gehoben werden können, die in die Firmenstrategie einzahlen und letztlich in Endkundenprodukte münden, mit denen Umsätze generiert werden.

In den Kapitel 5 und 6 wurde beschrieben, wie sich die aktuelle Wirtschaftlichkeit des 3E-Konzepts darstellt und welche künftigen Potential hier zu sehen sind. In Kapitel 7 wurde nochmals Handlungsempfehlungen an die politischen Entscheider ausgesprochen, die solchen Systemen den Markt bereiten können, in dem diese gefördert werden, vor allem aber auch indem bestehende Restriktionen abgebaut werden – hier sei exemplarisch die reglementierte Sekundärnutzung von Batteriesystemen genannt.

Aufgrund aller hier vorliegenden Erkenntnisse, bestehen hier Potentiale die kurz- bis langfristig umgesetzt werden können. Man muss jedoch einschränkend feststellen, dass das 3E-Konezpt zurzeit nicht als eigenständiges Endprodukt in den Markt gebracht werden soll, aber Einzelaspekte in die weitere Produktenwicklung einfließen. Diese werden hier jedoch ausschließlich stichpunktartig aufgezählt, da hier wettbewerbsrelevante Informationen geschützt werden müssen:

- Teile der Projektergebnisse werden in Mieterstromprojekten umgesetzt.
- Die bei der Entwicklung der projektspezifischen „dezentralen Regelung“ gewonnenen Erkenntnisse sind in weitere Projekte zu Steuerung und Regelung von gewerblichen, stationären Batterien umgesetzt worden.
- Die im Projekt gewonnenen Erkenntnisse sind weitere Bausteine hin zu dezentralen Vision von LichtBlick. Aufgrund des erfolgreichen Nachweises, dass mit solchen Systemen die Sektorenkoppelung realisiert werden kann, soll in die weitere Produkt- und FuE-Planung einfließen.
- Änderungen in der IT-Systemumgebung von LichtBlick wurde für eine mögliche Integration von weiteren Schwarmhäusern spezifiziert.
- Künftig können Teile der Projektergebnisse als Produkte für die Wohnungswirtschaft angeboten werden.
- Außerdem bestehen Überlegungen die Verknüpfung von Buchungssystemen und Lademanagement für Elektrofahrzeuge weiterzuentwickeln.

9 Ergebnisse des Verbundprojektes

Vorträge

5. VDI-Fachtagung, „Energiesysteme und Energieversorgung für Gebäude, Quartiere und Industrieanlagen“, 24.-25.10.2017, Köln „3E-Mehrfamilienhaus Eigenerzeugung, Eigenverbrauch, Elektromobilität in einem Mehrfamilienhaus“ (Referent Markus Weichel, LichtBlick SE)

14. Internationale Fachkongress für erneuerbare Mobilität "Kraftstoffe der Zukunft 2017", 23.-24.01.2017, Berlin: „3E-Mehrfamilienhaus Eigenerzeugung, Eigenverbrauch, Elektromobilität in einem Mehrfamilienhaus“ (Referent Markus Weichel, LichtBlick SE)

13. Treffen für Nutzer von E-Fahrzeugen in Hamburg, 30.09.2015, Hamburg, „3E-Mehrfamilienhaus – Projektvorstellung“ (Referent Markus Weichel, LichtBlick SE)

Fraunhofer IT4Energy – Workshop Gebäudewirtschaft und Energienetze, 8.12.2014, Berlin, „3E-Mehrfamilienhaus – Projektvorstellung“ (Referent Claus Sprave, LichtBlick SE)

Berichte/Fachartikel

KfW, Chancen – Das Magazin für Entscheider aus Politik und Wirtschaft, Frühjahr/Sommer 2017“, KfW, „Energiewende 2.0“

Süddeutsche Zeitung; „Stadt in Bewegung“, 12.01.2017

NDR Hamburg Journal, Filmbeitrag, 10.02.2015

PV Magazine Online – LichtBlicks SchwarmHaus wird zum Leuchtturmprojekt erklärt, 16.06.2015

10 Quellenverzeichnis

- Agorameter (2017): *Agorameter*, <https://www.agora-energiewende.de/de/themen/-agothem-/Produkt/produkt/76/Agorameter/> , Berlin: Agora Energiewende, Letzter Aufruf: 20.09.2017
- Bundesamtes für Bauwesen und Raumordnung (BBR). (2014). *Testreferenzjahre von Deutschland für mittlere, extreme und zukünftige Witterungsverhältnisse. Handbuch*. Offenbach: BBR.
- Bundes-Immissionsschutzgesetz (2005) BImSchG, Gesetz zum Schutz vor schädlichen Umwelteinwirkungen durch Luftverunreinigungen, Geräusche, Erschütterungen und ähnlichen Vorgängen
- Bundesministerium für Umwelt, Naturschutz, Bau und Reaktorsicherheit - Stromspiegel für Deutschland 2014 (Berlin 2014)
- Bundesverband CarSharing (2017): *CarSharing-Zahlen*, <https://carsharing.de/alles-ueber-carsharing/car-sharing-zahlen> , Letzter Aufruf: 12.09.2017
- Energiewirtschaftsgesetz (2005), EnWG, Gesetz über die Elektrizitäts- und Gasversorgung
- Erneuerbare-Energien-Gesetz (2017), EEG, Gesetz für den Ausbau erneuerbarer Energien
- Follmer, R., & Lenz, B. (2010). *MiD 2008 Mobilität in Deutschland 2008*. Berlin.
- G. Myhre et al. (2013): "Climate Change 2013: The Physical Science Basis. Working Group I contribution to the IPCC Fifth Assessment Report. 30. September 2013, Chapter 8: Anthropogenic and Natural Radiative Forcing", S. Table 8.1.A, Seiten 8–88 bis 8-99
- IWU (2011): *Deutsche Wohngebäudetypologie - Beispielhafte Maßnahmen zur Verbesserung der Energieeffizienz von typischen Wohngebäuden*. Darmstadt: Institut Wohnen und Umwelt
- Elmar Hillebrand (EEFA Forschungsinstitut GmbH & Co KG) – Energie und Umwelt Analysen, Stromverbrauch nach Anwendungszwecken der privaten Haushalte: Auswertung und Analyse des STROM.check der EnergieAgentur.NRW (Münster 2012)
- MiD. (2010). *Mobilität in Deutschland; Ergebnisbericht 2010*. Im Auftrag des Bundesministeriums für Verkehr, Bau- und Wohnungswesen. Berlin, Bonn: infas, DLR, DIW
- NPE (2017): Nationale Plattform Elektromobilität, <http://nationale-plattform-elektromobilitaet.de/hintergrund/die-massnahmen/> , Letzter Aufruf: 12.09.2017
- Oehsen, A. von (2012): *Entwicklung und Anwendung einer Kraftwerks- und Speichereinsatzoptimierung für die Untersuchung von Energieversorgungszenarien mit hohem Anteil erneuerbarer Energien in Deutschland*. Dissertation. Kassel: Universität
- ÖVK (2012). *Batterieelektrische Fahrzeuge in der Praxis*. Wien: Institut für Fahrzeugantriebe und Automobiltechnik, Wien: Technische Universität
- Quaschnig, Volker (2017): *Installierte Photovoltaikleistung in Deutschland*
<http://www.volker-quaschnig.de/datserv/pv-deu/index.php>

Umweltbundesamt (2017): *Erneuerbare Energie in Zahlen*. <https://www.umweltbundesamt.de/themen/klima-energie/erneuerbare-energien/erneuerbare-energien-in-zahlen#statusquo>, Letzter Aufruf: 17.08.2017

Umweltbundesamt (2017) jährliche Treibhausgas-Emissionen in Deutschland

11 Abkürzungsverzeichnis

3E	Eigenerzeugung, Eigenverbrauch, E-Mobilität
AC	Alternate Current - Wechselstrom
Batt	Batterie
BEV	Battery Electric Vehicle – E-Fahrzeug
BHKW	Blockheizkraftwerk
BZ	Brennstoffzelle
CAN-Bus	Controller Area Network - serielles Bussystem
DC	Direct Current - Gleichstrom
EDW	Einwohnerdurchschnittswerte
EEG	Erneuerbare-Energie-Gesetz
EFH	Einfamilienhaus
EKFZ	Elektro kraftfahrzeug
EnWG	Energiewirtschaftsgesetz
EMOD	Emissions Modell
EV	Electric Vehicle – Elektrofahrzeug
GEMOD	Gebäude Emissions Modell
GMH	Großes Mehrfamilienhaus
ID	Identifikation
ICEV	Internal Combustion Engine Vehicle - Verbrennungsfahrzeug
ifeu	Institut für Energie- und Umweltforschung Heidelberg GmbH
IPC	Industrie-PC
IT	Informationstechnik
IWU	Institut Wohnen und Umwelt
JAZ	Jahresarbeitszahl
KfW	Kreditinstitut für Wiederaufbau
KWK	Kraft-Wärme-Kopplung
MAE	Mean Absolute Error – Mittlere Abweichung
MFH	Mehrfamilienhaus
MID	Measuring Instruments Directive - Richtlinie 2004/22/EG über Messgeräte
MK B4	Messkonzept B4
MTS	Marienthaler Straße (2. Feldtestobjekt)
MSR	Messtechnik, Steuerungstechnik, Regelungstechnik
NA-Schutz	Netz- und Anschlusschutz
NNE	Netznutzungsentgelt
ÖPNV	Öffentlicher Personennahverkehr
ÖV	Öffentlicher Verkehr
PV	Photovoltaik

REST	Representational State Transfer - Programmierparadigma für verteilte Systeme
RFID	Radio-Frequency Identification - berührungsloses Identifizierungssystem
RLM	Registrierende Leistungsmessung
SOC	State of Charge, Ladezustand von Akkumulatoren
SPS	speicherprogrammierbare Steuerung
TCP/IP	Transmission Control Protocol/Internet Protocol – Familie von Netzwerkprotokollen
TREMODO	Transport Emissions Modell
VBEW	Verband der Bayrischen Energie- und Wasserwirtschaft e.V.
VHD	Vogelhüttendeich (1. Feldtestobjekt)
WAGO	WAGO Kontakttechnik GmbH & Co. KG
Wh	Wattstunden
WP	Wärmepumpe
ZHKW	ZuhauseKraftwerk
ZiW	Zirkusweg (Adresse LichtBlick)

12 Abbildungsverzeichnis

Abbildung 1: Umweltbundesamt, 2017	6
Abbildung 2: NPE, Nationale Plattform Elektromobilität, 2017	7
Abbildung 3: Umweltbundesamt, 2017	9
Abbildung 4: Meilensteinplan des 3E-Projekts	11
Abbildung 5: Schematische Darstellung des technischen Gesamtkonzepts.....	15
Abbildung 6: Unterverteilung mit Klappstromwandler und Prüfklemmen für die Messtechnik der dezentralen Optimierung (links) sowie die unabhängige Messung des gesamten Verbrauchs für die Eigenregelung des stationären Batteriespeichers (rechts, oben) und das BHKW im Vogelhüttendeich	16
Abbildung 7: Bilanzierung von Überschuss- und Reststrom im VHD.	17
Abbildung 8: Zählerkonzept in der MTS mit KWK-Überschuss- und Hausanschlusszähler (Kaskadenmessung).....	18
Abbildung 9: Ausbaustufen des Buchungssystems im Forschungsprojekt	20
Abbildung 10: Eindrücke der Smartphone-Applikation für die Buchung der Fahrzeuge	22
Abbildung 11: Ansicht der Ametras Flottenmanagementsoftware.....	23
Abbildung 12: Tarifierung für die Nutzung der Fahrzeuge im Projekt.....	24
Abbildung 13: Systemübersicht zentral Steuerung und dezentralen Regelung	25
Abbildung 14: Darstellung des Ablaufs der Optimierung inklusive der Prognose und Vermarktung des Einspeise- und Bezugslastgangs am Hauanschluss.....	38
Abbildung 15: Prognosen und Optimierung im Gesamtzusammenhang.....	39
Abbildung 16: Reststrombedarfsprognose	40
Abbildung 17: BHKW Stromnutzungsszenario.....	40
Abbildung 18: 3E-Bewertungsreihe	41
Abbildung 19: 3E-Strommesskonzept für Regelungszwecke sowie schematische Einbindung der dezentralen und zentralen Steuerungslogik.	42
Abbildung 20: Beispielhafter SOC-Verlauf eines E-Fahrzeuges bei Mindestladeleistung sowie bei maximaler Ladeleistung durch Überschüsse aus Eigenerzeugung.	44
Abbildung 21: Qualitativer Verlauf von $P_{\text{HausOhneEV}}$ sowie der Regelgrößen P_{Batt} und P_{EV} . Grüne Bereiche sind Ladephasen, orange Bereiche sind Entladephasen. Gestreifte Bereiche stellen die Ladephasen des Elektroautos dar.	46
Abbildung 22: Lastgang der PV-Anlage im VHD aufgenommen mit der WAGO-Messschleife. In den Nachtstunden ergibt sich immer wieder eine scheinbare Einspeisung.	49

Abbildung 23: Auswertung eines Integrationstests der Ladestrombegrenzung an einem Smart Electric Drive mit Hilfe der Mennekes Amtron Ladestation und einer Fernsteuerung der Ladestation über REST über TCP/IP.	50
Abbildung 24: Ladestation im VHD. Bei direkter intensiver Sonneneinstrahlung heizt sich das Gehäuse innen auf über 50°C auf und die Elektronik schaltet aus Sicherheitsgründen ab.	50
Abbildung 25: Test der intelligenten Fahrzeugladung an einem BMW i3 in der Marienthaler Straße. Der in grün dargestellte Ladezustandsverlauf wurde vom dezentralen System berechnet. Die roten Kästen entsprechen den vom Carsharing-System aus dem CAN-Bus ausgelesenen tatsächlichen Ladezuständen.	54
Abbildung 26: Vom dezentralen System berechnete Soll-Ladeleistung vs. tatsächliche Ladeleistung der Fahrzeugbatterie (AC-Leistung).	55
Abbildung 27: Verlauf des Ladezustands und der tatsächlichen Leistung der stationären Batterie im Vogelhüttendeich sowie die Überschüsse und Unterdeckungen (blaue Linie).	56
Abbildung 28: Regelverzögerung zwischen gemessenem Überschuss bzw. Unterdeckung, berechneter Sollleistung und tatsächlicher Leistung am stationären Batteriespeicher bei einer taktenden Herdplatte.	57
Abbildung 29: Systemverfügbarkeit des dezentralen Regelungssystems in der Marienthaler Straße und Vogelhüttendeich von November 2016 bis Mai 2017 sowie eine Trendlinie als Mittelwert.	57
Abbildung 30: Zahlungsströme für LichtBlick als Investor	59
Abbildung 31: Einflussgrößen der Wirtschaftlichkeitsberechnung.....	61
Abbildung 32: elektrisches Schaltbild MTS.....	63
Abbildung 33: Kapitalwert der Feldteste	72
Abbildung 34: Kapitalwerte Szenario I	75
Abbildung 35: Kapitalwerte Szenario II	76
Abbildung 36: Geographischer Korridor der Elektro-Carsharing-Flottennutzung während der Projektlaufzeit. Die Fahrzeuge wurden hauptsächlich in Hamburg eingesetzt und wurden für Fahrten von bis zu 100km Luftlinie ins Umland eingesetzt. Basiskarte von Openstreetmap.org (CC-BY-SA 2.0).....	78
Abbildung 37: Monatliche Gesamtfahrleistungen der E-Fahrzeug-Flotte im Feldversuch über den Projektzeitraum hinweg mit den vorrangigen Hauptstandorten MTS und VHD.	79
Abbildung 38: Verteilung der Wegelängenhäufigkeit auf Basis der Fahrtenbücher im Vergleich zum Durchschnitt deutscher Großstädte und Hamburg gemäß (MiD, 2010). Fahrten des Feldtests von unter 100 m zurückgelegter Strecke wurden nicht in Betracht gezogen.	81
Abbildung 39: Sonderbetrachtung des Einflusses des Preisnachlasses im Februar 2017 auf die Nutzung der Fahrzeuge im Vergleich zu den Vorjahresmonaten.	83
Abbildung 40: Erzeugung von BHKW und PV-Anlage im VHD vom 1.6.2016 - 31.5.2017.....	84

Abbildung 41: Monatliche Erzeugung von BHKW und PV-Anlage in der MTS vom 1.6.2016-31.5.2017	85
Abbildung 42: Berechneter Wirkungsgradverlauf des BHKW vom 1.1.2016 0 Uhr.....	86
Abbildung 43: Berechneter Wirkungsgradverlauf des BHKW vom 1.6.2016 0 Uhr an.....	87
Abbildung 44: Modellierter Stromverbrauch der Haushalte im Vergleich	93
Abbildung 45: Ergebnisse der Abschlussbefragung zur Nutzungsintensität der E-Fahrzeuge (n=11)	95
Abbildung 46: Ergebnisse der Abschlussbefragung zur Wahrnehmung der E-Fahrzeuge (n=11)	96
Abbildung 47: Ergebnisse der Abschlussbefragung zur Bereitschaft Fahrzeuge zu teilen (n=11)	97
Abbildung 48: Mit welchem Verkehrsmittel hätten Sie die Fahrten mit den E-Fahrzeuge von LichtBlick überwiegend zurückgelegt, wenn das Fahrzeug nicht zur Verfügung gestanden hätte? (n=12)	98
Abbildung 49: Verlauf der gemessenen Stickoxid-Emissionen (blau, Bezug Normkubikmeter, trocken sowie auf 5% Sauerstoff im Abgas) und halber Stickoxid-Grenzwert der TA-Luft (rot) über eine Laufzeit des BHKW von 14 Minuten am 19.3.2015, 12:13 Uhr bis 12:26.....	102
Abbildung 50: Verlauf der gemessenen Kohlenstoffmonooxid-Emissionen (blau, Bezug Normkubikmeter, trocken sowie auf 5% Sauerstoff im Abgas) und halber CO-Grenzwert der TA-Luft (rot) über eine Laufzeit des BHKW von 14 Minuten am 19.3.2015, 12:13 Uhr bis 12:26	103
Abbildung 51: Verlauf der Methanemissionen im Abgas am 19.3.2015 von 12:13 Uhr bis 12:26	103
Abbildung 52: Zum Teil wurde bei Startvorgängen des BHKW der Messbereich (bis 714 mg/m ³ gemäß TÜV Emissionsbericht) des Methanmessgerätes überschritten (Beispiel am 18.3.BHKW-Laufzeit von 7:00 Uhr bis 7:32 Uhr)	104
Abbildung 53: Ausschnitt der Messung der Stickoxidemissionen am 10.11.2016 im 2. Feldtestobjekt...	105
Abbildung 54: Fraglich hohe NOX Emissionen am 11.11.2016.....	106
Abbildung 55: Hohe CH ₄ -Emissionen zu Start des BHKW am 10.11.....	107
Abbildung 56: Bilanzierung der Strombereitstellung (schematisch)	109
Abbildung 57: Klimawirkung der betrachteten Varianten für den VHD	116
Abbildung 58: Versauerungswirkung der betrachteten Varianten für den VHD	117
Abbildung 59: Klimawirkung der betrachteten Varianten für die MTS	119
Abbildung 60: Versauerungswirkung der betrachteten Varianten für die MTS.....	120
Abbildung 61: Baualtersklassen mit Bezeichnungen des ifeu Gebäudemodells GEMOD	123
Abbildung 62: Darstellung der Bottom-up Modellierung für einzelne Gebäudetypvertreter und Hochrechnung auf den deutschen Gebäudebestand durch das Modell GEMOD	123
Abbildung 63: Zahlungsströme mit Investor.....	128

Abbildung 64: Übersicht über die Modellparameter sowie Inputs und Outputs des ifeu-Modells EMOD	130
Abbildung 65: Durchschnittlicher angenommener kilometerabhängiger Energieverbrauch von E-Fahrzeugen in Abhängigkeit der Außentemperatur zur Simulation des Jahresverbrauchs.	132
Abbildung 66: Übersicht der Modellkopplung zwischen EMOD und dem SchwarmDirigent®	133
Abbildung 67: Anteil der Deckung durch Strom aus PV und BHKW am Gesamtstromverbrauch (Haushaltsstrom und Ladesäule) für das BHKW mit 0,75 kW _{el} und 1 kW _{th}	134
Abbildung 68: Klimabilanz für Vollzeitbeschäftigte im EFH	135
Abbildung 69: Klimabilanz für Rentner im EFH	136

13 Tabellenverzeichnis

Tabelle 1: Übersicht zu steuerbaren und nicht-steuerbaren Erzeugern und Verbrauchern im 3E-Projekt	28
Tabelle 2: Beispiel Datenreihe	31
Tabelle 3: Zeichenerklärung	32
Tabelle 4: Prognosegüte Solarertrag	34
Tabelle 5: Prognosegüte Strombedarf	35
Tabelle 6: Prognosegüte Wärmebedarf	35
Tabelle 7: Übersicht Prognosen im 3E-Projekt	36
Tabelle 8: Vergleich des Basisszenarios und des optimalen Szenarios im VHD und der MTS	37
Tabelle 9: Energiemengen zur Bestimmung der Betriebskosten im optimierten 3E Betrieb	64
Tabelle 10: Energiemengen zur Bestimmung der Betriebskosten ohne Optimierung	65
Tabelle 11: anfallende Betriebskosten	66
Tabelle 12: Wärmearbeitspreise	67
Tabelle 13: erwirtschaftete Erlöse	69
Tabelle 14: Energiemengen des Basisszenarios zur Berechnung der Wirtschaftlichkeit	70
Tabelle 15: Betriebsüberschüsse	70
Tabelle 16: Investitions- und Betriebskosten der Feldtestobjekte	71
Tabelle 17: Wirtschaftlichkeit des Basisszenarios	71
Tabelle 18: Kapitalwerte	71
Tabelle 19: Investitions- und Betriebskosten für Szenario I	74
Tabelle 20: Investitions- und Betriebskosten für Szenario II	76
Tabelle 21: Metadaten der anhand der Telematik aufgezeichneten E-Fahrzeug-Nutzung während der Projektlaufzeit. Die Aufzeichnung setzte aufgrund technischer Gegebenheiten während der Nutzungsphase zeitweise aus.	80
Tabelle 22: Verteilung der Effizienzklassen der Haushaltsgeräte	92
Tabelle 23: Zusammenfassung der Messergebnisse für die NO _x -, CO- und Methanmessungen als zeitliche Mittelwerte der Emissionen über alle Betriebszeiten des BHKW (Emissionsmittelwerte zwischen jedem Start und Stopp) zwischen Messbeginn am 17.3.2015 und Messende am 20.3.2015	101
Tabelle 24: Durch die Kraftwerkseinsatzoptimierung simulierte Anteile der Energieträger an der Stromerzeugung für die Feldtestversorgungs-Variante „Konventionell“	113
Tabelle 25: Übersicht der betrachteten Varianten für den VHD	115
Tabelle 26: Übersicht der betrachteten Varianten für MTS	118

Tabelle 27: Gebäudetypen nach Dämmstandard	124
Tabelle 28: Gebäudetypen nach Anzahl Wohneinheiten	125
Tabelle 29: Energiemengen zur Bestimmung der Betriebskosten	126
Tabelle 30: anfallende Betriebskosten	127
Tabelle 31: erwirtschaftete Erlöse	127
Tabelle 32: Mittlere Tagesfahrleitungen der vier Hauptnutzergruppen gegliedert nach der Beschäftigungsart auf Basis von (Follmer & Lenz, 2010).	131
Tabelle 33: Typische Wegeketten der Pkw-Hauptnutzergruppe „Vollzeitbeschäftigte“ auf Basis von (Follmer & Lenz, 2010)	131
Tabelle 34: Eckdaten der erstellten E-Fahrzeug-Verbrauchsprofile der E-Fahrzeug-Hauptnutzergruppen nach Tätigkeit klassifiziert. (*ohne Ladeverluste)	132
Tabelle 35: Konfigurationen der EFH-Bewertung	137
Tabelle 36: Investitionskostenvergleich für Einfamilienhäuser	138
Tabelle 37: Simulationsergebnisse der Konfigurationen für Einfamilienhäuser	139
Tabelle 38: Vergleich der EFH-Konfigurationen der 3E-Systeme mit Referenztypen	140
Tabelle 39: Kennwerte Alternatives 3E-EFH	141